

**O'ZBEKISTON RESPUBLIKASI OLIY VA O'RTA
MAXSUS TA'LIM VAZIRLIGI
ABU RAYHON BERUNIY NOMIDAGI TOSHKENT
DAVLAT TEXNIKA UNIVERSITETI**

A.A.KARIMOV, A.A.SHOKIROV, A.A.MUKOLYANTS

**GIDRAVLIKA ASOSLARI, NASOSLAR VA
KOMPRESSORLAR**

**fanidan
O'QUV QO'LLANMA**



TOSHKENT 2012

Oliy va o'rta maxsus, kasb-hunar ta'limi o'quv metodik birlashmalar faoliyatini
muvofiglashtiruvchi kengash nashrga tavsiya etgan

Taqrizchilar: O.X. Nizomov TDTU «Gidravlika va gidroenergetika»
kafedrasи dotsenti t.f.n.

A.E.Parmanov «O'MKHTTMO va UQT» institutining «Amaliy
kasbiy ta'lim» kafedrasи dotsenti t.f.n.

A.A.KARIMOV, A.A.SHOKIROV, A.A.MUKOLYANTS

ANNOTASIYA

O'quv qo'llanma «Gidravlika asoslari, nasoslar va kompressorlar» fanining o'qitish dasturiga muvofiq «Neft va gazni qayta ishlash texnologiyasi» tayyorlov yo'nalishining 3522502-Neft va gazni qayta ishlash mashina va jihozlari yo'nalishidagi kasb-hunar kollejlari talabalari uchun tuzilgan.

O'quv qo'llanma ilk bor davlat tilida yozilgan bo'lib, unda neft va gazni qayta ishlash mashina va jihozlarida, foydalanayotgan hozirgi zamon texnika vositalari, ular orqali mahsulotlarni qayta ishlash texnologik jarayonlari va sharoitlari to'g'risida ma'lumotlar keltirilgan. Shular bilan bir qatorda, mashina jihozlari, nasoslar va kompressorlar, ularning qurilmalari, ishlash qoidalari, hisoblash ishlari batafsil yoritib berilgan.

А.А.КАРИМОВ, А.А.ШОКИРОВ, А.А.МУКОЛЬЯНЦ

АННОТАЦИЯ

Учебное пособие «Основы гидравлики, насосы и компрессоры» подготовлено согласно учебной программы для студентов профессионального колледжа направления «Переработки нефти и газа, машины и оборудование» - 3522502, по направлению подготовки «Технология переработки нефти и газа».

В учебном пособии, впервые написанном на государственном языке, освещены основные понятия гидравлики, рассмотрено устройство и классификация машин и оборудования для переработки нефти и газа, области применения современной техники и технологии по переработкам нефти газа и их продуктов.

Подробно рассматриваются условия работы современных машин и оборудования, насосов и компрессоров их устройства и составные части.

A.A.KARIMOV, A.A.SHOKIROV, A.A.MUKOLYANTS

ANNOTASIYA

The manual « Bases of hydraulics, pumps and compressors » is prepared according to the curriculum for students of professional college of a direction « Oil refining and gas, the car and the equipment» -3522502, in a direction of preparation « Technology of oil refining and gas ».

In the manual for the first time written in a state language, the basic concepts of hydraulics are shined, the arrangement and classification of cars and the equipment for oil refining and gas, scopes of modern techniques and technology on oil refining gas and their products is considered.

Operating conditions of modern cars and the equipment, pumps and compressors of their arrangement and components are in detail considered.

Kelajakda O'zbekiston yuksak darajada taraqqiy etgan iqtisodi bilangina emas, balki bilimdon, ma'naviy jihatdan etuk farzandlari bilan ham jahonni qoyil qilishi lozim.

I. Karimov

So'z boshi

Hozirgi davrda mustaqil Respublikamizning taraqqiyoti, uning uzoq va yaqin xorijiy mamlakatlar bilan keng ko'lAMDAGI aloqalarning rivojlanishi, kasb-hunar kollejlari va oliv o'quv yurtlarida hozirgi kun talabiga javob beradigan bilimdon, zamonaviy axborot texnologiyalari keng joriy etilayotgan jamiyatda etarli intellektual salohiyatga ega, fan yutuqlarini bevosita ishlab chiqarishda qo'llay oladigan malakali kadrlar tayyorlashni taqozo ətadi. Bunday dolzarb muammoni hal etish uchun yangi pedagogik texnologiyalarni o'zida aks etirgan o'quv qo'llanmalar va darsliklar yaratish zarur.

Ushbu qo'llanmada ona tabiatimizning eng oliv ne'matlardan biri bo'lgan suyuqlik deb ataluvchi fizik jism haqida, uning hozirgi kungacha ma'lum bo'lgan qonuniyatları hamda ularning qo'llanilishi haqida ma'lumotlar berilgan. Buyuk allomayu-olimlarimizning aytganlaridek, inson tabiatdan suyuqlikka tegishli bo'lgan juda ko'p nasalarni o'rganadi. Butun hayotimizda o'zgarayotgan qonun va qonuniyatlarni biz faqat ona tabiatdan o'rganamiz. Tabiat biz uchun noma'lum bo'lgan sirlarini to'laligicha o'zida saqlaydi.

Hozirgi davrda mustaqil yurtimizda suyuqliklarning nisbiy tinch holati va harakat qonuniyatlarini o'rgatuvchi fanning qo'llanilish sohasi kengayib borayotganligi sir emas, albatta. Er osti boyliklari, suv, o'simlik va hayvonot dunyosi hamda boshqa tabiiy zahiralar vatanimiz boyligidir, ulardan oqilona foydalanish zarur va ularni saqlash, muhofaza qilish yurtimiz yoshlaring qo'lidadir deb bejiz aytilmagan. Suv ham mana shu tabiiy boyliklarimiz qatoriga kirib, suyuqlik deb ataluvchi fizik jism ekanligi bizga ma'lum.

Yurtimiz istiqlolga erishgan kunlardan boshlab mamlakatimizda xalq xo'jaligining barcha sohalarida, suv xo'jaligi sohalarini va texnika sohalarida katta o'zgarishlar yuz bermoqda. Xususan texnika sohasida katta-katta zavodlar ishga tushirildi. Shuning uchun suyuqliklarning muvozanat va harakat qonunlarini o'rgatuvchi hamda bu qonunlarni texnikaning barcha sohalariga tadbiq etish bilan shug'ullanuvchi fan gidravlika deb ataladi.

Shuningdek, gidravlika fani gidrotexnika, suv ta'minoti va kanalizatsiya, issiqlik texnikasi, neft mexanikasi kabi bir qancha fanlarning asoschilaridan hisoblanadi.

O'quvchilar ushbu fanni o'qib quyidagi bilimlarga ega bo'lishi kerak:

O'quv materiallarini o'zlashtirish davomida o'quvchilar gidrostatika, gidrodinamikaning asosiy qonunlarini o'rganib, nasoslar, kompressorlar va vetilyatorlarning tuzilishi va ularning ishlash printsiplarini hamda har qanday gidravlik masalalarni echish va hayotga qo'llash bo'yicha etarli bilimga ega bo'lislari kerak.

O'quvchilar ushbu fanni o'qib quyidagi ko'nikmalarga ega bo'ladilar:

- zamonaviy neft gazni qayta ishlash zavodlaridagi nasos va kompressorlar tuzilishini va ishlatish qoidalarini, ularni tayyorlash, ishlatishga topshirishdagi texnik shartlarni;
- davlat standartlari talablariga javob beruvchi nasos va kompressorlarni hisoblash, tanlash, me'yorlari va texnik shartlarini, xavfsizlik texnikasi talablariga rioya qilishni, atrof muhitni muhofaza qilishni;
- bu fanni o'rganish uchun texnikaviy mexanika, materialshunoslik, konstruktsion materiallar, matematika, fizika, standartlashtirish asoslari, neft va gazni qayta ishlash texnologiyasi fanlarini mukammal bilishi va uddalashi kerak.

Gidravlika asoslari

Ushbu qo'llanmada gaz, kimyo sanoati, neftni qayta ishlash korxonalari, qurilish, avtomobil yo'llari va qurilish mashinalari, foydali qazilmalar, tog'-kon ishi yo'nalishi turiga qarab, geologiya va gidrofizika, avtomatlashtirish va boshqaruv, qishloq xo'jaligi mexanizatsiyasi, elektromashinasozlik sohalariga ixtisosli texnik va texnologlar tayyorlovchi o'rta maxsus, kasb-hunar ta'limi o'quvchilari uchun mo'ljallangan. Istisno tariqasida xuddi shu sohalardagi muxandis-texnik tayyorlovchi oliy o'quv yurti talabalari, shuningdek, magistrlar, ilmiy izlanuvchi tadqiqotchilar ham foydalanishi mumkin.

Bundan tashqari bu qo'llanma yuqorida qayd etilgan sanoat korxonalari xodimlarining amaliyatga qo'llashlari uchun foydalanishi mumkin. «Gidravlika asoslari, nasoslar va kompressorlar» fani o'qitiladigan oliy ta'lim tizimida ta'lim olayotgan talabalar ham foydalanishlari mumkin.

Ushbu qo'llanmada gidravlik hodisalarning fizik mohiyatini yoritish, gidravlika asoslari, qonunlarini amalga tadbiq etish, gidravlik hisoblarni har xil sohalarga nisbatan qo'llash masalalari batafsil yoritilgan.

O'quv qo'llanmadan foydalanuvchilar kasb-hunar kollejlarining o'quvchilari bo'lganligi sababli aksariyat ta'riflar nihoyatda soddalashtirilgan, ba'zi ta'riflarda esa matematik usullardan foydalanilgan.

Ushbu qo'llanmada qo'llanilgan ma'lumotlar, jadvallar, hisob-kitob uchun berilgan masalalar Xalqaro (SI) sistemada berilgan va boshqa sistemalarga o'tish yo'llari ko'rsatilgan.

Qo'llanma so'ngida beriladigan adabiyotlar kasb-hunar kollejlarining o'quvchilariga, oliy ta'lim muassasalari talabalariga ushbu kursni yanada chuqurroq o'rganishiga va ajratilgan mustaqil soatlar bo'yicha berilgan topshiriqlarga kerakli savol-javoblarni topishga yordam beradi.

1. GIDRAVLIKA

1.1. KIRISH

Suyuqliklar, ularning muvozanat hamda harakat qonunlarini o'rganuvchi va bu qonunlarning muxandislik amaliyotiga tadbiq etish bilan shug'ullanuvchi fan **gidravlika** deb yuritiladi.

Gidravlika fani, suyuqliklarda kuchlarning tarqalishi, ularning suyuqlik harakati davomida o'zgarib borish qonunlarini, turli xil qurilmalar va mashinalarni hisoblash hamda loyihalashga tadbiq etish bilan shug'ullanadi.

Gidravlika so'zi yunoncha so'z bo'lib υδωρ (xyudor) - suv va αυλοξ (aulos) - quvur so'zlaridan olingan.

Gidravlika suyuqlik harakatining soddalashtirilgan sxemalarini o'rganish asosida o'z xulosalarini chiqaradi va odatda nazariy tenglamalarga emperik koefitsientlar kiritib, ularni tajribalar o'tkazish yo'li bilan aniqlaydi.

Hozirgi zamon gidravlikasi nazariyani tajriba yo'li bilan bog'lab, nazariy tekshirishlarni tajribada sinash, tajriba natijalarini esa nazariy asosda umumlashtirish yo'li bilan taraqqiy qilib boruvchi va o'z tekshirishlarida gidromexanikaning usullari hamda yutuqlaridan foydalanib boruvchi fandir.

Gidravlika bilan gidromexanika fanlari o'zaro yaqinlashib bir-birini to'ldiruvchi fanlardir.

Gidravlika fani ikki qismdan iborat: gidrostatika va gidrodinamika. Gidrostatika qismida suyuqliklarning tinch holati va bu holatdagi suyuqlik qonunlari o'rganiladi. Gidrodinamika qismida suyuqliklarning harakat paytidagi gidrodinamik elementlarining o'zgarish qonunlari o'rganiladi. Bunda suyuqlikning har xil nuqtalaridagi tezlik va bosimlarning vaqt o'tish bilan ularning miqdorlari har xil bo'ladi.

Juda kichik miqdordagi kuchlar ta'sirida o'z shaklini o'zgartiruvchi fizik jismlar suyuqliklar deb yuritiladi.

Gidravlikada suyuqliklar ikki guruhga, tomchilanuvchi suyuqliklar va gazsimon suyuqliklarga bo'linadi.

Tomchilanuvchi suyuqliklarga suv, spirt, neft, simob, turli moylar va tabiatda uchraydigan boshqa tomchilanuvchi suyuqliklar misol bo'ladi.

Suyuqliklar gazlar (havo) bilan ma'lum chegara bo'yicha ajralishi mumkin. Bu chegaraga erkin sirt deb yuritiladi. Masalan, suyuqlik ochiq idishda bo'lsa, suyuqlikning erkin sirti havo bilan chegaralangan bo'ladi.

Ideal va real suyuqliklar. Gidravlika fanida nazariy tadqiqotlarni soddalashtirish maqsadida ideal suyuqliklardan foydalanyladi.

Ideal suyuqlik deb, bosim va harorat ta'sirida o'z hajmini mutlaqo o'zgartirmaydigan yoki mutlaqo siqilmaydigan, o'zgarmas zichlikka ega bo'lган va ichki ishqalanish kuchi mavjud bo'lмаган suyuqlikka aytildi. Aslida har qanday suyuqlik bosim yoki harorat ta'sirida o'z hajmini bir oz bo'lsada, o'zgartiradi va bunday suyuqliklarda ichki ishqalanish kuchlari mavjud bo'ladi. Tinch holatdagi suyuqliklarda urinma kuchlanish bo'lmaydi.

Real suyuqlik zarrachalari harakatchan deb qaralsada, ular cho'zilish va siljish kuchlariga qarshilik ko'rsatadilar. Real suyuqliklarning harakati o'rganilayotganda ichki

ishqalanish kuchi va qovushqoqligini etiborga olish shart, chunki qovushqoqlik harakatdagi real suyuqliklarning asosiy xossasi hisoblanadi. Harakatdagi suyuqliklarda esa urinma kuchlanish bo'ladi, bunday suyuqliknинг ichida ixtiyoriy ikki qatlam bir-biriga nisbatan harakatda bo'lganda, sathlar orasida ishqalanish kuchi paydo bo'ladi, natijada ichki urinma kuchlar muvozanatlashadi.

Suyuqliklarga ta'sir qiluvchi kuchlar. Suyuqliklarga ta'sir qiluvchi kuchlar *ichki* va *tashqi* kuchlarga bo'linadi.

Ichki kuchlar suyuqliklarning o'zaro ta'siri natijasida vujudga keladi.

Tashqi kuchlar suyuqlikka boshqa tashqi jismlarning ta'sirini ifodalaydi (masalan, suyuqlik solingan idish devorlarining ta'siri, ochiq yuzaga ta'sir qilayotgan havo bosimi va h.k.)

Ichki kuchlar siljituvcchi kuchlarga qarshilik sifatida namoyon bo'ladi va ichki ishqalanish kuchi deyiladi. Tashqi kuchni yuza va hajm bo'yicha ta'sir qiluvchi kuchlar sifatida ko'rish mumkin. Shu sababli suyuqliklarga ta'sir qiluvchi kuchlar yuza bo'yicha yoki hajmi bo'yicha ta'sir qilishiga qarab yuzaki va massa kuchlarga bo'linadi.

Yuzaki kuchlar qaralayotgan suyuqlik hajmining sirtlariga ta'sir qiluvchi kuchlardir. Ularga bosim kuchi, sirt taranglik kuchi, suyuqlik solingan idish devorining reaksiya kuchlari va ichki ishqalanish kuchi kiradi. Ichki ishqalanish kuchi suyuqlik harakat qilganda yuzaga keladi va qovushqoqlik xususiyatini yuzaga keltiradi.

Massa kuchlar – qaralayotgan suyuqlik hajmining har bir zarrasiga ta'sir qiladi va uning massasiga proporsional bo'ladi. Massa kuchlariga og'irlilik va inertsiya kuchlari kiradi.

«Gidravlika asoslari, nasoslar va kompressorlar» amaliyatga oid shunday fanki, bu fan suyuqliklarni tinch holati va harakat qonunlari, sanoatda qo'llanadigan nasoslar, kompressorlar va ventilyatorlarning tuzilishi va ularning ishlash jarayonlarni gidravlika qonuniyatlari haqida tushunchalar beradi.

Gidravlikaning amaliyotdagi ahamiyati juda katta, chunki u texnikaning juda ko'p sohalarini qamrab olib gidravlika, gidrotexnika, gidravlik mashinalar, gidravlik uzatmalar, suv ta'minoti, kanalizatsiya, quritish va sug'orish ishlarida hamda suv transportida keng qo'llaniladi.

Gidravlikaning qo'llaniladigan yana bir sohasi O'zbekistonda rivojlanib borayotgan neft-gaz sohasi bo'lib, bunda neft mahsulotlarini bir erdan ikkinchi erga ko'chirishda va uzatishda ham qo'llaniladi. O'zbekiston bo'ylab yo'l qurilishi nihoyatda avj olayotgan hozirgi kunda gidravlik qurilish mashinalarining ahamiyati juda kattadir.

Juda qadim, ya'ni texnika taraqqiy qilmagan zamonlarda ham odamzod suyuqlikdan foydalangan, ya'ni sug'orish ishlari, erni quritish usullari, suyuqlikni ko'p bo'lmasada 3-4 metrga ko'tarish (charxpalak) usullari qo'llanilgan. Jumladan, xitoyda sug'orish kanallaridan foydalangan, suyuqlikni yuqoriga ko'tarish ishlari rivojlangan. Ko'pchilik davlatlarda suvni er ostidan olib o'tishda sopol quvurlar qo'llanilgan. Gidravlikaga oid daslabki qonunga 2250 yil muqaddam asos solingan. Jumladan, dastlabki qonunlardan biri Arximed qonunida jismlarning muvozanat qonunlari ta'riflandi.

Bundan 1000 yillar ilgari O'rta Osiyo davlatlari, Turon davlatlarida gidravlika fani rivojlanib bordi. O'zbekistonda etilib chiqqan ulug' allomalar gidravlika sohasida buyuk ishlarni yaratdi. Muhammad Ahmad ibn Farg'oniy Nil (Afrika) daryosi suvlarini

taqsimlash bo'yicha katta ishlarni amalga oshirdi. Abu Rayhon Beruniy er osti sizot suvlarini bir-biriga ulab katta anhor suvi paydo qilib, shaharni suv bilan ta'minladi. Abu Ali ibn Sino suv va suyuqliklarning xossalari o'rganish uchun katta hissa qo'shdi.

XVI-XVII asrlardan boshlab gidravlika sohasida katta o'zgarishlar sodir bo'ldi. Taraqqiyot davrida Leonardo da Vinchi (mashhur rassom), Galileo Galiley (astronom), Paskal' va N'yuotonlarning izlanishlari samarasi o'laroq, gidravlikaning fan sifatida shakllanishiga o'z hissalarini qo'shishdi. Nazariy mexanikaning bir bo'lagi bo'lib nazariy gidromexanika ham paydo bo'ldi. XVII-XVIII asrda esa mexaniklar va matematiklar Leonid Eyler, Daniel Bernulli va Lagranjlar yordamida gidravlikaning asosiy qonunlari tushunchasi va gidromexanikaning asosiy tenglamalari paydo bo'ldi. Ushbu izlanishlar asosan nazariy harakterda bo'lib, suyuqliklarning fizik xossalari ba'zi cheklanishlar bilan o'rganishib, tajribada ushbu qiymatlar ancha farq qilardi.

XIX asrdan boshlab olimlar amaliyotni nazariyaga yaqinlashtirishga intilishdi. Bu sohada Shezi, Darsi, Buesineska, Veysbax, N.E.Jukovskiylar ishlari ta'sirida gidravlika ham nazariy ham amaliy ahamiyatga ega fan bo'lib jamlandi.

XX asrga kelib, L.Prandtl ishlari ta'sirida nazariy va amaliyotdagi ko'p kamchiliklar tugatilib, empirik formulalardan yangi ilmiy asoslangan formulalar buning bo'ldi, koeffitsientlar aniq hisoblab chiqildi. 1835 yili A.A.Sablukov tomonidan markazdan qochma nasosni kashf etildi.

Zamonaviy gidravlika bu qo'llanmada qisqacha umumlashtirilgan, nazariyalar tajribalar bilan to'ldirilgan va juda keng sohalarda qo'llanilayotgan gidromexanikadir. Bu borada ko'pgina O'zbekiston olimlari X.A.Raxmatulin, D.Fayzullaev, Q.Sh.Latipov, A.A.Hamidov, A.O.Shokirov, A.Yu.Umarov, A.I.Umarov va boshqalarning ilmiy ishlari gidromexanika, hamda gidravlikada ma'lum darajada fanining rivojlanishiga olib keldi.

1.1.1. ASOSIY TUSHUNCHALAR VA QOIDALAR

Suyuq jismlar yoki suyuqliklar deb, shunday jismlarga aytamizki, ozgina bo'lsa ham kuch ta'sirida o'z shaklini engil o'zgartiruvchi jismlarga aytildi. Suyuqlik oson harakatlanuvchan bo'ladi, o'z shaklini tez o'zgartiruvchi va har xil shakildagi idishlarni to'ldiruvchi jismlardir.

Tabiatda ikki xil suyuqliklar bo'ladi: tomchilanuvchi va gazsimon.

Tomchilanuvchi suyuqliklar atrofimizda uchraydigan, har kuni ko'rib turgan suyuqliklarimiz: suv, neft, spirit va kislota suyuq holatdagi gazlardir. Gazsimon suyuqliklar tomchilovchi suyuqliklardan farqli o'laroq katta siqilish darajasiga ega, bosim oshgan sari gaz ko'proq siqilib, suyuqlikka aylanadi. Tomchilovchi suyuqliklar quvurlarda harakatlanganda ozmi ko'pmi qarshiliklarga uchraydi, lekin siqilish darjasini kam. Tomchilanuvchi suyuqlik cho'zilish qarshiliigiga uchramaydi, lekin uning yuzasi, yuza tortish kuchlanishiga ega.

Tomchilanuvchi suyuqliklar harakat chog'ida yopishqoqligi (qovushqoqligi) tufayli katta qarshiliklarga ega, shuning uchun ichki ishqalanish kuchlari to'g'ri hisobga olinganda suyuqlik o'z istimolchisiga etib boradi va kerakli miqdorda bo'ladi.

Nazariy xulosalarni engillashtirish va soddalashtirish uchun suyuqliklarni ideal va real guruhlariga bo'linadi. Ideal suyuqliklar absolyut kengaymaydi, absolyut

toraymaydi va yopishqoqlikka ega emas. Bu suyuqlik hayoliy suyuqlikdir. Tabiatda esa faqat real suyuqliklar uchraydi. Real suyuqliklar temperaturaga va bosimga qarab oz miqdorda kengayadi va torayadi. Yopishqoqlik (qovushqoqlik) qiymatiga qarab ko'p yoki oz miqdorda suyuqlik harakatiga qarshilik ko'rsatadi.

1.2. SUYUQLIKLARNING ASOSIY FIZIK XOSSALARI

Solishtirma og'irlilik. Suyuqlik og'irligining hajmiga nisbatli solishtirma og'irlilik deb ataladi va grekcha γ harfi bilan belgilanadi.

Ta'rifga asosan:

$$\gamma = \frac{G}{W}, \quad (1.1)$$

bu erda, W - suyuqlik hajmi, m^3 ;

G - suyuqlik og'irligi, N.

Solishtirma og'irlilikning SI sistemasida birligi

$$[\gamma] = \left[\frac{G}{W} \right], \left[\frac{\text{H}}{\text{i}^3} \right].$$

Zichlik va solishtirma og'irlilik o'rtaqidagi bog'liqlik

$$\gamma = \rho \cdot g, \quad (1.2)$$

bu erda ; g – erkin tushish tezlanishi, $g = 9,81 \text{ m/s}^2$.

Zichlik. Suyuqlikning zichligi deb, suyuqlik massasining hajmiga nisbatiga aytiladi va ρ harfi bilan belgilanadi

$$\rho = \frac{m}{W}, \quad (1.3)$$

bu erda, m - suyuqlik massasi.

Zichlikning o'lchov birligi quyidagicha:

$$[\rho] = \left[\frac{m}{W} \right] = \frac{\text{kg}}{\text{m}^3}$$

Avval aytilganidek, real suyuqliklar temperatura ta'sirida va bosim ta'sirida oz miqdorda bo'lsada ham kengayadi va torayadi. Bu qiymatlar juda ham katta bo'limganligi uchun yo'l qurilish mashinalarida ishlataladigan suyuqlklarning kengayishi va torayishida hisobga olinmaydi.

ASOSIY O'LCHAMLAR VA ULARNING O'LCHOV BIRLIKLARI

Hozirgi zamonda fanda qo'llanaladigan birliklar sistemasi xalqaro fizik, texnik va sistemadan tashqari birliklardir.

Xalqaro birlik butun dunyoda asosiy hisoblanadi va uni qisqacha SI (Internatsional sistema) deb yuritiladi.

Xalqaro sistemada asosiy o'lchamlar: uzunlik [m], massa [kg] va vaqt [s., sek].

Texnik sistemada asosiy o'lchamlar: uzunlik [m], og'irlik [H] va vaqt [s, cek] belgilangan.

O'lchamlarni belgilash: uzunlik [L], massa [M], og'irlik [G,P] va vaqt [T]. Fizik (SGS) sistemada uzunlik [sm], massa [g], vaqt [s] larda o'lchanadi.

1.1 - jadval

**Ayrim suyuqliklarning zichligi va solishtirma og'irligining
temperaturaga bog'liqligi**

Suyuqliklar	Temperatura $t, {}^{\circ}\text{S}$	Zichlik $\rho, \text{ kg/m}^3$	Solishtima og'irlik $\gamma, \text{ n/m}^3$
Suv	0	999,8	999,8-9,81=9808
	4	1000,0	9810
	10	999,75	9807
	20	998,26	9792
	40	992,35	9734,9
	60	983,38	9646,9
	80	971,94	9534,7
	100	958,65	9404,3
Benzin		700÷720	6867÷7063
Bitum		930÷950	9123÷9319
Kerosin		820÷830	8044÷8142
Oddiy mazut		890÷920	8730÷9025
Qora mazut		930÷940	9123÷9221
Neft-engil		850÷880	8338÷8632
Neft-o'rtacha		880÷900	8632÷8829
Neft-og'ir		920÷930	9025÷9123
Moylovchi suyuqliklar (moylar)		890÷920	8730÷9025
Solyarka moyi		880÷890	8632÷8730

1.2 - jadval

Ayrim gazlarning solishtirma og'irligi va zichligining o'zaro bog'liqligi

Suyuqliklar	$t {}^{\circ}\text{C}$	$\rho, \text{ kg/m}^3$	$\gamma, \text{ n/m}^3$
Havo	20	1,293	12,68
Kislород	20	1429	14,02
Azot	20	1251	12,27
Vodorod	20	0,0898	0,873
Uglekislota (SO_2)	20	1,977	19,39
Atsetilen	20	1,171	11,48
Etilen	20	1,260	1236
Metan	20	0,717	7,033
Geliy	20	0,1785	1,751
Ammiak	20	0,771	7,46

1.2.1. SOLISHTIRMA HAJM

Solishtirma hajm – bu massa birligi egallagan hajmdir.

$$\nu = \frac{W}{m} - \text{bu qiymat, zichlik qiymatining teskarisidir.}$$

$$\nu = \frac{I}{\rho}; \quad \nu_{suv} = \frac{1}{1000} \frac{\dot{I}^3}{kg}; \quad (1.4)$$

Ba’zida solishtirma hajm deb – og’irlik egallagan hajmga ham aytaladi.

$$\nu = \frac{W}{G} = \frac{I}{\gamma} = \frac{1}{9810} \frac{M^3}{H} - \text{suvning solishtirma hajmi.}$$

SIQILUVCHANLIK

Siqiluvchanlik, suyuqlikning siqilish koeffitsienti bilan harakterlanadi. Siqilish koeffitsienti deb - suyuqlik yuzasidagi bosimni 1 atm-ga oshirilganda hajmnинг o’zgarishiga aytiladi.

$$\beta_p = \frac{I}{W} \frac{\Delta W}{\Delta \rho}, \quad \left[\frac{M^2}{H} \right]; \quad (1.5)$$

Bu erda: W -boshlang’ich hajm. ΔW -hajm o’zgarishi. $\Delta \rho$ -bosim o’zgarishi.

1.3 -jadval

Suyuqliklarning siqilish koeffitsienti qiymatlari berilgan

Suyuqliklar	$\beta_p \frac{M^2}{H}$	Suyuqliklar	$\beta_p \frac{M^2}{H}$
Suv	$475 \cdot 10^{-8}$	Efir	$110 \cdot 10^{-7}$
Neft	$750 \cdot 10^{-8}$	Simob	$30 \cdot 10^{-8}$
Benzin	$920 \cdot 10^{-8}$		

TEMPERATURADAN KENGAYISH

Suyuqlik hajmining temperaturadan o’zgarishini temperaturadan kengayish koeffitsienti harakterlaydi va quyidagicha ta’riflanadi: Suyuqlik temperaturasini $1^\circ S$ -ga oshirilganda, suyuqlikning kengayishini ko’rsatuvchi qiymat

$$\beta_T = \frac{I}{W} \cdot \frac{\Delta W}{\Delta t} \left[\frac{I}{^\circ C} \right]; \quad (1.6)$$

Bu erda: W -boshlang’ich hajm. ΔW -suyuqlikning kengayish qiymati (hajmi), Δt -temperaturalar farqi.

Suv uchun temperaturasini 10 dan $20^\circ S$ gacha va 10^5 Pa bosimda

$$\beta_T = 0,00015 \frac{I}{^\circ C};$$

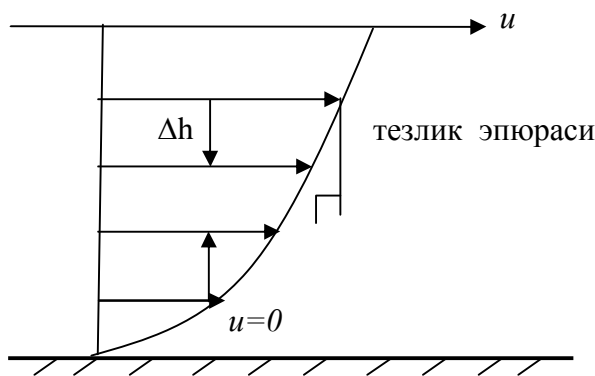
Ayrim holatlarda suyuqlik zichligi oshishiga qarab temperaturadan kengayish koeffitsientining o'zgarishini hisobga olinadi. Bunday holat quyidagi 1.4-jadvalda berilgan:

1.4 -jadval

Suyuqlik zichligi, kg/m ³ $t=15^{\circ}$	700	800	850	900	920
Temperaturadan kengayish koeffitsienti β_t	0,00082	0,00077	0,00072	0,00064	0,00060

1.3. SUYUQLIKLARDAGI ISHQALANISH UCHUN N'YUTON QONUNI

Yopishqoqlik yoki ichki ishqalanish deb 1.1-rasmda - harakatlanayotgan suyuqlik qatlamlarining bir-biri harakatiga qarshilik ko'rsatish qobiliyatiga aytildi.



1.1-rasm. Tezlik epyurasi

Suyuqlik quvurda harakatanyotganda uning markazida tezligi eng katta bo'ladi, quvur devoriga yaqinlashgach esa suyuqlik tezligi kamayib, 0-qiymatgacha yaqinlashishi mumkin. Bu hodisaga Isaak N'yuton gipoteza yaratdi va uni N.P. Petrov nazariyaga aylantirdi.

$$T = \mu \cdot F \cdot \frac{\delta u}{\delta h};$$

Bu erda F -quvurning ko'ndalang kesim yuzasi, $[M^2]$

δu - qatlamlar tezliklari orasidagi farq, $\left[\frac{M}{S} \right]$.

δh - qatlamlar orasidagi farq, $[M]$.

μ_{suyk} - suyuqlik yopishqoqligini karakterlovchi dinamik yopishqoqlik koeffitsienti:

$$\mu = \frac{T}{F \cdot \frac{\delta u}{\delta h}} \left[\frac{H}{M^2 \cdot M/M \cdot s} \right] = \left[\frac{H \cdot sek}{M^2} \right]; \quad (1.7)$$

$\frac{\delta u}{\delta h}$ -ni tezlik gradienti deb ham aytildi, qancha suyuqlik quyuq yoki yopishqoq bo'lsa, bu qiymat shuncha katta bo'ladi, μ -o'lchamlari.

SI sistemasida - $\left[\frac{H \cdot S}{M^2} \right]$, texnik sistemada - $\left[\frac{kgk \cdot S}{M^2} \right]$, fizik sistemada - $\left[\frac{dina \cdot s}{sm^2} \right]$.

Suyuqliklar qovushqoqligi (yopishqoqligi) dinamik yopishqoqlik koeffitsientidan tashqari kinematik yopishqoqlik koeffitsienti bilan ham ifodalanadi.

$$\vartheta = \frac{\mu}{\rho} = \left[\frac{m^2}{s} \right]^2, \text{ è è } \left[\frac{sm^2}{s} \right]; \quad \nu = \frac{\mu}{\rho}; \quad (1.8)$$

ϑ - o'lchamlari.

1 g/sm·s dinamik yopishqoqlik 1 puazga teng.

1 sm²/s kinematik yopishqoqlik 1 stoksga teng.

1.5 -jadval

Ba'zi bir suyuqliklarning dinamik va kinematik yopishqoqliklari qiymati quyidagiga teng

Nº	Suyuqliklar	$t^0 C$	$\mu \cdot \frac{H/S}{M^2}$	$\vartheta = \frac{M^2}{s}$
1	Suv	0	00,1784	$178 \cdot 10^{-6}$
2		4	0,157	$157 \cdot 10^{-6}$
3		10	0,131	$131 \cdot 10^{-6}$
4		20	0,101	$101 \cdot 10^{-6}$
5		40	0,066	$66 \cdot 10^{-6}$
6		60	0,048	$48 \cdot 10^{-6}$
7		80	0,037	$37 \cdot 10^{-6}$
8		100	0,029	$29,5 \cdot 10^{-6}$
9	Benzin	15	0,063	$84 \cdot 10^{-6}$
10	Kerosin	15	0,216	$240 \cdot 10^{-6}$
11	Mazut	20	0,475	$500 \cdot 10^{-6}$
12	Mashina moyi	50	2,16	$2700 \cdot 10^{-6}$
13	Neft - engil	15	0,64	$810 \cdot 10^{-6}$
14	Neft o'rtacha	15	1,23	$1450 \cdot 10^{-6}$
15	Neft og'ir	20	1,054	$1110 \cdot 10^{-6}$
16	Solyarka moyi	50	0,25	$280 \cdot 10^{-6}$

Suyuqliklar yopishqoqligi viskozimetr asbobi yordamida o'lchanadi.

1.3.1 MASALALAR

1. Neftning zichligi $\rho = 860 \frac{kg}{m^3}$ berilgan. Ushbu suyuqlik zichligini texnik va fizik o'lchamlarda toping.

2. Suyuqlik (benzin)ning solishtirma og'irligi $\gamma = 720 \frac{kgk}{m^3}$ bo'lsa, SI va fizik o'lchamlarda shu suyuqliknинг zichliklarini 3 ta sistemada aniqlang.

3. Dinamik yopishqoqlik koeffitsienti suv uchun $4^0 c$ da

$$\mu_{texn} = 1,598 \cdot 10^{-4} \left[\frac{kgk \cdot s}{I^2} \right]$$

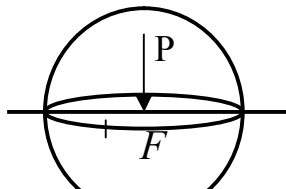
SI da fizik o'lchamlarda μ -qiymatini aniqlang.

4. Neftning kinematik yopishqoqlik koeffitsienti $\vartheta = 0,4 \text{ sm}^2/\text{s}$ va solishtirma og'irligi $\gamma = 900 \text{ kGK/m}^3$ bo'lsa, shu suyuqlik uchun dinamik yopishqoqlik koeffitsienti barcha sistemalarda topilsin.

5. Quvur uzunligi 1000 m, diametri 1 metr bo'lib, suv bilan to'ldirilgan idishda bosim 5 atm, havo temperaturasi 10°C. Ushbu suyuqliknini 5°C ga isitilganda, idish ichida bosim qanchaga oshadi? Foydalanish uchun: $\beta_p = 1/21000 [\text{m}^2/\text{n}]$; $\beta_t = 0,000014$;

1.4. GIDROSTATIK BOSIM, UNING XOSSALARI VA O'LCHASH BIRLIKHLARI

Gidrostatika, gidravlikaning shunday bo'limiga aytiladiki, bunda suyuqlikning muvozanat qonunlari o'rGANILADI (1.2-rasmda).



1.2-rasm.

$D_{urt} = \frac{\Delta D}{\Delta F}$ nisbati yuza birligiga qo'yilgan kuch o'rtacha
gidrostatik bosim deb yuritiladi.

Bu erda, $\Delta R, [\text{N}]$ - suyuqlik yuzasiga qo'yilgan kuch yoki og'irlik; $\Delta F, [\text{m}^2]$ - ΔR kuch qo'yilgan yuza.

Idishning har xil balandliklarida bosim har xil va u qo'yilgan yuza qiymatiga ham bog'liq.

Haqiqiy hidrostastik bosim oddiy qilib, hidrostatik bosim deb ataladi.

$$D = \lim_{\Delta F \rightarrow 0} \left[\frac{\Delta P}{\Delta F} \right] \quad (1.9)$$

Gidrostatik bosim quyidagi o'lchamga ega. $|P| = \left[\frac{P}{L^2} \right]$; Bosim; SI sistemasida $\left[\frac{H}{M^2} \right]$; texnik sistemada $\left[\frac{kgk}{I^2} \right]$; SGS fizik sistemada $\left[\frac{dina}{sm^2} \right]$; $1 \frac{I}{I^2} = 1 \text{ Pa}$ - Paskal, $98100 \frac{H}{M^2}$ - bosim 1 barga teng. $1 \frac{kgk}{sm^2}$ - 1 texnik atmosferaga teng deb yuritiladi.

Barcha sistemalarda o'lchamlar bir-biri bilan quyidagicha bog'liq.

$1 \text{ atm} = 1 \text{ kgk} / \text{sm}^2 = 0,98 \text{ bar} = 0,98 \cdot 10^5 \text{ Pa} = 0,98 \cdot 10^5 \text{ dina} / \text{sm}^2 = 10000 \text{ kgk} / \text{m}^2 = 10 \text{ m}$. suv ustuni = 0,76 m simob ustuni.

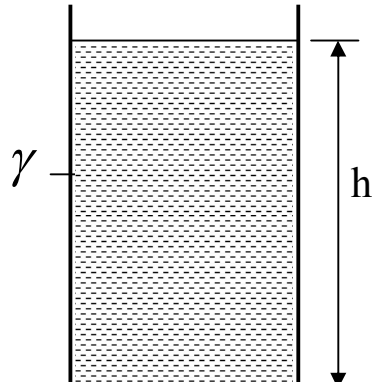
Atmosfera bosimi dengiz sathidan balandlik qiymatiga qarab kamayadi ($\frac{kgk}{sm^2}$).

0-m – 1,033	500m – 0,970
100m – 1,020	1000m – 0,920.
200m – 1,010	2000m – 0,810

Gidravlikada suyuqlikning idish tagiga bo'lgan bosimi suyuqlik balandligiga to'g'ri proportional

$$P = \gamma h ; \quad (1.10)$$

Bu erda, γ - suyuqlik turiga bog'liq qiymat,yoki solishtirma og'irlik.



1.3-rasm.

$$\gamma_{suv} = 9810 \frac{H}{M^3}; \quad \gamma_{btnzin} = 7800 \frac{\dot{I}}{\dot{I}^3};$$

$$\lambda_{I_2} SO_4 = 25000 \frac{H}{M^3};$$

$$\gamma_{simob} = 9810 \cdot 13,6 = 133416 \frac{\dot{I}}{\dot{I}^3}$$

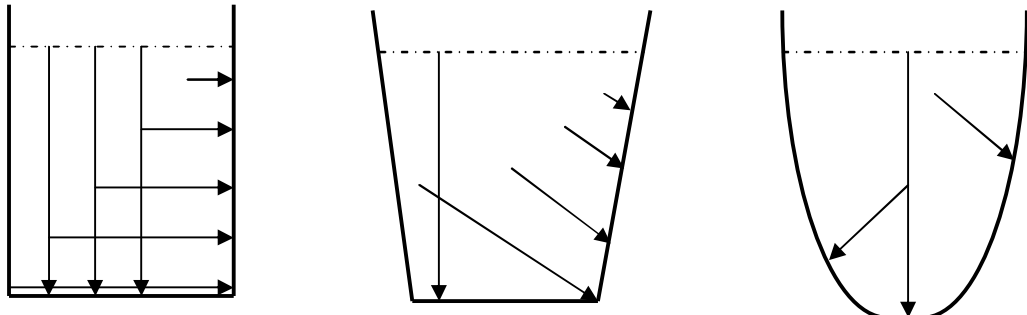
Gidrostatik bosim deb – (1.3-rasmida) suyuqlik ichida paydo bo'ladigan kuchlanishga aytildi, ya'ni $P = \gamma h$; h – ortgan sari kuchlanish ortib boradi.

Gidrostatik bosimni nuqtadagi bosim deb ham yuritiladi.

1.4.1. GIDROSTATIK BOSIMNING XOSSALARI

Nuqtadagi bosim yoki gidrostatik bosim ikkita xossaga ega.

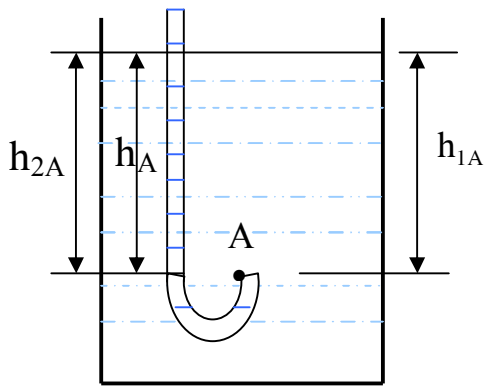
I.-suyuqlik o'zi ta'sir qilayotgan yuzaga doimo normal yo'nalib siqvuchi kuch hisoblanadi. Bu kuch doimo ichki tomonga yo'nalgan bo'ladi.



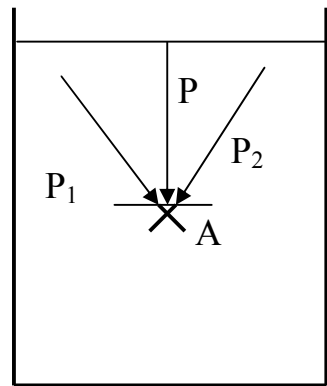
1.4-rasm. Har xil shakildagi idishlar berilgan

Istalgan formadagi (1.4-rasmida) idishlar yuzasiga bosim normal yoki perpendikulyar yo'nalgan bo'ladi. Shar yoki tsilindrik idishlarda bosim yo'nalishini topish uchun, shu devorga urinma o'tkazilib, bosim urinmaga normal- perpendikulyar yo'nalgan deb olinadi.

II-istalgan nuqtadagi bosim (1.5-rasmida) qiymati barcha tomonga bir xil qiymatda bo'ladi. $P = \gamma h_{1A} = \gamma h_{2A} = \gamma h_A$.



Yoki

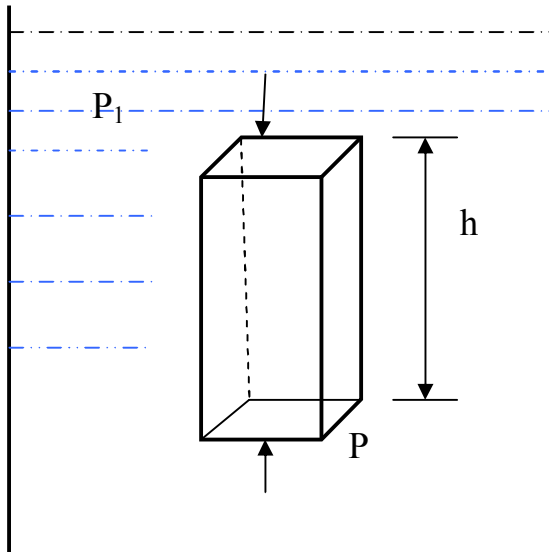


1.5-rasm

Suyuqlikga tushirilgan prizmatik jism kesimi ΔF va balandligi h . Shu jismga ta'sir qiluvchi kuchlarni vertikal o'qqa proektsiyasi muvozanat tenglamasi quyidagi ko'rinishga ega bo'ladi.

$$P\Delta F = P_1\Delta F + \rho gh\Delta F; \text{ hosil qilamiz.}$$

Bu erda R_1 -prizmaning (1.6-rasmida) yuzasiga qo'yilgan bosim, R - prizmaning tagiga ta'sir etuvchi bosim, $\rho gh\Delta F$ - suyuqlik og'irligining bosimi.



1.6-rasm. Arximed qonuniga chizma

Tenglamaning ikki tomonidan ΔF ni qisqartirib yuborsak

$$R = R_1 + \rho gh = R_1 + \gamma h; \quad (1.11)$$

Agar prizmaning yuqori qismi havo bilan tutashganligini inobatga olinsa, u holda quyidagi tenglama hosil bo'ladi.

Ushbu $P = P_0 + \gamma h$ - tenglama gidrostatikaning asosiy formulasi deyiladi. Idishdagi gorizontal bo'yicha barcha nuqtalarda bosim bir xil qiymatga ega bo'ladi. Bu tenglamada R nuqtadagi to'liq bosim yoki absolyut bosim deyiladi.

$$\mathcal{D}_{abs} = \mathcal{D}_0 + \gamma h. \quad (1.12)$$

1.6-jadval

Bosim qiymatining har xil o'lchov sistemalarida bir-biriga mutanosibligi quyidagicha

Birliklar	Pa	Bar	kgk/sm ²	mm.sim.ust	mm.suv.ust
1 Pa	1	10^{-5}	$1:02 \cdot 10^{-5}$	$7,5 \cdot 10^{-3}$	0,102
1 Bar	10^5	1	1,02	$7,5 \cdot 10^{-2}$	10000
1 kGs/sm ²	$9,81 \cdot 10^3$	0,981	1	760	10000
1 mm.sim.ust	133	$1,33 \cdot 10^3$	$1,36 \cdot 10^{-3}$	1	13,6
1 mm.suv.ust	9,81	$9,81 \cdot 10^{-3}$	$1 \cdot 10^{-4}$	0,070	1

Agar idish ochiq bo'lsa, u holda $R_0 = R_{atm}$ ga teng bo'ladi, ya'ni

$$P_{abs} = P_{atm} + \gamma h \quad (1.13)$$

1.5. BOSIM O'LCHASH ASBOBLARI. PASKAL QONUNI

Bosim o'lchash asboblarini 2 guruhga ajratiladi. Bular suyuqlik bilan ishlaydigan va mexanik asboblar.

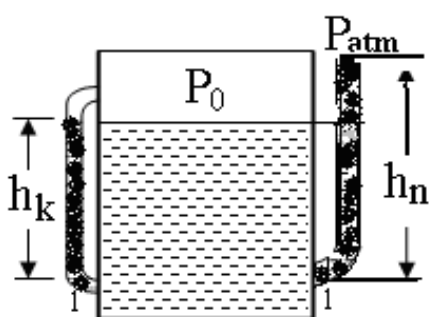
1. Suyuqlik bilan ishlaydigan bosim o'lchash asboblariga quyidagilar kiradi:

a) P'ezometr. b) U - simon manometrlar. v) Differentsial manometrlar. g) Chashkali (idishli) manometrlar. d) Mikromanometrlar. e) Vakuummetrlar.

2. Mexanik asboblar: a) Prujinali manometr. b) Membranalni manometr.

Endi texnikada ko'p ishlatiladigan manometrlarning ba'zi birlari bilan tanishamiz.

I. P'ezometrlar. P'ezometrlar deb, diametri 1sm gacha bo'lgan (1.7-rasmida) shisha naychalarga aytildi.



1.7-rasm.

h_p -p'ezometr balandligi. h_k -kuzatuv oynasidagi suyuqlik balandligi bo'lib, idishdagi suyuqlik balandligini ko'rish uchun ishlatiladi.

P'ezometr balandligi h_p -ma'lum bo'lsa, idish ichidagi ortiqcha bosim quyidagiga teng

$$R_{ort} = \rho gh_n. \quad (1.14)$$

1-1 kesimi chap va o'ng tomonlarida bosimlar bir-biriga teng, ya'ni

$$R_0 + \gamma h_k = R_{atm} + \gamma h_p \quad (1.15)$$

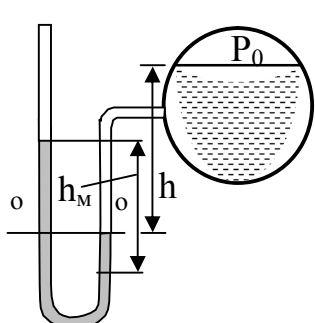
bu formuladan $h_i = h_i = \frac{P_0 - P_{atm}}{\gamma} + h_k$ ga teng bo'ladi.

Ochiq idislarda esa $P_{ort} = \gamma h_n$ ga teng. Bu formuladan $h_i = \frac{D_{ort}}{\gamma}$ kelib chiqadi,

R_{ort} qancha ko'p bo'lsa, p'ezometr balandligi ham shuncha katta bo'ladi.

II. U - simon manometrlar (1.8- rasm).

P'ezometr yordamida bosimni 0,1-0,2 atm-gacha o'lchash mumkin. Undan yuqori bosimlar esa U - simon manometrlarda o'lchanadi.



1.8-rasm. U - simon manometrlar

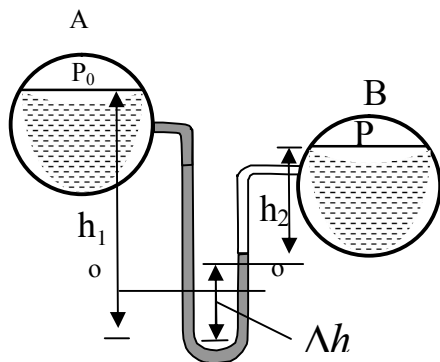
U- simon manometrlar og'ir suyuqlik bilan, ya'ni simob bilan to'ldiriladi. Simob orqali o'lchanganda $1_{atm} = 760\text{mm}$ simob ustuniga teng $R_m = \gamma h_m$. Idish ichidagi bosim R_0 oshsa, simob chap tomondagи shishada ko'tarilib, o'ng tomondagи shishada pastga tushadi.

Shu balandliklar farqi h_m bilan belgilanadi.

$P_{ort} = \gamma h_m$. $hm = 0,76\text{ m}$ bo'lsa, truba ichida 1 atm bosim bo'ladi.

$$P_{av} = P_0 + \gamma h_m \quad (1.16)$$

III. Differensial manometr



1.9-rasm. Differensial manometr

Differensial manometrlar (1.9-rasmda) ikki idishdagi bosimlar farqini o'lchash uchun mo'ljallangan.

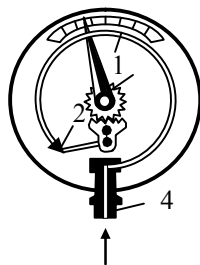
Bunda U - simon manometr simob bilan to'ldiriladi, u holda $\Delta p_{\text{orto}} = \gamma_s \Delta h$ simobning solishtirma og'irligi.

Δh -simob ustunlari orasidagi farq.

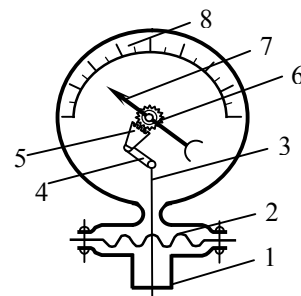
IV. Mikromanometrlar - juda kichik bosimlarni aniq o'lchash uchun qo'llaniladi.

V. Vakuummetrlar (1.10 - rasmda) U - simon manometrlar tuzilishi singari bo'lib, quvurlardagi va idishlardagi havoning siyraklanishini, ya'ni vakuumni o'lchaydi.

VI. Mexanik manometrlar (1.11-rasmda). Mexanik manometrlar juda katta qiymatdagi bosimlarni ham o'lchay oladi. Strelkalar ko'rsatishiga qarab, bosim qiymati shkaladan olinadi. Bunda bosim qiymati qancha katta bo'lsa, prujina shuncha katta ochilib, bosim qiymati shkalada namoyon bo'ladi.



1.10 – rasm.Prujiniali manometr.



1.11 –rasm. Membranali manometr.

Bosim oshgan sari prujina qattiqlasha borib, manometrlar himoyalı qilib tayyorlanadi.

1.5.1. BOSIM TURLARI

Bosim qiymatiga qarab ular bir necha turlarga bo'linadi.

- Atmosfera bosimi – bu atrofimizni qurshab olgan normal havo bosimidir. Atmosfera bosimi - R_{atm} bilan belgilanadi va u quyidagiga teng.

$$1_{atm} = 1 \frac{kgk}{sm^2} = 0,98 bar = 0,98 \cdot 10^5 Pa = 9,8 \frac{dina}{sm^2} = 10000 \frac{kgk}{m^2} = 98100 \frac{I}{l^2} = 10m \text{ suv ustuni}$$

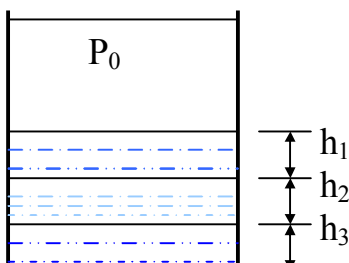
va 760 mm simob ustunidir.

Atmosfera bosimi barometr asbobi yordamida o'lchanadi. Atmosfera bosimi shamolning tez yoki sekinligiga, havo o'zgarishiga qarab o'zgarib turuvchi qiymat hisoblanadi.

- Absolyut bosim deganda avvalgi mavzularda yoritilganidek, to'liq bosimni tushunamiz. Agar idish ichida bir xil suyuqlik bo'lsa, u holda

$$R_{abs} = R_0 + \gamma h .$$

Agar idishda bir-biri bilan aralashmaydigan bir necha xil suyuqlik bo'lsa, u holda (1.12-rasm).



1.12-rasm.

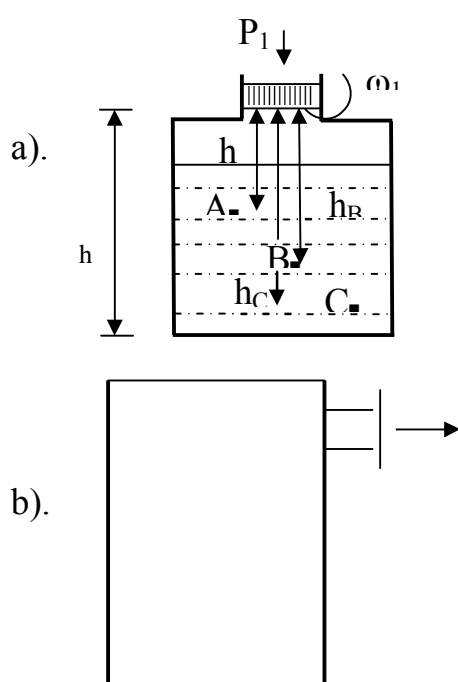
ya'ni $D_{ort} = D_{Atm} - D_{atm}$; Agar idish yopiq bo'lsa, u holda

$$D_{irt} = D_{abs} - D_{atm} = D + \gamma h - P_{atm};$$

Idish usti ochiq bo'lsa, u holda $P_{ort} = P_{ABC} - P_{atm} = P_{atm} + \gamma h - P_{atm} = \gamma h$, ya'ni ortiqcha bosim suyuqlik ustunining bosimidir. Daryo, dengizlar chuqurligini bilsak, uning har bir metr chuqurligini ortiqcha bosim orqali aniqlanadi.

4. Vakummetr bosimi. Idish ichidagi havosi so'rib olinsa, u holda idish ichida 1_{atm} dan past bosim hosil bo'ladi. Vakuummetr bosimi deb - 1_{atm} bosimga etmagan bosimga aytildi, ya'ni $D_{vak} = D_{atm} - D_{abs}$.

Idishga biror bir suyuqlik solib uning yuzasidan porshen bilan bossak, u holda suyuqlik yuzasida bosim paydo bo'ladi.



1.13, a-b-rasmlar.

$D_{abs} = D_0 + \gamma_1 h_1 + \gamma_2 h_2 + \gamma_3 h_3$ bo'ladi.
bu erda $\gamma_1, \gamma_2, \gamma_3, lar$ h_1, h_2, h_3 , boalandlikka
ega bo'lgan suyuqliklar solishtirma og'irligi.
3. Ortiqcha bosim - D_{irt} deb yoziladi va P_{man} -
manometr bosimiga teng, ya'ni $D_{irt} = D_{man}$.
 D_{irt} - bosimi deb, 1_{atm} bosimdan ortiqcha
bo'lgan bosimga aytamiz,

ya'ni $D_{ort} = D_{Atm} - D_{atm}$; Agar idish yopiq bo'lsa, u holda

$$D_{irt} = D_{abs} - D_{atm} = D + \gamma h - P_{atm};$$

Idish tagiga bo'lgan to'liq bosim
 $R_{abs} = R_0 + \gamma h = R_1/\omega_1 + \gamma h$; bo'ladi buerda
 R_0 - tashqi bosim. Tegishli no'qtalardagi bosim
1.13, a-rasmda,

$$R_{absa} = R_0 + \gamma h_A;$$

$$R_{absv} = R_0 + \gamma h_V;$$

$$R_{abss} = R_0 + \gamma h_S;$$

formulalar bilan ifodalanadi .

Bu hodisa Paskal qonuni bilan ifodalanadi 113, b-rasmda.

Havosi so'rib olingan sari P_{ABC} - kamaya boradi, vakuummetr bosimi esa oshib, oxiri 1_{atm} vakuummetr bosimiga teng bo'ladi. Misol uchun;

$$P_{vak} = 1_{atm} - 0,8_{atm} = 0,2_{atm} \text{ bosimi}$$

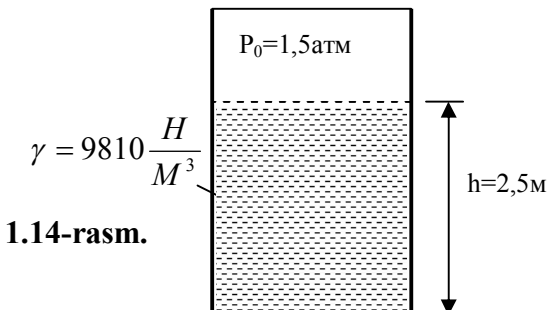
$$P_{vak} = 1_{atm} - 0,4_{atm} = 0,6_{atm} \text{ bosimi}$$

$$P_{vak} = 1_{atm} - 0_{atm} = 1,0_{atm} \text{ bosimi}$$

Vakuum yordamida chuqurlikdagi suyuqliklar tepaga ko'tariladi va vakuummetr bosimi 1_{atm} ga tenglashganda, suyuqliknin 10 metrgacha tepaga ko'tarish mumkin (suv uchun).

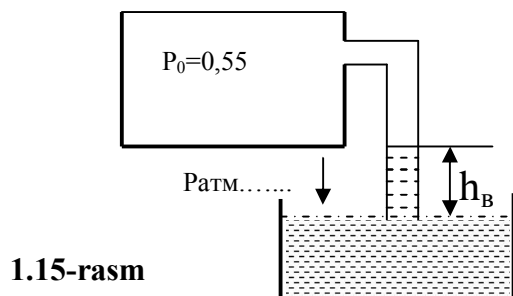
Barcha nasoslar vakuum hosil qilib, suyuqliklarni tepaga so'rib tortib olish xossasiga ega. Agar nasos pasportida (xarakteristikasida) $D_a = 0,5_{\text{atm}}$ bo'lsa, suyuqlik 5 metrgacha ko'tariladi va hakozo.

Masala.



Idishdagi suyuqlik chuqurligi $h=2,5$ m. Suyuqlik sathidagi bosim $R_0=1,5$ atm bo'lsa. Absolyut va ortiqcha bosimlari SI sistemada (1.14-rasmida) topilsin.

Masala.



Idish ichidagi to'liq bosim $P_a = P_0 = 0,55$ atm. Agar pastdagidagi idishga birinchi maratoba suv, ikkinchi maratoba simob solinsa, h_v 1.15-rasmida – topilsin. γ_1 – cye $R_{vak}=R_{atm}-R_{abs}$.
 γ_2 – simob $I_{atm}=98100 \text{ n/m}^2$;
 $h_v=R_{vak}/\gamma_1$, $h_v=R_{abs}/\gamma_2$.

Masala.

Uch xil suyuqlik uchun suyuqlik chuqurligi $h=?$ topilsin. Agar suyuqlik yuzasidagi bosim. $R_{ort}=R_{man}=0,8_{\text{atm}}$. $N_1=?$; $H_2=?$; $H_3=?$;
 1 suyuqlik: suv $\gamma=9810 \text{ n/m}^3$;
 2 suyuqlik: simob $\gamma=13600 \text{ kGs/m}^3$;
 3 suyuqlik: spirt $\gamma=84366 \text{ dina/sm}^2$.

Masala.

Yopiq idish yuzasidagi absolyut bosim 0,6 atm.
 ikki xil suyuqlik uchun vakuummetr bosimi qiymati topilsin.
 Agar; a) Suv $\gamma=9810 \text{ n/m}^2$.
 b) Simob $\gamma=133416 \text{ n/m}^3$.

Masala.

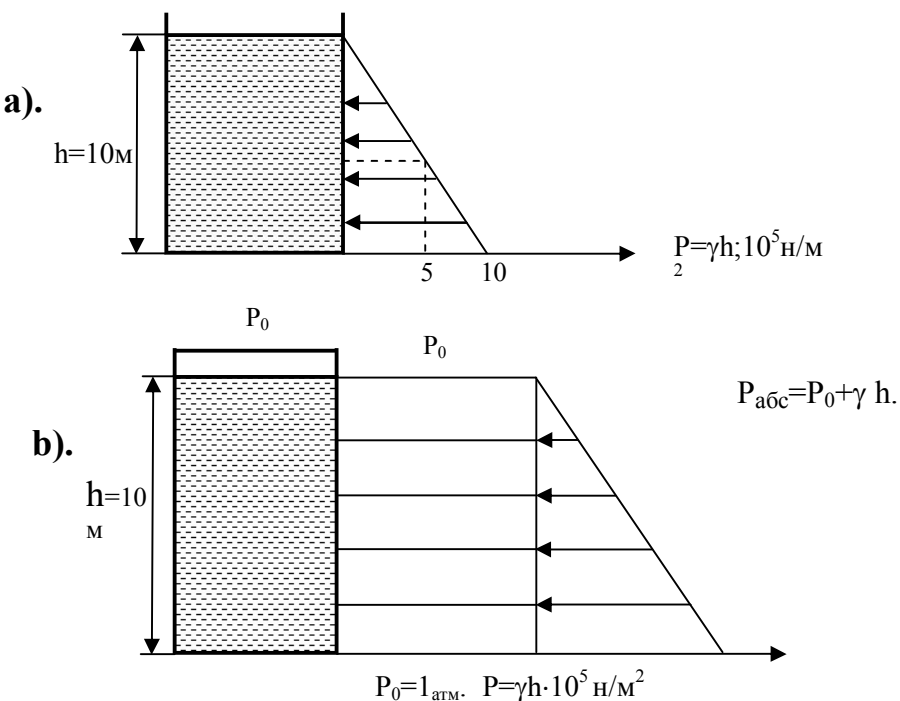
Idishning chuqurligi 85m eritma bilan to'ldirilgan $\rho_{eritma}=1250 \text{ kg/m}^3$.
 Idish tagiga bo'lган ortiqcha bosim topilsin $R_{ort}-?$

Paskal qonuni bo'yicha yopiq idishdagi suyuqlik yuzasiga berilgan bosim $P_0 = P_1/\omega$ suyuqlikning hamma nuqtalariga bir xil ta'sir etadi. R_0 -suyuqlik yuzasidagi bosim barcha nuqtalarga bir xil uzatiladi. Aksariyat gidromashinalar Paskal qonuni asosida ishlaydi. Bunga gidropress, domkratlar, gidroakkumulyatorlar, hajmiy yuritma, hajmiy gidrouzatmalarining ishlash printsipini misol keltirish mumkin.

1.5.2. GIDROSTATIK BOSIM EPYURALARI

Gidrostatik bosimning xossalardan bizga ma'lumki, u idish devorining tuzilishiga qarab har bir nuqtalarda normal yoki perpendikulyar bo'ladi, demak kanal, o'zan va daryolarda bosim epyurasi quyidagicha bo'ladi.

Gidrostatik bosim epyurasi deb, idishning ichida har bir nuqtada bosim qiymatini chizmalarda ko'rsatishga aytamiz (1.16, a-b-rasmlarda). Bosim epyurasini chizish uchun formulaga etibor beramiz $R = \gamma h$. h -ga qiymatlar bersak, bosim oshib boradi. Bosim va balandlik bir-biriga to'g'ri proporsional. Demak, bosim epyurasini chizish uchun 2ta nuqtada bosimni hisoblaymiz: $h=0$. suyuqlik sirtida $R=0$ bosim ham yo'q; $h=10m$ olsak, $R=\gamma h=9810 \cdot 10 = 98100 \text{ n/m}^2$. Bu qiymatlarni aniq masshtabda chizsak, u holda bosim epyurasi paydo bo'ladi.



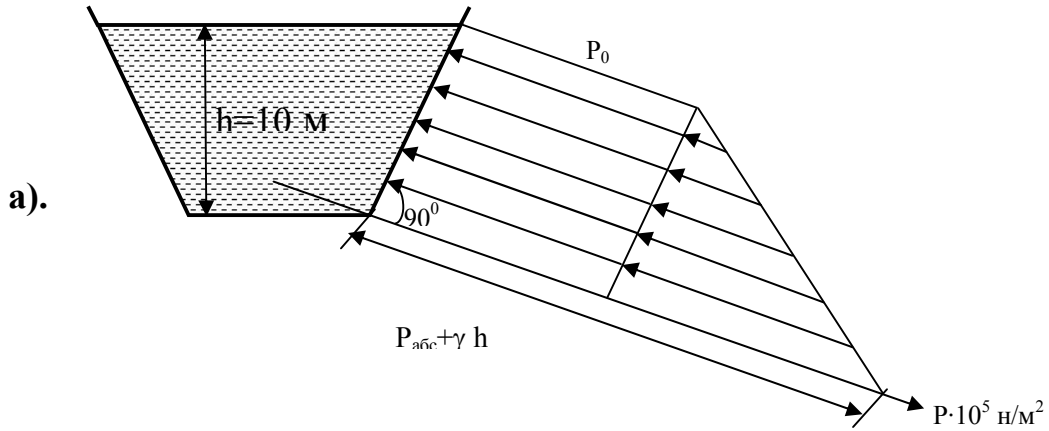
1.16, a-b-rasmlar. Bosim epyurasi

Bu epyuralardan foydalaniib istalgan chuqurlikdagi bosim qiymatini topish mumkin bo'ladi. Masalan; $h=5\text{m}$ bo'lsa, 5 mdan epyura chizig'iga tug'ri chiziq o'tkazib, so'ngra pastga yo'naltiramiz, $h=5\text{m}$, $R=\gamma h=9810 \cdot 5=49050 \text{ n/m}^2$. $h = 50 \text{ m}$ bulsa,

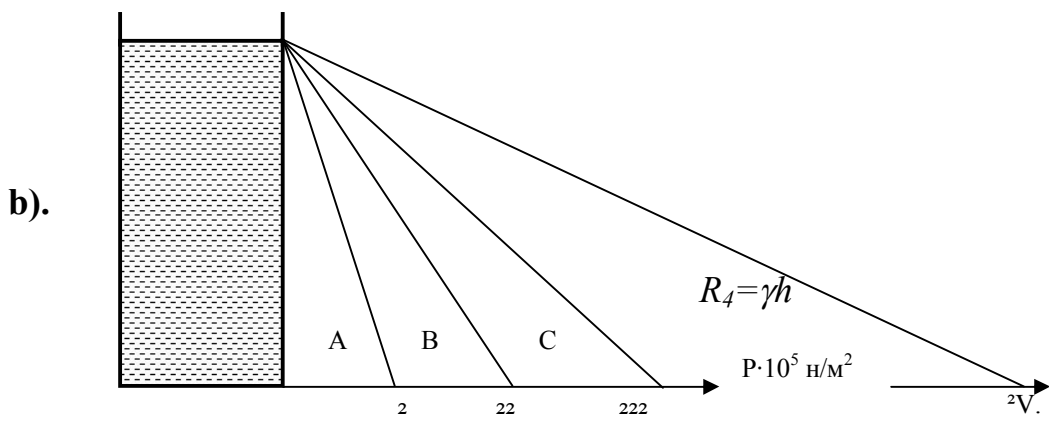
$$P = \gamma h = 9810 \cdot 50 = 490500 \text{ n/m}^2; h = 500 \text{ m},$$

bo'lsa $P = \gamma h = 9810 \cdot 500 = 4905000 \text{ n/m}^2$

Oraliqdagi qiymatlarni ham istalgan chuqurlikka bosim qiymatini epyuradan foydalaniib (1.18, a-b-rasmlarda) topsa bo'ladi. Agar idish devorlari qiya bo'lsa, bosim epyurasi quyidagi ko'rinishda bo'ladi.



Eng engil suyuqlik kam bosim hosil qilib, og'irligi oshgan sari bosim oshadi.



1.18, a-b-rasmlar.

$R_I = \gamma h_A$ - efir suyuqligi. $R_2 = \gamma h_V$ - oddiy suv. $R_3 = \gamma h_S$ - sulbfat kislota.
 $R_4 = \gamma h$ - simob olsak, bosim suvgaga nisbatan 13,6 marta kattalashadi.

1.5.3. GIDROSTATIK BOSIM KUCHI

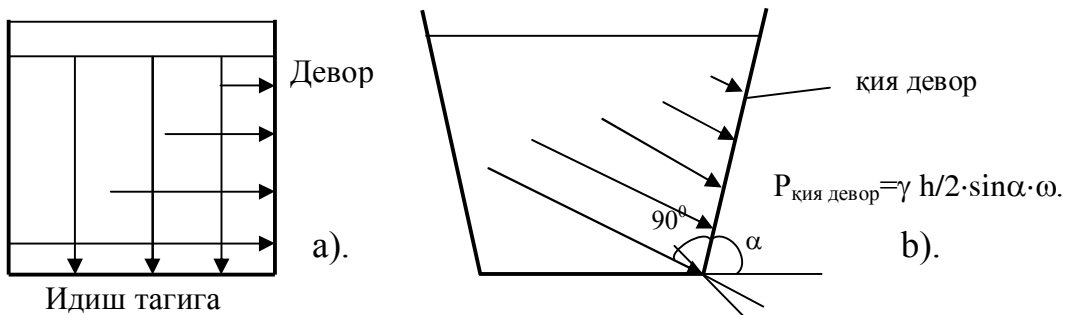
Yana bir marta bosim formulasi $P = \frac{P}{\omega}$ dan foydalansak, bu erdan R -gidrostatik bosim kuchini topamiz, $R = r \cdot \omega = \gamma h \cdot \omega$; Idish tagi dumaloq shaklda bo'lsa,

$\omega = \frac{\pi d^2}{4} = \pi r^2$ deb olamiz. Idish tagi to'rtburchak shaklda bo'lsa, $\omega = a \cdot v$; Agar to'rtburchakning tomonlari teng bo'lsa, u holda $\omega = a \cdot a = a^2$ bo'ladi.

Gidrostatik bosim kuchining devorga ta'siri aniqlansin. Idish devorlariga bosim kuchi, xuddi bosim epyurasi kabi chuqurlik ortgan sari gidrostatik bosim kuchi ham ortib boradi. Shuning uchun gidrostatik bosim kuchi idish devoriga nisbatan olganda, (1.19, a-b-rasmlarda) idish tug'ri turt burchak shakilda bo'lsa, taxminan 2 baravar kam bo'ladi.

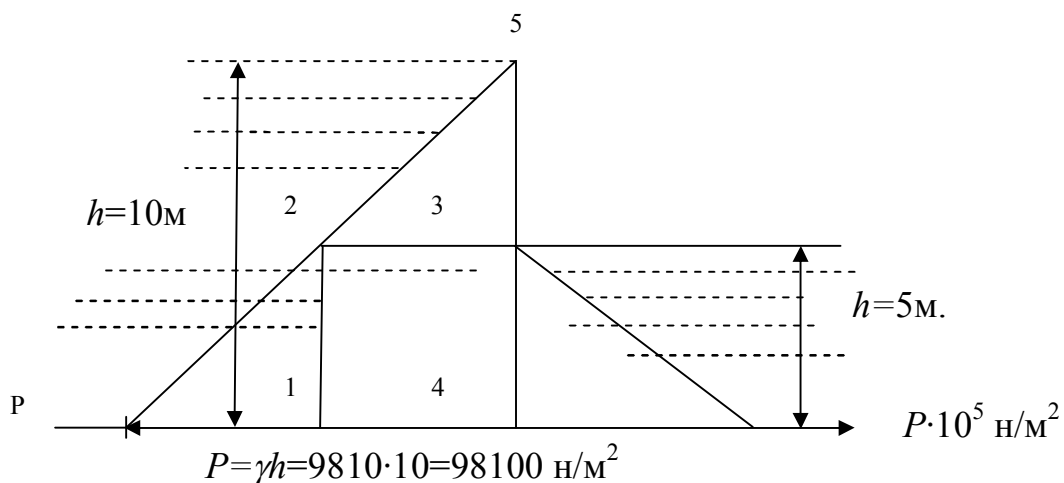
$$D_{devor} = \gamma \frac{h}{2} \cdot \omega ; \quad (1.17)$$

Agar idish devori qiya bo'lsa, suyuqlik miqdori oshadi va u qiyalik darajasi siniga bog'liq bo'ladi.



1.19, a-b-rasmlar.

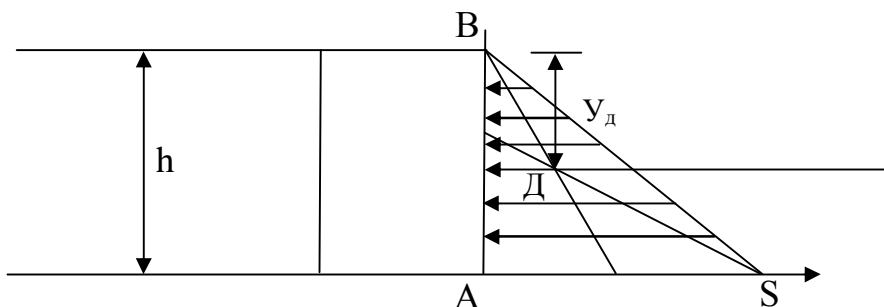
Suyuqlik yo'li to'silgan bo'lsa va ikki tomonidan suyuqlik bosim kuchi ta'sir qilayotgan bo'lsa (1.20-rasmida).



Bosim kuchi 1 - 2 - 5 - 3 - 4 - 1 qirqim yuzasiga ta'sir qiladi. $D_1 = \gamma h_1 \omega_1$; $D_2 = \gamma h_2 \cdot \omega_2$; Teng ta'sir qiluvchi kuch $R = R_1 - R_2$.

1.5.4. GIDROSTATIK BOSIM KUCHI QO'YILADIGAN MASOFA

Idish devorlari muvozanatda turishi uchun, devorlarga teskari tomonidan gidrostatik bosim kuchiga teng kuch qo'yiladi. Kuch shunday balandlikda yoki chuqurlikda qo'yilishi kerakki, bu nuqtaning tepasidagi kuchlar yig'indisi nuqtadan pastdagi kuchlar yig'indisiga tenglashsin. Bu nuqtani uchburchak bosim epyurasi orqali aniqlaymiz (1.21-rasmida).



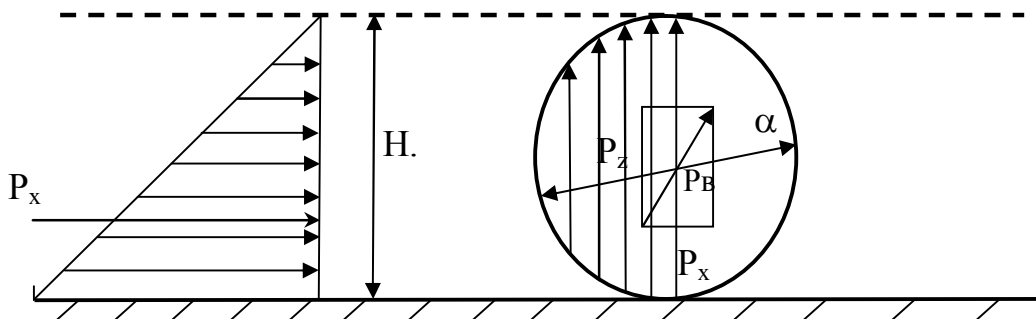
1.21-rasm.

ABS to'g'ri tomonli uchburchakni ϑ va S burchaklari ikkiga bo'linadi va uchrashgan joyi D kuch qo'yilish nuqtasi bo'ladi. Uchburchak burchaklarini 2 ga bo'lib,

ularni uchrashuv nuqtasi D ni topamiz, u umumiyligini N ning $2/3$ n qismiga teng ekan, kuch qo'yilish nuqtasi balandligini U_D deb belgilaymiz. Demak $U_D=2/3 \cdot 15=10m$ da kuch qo'yilishi kerak ekan.

1.5.5. DUMALOQ QUVURLAR UChUN SUYUQLIK BOSIMI EPYURASI VA KUCHI

Tinch turgan idish yuzasi tekis to'siq bo'lmay xuddi tsisternalarga o'xshash bo'lsa, u holda bosim epyurasi 2 xil ko'rinishga va bosim kuchi 2 xil yo'naliishga ega (1.22-rasmda) bo'ladi.



1.22-rasm.

Bunda idishga qo'yilgan kuchlar gorizontal va vertikal kuchlarga bo'linib, ular qiymati yig'indilarining kvadratini ildizdan chiqarilganiga teng. $P = \sqrt{P_x^2 + P_z^2}$; bu erda R_x -gorizontal gidrostatik bosim kuchi $P_x = \frac{\gamma h \cdot \omega}{2} = \frac{1}{2} \gamma R \cdot R \cdot B$; bu erda R -radius, V-tsistema kengligi; R_z -vertikal yuzaga ta'sir qiluvchi hidrostatik bosim kuchi $P_z = \frac{1}{4} \gamma \pi R^2 \cdot B$; orqali topamiz.

1.6. GIDROSTATIK MASHINALAR. ARXIMED QONUNI

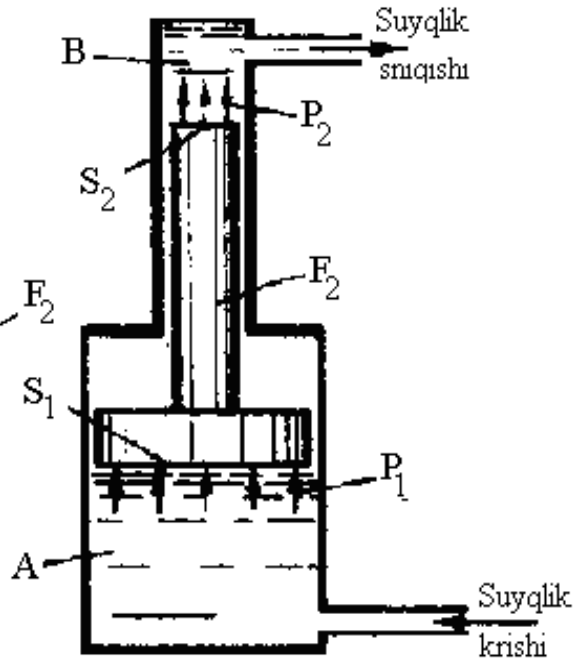
Mashinasozlik amaliyotida ko'pgina hollarda, bosimni uzatishda suyuqliklardan foydalilaniladi. Bunday printsipda ishlatiladigan uskunalar – *gidravlik mashinalar* deyiladi. Gidravlik presslar (1.24-rasm), multiplikatorlar (1.25-ram), gidravlik mashinalar boshqaruv sistemalari, ko'targichlar, domkratlar shular jumlasiga kiradi.

Har xil konstruktsiyaga ega bo'lgan va turli yo'naliislarda ishlatiladigan bu mashinalarda, asosan, bir xil ifodaga asoslangan qonuniyatdan foydalilaniladi. Suyuqlikning ixtiyoriy nuqtasiga uzatilgan tashqi bosim - uning boshqa hamma nuqtalariga o'zgarmasdan uzatiladi.

Yuqorida qayd etilgan mashinalarning ayrimlari bilan tanishamiz gidravlik press tasvirlangan. Yuqorida qayd etilgan qoidaga asosan S_1 yuzali F_1 porshenga R_1 kuch qo'yilsa, S_2 yuzali F_2 porshenъ quyidagi kuch bilan yuqoriga ta'sir etadi.



1.24-rasm. Gidravlik press



1.25-rasm. Multiplikator

$$P_2 = P_1 \frac{S_2}{S_1} \quad (1.18)$$

chunki,

$$\frac{P_1}{S_1} = \frac{P_2}{S_2} = p \quad (1.19)$$

Bu asbob yordamida R_1 kuch ($S_2 : S_1$) marta oshiriladi. Amaliy hisoblarda qurilmaning harakatchan qismlari ishqalanishi ham hisobga olinadi.

1.25-rasmda esa multiplikator tasvirlangan. Agar A kamerada r_1 bo'lsa, V kameradagi r_2 bosim ajratilsa, quyidagi shart bajarilishi kerak:

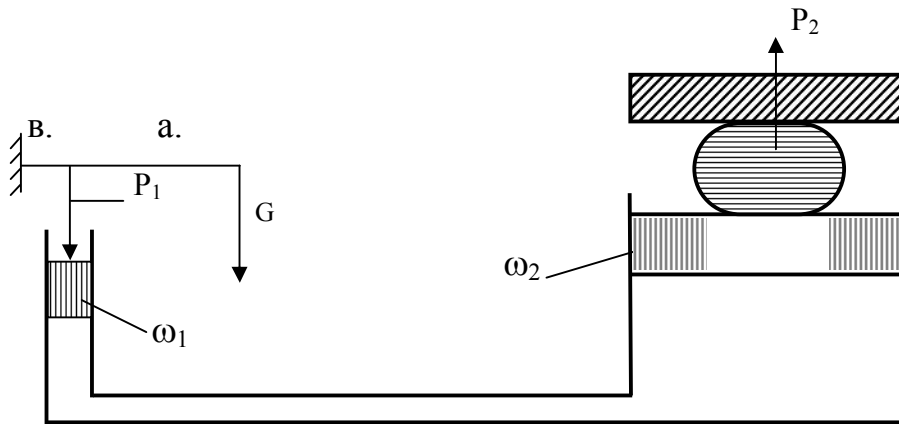
$$P_2 S_2 = P_1 S_1 \quad (1.20)$$

bunga asosan,

$$p_2 = p_1 \frac{S_1}{S_2} \quad (1.21)$$

qurilma yordamida bosim ($S_1 : S_2$) marotaba oshiriladi.

Gidrostatikaning asosiy qonunlari asosida ishlaydigan mashinalar gidrostatik mashinalar deyiladi. Masalan, sanoat korxonalarining biror sohasi yo'qliki, unda gidropresslar ishlamaydigan bo'lsa. Katta va kichik hajmdagi suyuq metallni presslash yordamida har-xil detallar taylorlanadi. Avtomobil sanoatida ishlataladigan (1.26-rasmda) gidropresslar yordamida mashinaning 80% qismi tayyorlanadi. Gidropresslar juda kichik kuch yordamida ham katta kuchlar hosil qiladi.



1.26-rasm. Gidropresslarning ishlash printsipi oyid chizma.

Kichik porshenda katta bosim hosil qilish oson $P_1 = \frac{P_1}{\omega_1}$ - dan ω_1 -ni qancha

kichiklashtirsak, bosim kuchi shunchaga ortadi. r_1 -bosim qiymati ikkinchi porshenъ tagiga qiymati o'zgarmay etib boradi, ya'ni bunda $r_1 = r_2$ (Paskal qonuni) shuning uchun

$$\frac{P_1}{\omega_1} = \frac{P_2}{\omega_2}; \text{ bu erdan } P_2 = \frac{P_1 \cdot \omega_2}{\omega_1}; \quad (1.22)$$

Demak, R_2 – kuch R_1 – kuchga nisbatan ω_2/ω_1 – nisbati miqdorida ko'p, ya'ni ω_2 ni oshirib, ω_1 – kamaytirsak, R_2 kuch ham oshib boradi. Avtomobilъ sohasida ishlatiladigan gidropress 600 000 kg-lik kuch hosil qila oladi.

Gidropressning ikkinchi porsheni usti ochiq holda bo'lsa, u holda bunday mashinalar gidropress emas, balki gidrostatik ko'targichga aylanadi. Suyuqlik domkratlari shunga asoslangan.

Masala.

Diametri $d=1$ m. bo'lган dumaloq qopqoq uchun gidrostatik bosim kuchi topilsin. $\rho_{suv}=1000 \text{ kg/m}^3$.

Masala.

Idish tagiga bo'lган ortiqcha bosim topilsin, agar suyuqlik balandligi $h=5$ m. bo'lsa, suyuqlik yuzasida esa $R_0=0,5 \text{ kGk/sm}^2$ bosim bor. $D_{\text{шан}} = D_0 + \gamma h$ dan foydalanib.

Masala.

Agar quduqdagi suyuqlik balandligi 85 m., suyuqlikning zichligi $\rho=1250 \text{ kg/m}^3$ bo'lsa, idish tagiga bo'lган ortiqcha bosim topilsin.

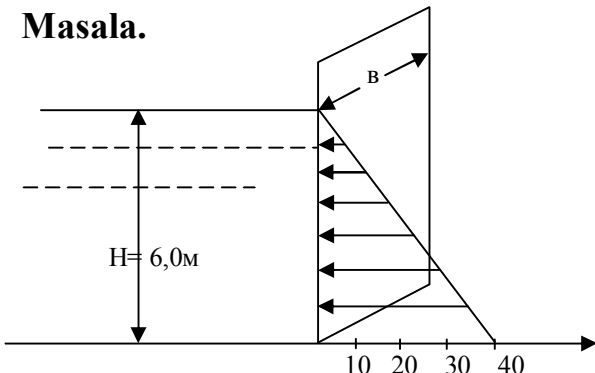
Masala.

Metall ponton diametri 4 m. bo'lib, suyuqlikning yuzasiga yuk qo'yilganidan keyin – 0,6 m. ga cho'kdi qo'yilgan yuk og'irligi topilsin.

Masala.

Agar absolyut bosim suyuqlik yuzasida 0,8 atm bo'lsa, vakuummetrik bosim balandligi topilsin (1.27-rasmda). $R_{vak}=R_{atm}-R_{abs}$.

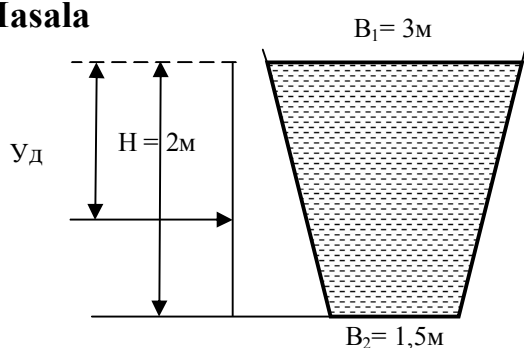
Masala.



1.27-rasm.

1. Kanal yo'li to'siq bilan berkitilgan. Shu to'siqqa va shu yuzaga nisbatan bosim epyurasi chizilsin va gidrostatik bosim kuchi aniqlansin. Epyura chizish uchun $R = \gamma h$ gidrostatik bosim kuchi $R = \gamma N \cdot \omega$; ν - to'siq kengligi

Masala

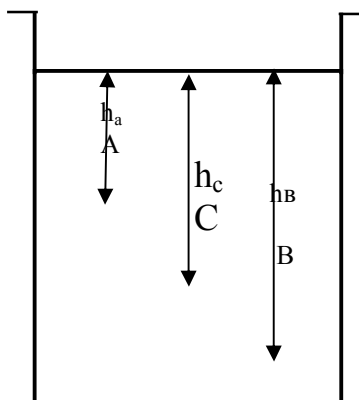


1.28-rasm.

Trapetsoidal kanal uchun gidrostatik bosim kuchi aniqlansin kanal kengligi trapetsiya hamda trapetsiya yuzasi (1.28-rasmida) $\omega = N(V_1 + V_2)/2$; $\gamma = 9810 \text{ n/m}^2$

Gidrostatik bosim kuchi $R = \gamma N \omega$;
Kuch qo'yilish nuqtasi U_D . $U_D = 2/3 N$;

Masala



1.29-rasm.

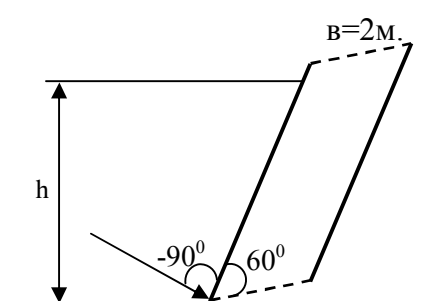
A, V va S nuqtalardagi gidrostatik bosim yoki ortiqcha bosim (1.29rasmida) topilsin.

$$D_a = gh_a ;$$

$$D_s = gh_s ;$$

$$D_{\hat{a}} = g h_{\hat{a}} .$$

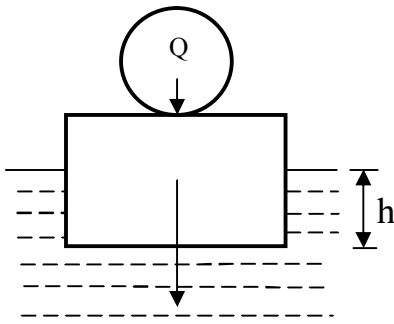
Masala



1.30-rasm.

Suyuqlik yo'lida to'siq to'g'ri to'rtburchak shaklida. U erga nisbatan qiya 60° da joylashgan. Agar suyuqlik balandligi $h = 3 \text{ m}$ bo'lsa, gidrostatik bosim kuchi va uning qo'yilish nuqtasini topilsin. $D_{kush} = gh_{mark} \cdot \omega$; $\omega = \sigma \cdot h / \sin x$; $h_{mar} = h/2$; Ud-kuch (1.30-rasmida) qo'yiladigan nuqta $U_d = 2/3; h/\sin\alpha; 2h/3\sin\alpha$.

Masala



Daryo yuk tashish uchun ponton qo'llaniladi, pontonning o'z og'irligi $G=1\cdot 10^6$ ustidagi yuk $Q=7\cdot 10^6$ N, yig'indi $Rz =G+Q=1\cdot 10^6+7\cdot 10^6=8\cdot 10^6=8\cdot 103$ kN. Shu panton siqib chiqargan suv hajmini (1.31-rasmida) toping? Ponton uzunligi $L=20$ m. Kengligi $V=16$ m. Cho'kkan balandligi h . Yuzasi $\omega =V\cdot L$. Hajmi $W=B\cdot L\cdot h=16\cdot 20$, $h=320$ m.

1.31-rasm.

$$P_z = \gamma h \cdot \omega = 9810 \cdot 320h; \quad h=P_z/\gamma 10=8\cdot 10^6/9810\cdot 320=2,55m.$$

$$\text{Ponton hajmi } W=V\cdot L\cdot h -?$$

1.7. JISMLARNI SUYUQLIKDA SUZISHI. SUZUVCHANANCHANLIK. NISBIY TINCHLIK. ARXIMED QONUNI

Agar ixtiyoriy G suyuqlik ichiga tushirilgan jism og'irligi P ko'tarish kuchidan $P=\gamma W$ kichik, ya'ni $G > P$ bo'lsa, u holda jism suyuqlik yuzasiga qalqib chiqadi. Agar $G < P$ bo'lsa, jism suyuqlikka cho'kadi.

$$G = P = \gamma W \quad (1.34)$$

bo'lsa, jism suyuqlik ichida muallaq holda suzib yuradi.

Agar jism suyuqlik sirtida suzib yursa, bunda suv yuzasida suzish deyiladi. Aksincha esa suv osti suzish deyiladi.

Bunda har ikkala holatda ham ko'tarish kuchi R jism og'irligiga teng bo'lishi kerak.

$$P = G$$

Agar jism butun hajm bo'yicha W_1 bir jinsli (masalan, g'o'la) hajmiy og'irligi γ_1 bo'lib, suyuqlikda γ hajmiy og'irlilik bilan suzib yursa, suv ustida

$$\text{suzishi uchun} \quad \gamma_1 W_1 = \gamma W \quad (1.35)$$

$$\frac{W}{W_1} = \frac{\gamma_1}{\gamma} \quad \text{bundan} \quad (1.37)$$

Suv ustida suzishi uchun esa $W_1 = W$, chunonchi $\gamma_1 = \gamma$.

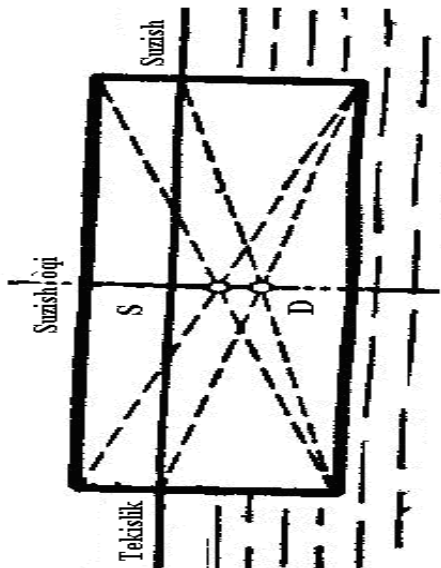
Bir jinsli jismlarning suv sirtida suzib yurishi holatidagi jismning botishini aniqlashda qo'llaniladi.

Suzib yuruvchi jismlarning cho'kishi deganda jism namlangan sirtining eng quyi nuqtasining botishi tushuniladi.

Suzib yuruvchi jismni kesib o'tuvchi suyuqlik yuzasining erkin sirtiga suzish sirti tekisligi deyiladi.

Suzib yuruvchi jism yon sirtining suzish tekisligi bilan kesishish chizig'iga vater chizig'i deyiladi.

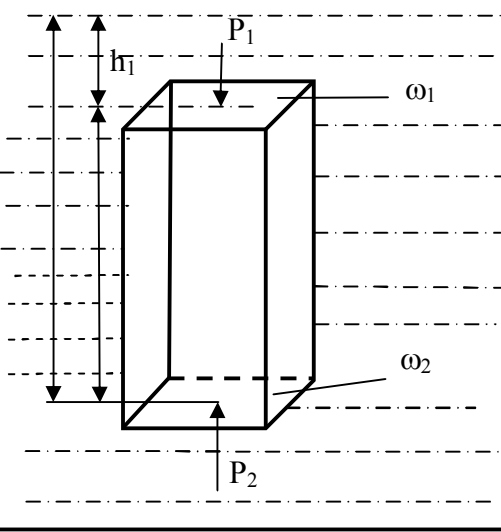
Jismning og'irlik markazi S dan va suvning sig'im markazi D dan o'tuvchi chiziqqa suzish o'qi deyiladi (1.32-rasm).



1.32-rasm. Suzish o'ki va Vater chiziqlari

Vater chiziqlar bilan chegaralangan maydonning og'irlik markazi orqali o'tuvchi bo'ylama chiziqqa vater chizig'i maydonining bo'ylama o'qi deyiladi. Bo'ylama o'qqa perpendikulyar yo'nallishdagi shu nuqtadan o'tuvchi gorizontal chiziqqa vater chizig'i maydoning ko'ndalang o'qi deyiladi. Agar suv ostida yoki suv sirtida suzayotgan jism muvozanatda bo'lsa, u holda suzish vertikal holatda bo'lishi kerak. Kelgusida faqat simmetrik jismlarning suzishini ko'rib chiqamiz.

1.7.1 Arximed qonuni



1.33-rasm. Arximed qonuniga doir chizma

$$D_{\text{Arx}} = D_2 - D_1 = \gamma h_2 \omega_2 - \gamma h_1 \cdot \omega_1 ; \quad \omega_1 = \omega_2 \text{ bo'lgan uchun} \\ \gamma \omega (h_2 - h_1) = \gamma \omega H = \gamma W \quad (1.23)$$

Demak, $D_{\text{Arx}} = \gamma W$ [n] – jism og'irligi yoki suyuqlikka botirilgan jism qancha katta bo'lsa, ko'taruvchi kuch, ya'ni Arximed kuchi ham shuncha katta bo'ladi. Daryo, dengiz va okeanlarda 500000 tonnagacha yuk tashuvchi kemalar harakatlanib, ularning ishslash printsipi, ya'ni suzishi Arximed qonuniga asoslangan bo'ladi.

Arximed qonuni yopiq va ochiq idishlar uchun ham to'g'ri.

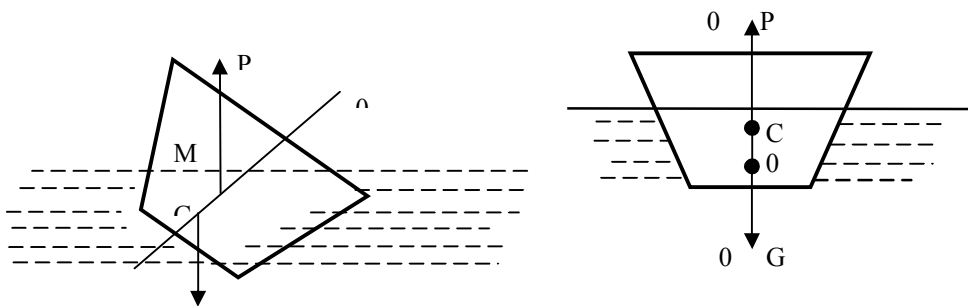
Agar jism yarim cho'kkan holda cuzib yursa, botirilgan jism hajmining og'irligiga teng bo'ladi. Jismlarning suyuqlik sirtiga qalqib chiqishi yoki suyuqlik ichida suzib yurishi yuqorida qayd etilgan kuchlar nisbati bilan aniqlangan.

1. Agar γ_s suyuqlik $> \gamma_j$ jism bo'lsa, ko'taruvchi kuch musbat bo'ladi, bunda jism yuqoriga qalqib chiqadi.
2. Agar $\gamma_s = \gamma_j$ bo'lsa, $R_{\text{Arx}} = 0$ bo'lib, jism suyuqlik ichida suzib yuradi.

3. Agar $\gamma_s < \gamma_j$ bo'lsa, R_{Arx} manfiy, ya'ni jism pastga yo'nalgan bo'ladi, ya'ni jism cho'kadi.

Suzuvchanlik bo'yicha qo'yidagi tushunchalar mavjud:

- 1) Suzish tekisligi – jismni kesib o'tuvchi erkin sath.
- 2) Vater chizig'i – suzish tekisligi bilan jism sirtining kesishish chizig'i.
- 3) Suzayotgan jismning og'irlilik markazi – S nuqta.
- 4) Suzish o'qi – suzayotgan jism normal holatida uning o'rtaidan o'tgan 0-0 o'qi.
- 5) Metamarkaz – jismning qiya (1.34-rasm) holatida teng ta'sir etuvchi bosim kuchi yo'naliشining suzish o'qi bilan kesishish nuqtasi (M).



1-34-rasm. Jismni suzuvchanlikka oyid chizma

Tinch turgan suyuqlikdagi suzib yuruvchi jism muvozanati to'g'risidagi masala – jismning suzuvchanligi hamda uning suvgaga sho'ng'imay tura olish qobiliyatini o'rganish orqali echiladi.

1. Muayyan kuch ta'siri ostida jismning suzishi – jismning suzuvchanligini bildiradi. Masalan, kemalar suzuvchanlik zahirasiga ega bo'lishi kerak. Suzuvchanlik zahirasi deb, kemaning suv ustidagi qismi hajmidagi suv og'irligiga teng bo'lgan qo'shimcha og'irlilik tushuniladi.

2. Egiluvchanlik – ya'ni, jismning suyuqlikda egilgandan keyin dastlabki holatiga qaytish xususiyati tushuniladi.

Jismning sirti ixtiyoriy to'g'ri chiziqning faqat ikki nuqtasida kesishadi deb qaraylik (1.7.5.-rasm).

Jismning sirtini koordinata tekisligiga parallel bo'lgan vertikal tekisliklar yordamida elementar maydonchalarga bo'laylik.

U holda $d\omega'$ va $d\omega''$ maydonchalarga ta'sir qiluvchi elementar bosim o'qlarning vertikal proektsiyasi quyidagicha bo'ladi:

$$(dP')_z = p'd\omega' \cos(dP', Z) = p'd\omega'_z \quad (1.26)$$

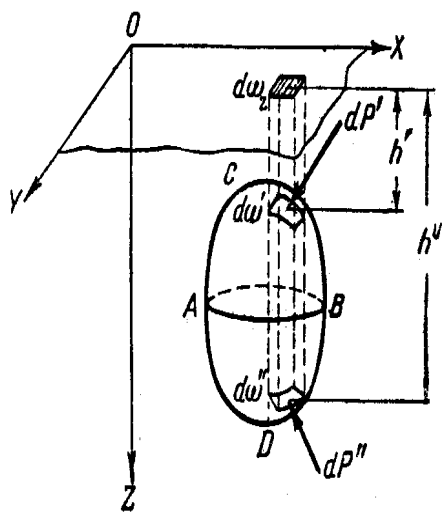
$$(dP'')_z = p''d\omega'' \cos(dP'', Z) = p''d\omega''_z \quad (1.27)$$

bu erda p' va p'' - $d\omega'$ va $d\omega''$ maydonlar og'irlilik markazlaridagi bosim.

$$p' = \gamma h' \text{ va } p'' = \gamma h'' \quad (1.28)$$

bundan

$$dP'_z = \gamma h' d\omega'_z; \quad dP''_z = -\gamma h'' d\omega''_z \quad (1.29)$$



1.35-rasm. Arximed qonunini nazariy jixatdan tushintirishga oyid chizma

Arximed qonunini qo'llashga bog'liq bo'lgan masalalar asosan, Eyler, admiral S.O.Makarov (1848-1904 yillar), akademik A.N.Krilov (1963-1945) va boshqalarning kemalar nazariyasiga bag'ishlangan ishlarida o'z aksini topgan. 1.35-rasmda Arximed qonuni suyuqlik ichidagi jism sirtiga suyuqlikning bosim kuchini aniqlashda qo'llaniladi. Arximed qonuni umumta'lim mакtab kursida quyidagicha keltiriladi: har qanday qattiq jism suyuqlikka botirilganda o'zining hajmiga teng miqdorda suyuqlikni siqib chiqaradi va bu suyuqlikka siqib chiqarilgan suv hajmiga teng pastdan yuqoriga yo'nalgan kuch ta'sir etadi.

Bundan jismning sirtidagi bosimning $0z$ o'qidagi proektsiyasi

$$P_z = \gamma \int_{\omega'_z}^{h'} h' d\omega'_z - \gamma \int_{\omega''_z}^{h''} h'' d\omega''_z = -\gamma (W'' - W') = -\gamma W \quad (1.30)$$

Bunda, W – jism siqib chiqargan suyuqlik hajmi;

W' va W'' – prizmalarning hajmi;

P_z kuchini – ko'tarish kuchi deb ataymiz.

Elementar bosimning qolgan ikkita o'qdagi proektsiyasi quyidagi ko'rinishga ega bo'ladi.

$$P_x = \gamma \int_{\omega'_x}^{h'} h' d\omega'_x - \gamma \int_{\omega''_x}^{h''} h'' d\omega''_x = 0 \quad (1.31)$$

$$P_y = \gamma \int_{\omega'_y}^{h'} h' d\omega'_y - \gamma \int_{\omega''_y}^{h''} h'' d\omega''_y = 0 \quad (1.32)$$

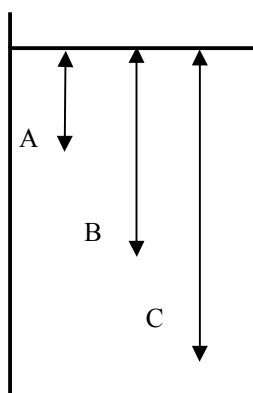
Bunda, $h' = h''$, $d\omega'_x = d\omega''_x$, $d\omega'_y = d\omega''_y$, natijada quyidagi xulosaga kelamiz:

Aziz o'quvchilar, yuqorida keltirilgandek Arximed qonuni o'rta maktabdan sizlarga ma'lum: har qanday qattiq jism suyuqlikka botirilganda o'zining og'irligiga teng miqdorda suyuqlikni siqib chiqaradi.

$$P = \gamma W \quad (1.33)$$

bu erda, γ – suyuqlikning hajmiy og'irligi; W – siqib chiqarilgan suyuqlik hajmi.

1.8. SUYUQLIKLARNI IDISH DEVORIDAGI BOSIMI

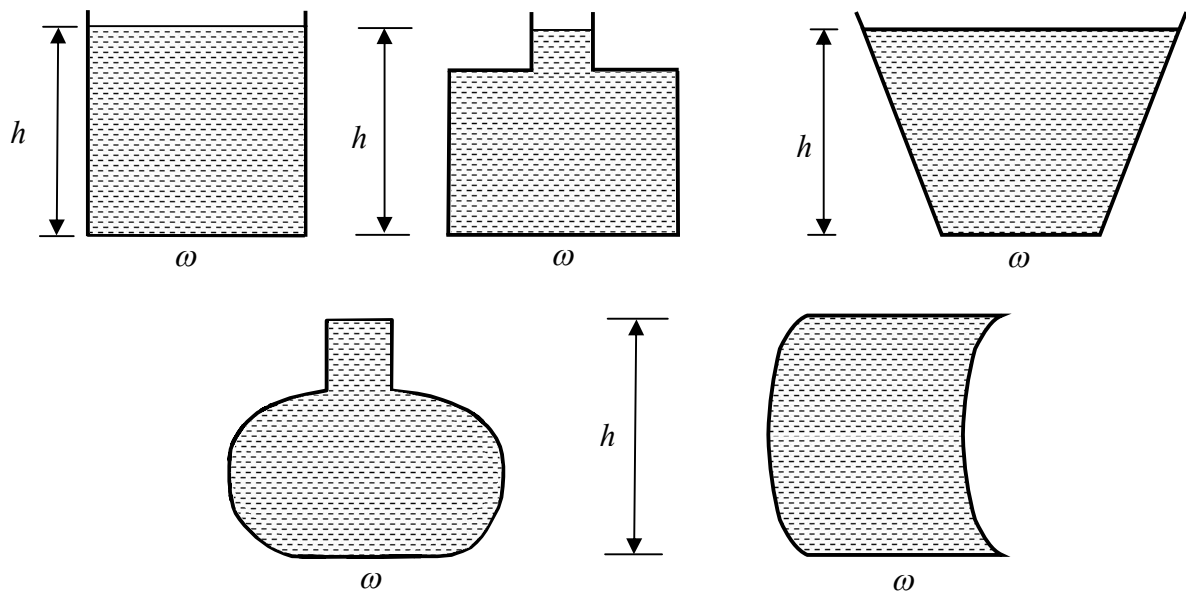


Biror idish ichidagi suyuqlik balandligi h bo'lsa, A, V, S nuqtalardagi balandliklar h_A, h_V, h_S bo'ladi. Ushbu nuqtalardagi bosimlar ham har xil, $R_A < R_V < R_S$. $P_A = \gamma h_a$, $P_B = \gamma h_b$, $P_C = \gamma h_c$. Suyuqlikning erkin sirtidagi bosim R_0 Suyuqlik tubidagi bosim kuchini qarab ko'ramiz. $P = \frac{P}{\omega}$ formulasidan foydalanib, $P = p \cdot \omega$ ekanligini 1.36-rasmda ko'ramiz.

1.36-rasm

Idish ichidagi suyuqlikning umumiyligi $P = \gamma h \omega$ [n] da o'lchanadi.

Barcha nuqtalardagi bosim kuchlarini ko'rib chiqamiz. $P = \gamma h \omega$; $P_A = \gamma h \omega$; $P_B = \gamma h \omega$; $P_C = \gamma h \omega$. Endi har xil shakldagi idishlarning tagiga bo'layotgan og'irlilik kuchini 1.37-rasmida ko'ramiz.



1.37-rasmida. ω - idish tagi yuzalariga teng

Barcha idishlarda suyuqlik hajmi har xil, lekin R kuchi barcha idishlarda bir xil. Chunki $P_1 = \gamma h \omega$, $P_2 = \gamma h \omega$, $P_3 = \gamma h \omega$. Demak keltirilgan formulalar bo'yicha barcha idishlarda bosim kuchlari bir xil. Mana shu holatga g'ayritabiylilik deyiladi $P = \gamma h \omega$;

Gidravlikada suyuqlik to'ldirilgan idishdagi bosim uning shakliga bog'liq bo'lmay, suyuqlikning balandligi $-h$ ga va suyuqlik turi, ya'ni suyuqlikning solishtirma og'irligi $-\gamma$ ga bog'liq, ya'ni $R = \gamma h$.

1.8.1. YASSI QIYA SIRTGA TA'SIR ETUVCHI GIDRAVLIK BOSIM KUCHINI ANIQLASH USULLARI

Faraz qilaylik, ma'lum qiyalikka ega bo'lgan tekis sirtli, devorli (OM) ochiq idish suyuqlik bilan to'ldirilgan (1.38, a-rasm). Ox va Oz koordinatalar sistemasining o'qlarini belgilab olamiz. Ox o'qini rasm tekisligiga tik yo'naliishda (1.38, b-rasm) qabul qilamiz.

OM devorda ixtiyoriy ko'rinishga ega bo'lgan S yuzani tanlab olamiz. Gidrostatik bosimning birinchi xossasiga asosan, bu yuzaga ta'sir etuvchi bosimlar unga tik yo'nalgan bo'ladi, demak, ixtiyoriy ko'rinishdagi S yuzaga ega bo'lgan shaklga ta'sir etuvchi to'liq gidrostatik bosim kuchi ham P_A bu yuzaga tik yo'nalgan bo'ladi. Bu kuchning kattaligini topish uchun shaklda ixtiyoriy m nuqtani tanlab olib, uning chuqurligi h va koordinatasini esa z deb qabul qilamiz. Bunda,

$$h = z \sin \theta \quad (1.38)$$

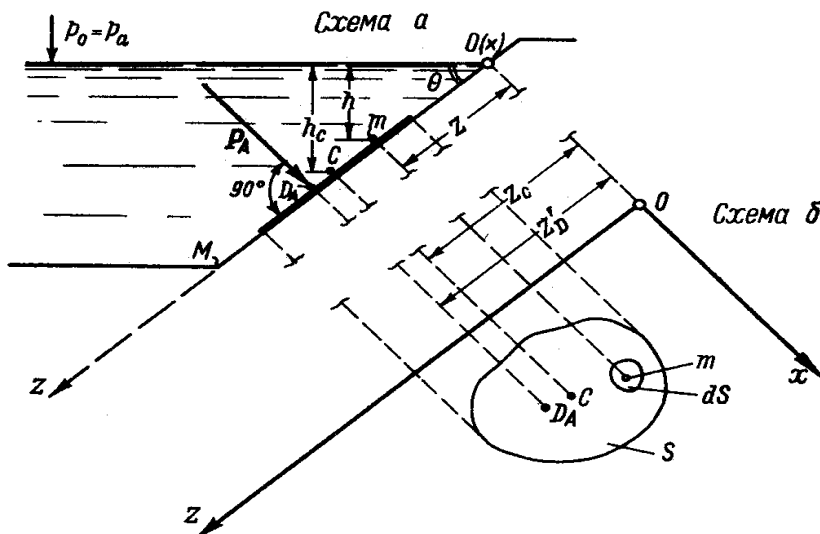
bunda, θ - idish yon devori qiyaligi.

m - nuqta atrofidagi dS yuzaga

$$dP_A = p_a dS \quad (1.39)$$

kuch ta'sir etadi yoki (1.39) ga asosan:

$$dP_A = (p_a + \gamma h) dS = p_a dS + \gamma h dS = p_a dS + \gamma z \sin \theta dS \quad (1.40)$$



1.38, a-b-rasmlar. Yassi qiya sirtga ta'sir etuvchi suyuqlik bosimi

Bu ifodani butun S yuza bo'ylab integrallaymiz.

$$P_A = p_a \int_S dS + \gamma \sin \theta \int_S z dS \quad (1.41)$$

Bundan:

$$\int_S dS = S ; \quad \int_S z dS = (St)_{Ox} = z_C S \quad (1.42)$$

bunda, $(st)_{Ox}$ — tekis shaklning Ox o'qqa nisbatan statik momenti;

z_C — shaklning og'irlilik markazi koordinatasi.

(4.5) ifodani hisobga olib, (4.4) ifodani quyidagicha yozish mumkin:

$$P_A = p_a S + \gamma S z_C \sin \theta \quad (1.43)$$

yoki

$$z_C \sin \theta = h_C$$

bo'lganligi uchun

$$P_A = P_a S + \gamma h_C S \quad (1.44)$$

yoki

$P_A = (P_a + \gamma h_c) S$

(1.45)

bunda, h_C - og'irlik markazi chuqurligi.

(4.8) ifodani quyidagicha ifodalash mumkin:

$$R_A = R_a + R \quad (1.46)$$

bunda, R_a - atmosfera bosimi ta'siri ostidagi gidrostatik bosim kuchi.

$$R_a = r_a S \quad (1.47)$$

bunda, R - atmosfera bosimidan yuqori bo'lgan (og'irlik) bosim hisobiga paydo bo'ladigan gidrostatik bosim kuchi.

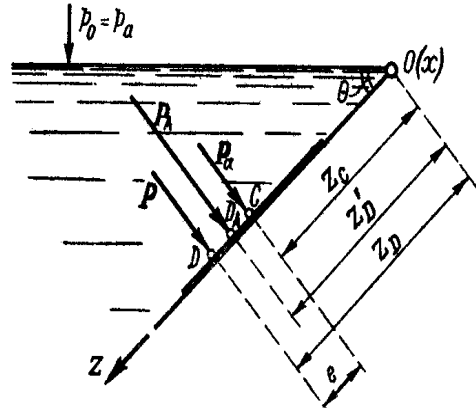
$$R = \gamma h_S S = r_S S \quad (1.48)$$

Xulosa qilish mumkinki, gidrostatik bosim kuchi ta'sir etayotgan shakl yuzasi kattaligini shu shakl og'irlik markaziga ta'sir etuvchi gidrostatik bosim miqdori ko'paytmasiga teng.

Endi bu kuchning qo'yilish nuqtasini aniqlaymiz:

yuqorida ta'kidlanganidek, R_A – to'liq gidrostatik bosim kuchi R_a va R kuchlar yig'indisiga teng.

R_A - gidrostatik bosim kuchining qo'yilish nuqtasi shaklning og'irlik markazi bilan ustma-ust tushadi. R kuchniki esa, undan pastda, aytaylik, D nuqtada joylashgan bo'ladi. R_A kuchning qo'yilish nuqtasi esa bu ikala nuqtaning o'rtasida bo'ladi (1.39-rasm). Bu D nuqtani topish uchun R_a va R kuchlarning geometrik yig'indisini topamiz. Shundan keyin D_A nuqtani topishga imkoniyat yaraladi. Buning uchun quyidagi qoidadan foydalana-miz.



1.39-rasm. Gidrostatik bosim kuchi markazi

pds kuchlarning Ox o'qqa nisbatan momentlar yig'indisi R kuchning shu o'qqa nisbatan momentlar yig'indisiga teng.

Demak,

$$\int_S (pdS)z = Pz_D \quad (1.49)$$

deb yozish mumkin yoki

$$\int_S (\gamma hdS)z = (\gamma h_C S)z_D \quad (1.50)$$

To'liq ifodalasak,

$$\int_S (\gamma \sin \theta z dS) z = (\gamma \sin \theta z_C S) z_D \quad (1.51)$$

bundan,

$$z_D = \frac{\int_S z^2 dS}{S z_C} = \frac{I_{0x}}{(St)_{ox}} \quad (1.52)$$

Bunda $0x$ o'qqa nisbatan tekis shakl inertsiya momenti

$$I_{0x} = \int_S z^2 dS \quad (1.53)$$

$$(St)_{ox} = S z_C \quad (1.54)$$

Tekis shaklning statik momenti (1.54) ifodani quyidagicha ifodalash mumkin:

$$z_D = \frac{I_{0x}}{(St)_{0x}} = \frac{I_C + S z_C^2}{S z_C} = z_C + \frac{I_C}{S z_C} \quad (1.55)$$

yoki

$$e = \frac{I_C}{(St)_{0x}} = \frac{I_C}{S z_C} \quad (1.56)$$

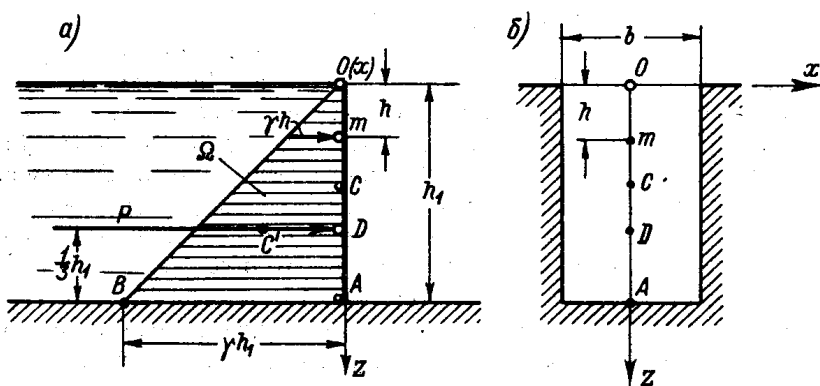
bunda, e – ekstsentrisitet deyiladi.

Kuchning qo'yilish koordinatasi quyidagi ko'rinishga ega:

$$z_D = z_C + e \quad (1.57)$$

Buning uchun OA ko'rinishdagi b kenglikka ega bo'lgan shaklni qabul qilamiz (1.40, a-rasmida). Bunda atmosfera bosimi hisobiga paydo bo'ladigan gidrostatik bosim kuchini hisobga olmasak, faqat og'irlik hisobiga ta'sir etuvchi gidrostatik bosim kuchini qarashga to'g'ri keladi. Ixtiyoriy h nuqdagi chuqurlikda bosim mavjud bo'ladi.

$$r = \gamma h \quad (1.58)$$



1.40-rasm. To'g'ri burchakli vertikal sirti tekis jismga bir tomonlama gidrostatik bosim ta'siri

O nuqtada esa bu bosim

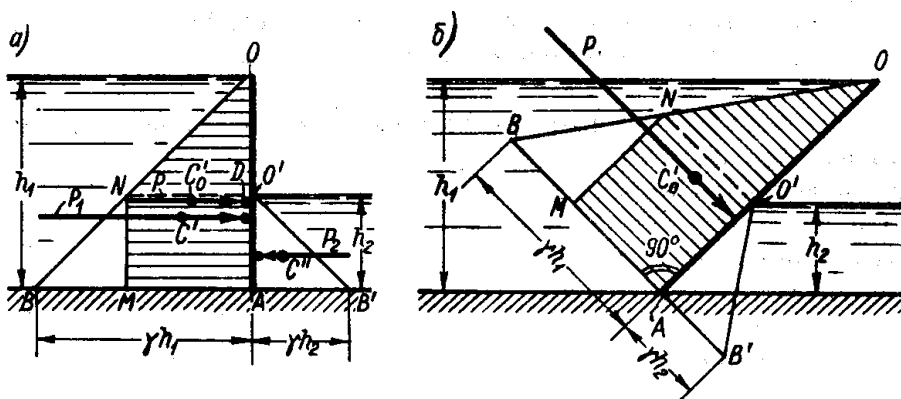
$$r = 0$$

ga teng buladi. h chuqurlikda esa

$$p = \gamma h \quad (1.58)$$

ga teng bo'ladi.

γh kattalikni OA devorga tik yo'nalişda qo'ysak (1.40, b-rasmida), V nuqta paydo bo'ladi. Buni O nuqta bilan tutashtirsak, OAV uchburchak paydo bo'ladi. Natijada olingan bu uchburchak *gidrostatik bosim epyurasi* deb ataladi. 1.41,a-b-rasmlar. Bu epyura gidrostatik bosimning chuqurlik o'zgarishi bilan o'zgarishini ko'rsatadi.



1.41-rasm. To'g'ri burchakli tekis shakllarning bosim epyurasi

a) vertikal shakl;

b) qiya shakl.

Shu uchburchak yuzasini b qalinligiga ko'paytmasi R kuch kattaligini beradi

$$P = \frac{1}{2} h_1^2 \gamma b \quad (1.59)$$

R kuch OA devorga tik yo'nalgan bo'lib, hidrostatik bosim epyurasi og'irlilik markazidan o'tadi. Agar to'siqning ikkala tomonida suyuqlik mavjud bo'lsa, hidrostatik bosimlar farqi aniqlanib, ularning og'irlilik markazidan hidrostatik bosim kuchining teng ta'sir etuvchisi o'tadi. 1.41, a-b-rasmlarda $OAMN$ trapetsiyaning og'irlilik markazidan o'tadi.

1.8.2. EGRI SIRT KO'RINISHIDAGI YUZAGA TA'SIR ETUVCHI GIDROSTATIK BOSIM KUCHI

Ko'picha texnikada va neft xo'jaliklarida, gaz taqsimotida neft va gazlarning sarfini boshqarishda egri sirtli ventilardan yoki jumrakladan foydalilanadi.

Egri sirtlarni hisoblashda quyidagilarga alohida e'tibor beramiz.

Ma'lumki garizontal tashkil etuvchi kuch,

$$D_o = \delta_N \omega = \frac{\gamma h^2}{2} b. \quad (1.60)$$

Vertikal tashkil etuvchisi R_z – shu sirtning bosim tanasidagi suyuqlik og'irligiga teng:

$$P_z = G_{\delta m} = \gamma W_{\delta m} = \gamma S_{\delta m} b \quad (1.61)$$

bu erda: γ - suyuqlikning hajmiy og'irligi;

h – suyuqlik chuqurligi;

W_{om} - bosim tanasining hajmi;

S_{om} - bosim tanasining yuzasi.

Bosim tanasi deb, egri sirt va uning tutash chiziqlaridan suv sathiga tushirilgan vertikal tekisliklar hamda suv sathi bilan chegaralangan hajmga aytildi.

Egri sirtga ta'sir etuvchi gidrostatik bosim kuchi bu ikkala tashkil etuvchilarining geometrik yig'indisidan iborat:

$$P = \sqrt{P_x^2 + P_z^2} \quad (1.62)$$

Kuchning gorizontal o'qqa nisbatan qiyaligi quyidagi ifoda yordamida aniqlanadi:

$$\alpha = \operatorname{arctg} \frac{P_z}{P_x} \quad (1.63)$$

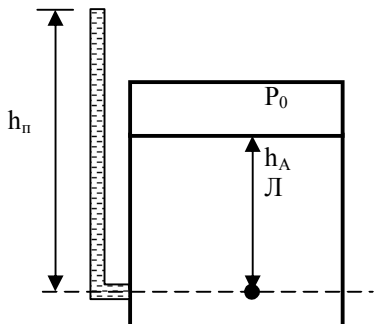
Egri sirtga ta'sir etuvchi gorizontal bosim kuchi ta'sir chizig'i uning ikkala tashkil etuvchini kesishish nuqtasi va sirtning egrilik nuqtasidan o'tadi.

Demak, yuqorida bayon etilgan fikrlarga asosan, egri sirtlarga ta'sir etuvchi gidrostatik bosim kuchini aniqlashda egri sirtning bosim tanasi muhim rol o'ynaydi. Shu sababli uni qurish qoidasi quyidagi tartibda amalga oshiriladi.

- egri sirtning tutash nuqtalari topiladi;
- tanlangan nuqtalardan suv sathigacha yoki sath davomigacha vertikal chiziqlar o'tkaziladi;
- egri sirt – vertikal chiziqlar va sath bilan chegaralangan yuza bosim tanasi yuzasi bo'ladi;
- agar bosim tanasida suv mavjud bo'lsa, u *musbat bosim tanasi* deyiladi va vertikal tashkil etuvchi gidrostatik bosim kuchi pastga yo'nalgan bo'ladi, aks holda, *manfiy bosim tanasi* deyiladi hamda kuch yuqoriga yo'nalgan bo'ladi.
- gidrostatik bosim kuchi – vertikal tashkil etuvchisi, shu sirt bosim tanasining og'irlik tanasidan o'tadi.

1.8.3. SUYUQLIKLARNI IDISH DEVORIDAGI BOSIMIGA DOIR MASALALAR

Masala

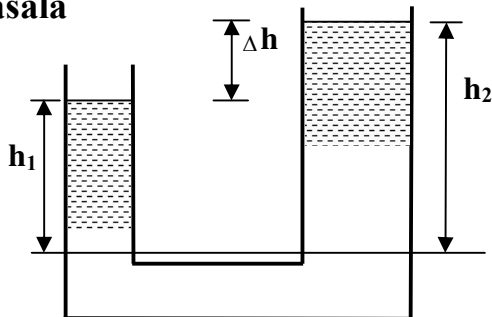


1.42-rasm.

Yopiq idish neft bilan to'ldirilgan. Suyuqlik yuzasidagi bosim $R_0=2,5$ ata idish ichidagi suyuqlik balandligi ma'lum bo'lsa, $h_A=3m$, p'ezometrik balandlik A nuqta uchun 1.42-rasmda topilsin.

$$R_A = (R_0 + \gamma h_A) - R_{ATM}; \gamma_{neft} = 7600 \text{ n/m}^2; h_n = R_A / \gamma$$

Masala

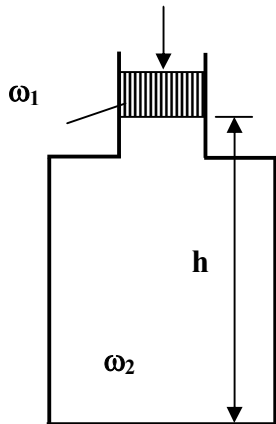


Har xil diametrlarga ega bo'lgan tutash idishlarda, idish usti ochiq bo'lsa, suyuqlik turlari $\gamma_1=25000 \text{ N/m}^2$; $\gamma_2=9810 \text{ N/m}^2$ bo'lib, ikkinchi idishda $h_2=3 \text{ m}$ berilgan bo'lsa, birinchi idishdagi h_1 va suyuqliklar balandliklari farqi - (Δh) 1.43-rasmida topilsin.

$$D_{atm} + \gamma_1 h_2 = D_{atm} + \gamma_2 h_2$$

1.43-rasm

Masala



1.44-rasm.

Idish suv bilan to'ldirilgan umumiyligini $h=3 \text{ m}$. Suyuqlik yuzasidagi diametri $\omega=30 \text{ sm}$. porshenga 100 kGs kuch qo'yilgan.

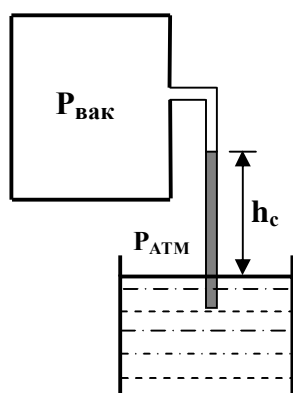
1.44-rasmida idish tagiga bo'lgan to'liq gidrostatik bosim kuchi topilsin, agar idish tagi yuzasi $\omega_2=300 \text{ sm}^2$ bo'lsa.

Idish tagidagi bosim $R=R_0+\gamma h=R_1/\omega_1+\gamma_2 h$; Idish tagiga gidrostatik bosim kuchi $R=\rho \cdot \omega_2=(R_1/\omega_1+\gamma h) \cdot \omega_2$;

Masala.

Gidropress tuzilishidan foydalanib, R_2 kuch topilsin. Katta porshen diametri $D=0,75 \text{ m}$. Richakga $G=10 \text{ kGs}$ kuch qo'yilgan bo'lsa, birinchi porshen yuzasi $\omega_1=0,02 \text{ m}^2$ va richaklar elkalari nisbati $a/v=5$ dan foydalanib, $R_1/Q=a/v$; $R_1=Qa/v$; Hosil bo'lgan bosim $R_1=R_2/\omega_1$; Ikkinci porshendan uzatilayotgan bosim $R_1=R_2$ bo'lgani uchun, $R_1/\omega_1=R_2/\omega_2$; $R_2=R_2 \cdot \omega_2/\omega_1$;

Masala

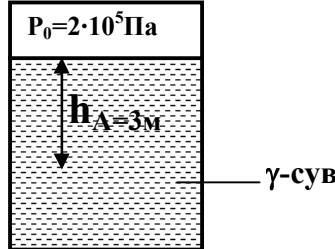


1.45-rasm

Idish ichida $R_{vak}=75000 \text{ N/m}^2$ vakuum bosimi mavjud. Ochiq idishga p'ezometr tushurilgan bo'lib, vakuum ta'sirida ma'lum bir balandlikga ko'tariladi.

Muvozanat shartidan foydalanib, h_{suv} -balandligi 1.44-rasmida topilsin $h_{suv}=R_v/\gamma_s$.

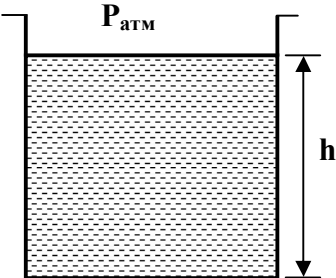
Masala



Yopiq idishda berilganlardan foydalanib, absolyut bosimni va ortiqcha bosimni 1.46-rasmida aniqlang.

1.46-rasm.

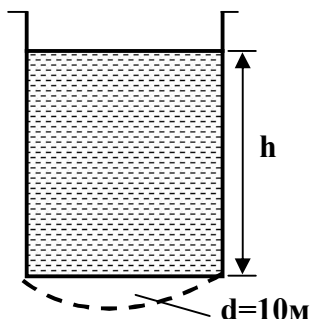
Masala



Oddiy usti ochiq idishda suvning balandligi $h = 5 \text{ m}$. Suvning solishtirma og'irligi $\gamma_{suv} = 9810 \text{ N/m}^3$ $R_0 = R_{atm} = 98100 \text{ N/m}^2$ ligi ma'lum bo'lsa, idish tagiga nisbatan absolyut bosim R_{ABS} va ortiqcha bosim R_{ort} har xil o'lchamlarda 1.47-rasmida topilsin.

1.47-rasm.

Masala



Ushbu oddiy idish tsilindrik shaklda bo'lib, uning diametri $d = 10 \text{ m}$. Idish tubiga bo'lgan gidrostatik bosim kuchi 148-rasmida topilsin. Bunda $h = 8 \text{ m}$.

$$P = \rho \cdot \omega = \gamma h \omega = \gamma h \cdot \frac{\pi d^2}{4} \quad (1.64)$$

1.48-rasm.

1.8.4. NEFT VA NEFT MAHSULOTLARNI QOVUSHQOQLIGINI ANIQLASH

Neft, gaz va neft mahsulotlarining asosiy fizik-texnik xossalari: zichlik, qovushqoqlik, o'z-o'zidan alanga olish, elektrlanish, zararli xususiyatlari, kritik harorat va kritik bosim, to'yangan bug' bosimi, portlash, yong'indan xavflilik va boshqalar kiradi. Bu xossalarni bilish neft- gaz va neft mahsulotlarini texnologik jarayonlarini to'g'ri tashkil qilishni taqozo etadi. Quyida ularning mazmuni bilan tanishib chiqamiz:

Neft. Qo'ng'ir rangli yonuvchan suyuqlik bo'lib, uning tarkibi $S_5 \div S_{36}$ gacha bo'lgan turli sinf uglevodorod birikmalari hamda kislород, azot, oltingugurt birikmalari aralashmasidan tashkil topgan. Neftning kimyoviy tarkibi, qazib olinayotgan konlarga bog'liq bo'lib, tarkibidagi moddalarning o'rtacha qiymatlari quyidagicha (foizda): uglerod 84-85; vodorod 12-14; kislород 0,1-1,3; azot 0,02-1,7; oltingugurt 0,01-5,5.

Zichlik. Zichlik deganda hajm birligidagi moddaning (neft, neft mahsuloti, gaz) massasi tushiniladi.

$$\rho = \frac{m}{g} \quad \text{kg/m}^3 \quad (1.65)$$

bunda: m -massa, kg ; g -hajm, m^3 .

Mahsulotlarni tashish va saqlash jarayonida neft va neft mahsulotlarining zichligi absolyut hamda nisbiy birliklarda ifodalanadi. Nisbiy zichlik quyidagicha bo'lgilanadi: $\rho_t = \rho_{20} - \xi(t - 20)$ bu 20°S dagi neft yoki neft mahsuloti zichligini 4° S dagi suv zichligiga bo'lgan nisbati. Neft va neft mahsulotlarini 20°S dagi nisbiy zichlik ko'rsatkichlari 0,7 dan 1,07 gacha o'zgaradi.

Istalgan haroratdagi (t) absolyut zichlik ρ_t bilan belgilanib uning qiymatini quyidagi ifoda bo'yicha aniqlash mumkin.

$$\rho_t = \rho_{20} - \xi(t - 20) \quad (1.66)$$

bunda: ρ_{20} neft yoki neft mahsulotining 20° S dagi absolut zichligi, (laboratoriya tahliliga ko'ra aniqlanadi, kg/m^3); ξ -harorat koeffitsienti, $\text{kg}/(\text{m}^3 \cdot {}^{\circ}\text{S})$; $\xi = 1,825 - 0,001315\rho_{20}$

Qovushqoqlik. Mahsulotlarning oquvchanligi, surkaluvchanligini ifodalaydi. Qovushqoqlik ichki ishqalanish koeffitsienti (μ) yoki dinamik qovushqoqlik koeffitsienti bilan ifodalanadi.

Kinematik qovushqoqlik (v) bu dinamik qovushqoq-likning tegishli haroratdagi suyuqlik va gazning zichligiga bo'lgan nisbati.

Kinematik qovushqoqlikning SI tizimidagi o'lchov birligi:

$$\mu / \rho = 1 \left(\frac{m^2}{s} \right) \quad (1.67)$$

1. 7-jadval

Ayrim gazlar uchun kinematik qovushqoqlik koeffitsienti

Gaz	$v \cdot 10^6, \text{ m}^2/\text{s}$	Gaz	$v \cdot 10^6, \text{ m}^2/\text{s}$
Azod	13,3	Kislород	13,4
Ammiak	12,0	Metan	14,2
Argon	11,9	Uglerod oksidi	13,5
Atsetilen	8,23	Propan	3,70
Butan	25,8	Oltингугурт	7,62
Vodorod	93,5	Is gazi	7,00
Suv bug'i	11,1	Xlor	3,80
Havo	13,2	Etilen	7,50
Geliy	10,4		

1.8 -jadval

Gazlar dinamik qovushqoqlik koeffitsientining harorat va bosimga bog'liqligi

Gaz	Harorat, $t {}^{\circ}\text{C}$	Bosim, $p \cdot 10^6, \text{ N/m}^2$			
		0	25	75	100
Azot	0	5,07	10,1	30,4	81,0
	25	18,1	19,9	26,8	45,8
	75	20,5	21,5	26,6	41,6
Havo	0	18,2	19,7	28,6	-
	25	19,2	20,6	28,0	-
	100	22,4	23,4	28,1	-
Is gazi	40	48,8	48,8	-	-

1.9-jadval

t=18 °C da suyuqlikning dinamik qovushqoqlik koeffitsienti

Modda	$\mu \cdot 10^3, (N \cdot k)/m^2$
Anilin	0,46
Atseton	0,0337
Benzol	0,0637
Suv	0,105
Glitserin	139,3
Kostor moyi	120,0
Mashina moyi (yumshoq)	11,3
Mashina moyi (og'ir)	66,0
Silindr tozalangan moyi (40°)	1,109
Silindr moyi (to'q)	24,0
Pentan	0,0244
Simob	0,159
Oltingugurt uglerodi	0,0382
Etil spirti	0,122
Toluol	0,0613

1.10-jadval

Suvning qovushqoqlik koeffitsientining haroratga bog'liqligi

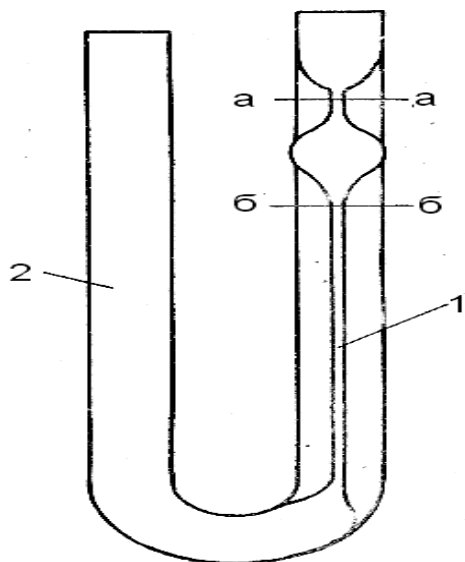
t, °C	$\mu \cdot 10^3, Pa \cdot s$	$\nu \cdot 10^6, m^2/s$
0	1,790	1,790
10	1,300	1,306
20	1,004	1,006
30	0,802	0,805
40	0,654	0,659
50	0,549	0,556
60	0,470	0,478
70	0,406	0,415
80	0,355	0,365
90	0,315	0,326
100	0,282	0,295

Neft va neft mahsulotlari ham boshqa suyuqliklar kabi kapillyar va Engler viskozometrlari yordamida o'lchanadi. Bu erda biz amaliyotda ko'p qullanayotgan vikazometrlarni ketirib o'tamiz.

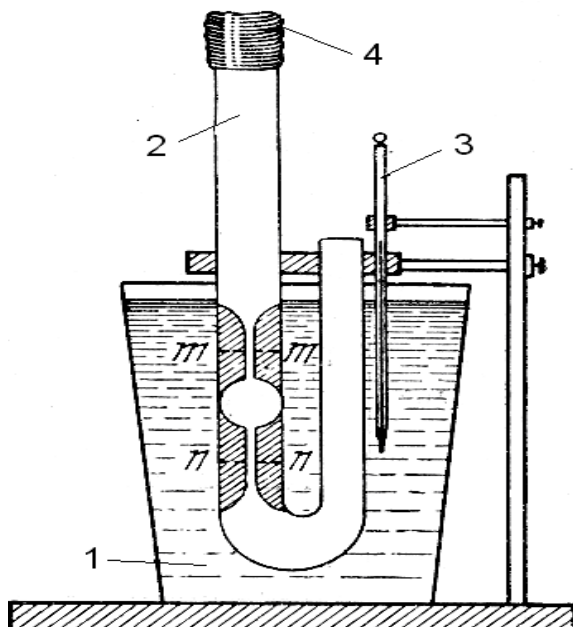
**Kapillyar vizkozimetrr yordamida dinamik qovushqoqlik koeffitsientini aniqlash
Qurilmaning bayoni**

Qurilmaning sxemasi 1.49-rasmida ko'rsatilgan.

Unda kapillyar viskozimetrr quyidagi "U" shakldagi quvurchadan iborat. Uning bir tirsagiga kapillyar 1 mahkamlangan. Viskoziometr vertikal tekislikka mahkamlangan. Suyuqlik 2 viskozimetrrning keng tirsagiga quyiladi. U suyuqlik kapillyarining yarim balandligigacha bo'lishi kerak.



1.49-rasm. Kapillyar viskozimetr



1.50-rasm. Kapillyar viskozimetrining ish jarayoni

Bu ilmoqchalar tekshiriladigan suyuqlik sathini bir hil ko'rsatib turadi. Naycha teshikchasi tayoqcha 5 yordamida berkitiladi. 1 va 2 orasidagi bo'shliq suv bilan to'latilinib viskozimetr ichidagi suyuqlikning haroratini o'zgartirmas holda saqlash uchun ishlatilinadi.

Tekshirishga oid suyuqlik harorati 6 termometr yordamida aniqlanadi. Shu viskozimer yordamida 200 sm^3 suyuqlikning oqib o'tish vaqtini aniqlanadi, yoki shu hajmdagi toza suv va tekshirishga oid suyuqlikning oqib o'tish vaqtini 20°S dagi nisbati $\frac{T_c}{T_0}$ larning miqdori, ya'ni Engler gradusi $\frac{T_c}{T_0} = E$ olinadi. Qovushqoqlik koeffitsienti v esa quyidagi formula orqali aniqlanadi:

Viskozimetrning katta tirsagidan havo berish yo'li bilan suyuqlikni a-a belgigacha ko'tariladi. So'ngra suyuqlik o'z ogirlik kuchi orqali pastga tusha boshlaydi. Suyuqlik a-a belgidan b-b belgigacha tushgandagi T_s vaqtini aniqlanadi.

Suyuqlikning dinamik qovushqoqlik koeffitsienti quyidagi formula yordamida aniqlanadi:

$$\mu_1 = \mu_0 \frac{T_1}{T_0} \frac{\rho_1}{\rho_0} \quad (1.68)$$

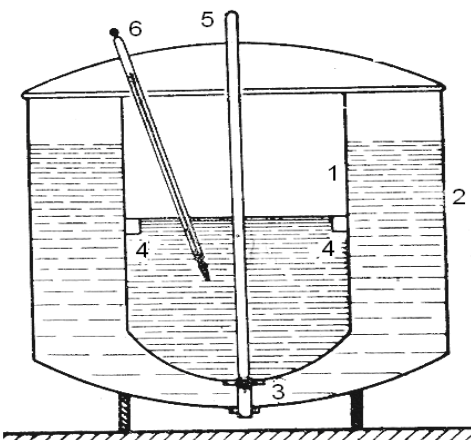
bu erda T_0 - distirlangan suvning oqish vaqtini; μ_0 - distirlangan suvning dinamik qovushqoqlik koeffitsienti, bo'lib, jadvallarda berilgan; ρ_1, ρ_0 - tekshirishga oid suyuqlikning va distirlangan suyuqliklar zichligi.

Qurilmaning bayoni

Kinematik quvushqoqlikni aniqlashda texnikada, amaliyotda ko'pincha Engler viskozimetridan foydalaniladi. Viskozimetr sxemasi 1.50-rasmda ko'rsatilgan.

U, konsentrik ravishda joylashgan 2 ta latun 1 va 2 idishlardan iborat. 1 idishning o'rta qismida sferik ravishda joylashgan taglik bo'lib unga 3 naycha kavsharlangan. Uning ichki yuzasida 3 ta ilmoqcha 4 bor.

$$v = 0,0731E - \frac{1}{E} 0,0631 \quad (1.69)$$



1.51-rasm. Viskozimetr Engler sxemasi

1. Viskozimetr (1.51-rasmida) distirlangan suv bilan to'latilinadi. Bunda ilmoqchalar uchlari shu suyuqlik bilan bir xil sathni – yuzani tashkil etadi.

2. Viskozimetr va idish oralig'ida suv quyilib uni 20°S da ushlab turiladi, ehtiyyotkorlik bilan naycha teshikchasi tayoqcha yordamida ochilib 200 sm^3 toza suv oqib o'tish vaqtini T_0 aniqlanadi.

3. 1 nomerdagidek viskozimetr ichiga tekshirishga oid suyuqlik solinadi.

4. 200 sm^3 suyuqliknini vaqtini T_s aniqlanadi.

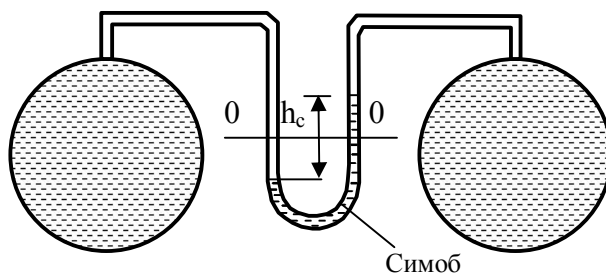
5. 200 sm^3 suyuqlik har xil haroratlarda tajribani 4-5 marta takrorlanadi.

1. Kinematik qovushqoqlik koeffitsienti

$$\nu = 0,0731E - \frac{1}{E} 0,0631 \quad (1.70)$$

formula yordamida aniqlanadi.

Neft mahsulotlariga ta'lulki masalalar



1.52-rasm. Differentsial manometr

1.52-rasmida. Differentsial manometrda simob manometri ko'rsatishi $h_c=0,5 \text{ m}$. Agar simob solishtirma og'irligi $\gamma_s=132945 \text{ N/m}^2$; suyuqlik, neftning solishtirma og'irligi $\gamma_n=810 \text{ bo'lsa}$, ikki quvurlar A va V ichidagi bosimlar farqi topilsin.

$$\Delta P = h_c (\gamma_s - \gamma_n)$$

2. Uzunligi $\ell = 4 \text{ m}$ bo'lgan quvurdan harorati 10^0S ($\nu = 0,4 \text{ sm}^2/\text{s}$) bo'lgan neft oqib o'tmoqda. Agar kesimlar orasidagi bosimlar farqi $\Delta P = 1,5 \text{ mPa}$ va neft sarfi, $Q = 0,5 \text{ l/s}$ bo'lsa, suyuqlikning harakat rejimini aniqlang.

3. Diametri $d = 50 \text{ mm}$ - li quvur orqali sarfi $Q = 0,5 \text{ l/s}$ bo'lgan benzin oqmoqda. Agar benzin harorati 6^0S gacha o'zgarsa, suyuqlik harakat rejimi qanday o'zgaradi?

4. Diametri $d = 100 \text{ mm}$ bo'lgan quvurda suyuqlik laminar rejimda harakat qilmoqda. Agar quvur o'qidagi tezlik $u_{\text{tax}} = 20 \text{ sm/s}$ bo'lsa, tezlik taqsimotining grafigini chizing.

5. Laboratoriya xonasida diametri $d = 25 \text{ mm}$ bo'lgan quvurda tajribalar o'tkazilib quyidagi qiymatlar o'lchanadi: a) suvning harorati $t = 10^0\text{S}$, tezligi $v = 20 \text{ sm/s}$; b) benzin harorati 20^0S , tezligi $v = 25 \text{ sm/s}$; v) neft harorati 18^0S , tezligi $v = 18 \text{ sm/s}$. Suyuqlikning harakat rejimlarini va sarfini aniqlang.

1.9. GIDRODINAMIKA ASOSLARI. SUYUQLIKLARNING HARAKAT TAVSIFI, ASOSIY KATTALIKLAR

Gidrodinamika gidravlikaning bir qismi bo'lib, unda suyuqliklarning harakat qonunlari va suyuqliklarning quvurlarda, kanal va anxorlardagi ko'zg'almas va ko'zg'aluvchi qattiq moddalar bilan bir-biriga bog'liqligini o'rganadigan fan. Bu qonuniyatlarni amaliyotda qo'llash bo'yicha bir qancha ishlar qilingan.

Suyuqlikning harakati, suyuqlik tezligi tushunchasi va har-xil chuqurlikdagi bosimlari bilan ifodalanadi.

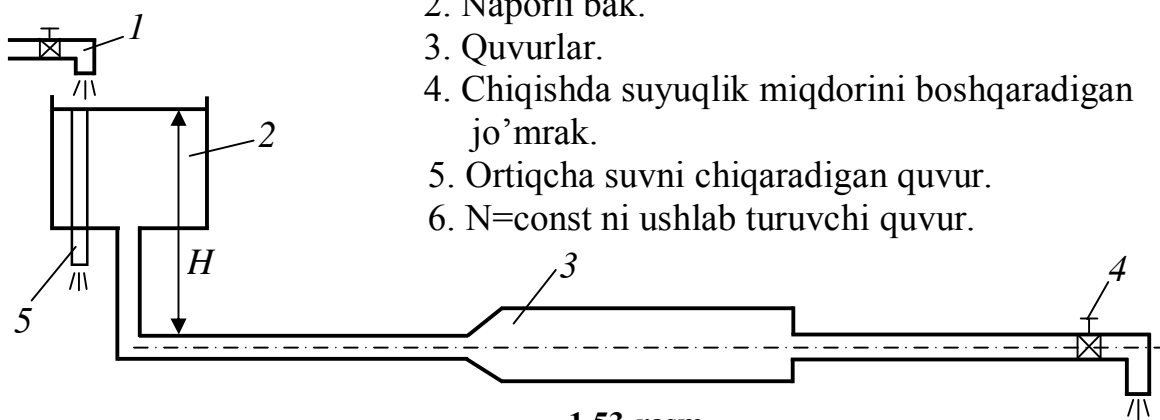
Suyuqlik oqimining chuqurligi, tezligi va nuqtalardagi bosim quvur tizimlarida va kanal, anxorlarning koordinatalariga X , Y va Z o'qlariga bog'liq.

Shu nuqtalardagi bosim va tezliklar ba'zida vaqtga ham bog'liq bo'lib turadi.

Shu sababli harakatlar 2 turga bo'linadi. Barqaror va beqaror. Barqaror harakat deb - gidrodinamik bosim va oqimlar tezligi istalgan nuqta uchun vaqt birligida o'zgarmas bo'lgan harakatlarga aytildi, lekin bosim, balandlik va tezlik shu nuqtaning koordinatalariga ya'ni X , Y va Z o'qlariga bog'liq bo'ladi.

1.53-rasmda.

1. Suyuqlik bilan ta'minlanadigan jo'mrak.
2. Naporli bak.
3. Quvurlar.
4. Chiqishda suyuqlik miqdorini boshqaradigan jo'mrak.
5. Ortiqcha suvni chiqaradigan quvur.
6. $N=const$ ni ushlab turuvchi quvur.



1.53-rasm.

Barqaror harakatda $P = f(X; Y; Z; t)$ va $\vartheta = f(X; Y; Z; t)$ lar faqat koordinatalariga bog'liq.

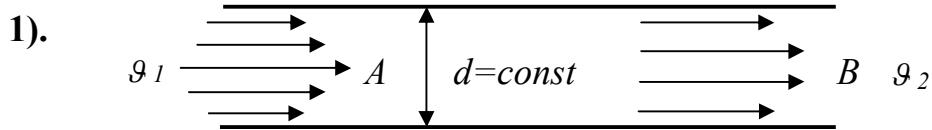
Barqaror harakatlar sanoat korxonalariga bir xil miqdorda suyuqlik (suv, eritma, neft, kislota, ishqor) etkazib berishga ochiq kanallarda esa suyuqlik balandligi o'zgarmay oqish paytiga to'g'ri keladi.

Beqaror harakatda quvurlada, kanal va anxorlarda oqayotgan suv miqdori o'zgaruvchan bo'ladi. Demak, tezlik va bosim vaqtga bog'liq holda o'zgarib turadi. $P = f(X; Y; Z; t)$; $\vartheta = f(X; Y; Z; t)$.

Quvurlarda oqayotgan suyuqliknini minglab mayda zarrachalar deb qarasak, har bir mayda ulush elementar oqimcha deyiladi. Uning tezligini ϑ -elementar oqimcha tezligi deb olinadi, ya'ni $R=f(X; Y; Z)$ $\vartheta=f(X; Y; Z)$.

Beqaror harakatlarga naporli bakdan oqayotgan suyuqlik harkati misol bo'ladi. Jumrak berk holda qarasak N -idish ichidagi napor yoki h -balandlik o'zgaruvchan bo'lganda, kanallarda suvlar goh oshib-toshib, gohida oz miqdorda oqqanida bo'lib turadi. Bu harakatlar ko'pincha hisob-kitoblarga bo'ysunmaydi.

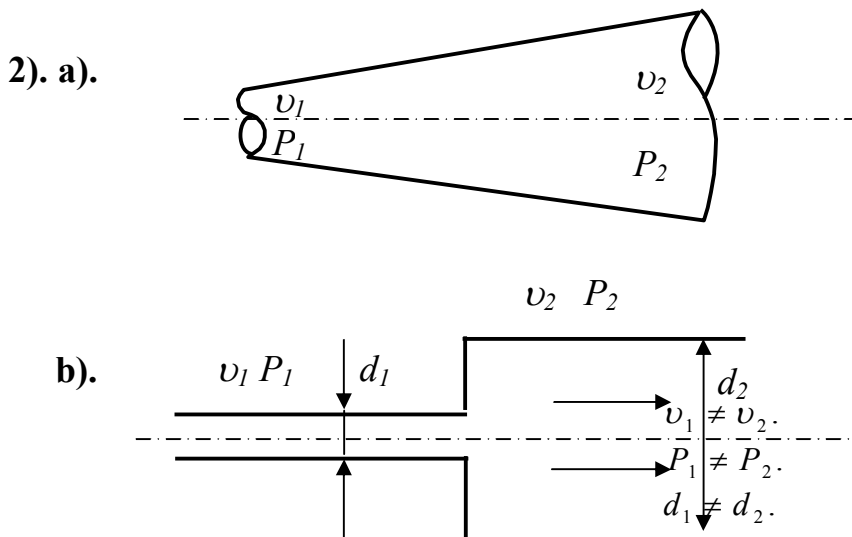
Barqaror harakatni 1)-chisi 1.54-rasmda harakatga bo'lamiz, ular tekis va notekis.



1.54-rasm.

Agar quvur tizimlarida diametri, quvur uzunligi davomida o'zgarmasa suyuqlik tekis harakat qiladi. Bunda biror o'q olib, uni o'rgansak $\vartheta_1 = \vartheta_2$; $P_1 = P_2$; elementar tezliklar hamda A va V nuqtalarda bosim qiymatlari ham teng bo'ladi.

Notekis harakatlar quvur diametrlari o'zgargan joylarda kuzatiladi.



1.55, a-b-rasm.

Suyuqlik harakati naporli (bosimli) yoki naporsiz (bosimsiz) bo'ladi. Agar quvur tizimlariga suyuqlik naporli bak (155, a-b rasm) yoki to'g'ridan-to'g'ri nasoslar yordamida berilsa, bunday suyuqlik harakatiga naporli harakat deyiladi. Bunda quvurning ichida bosim qiymati 5 atm.-dan 10 atm.-gacha bo'ladi. Gidrouzatmalarda esa 100 ÷ 200 atm.-gacha bo'lishi mumkin. Bosim qancha katta bo'lsa, suyuqlik ham shuncha tez oqadi.

Naporsiz harakat esa faqat idishning qiyaligi tufayli suyuqlikning o'z og'irligi evaziga sodir bo'ladi. Bunga misol sifatida ochiq o'zanlar, ariq, anxor va kanallarda suyuqlik faqat qiyalik hisobiga harakatlanib, qiyalik qancha katta bo'lsa, suyuqlik shuncha tez harakatda bo'ladi. Naporsiz harakat kanalizatsiya quvur tizimlarida ham uchraydi. Bunda quvurlar to'lmasdan ham unda suyuqlik oqaveradi. Yomg'ir, jala suvlari kanalizatsiyaga tushganda quvur to'lib ham oqishi ham mumkin.

1.9.1. OQIMCHALI HARAKAT. OQIM CHIZIG'I, OQIM NAYCHASI VA OQIMCHA

Gidravlikada suyuqlik harakati qonuniyatlarining tabiatini eng to'liq va mukammal ifodalab beruvchi sxema suyuqlik oqimini elementar oqimchalaridan iborat deb qarovchi sxema hisoblanadi.

Oqim chizig'i - suyuqlikning quvur ichida bosib o'tgan yo'li. Agar quvur (1.56-rasmda) gorizontal joylashgan bo'lsa, oqim chizig'i - to'g'ri chiziqlar bo'ladi.



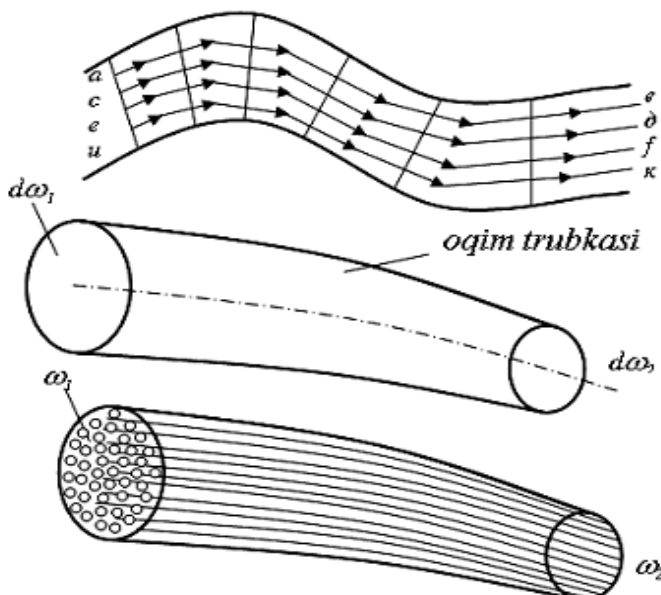
1.56-rasm. Oqim chizig'i

1, 2, 3, 4, 5 va hokazo chiziqlar quvur ichida minglab zarachalar, elementar oqimchalarga bo'linishi mumkin.

Agar quvur har-xil shaklda bo'lsa, oqim chizig'ini qurish uchun quvurning har 5:10 sm masofaga urinma chizib, shu urinmaga perpendikulyar chizsak, suyuqlik shu perpendikulyarga yana perpendikulyar yo'naliishda oqadi. Shu oqimchalarни birlashtirib oqim chizig'iga $a-v$ paydo qilamiz. Shu $a-v$ ga parallel bir necha oqim chizig'ini paydo qilamiz. $a-v$, $s-d$, $e-f$; $u-k$ $d\omega_1$, $d\omega_2$ -elementar oqimchaning boshlanish va oxirgi nuqtasidagi yuza. Har bir oqim chizig'i atrofiga 5-6 - oqim chizig'ini parallel holda olib, ularni quvur uzunligi bo'ylab chizsak oqim naychasi paydo bo'ladi. Quvurning ichida (1.57-rasm) bunday oqim naychalaridan o'nlab va yuzlab olishimiz mumkin.

ω_1 , ω_2 - har bir quvurning boshlanishi va oxirgi nuqtasidagi yuzalar, oqim naychasi ichidan oqib o'tgan suyuqlik elementar oqimcha deyiladi.

Quvur boshlanishida qancha elementar oqimchalar bo'lsa, quvur oxirida ham shuncha bo'ladi.



1.57-rasm. Suyuqlik zarrachalrining oqimcha chizig'i

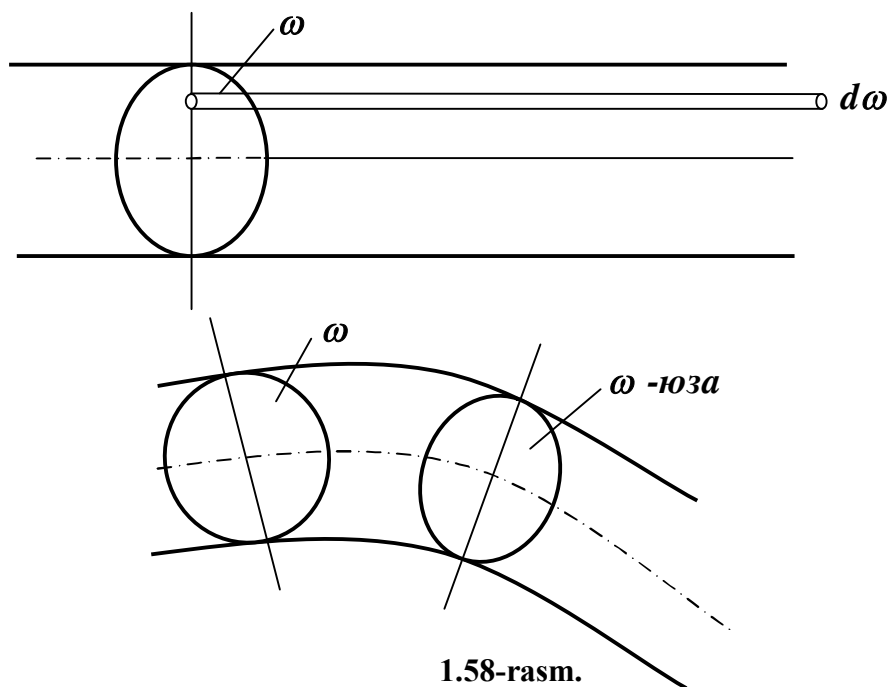
Ushbu oqimchalar bir-biriga aralashmaydi. Oqimchalar kichik bo'lgani uchun, uning har bir nuqtasida kesim yuzasida tezligi bir xil deyish mumkin.

1.9.2. OQIMNING GIDRAVLIK ELEMENTLARI.

1) Jonli kesim

1.58-rasm. - harakat kesimi deb, shunday yuzaga aytamizki, uning har bir nuqtasida oqim chizig'i normal bo'ylab yo'nalgan bo'ladi.

$d\omega$ - elementar oqimcha yuzasi, ω - to'la oqim yuzasi.



Umumiyoqim yo'nalashiga normal bo'lgan oqimning ko'ndalang kesimi harakat kesimi deb ataladi va turli shakldagi quvurlar uchun quyidagicha bo'ladi:

a) Tsilindrik quvur uchun;

$$\omega = \frac{\pi d^2}{4}$$

b)  - shakldagi quvur uchun;

$$\omega = a \cdot \epsilon$$

v)  - shakldagi quvur uchun;

$$\omega = \frac{a \cdot h}{2}$$

g) trapetsiya shakldagi quvur uchun;
 a, v lar asosi va eni; h -balandlik

$$\omega = h \cdot \frac{B + \epsilon}{2}$$

2) Suyuqlik sarfi.

Vaqt birligi ichida quvurlardan, kanallardan, ya'ni oqimning ko'ndalang kesimidan oqib o'tgan suyuqlik miqdori suyuqlik sarfi deb ataladi va Q bilan belgilanadi. Suyuliq sarfining o'lchov birliklari m^3/c , cm^3/c , l/c , l/min . Elementar

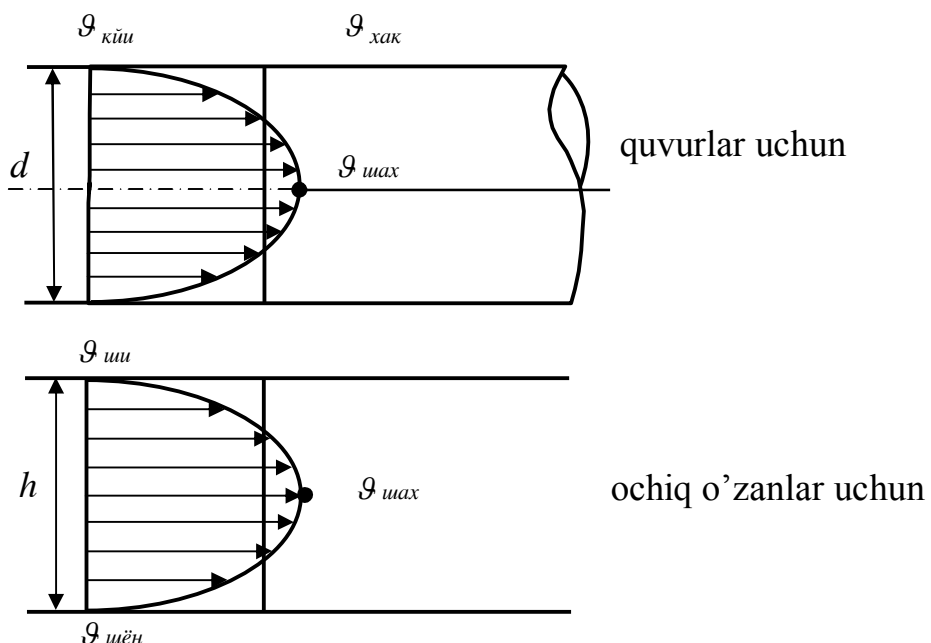
oqimcha uchun sarf – dq bilan belgilanadi. Ixtiyoriy elementar oqimcha uchun sarf $dq = u \cdot d\omega$; Bu erda: ϑ - zarrachalar tezlikgi, $d\omega$ - elementar oqim yuzasi.

Quvurdan oqqan suyuqlikning to'liq sarfi $Q = \int dq Q = \int u \cdot d\omega$.

Integral natijasida $Q = \vartheta \cdot \omega$; $\vartheta = \frac{\vartheta_1 + \vartheta_2 + \vartheta_3 + \vartheta_4 + \dots + \vartheta_n}{h}$ hosil bo'ladi;

ϑ - o'rtacha tezlik elementar tezliklar yig'indisining oqimchalar soniga bo'linganiga teng (1.59-rasmida).

3). O'rtacha tezlik - haqiqiy harakat vaqtidagi sarfga teng bo'lган tezlik.



1.59-rasm.

4). Ho'llanganlik perimetri. (1.60-rasmlarda).

Oqim ko'dalang kesimini uni chegaralovchi devorlar bilan tutashtiruvchi chiziq perimetri ho'llanganlik perimetri deb ataladi.

Belgisi χ , - o'lchami [m].

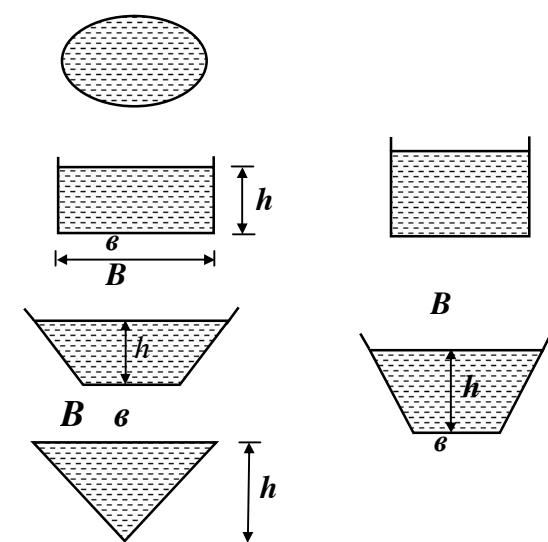
$$\chi \text{ tsilindr uchun} = \pi d = 2\pi r;$$

$$\chi \text{ to'g'ri to'rburchak uchun} = 2h + b;$$

$$\chi \text{ trapetsiya uchun} = b + 2h(\sqrt{1+m^2})$$

bu erda m - qiyalik

$$\chi \Delta\text{-uchburchak uchun} = 2h(\sqrt{1+m^2});$$



5). Gidravlik radius – oqim harakati kesimi ω -ning ho'llanganlik perimetri χ - ga nisbatidir.

$$R = \frac{\omega}{\chi}; \quad R \text{ to'rtburchak uchun} = \frac{\epsilon \cdot h}{2h + \epsilon};$$

$$R \text{ trapetsiya uchun} = \frac{h(m \cdot h + \epsilon)}{\epsilon + 2h\sqrt{1 + m^2}};$$

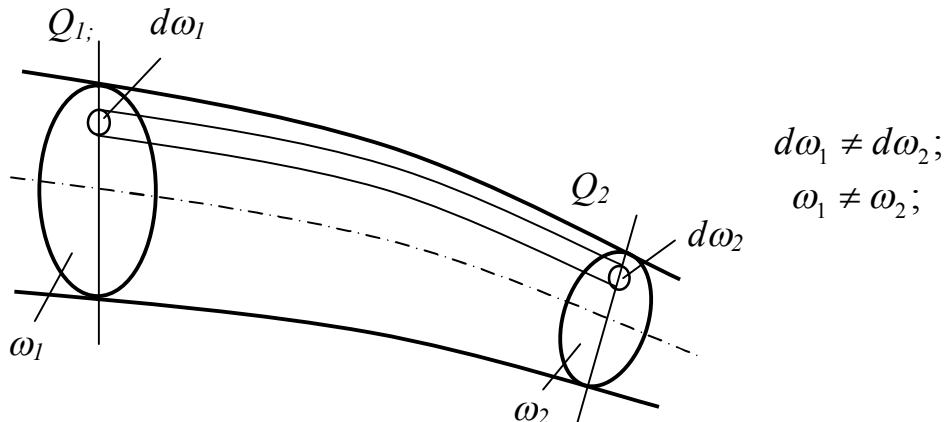
$$R \text{ uchburchak uchun} = \frac{mh^2}{2h\sqrt{1 + m^2}};$$

$$R \text{ tsilindrik quvur uchun } \omega = \frac{\pi d^2}{4}; \quad \pi d = \frac{d}{4} = \frac{r}{2};$$

1.9.3. ELEMENTAR OQIMCHA VA TO'LA OQIMChA UCHUN UZLUKSIZLIK TENGLAMALARI

Ushbu holatda uzluksizlik tenglamasini sarf formulasidan topib yoziladi. Bunda harakat barqaror, ya'ni $h=const$ bo'lGANI uchun; $Q_1=Q_2$; $dq_1=dq_2$;

Elementar oqimchalarga nisbatan sarfni yozsak $dq_1=dq_2$; $u_1 d\omega_1 = u_2 d\omega_2$; Bundan elementar oqimcha uchun (1.60-rasmida)



1.60-rasm. Uzluksizlik tenglamasi oyid chizma

$$\frac{d\omega_1}{d\omega_2} = \frac{\vartheta_2}{\vartheta_1} \quad (1.71)$$

uzluksizlik tenglamasi $Q = \int dq = \int ud\omega = \vartheta \cdot \omega$; dan foydalanib $Q_1=Q_2$; ekanligini yozamiz, ya'ni

$$\frac{\vartheta_1}{\vartheta_2} = \frac{\omega_2}{\omega_1} \quad (1.72)$$

Ushbu hosil bo'lgan tenglama to'la oqim uchun uzluksizlik tenglamasi deyiladi. Agar birinchi tezlik ϑ_1 berilsa, ϑ_2 ni topish quyidagi formula orqali amalga

$$\text{oshiriladi, ya'ni } \frac{\vartheta_2}{\omega_2} = \frac{\vartheta_1 \omega_1}{\omega_2}; \quad (1.73)$$

Agar biror yuza berilsa, ikkinchi yuzani ham oson topamiz,

$$\omega_1 = \frac{\vartheta_2 \omega_2}{\vartheta_1}; \quad (1.74)$$

Tezlik va yuzalar bir-biriga teskari proportsional. Tezlik oshsa, yuza kamayadi yoki aksincha yuza oshsa tezlik kamayadi.

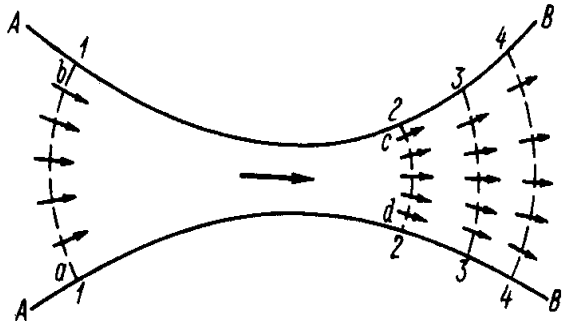
1.9.4. SUYUQLIKNING BARQAROR HARAKATIDA UZLUKSIZLIK TENGLAMASI

1.61-rasmda ko'rsatilgan oqimni olib, undagi $abcd$ bo'lakni ko'rib chiqamiz. Ushbu bo'lak AV sirt bilan chegaralangan bo'lib, undan tashqariga yoki ichkariga oqim kirmaydi. Bunda 1-1 va 2-2 kesimlarni belgilab olamiz.

$abcd$ bo'lakdan dt vaqtida 1-1 kesimga $Q_1 dt$ hajmda suyuqlik kirib, 2-2 kesimdan $Q_2 dt$ hajmda suyuqlik chiqib ketadi.

Bunda quyidagi holatlar hisobga olinadi:

- $abcd$ bo'lakka AV yon sirtidan suyuqlik kirmaydi, chunki AV sirt oqim chizig'i bilan tashkil topgan bo'lib, bu chiziq bo'ylab suyuqlik zarrachalari ketma-ket harakatlanadi;



1.61-rasm. (1.79) tenglamani keltirib chiqarishga doir chizma

- suyuqlik siqilmaydi;
- suyuqlik uzluksiz holatda harakatlanadi.

Yuqoridagi holatlarni hisobga olib quyidagicha yozish mumkin,

$$Q_1 dt = Q_2 dt \quad (1.75)$$

$$Q_1 = Q_2 \quad (1.76)$$

Xuddi shu tarzda boshqa kesimlarni ham yozish mumkin: 3.3, 4.4 va hokazo

$$Q_1 = Q_2 = Q_3 = \dots = Q = \text{const} \quad (1.77)$$

$$Q = \text{const} \quad (\text{oqim bo'ylab}) \quad (1.78)$$

(1.76) tenglamaga asoslanib, shunday xulosa qilish mumkin. Oqimning barqaror harakatida yon tomondan qo'shimcha suyuqlik miqdori qo'shilmasa, undagi sarf miqdori uzunlik bo'yicha o'zgarmaydi.

Oqim sekin va tez o'zgaruvchan holatda harakatlanganda esa oqimning uzlusizlik tenglamasini quyidagi ko'rinishda ifodalash mumkin:

$$\frac{v_1}{v_2} = \frac{\omega_2}{\omega_1}$$

$$v_1\omega_1 = v_2\omega_2 = v_3\omega_3 = \dots = v\omega = \text{const} \quad (\text{oqim bo'ylab}) \quad (1.79)$$

$$\delta Q = u\delta\omega = \text{const} \quad (\text{oqimcha bo'ylab}) \quad (1.80)$$

Agar butun oqim o'rniga elementar oqimchalar to'plami ko'rileyotgan bo'lsa,

$$\frac{u_1}{u_2} = \frac{\delta\omega_2}{\delta\omega_1} \quad (1.81)$$

Texnik gidrodinamika masalasining umumiy qo'yilishi. Suyuqlik oqimining asosiy gidrodinamik harakteristikasi sifatida r – gidrodinamik bosimning skalyar kattaligi va zarrachaning harakat tezligining (ϑ) vektor kattaligini ko'rsatish mumkin. Suyuqlik harakatlanayotgan muhitning turli qo'zg'almas nuqtalarida bosim turli qiymatlarga ega bo'lishi bilan birlgilikda, vaqtning turli qiymatlarida ixtiyoriy qo'zg'almas nuqtada bu kattalik turli qiymatlarga ega bo'lishi mumkin, ya'ni:

$$\begin{cases} \dot{r} = f_1(x, y, z, t) \\ \dot{\vartheta}_x = f_2(x, y, z, t) \\ \dot{\vartheta}_y = f_3(x, y, z, t) \\ \dot{\vartheta}_z = f_4(x, y, z, t) \end{cases} \quad (1.82)$$

bunda, $\dot{\vartheta}_x$, $\dot{\vartheta}_y$, $\dot{\vartheta}_z$. –zarracha tezlikning dekart koordinatalar sistemasidagi proektsiyalari.

Ma'lum bir t_1 - vaqtdagi f_1, f_2, f_3, f_4 funktsiyalar qiymatini bilish orqali bosimning skalyar maydoni va tezlikning vektor maydoni haqida ma'lumot olish imkoniyatini beradi. Shuning uchun matematik gidrodinamikada r va ϑ kattaliklarni bilish asosiy masala hisoblanadi.

Masalaning bunday qo'yilishida f_1, f_2, f_3, f_4 funktsiyalar qiymatini hisoblash shu darajada qiyin, xatto real suyuqlikni ideal suyuqlik deb faraz qilinganda ham, masalani hal qilib bo'lmaydi. Qolaversa amaliyotda bu masalani nihoyatda yuqori darajada hisoblashga extiyoj bo'lmaydi.

Shu sababli texnik gidrodinamikada (1.82) ifodadan foydalanilmasdan, balki gidravlik usullardan keng foydalaniladi. Gidravlik usul yordamida harakatlanayotgan

suyuqlik joylashgan muhitning ixtiyoriy qo'zg'almas nuqtasidagi bosimni va tezlikni aniqlash ususli oqimning o'rtacha va integral harakteristikalariga asoslangan. Shu usulga asoslanib tuzilgan asosiy tenglamalar quyidagilardir:

- suyuqlikning siqilmaslik va uzlusizlik gidravlik tenglamasi;
- real holatdagi "butun oqim" uchun kinetik energiyaning (Bernulli tenglamasi) gidravlik tenglamasi;
- real holatdagi suyuqlik uchun harakatlar soni gidravlik tenglamasi;
- suyuqlikning harakati paytida paydo bo'ladigan ishqalanish kuchlarining miqdorini baholash uchun empirik va yarim empirik ifodalar (Darsi va Veysbax ifodalari) dan foydalaniladi.

Tenglamalarning hadlarini aniqlab, ularning yordamida gidravlik hodisalarini tahlil qilish natijasida suyuqliklar mexanikasiga oid nihoyatda qiyin amaliy muammolarni hal qilish mumkin bo'lgan texnik nazariyani yaratish mumkin. Lekin ayrim masalalarning echimini topishda bu usullarni suyuqliklarning matematik mexanikasi bilan birlgilashda qo'llanilishini ham ta'kidlash lozim.

Gidrodinamikaning ikki xil masalasi. Suyuqlikning harakati bilan tanishganda, asosan, ikki xil masalaning echimini topishga to'g'ri kelishi mumkin:

- tashqi masala, ya'ni, suyuqlik oqimi ma'lum bo'lib, suyuqlikning o'zi aylanib oqib o'tayotgan qattiq jismga ta'siri;
- ichki masala, suyuqlikka ta'sir etayotgan kuchlar (hajmiy, masalan, og'irlik kuchi) berilgan bo'lib, oqimning gidrodinamik harakteristikasi – bosim, tezlik va hokazolarni topish.

Suyuqlik harakatini kuzatishning ikki asosiy analitik usuli mavjud:

Lagranj usuli. Harakatlanayotgan suyuqlikda K sohani ajratib olib (1.62-rasm), qo'zg'almas $0x$ va $0z$ koordinata o'qlarini belgilaymiz. Boshlang'ich vaqtida kirish chegarasidan M_1 , M_2 , M_3 harakatlanayotgan zarrachalarni ko'rib chiqamiz. Ularning boshlang'ich koordinatalarini x_o va z_o deb belgilab olamiz.

Demak,

$$\left. \begin{array}{l} x = f_1(x_o, z_o, t) \\ z = f_2(x_o, z_o, t) \end{array} \right\} \quad (1.83)$$

Bu ifodalar yordamida har qanday belgilangan zarracha traektoriyasini aniqlashimiz mumkin. Endi zarrachaning dt vaqtida bosib o'tgan ds masofasini topishimiz mumkin. Bundan ixtiyoriy nuqtadagi tezlikni topish mumkin bo'ladi. Belgilab olingan sohda zarracha ma'lum yulini bosib o'tish uchun ketayotgan t vaqt davomida kuzatish mumkin.

Lagranj fikriga asosan, zarrachalar traektoriyalarining umumlashgan ko'rinishi orqali oqimni o'rganish mumkin. Ta'kidlash kerakki, x va z lar suyuqlik zarrachasining o'zgaruvchan koordinatalari bo'lib, dx va dz kattaliklar ds kattalik proektsiyalarini sifatida qaralishi mumkin, ya'ni zarracha tezlik proektsiyalarining quyidagicha ifodalash mumkin:

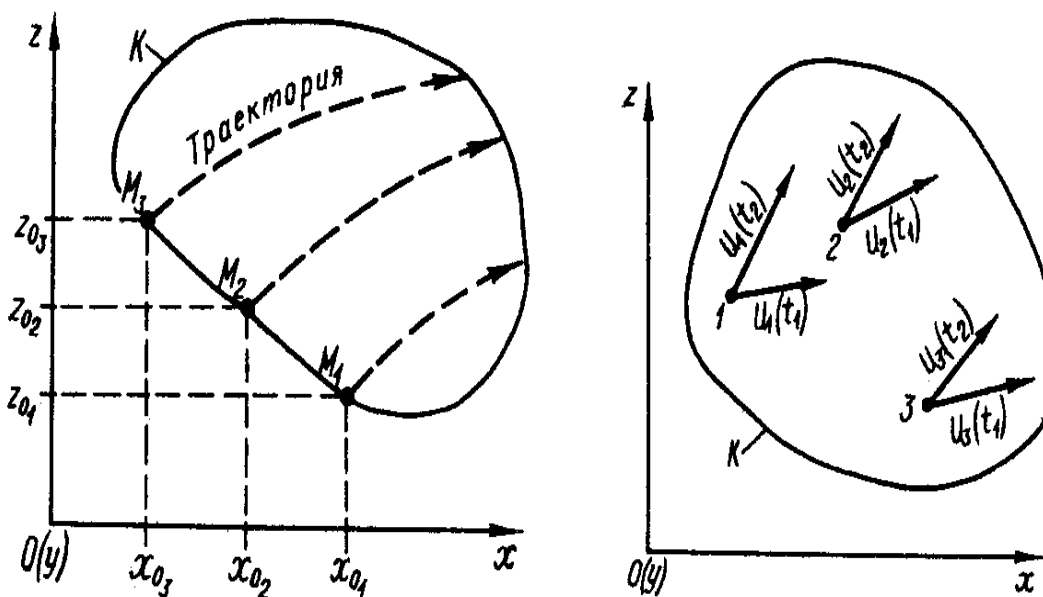
$$\vartheta_x = \frac{dx}{dt}; \quad \vartheta_z = \frac{dz}{dt}; \quad (1.84)$$

Eyler usuli. Faraz qilaylik, harakatlanayotgan suyuqlik bilan muhitning bir bo'lagini ajratib olish mumkin. Bu bo'lakni dekart koordinatalar sistemasiga joylashtirib, unda 1, 2, 3, ... nuqtalarni tanlab olamiz. Bunda, x , z – Lagranj usulidagi kabi, zarracha koordinatalari emas, balki, muhitning qo'zg'almas nuqtalaridir (1.63-rasm). t_1 vaqt oralig'ini kuzatadigan bo'lsak, 1 nuqtada $u_1(t_1)$, 2 nuqtada $u_2(t_1)$ va hokazo tezliklarga ega bo'lgan zarrachalar mavjud bo'ladi.

Ko'rinishib quvurdagi, t_1 vaqtida oqim – tezlik vektori maydonlari ko'rinishida ifodalanib, har qaysi vektorga ma'lum qo'zg'almas nuqta mos keladi. Ikkinci boshqa vaqt oralig'ida 1, 2, 3,... nuqtalar uchun $u_1(t_2)$, $u_2(t_2)$, $u_3(t_2)$ va hokazo tezliklar maydoniga ega bo'lamicha.

Umuman, xulosa qilib aytishimiz mumkinki, oqim ma'lum vaqt oralig'ida muhitning qo'zg'almas nuqtalaridagi zarrachalarining tezlik maydonlari bilan ifodalanadi. t_1 va t_2 vaqt oralig'lariga mos keluvchi tezlik maydonlarini o'zaro taqqoslash bilan aytish mumkinki, oqim vaqt o'tishi bilan o'zgaradi.

Yuqorida ta'kidlanganidek, x va z koordinatalar, Eyler usuliga asosan, muhitning qo'zg'almas nuqtalari bo'lganligi sababli, dx va dz kattaliklarni ds kattalikning proektsiyalari sifatida qarash mumkin emas, balki, oddiy erkin vaziyatlar sifatida qabul qilinishi mumkin. Shu sababli (1.84) ifodani bunday vaziyatda qo'llab bo'lmaydi.



1.62-rasm. Lagranj usulining tasviri
 M_1, M_2, M_3 – suyuqlik zarrachalari.

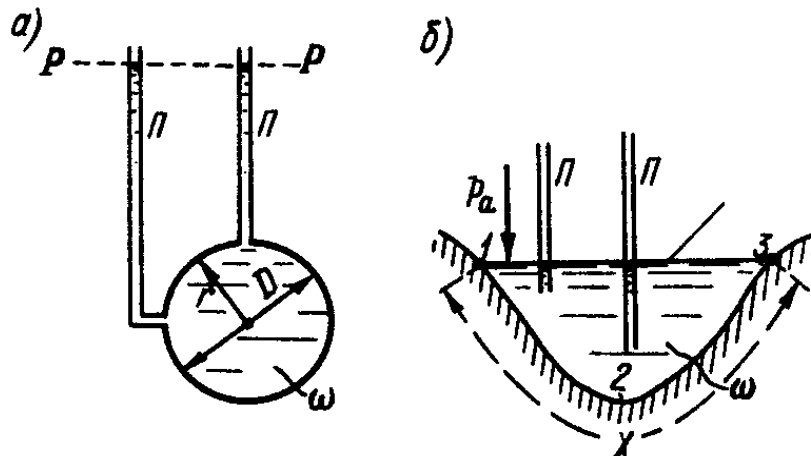
1.63-rasm. Eyler usulining tasviri 1, 2, 3, ... – muhitning qo'zg'almas nuqtalari.

Suyuqlik harakatini tadbiq qilishning gidravlikada qo'llaniladigan usuli. Lagranj usuli o'ziga xos murrakkabligi sababli amaliyotda keng qo'llanilmaydi. Bundan keyin asosan, Eyler usulidan foydalaniladi. Bunda, suyuqlik zarrachasi harakatini qaralayotgan nuqtadan o'tgunga qadar bo'lган dt vaqt davomida kuzatamiz. Masalani bunday qo'yilishida muhitning har qanday nuqtasida joylashgan zarracha dt vaqt davomida tashkil etuvchilari dx va dz bo'lган ds masofani bosib o'tadi, deb qabul

qilish mumkin. Shu sababli, ϑ_x va ϑ_z tezlik tashkil etuvchilarini aniqlashda boshqa ifodalardan foydalanish mumkin.

Shunday qilib bosimli harakat deganda, suyuqlik o'z harakati davomida har tomonidan qattiq devorlar bilan chegaralanishi tushunilanadi (1.65, a-rasm).

Agar, suyuqlik harakatida bir tomonidan atmosfera bilan tutashgan bo'lsa, bunday harakat **bosimsiz harakat** deyiladi (1.65, b-rasm).



1.65-rasm. Bosimli (a) va bosimsiz (b) harakatlar.
 χ - xo'llanganlik perimetri

Oqim harakatdagi kesimining gidravlik elementlari. Harakatdagi kesimning asosan uchta asosiy gidravlik elementi mavjud.

1. ω - harakatdagi kesim yuzasi;
2. χ - ho'llanganlik perimetri (1.65, b-rasm);
3. Gidravlik radius – harakatdagi kesim yuzasining ho'llanganlik perimetri kattaligiga nisbati bilan aniqlanadi.

$$R = \frac{\omega}{\chi} \quad (1.85)$$

Bu kattalikning fizik ma'nosi – harakatdagi kesim shaklining suyuqlik harakatiga ta'sirini aniqlashga ko'maklashishidir.

Agar kesim aylana shaklida bo'lsa.

$$R = \frac{\pi D^2}{4\pi D} = \frac{D}{4} = \frac{r}{2} \quad (1.86)$$

bunda, D – aylana bosimli quvur diametri.

Suyuqlik harakati turlarining tasnifi.

1- tasnif:

a) potentsial harakat, ya'ni oniy kichik masofada suyuqlikni tashkil etuvchi zarrachalar to'g'ri aylanmasdan harakatlanadi;

b) aylanma harakat.

2 - tasnif:

- a) barqaror harakat, ya'ni statsionar (turg'un) harakat;
- b) beqaror harakat ya'ni nostatsionar (noturg'un) harakat.

3 - tasnif:

- a) tekis harakat;
- b) noteckis harakat.

Bu harakat ham o'z navbatida quyidagicha tasniflanadi:

- a) sekin o'zgaruvchan harakat (harakatdagi kesim tekis deb qabul qilinadi);
- b) tez o'zgaruvchan harakat (harakatdagi kesim egri deb qabul qilinadi).

4 - tasnif:

- a) bosimli harakat (1.65, a-rasm);
- b) bosimsiz harakat (1.65, b-rasm).

5 - tasnif:

- a) laminar harakat;
- b) turbulent harakat.

6 - tasnif:

- a) tinch harakat;
- b) notinch harakat.

1.10. SUYUQLIKLARNING HARAKAT REJIMI. REYNOL'DS TAJRIBASI

Tabiatda ikki xil tartibli suyuqlik harakati mavjud. Laminar va turbulent harakat.

Laminar harakat vaqtida suyuqlik zarrachalari bir-biriga nisbatan qavat-qavat bo'lib joylashadi va suyuqlik harakati davrida ular bir qavatdan ikkinchi qavatga o'tmaydi.

Boshqacha qilib aytganda, suyuqlik zarrachalari oqimlar harakatiga ko'ndalang yo'nalishda harakatlanmaydi.

Amaliyotda laminar harakatni kuzatish uchun suyuqlik oqayotgan shisha trubaning boshlang'ich kesimiga shisha naycha orqali rangli suyuqlik yuborilsa, u holda suyuqlikda rang aralashmasdan to'g'ri chiziq bo'lib oqim ko'rinishida harakatlanadi (1.66- rasm).

Endi suyuqlikning tezligini oshirib borsak, harakat tartibi o'zgarishini kuzatash mumkin.

Oqim tezligi oshib ketishi natijasida zarrachalar bir qavatdan ikkinchi qavatga tez o'ta boshlaydi. Natijada suyuqlik harakatining tartibi tez o'zgaradi. Bunday harakat **turbulent harakat** deyiladi. Suyuqlik harakatining bu ikki tartibini ingliz olimi Osborn Reynol'ds tajribasida har tomonlama tekshirgan va natijalarini 1883 yilda e'lon qilgan. Suyuqlik harakatini tezlikning oqim o'lchamiga ko'paytmasining kinematik qovushqoqlik koeffitsientiga nisbatidan iborat o'lchovsiz miqdor harakterlaydi.

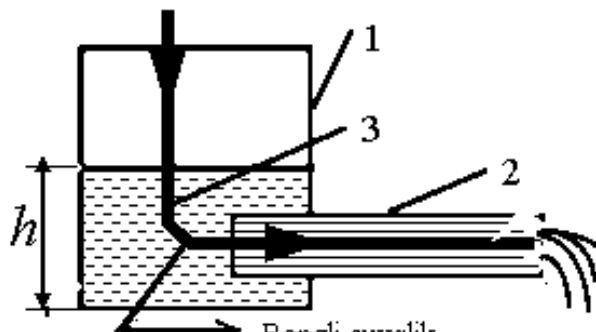
$$Re = \frac{\rho d}{\nu} \quad (1.87)$$

Suyuqlik harakatining laminar harakatdan turbulent harakatga o'tishi Reynol'ds soni Re ning ma'lum kritik miqdori bilan aniqlanadi va u Reynol'ds kritik soni deb atalib, Re_{kr} bilan belgilanadi. Bu son tsilindrik trubalar uchun $Re = 2320$ ga teng bo'ladi.

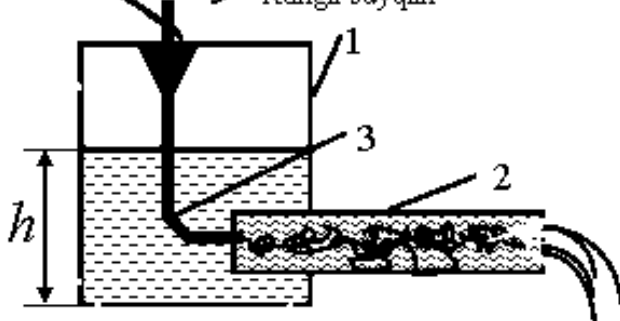
Suyuqlik harakatining tartiblari

Reynol'ds tajribasi 1883 y.

Zarralar yo'li to'g'ri chiziq va bir biriga parallel harakat qiladi



$$W_{o'r} = 0,5 W_{max}$$



Zarralar ixtiyoriy ravishda suyuqlikda harakat qiladi

“Turbulentus” - aylanma harakat degani

1.66-rasm. Suyuqlikning ikki harakat tartibi

Bu miqdor Reynol'ds soni deb ataladi va quyidagicha ifodalaniladi:

Turli shakldagi notsilindrik trubalar va o'zanlardagi oqimlar uchun Reynol'ds soni quyidagicha hisoblanadi:

$$Re = \frac{\vartheta \cdot d_{\text{окн}}}{\nu} = \frac{4\vartheta R}{\nu} \quad (1.88)$$

Bu erda, ϑ - o'rtacha tezlik; d - quvur diametri; R – gidravlik radius; ν - kinematik qovushqoqlikning koeffitsienti (6.1-jadval)

$$\nu = \frac{\omega}{\chi}. \quad (1.89)$$

Bu erda: ω - oqim ko'ndalang kesim yuzasi;

χ - oqim ho'llanganlik perimetri.

Agar $Re \prec Re_{kr} = 2320$ quvurdagi harakat rejimi - laminar.

Agar $Re \succ Re_{kr} = 2320$ quvurdagi harakat rejimi - turbulent.

1.11 - jadval
Kinematik qovushqoqlik koeffitsienti

t $^{\circ}\text{C}$	$\nu, \text{sm}^2/\text{s}$	t $^{\circ}\text{C}$	$\nu, \text{sm}^2/\text{s}$	t $^{\circ}\text{C}$	$\nu, \text{sm}^2/\text{s}$
0	0,0178	11	0,0127	24	0,009
1	0,0173	12	0,0124	26	0,0088
2	0,0167	13	0,0121	28	0,0084
3	0,0162	14	0,0117	30	0,0080
4	0,0156	15	0,0114	35	0,0073
5	0,0147	16	0,0112	40	0,0066
6	0,0142	17	0,0109	45	0,0060
7	0,0139	18	0,0106	50	0,0056
8	0,0135	19	0,0104	55	0,0052
9	0,0131	20	0,0101	60	0,0048
10	0,0127	22	0,00989		

Quyidagi 1.11-jadvalda turli xil temperaturalarda suv uchun kinematik qovushqoqlikning koeffitsientlari keltirilgan.

1.10.1. SUYUQLIKNING LAMINAR HARAKATI. TEZLIKNING TSILINDRIK TRUBA KESIMI BO'YICHA TAQSIMLANISHI

Quvurlarda real suyuqliklar laminar harakat qilganda, uning oqimchalari bir-biriga parallel harakat qiladi. Quvur devorlari yopishib qolgan suyuqlik zarrachalari bilan qoplanadi. Quvur devorlarida yopishib qolgan suyuqlik zarrachalarining tezligi nolga teng bo'ladi.

Quvur devori sirtidagi qavatning tezligi 0 ga teng bo'lib, quvur o'qiga yaqinlashgan sari tezlik oshib boradi. Quvur o'qida, ya'ni markazida tezlik maksimal qiymatga ega bo'ladi. Quvur ichidagi ishqalanish kuchi Nyuton qonuni bilan quyidagicha ifodalanadi

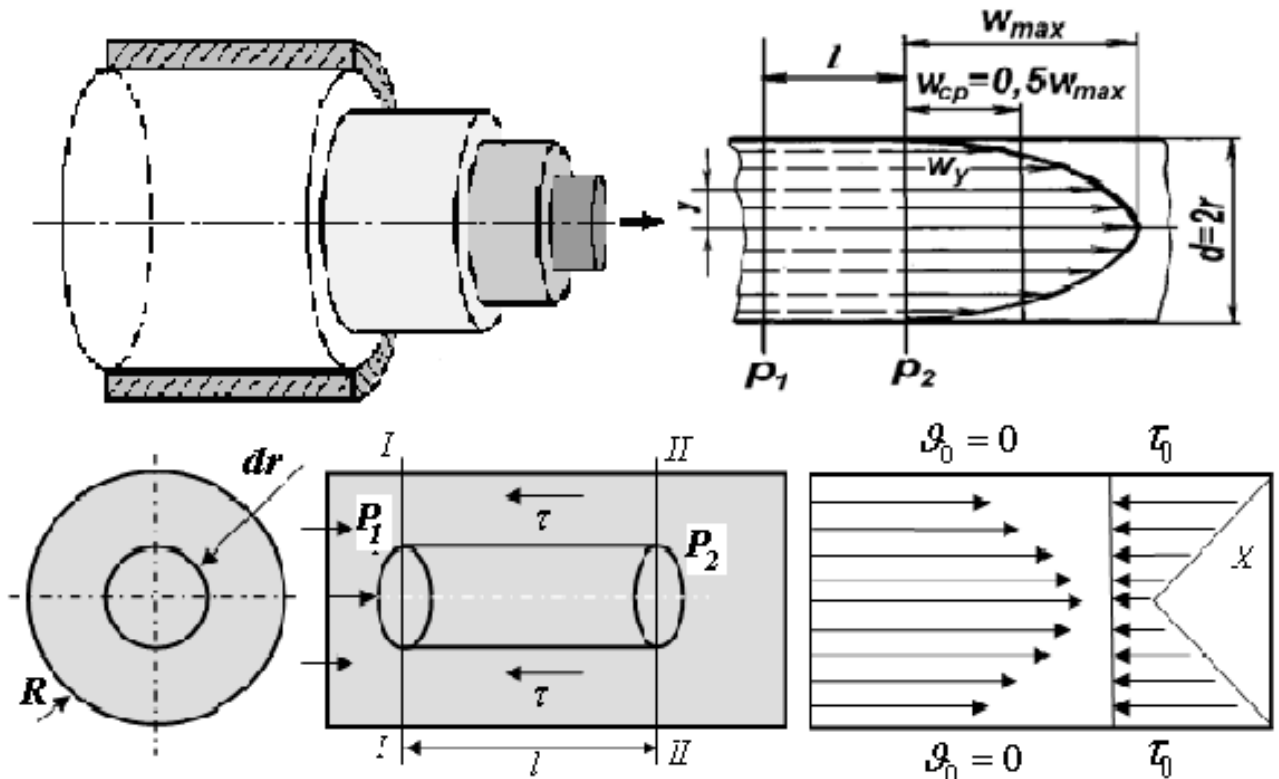
$$\tau = -\mu \frac{d\vartheta}{dr} \quad (1.90)$$

Laminar harakat tartibida tezlikning truba kesimi bo'yicha taqsimlanishini kuzatamiz. Buning uchun quvur ichida uzunligi L va radiuci R bo'lgan elementar naycha ajratib olib o'rGANAMIZ (1.67-rasm).

1-1 - kesim uchun R_1 ; 2-2 - kesim uchun R_2 .

Ishqalanish kuchi $T = \tau 2\pi rl = -\mu 2\pi rl \frac{d\vartheta}{dr}$ dan (1.90) iborat

$$\vartheta = -\frac{P_1 - P_2}{4\mu l} (r^2 - R^2) \quad (1.91)$$



1.67-rasm. Laminar harakatda tezlikning taqsimlanishi

Xulosa qilib aytish mumkinki, ya’ni tsilindrik quvurda laminar harakat tezligi ko’ndalang kesimda parabola qonuni bo’yicha taqsimlangan bo’lar ekan.

1.10.2. QUVUR UZUNLIGI BO’YICHA BOSIMNING PASAYISHI (PUAZEYL FORMULASI)

Quvurlarda oqayotgan suyuqlik energiyasining ishqalanishini engishiga sarflanishini tekshiraylik. Avval quvurning kesimi bo’yicha ishqalanish kuchining taqsimlanishini ko’ramiz. Buning uchun Nyyuton qonuni formulasiga tezlik formulasini qo’yamiz. U vaqtida

$$\tau = -\mu \frac{d\vartheta}{dr} = \frac{P_1 - P_2}{2l} r \quad (1.92)$$

Gidravlik yo’qotish formulasiga uchun, quyidagi munosabatni olamiz

$$h_l = \frac{32 \mu l}{D^2} \vartheta \quad (1.93)$$

Laminar harakat tartibi uchun gidravlik yo’qotish koeffitsienti quyidagi ko’rinishga ega.

$$\lambda = \frac{64}{Re} \quad (1.94)$$

Bu erda: - ishqalanish qarshiligi koeffitsienti deb yuritiladi

Energiyaning yo'qolishi va gidravlik nishablik uchun quyidagi Darsi-Veysbak formulasidan foydalanamiz

$$h_l = \lambda \frac{l}{d} \frac{g^2}{2g} ; \quad J = \lambda \frac{1}{d} \frac{g^2}{2g}. \quad (1.95)$$

Demak, laminar harakat vaqtida quvurning uzunligi bo'yicha naporni (bosimni) pasayishi va gidravlik nishablik solishtirma kinetik energiyaga bog'liq ekan.

1.10.3. SUYUQLIKLARNING TURBULENT HARAKATI

Quvurlarda suyuqlikning har bir zarrasi juda murakkab egri chiziqli traektoriya bo'yicha harakat qiladi. Turbulent harakat tabiatda va texnikada keng tarqalgan gidravlik hodisalar ichida eng murakkabлari qatoriga kiradi. Harakatning bu tartibi ko'п tekshirishlarga qaramay umumlashgan nazariyasi haligacha yaratilmagan. Shu sababli hisoblashlarda tajriba natijalari va emperik formulalar yordamida ish yuritiladi.

Turbulent harakatning har bir zarrachasi juda ham murakkab egri chiziqli traektoriya bo'yicha harakat qiladi va har qanday ikki zarrachaning traektoriyalari bir-biriga o'xshamaydi.

Turbulent harakat vaqtida A nuqtadan chiqqan birinchi zarracha murakkab egri-bugri chiziq bo'yicha B nuqtaga keladi. Ikkinci zarracha esa birinchi zarrachaning traektoriyasidan tamomila boshqacha bo'lган ikkinchi egri-bugri chiziq bo'yicha keladi. Uchunchi zarracha esa birinchi va ikkinchi zarrachalarning traektoriyalariga o'xshamagan uchinchi egri-bugri chiziq bo'yicha keladi. Bu hodisa A nuqtadan o'tayotgan barcha zarrachalarga tegishlidir. Shunday qilib, turbulent harakat qilayotgan suyuqlik zarrachalarining harakatini biror formula bilan ifodalash g'oyatda murakkabdir. Lekin hamma zarrachalar bir tomonga, A nuqtadan B nuqta tomonga harakat qiladi.

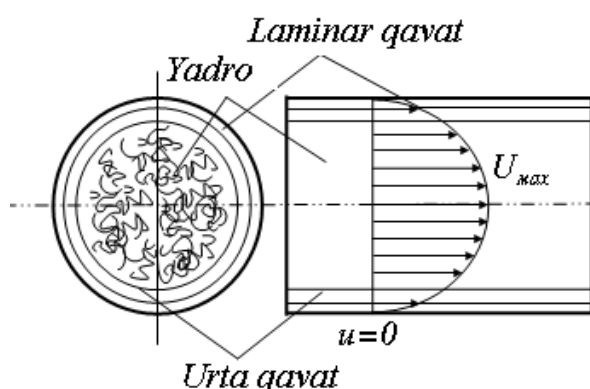
TURBULENT HARAKATDA KESIM BO'YICHА

TEZLIKNING TAQSIMLANISHI

Turbulent harakat vaqtida oqimning asosiy qismi uning yadroси, ya'ni markaziy qismini tashkil qiladi. Yadroda suyuqlik turbulent harakat qilib, uning tezliklari yadro kesimi bo'yicha deyarli bir xil bo'ladi va markazdan truba devoriga yaqinlashgan sari biroz kamayib boradi. Devor yonidagi zarrachalar laminar harakat qiladi. Laminar harakat qilayotgan zarrachalar yupqa qavat ichida bo'lib, uni laminar qavat deb ataladi. Laminar qavat bilan yadro o'rtasida yana bir yupqa qavat bo'lib, uni o'rta qavat deb aytildi.

Quvur ichidagi suyuqlikning harakatiga qarab 3 - bo'lakka bo'linadi.

Eng sekin qatlam: $\delta_{\text{н.у.з.}}$ laminar chegara, ya'ni chegara qatlam deyiladi. Laminar harakatda $-v = 0_{\text{з.з.}}$ teng ekanligi yuqorida ko'rib o'tilgan. Tezlik qiymati osha borgan sari laminar chegara qatlam ham harakatga kela boshlaydi



1.68-rasm. Oqimcha tezliklarni taqsimlanishi

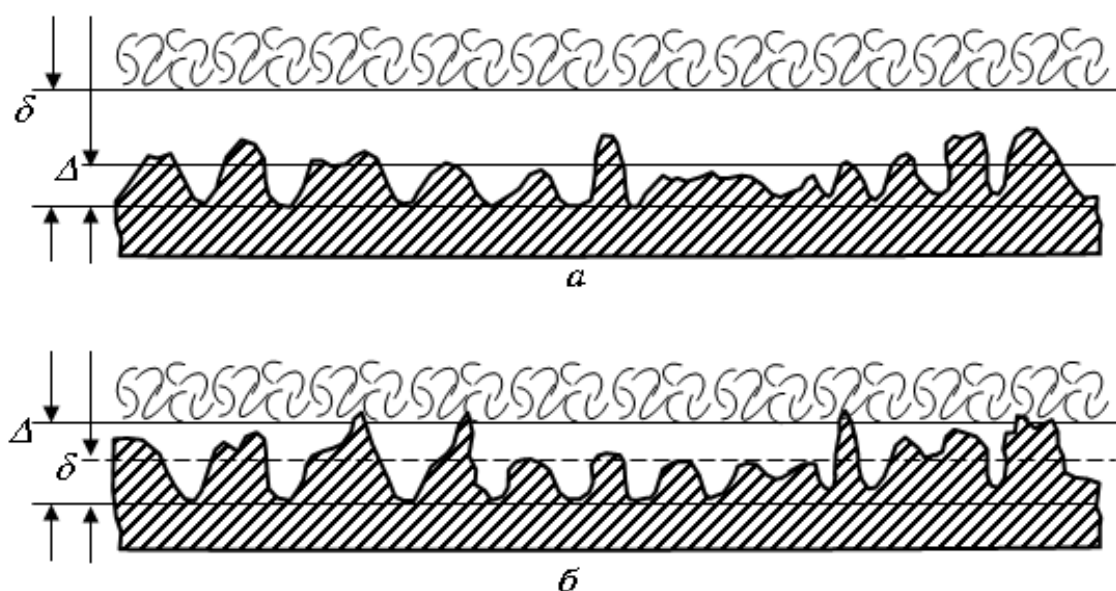
1.68-rasm. O’z navbatida uning qalnligi δ - ham kamayib boradi. o’tkinchi qatlam - laminar qatlamdan turbulent harakatga o’tishdagi o’tkinchi qatlam hisoblanadi.

Yadro – ya’ni suyuqlikning barcha qatlamlarida harakat bir tekis desa ham bo’ladi. Eng katta tezlik esa – yadroda bo’ladi. O’rtacha tezlik maksimal qatlamning 0,75 foizini tashkil etadi, ya’ni $v = 0,75 \cdot U_{i \text{ do}} \delta$

Nihoyatda katta tezlikda suyuqlik oqayotganda koeffitsient 1 ga yaqinlashadi, ya’ni $v = 1 \cdot U_{max}$ urbulent harakati davomida ishqalanish tufayli energiya yo’qolishi tezlikning ko’payadi. Keltirilgan $h_{\omega(1-2)}$ - ni hisoblash, quvurlar va quvurlar sistemasini hisoblashda asosiy masalalardan biri hisoblanadi. Quvurlarda bosimning kamayishi ishqalanish qarshiligi va mahalliy qarshiliklarga bog’liq.

Ishqalanish qarshiligi - real suyuqliklarning ichki qarshiligidagi bog’liq bo’lib, quvurlarning uzunligi va tezlik ortgan sari uning qiymati ham oshib boradi.

Mahalliy qarshiliklar - quvurlar shakli va formasi o’zgargan hollarda ham energiya yo’qolishi sodir bo’ladi. Energiyaning yo’qolishi ko’proq shakl o’zgargan sari uning qiymati oshib boradi va quvurning uzunligiga bog’liq energiya yo’qolishi ham inobatga olinadi. Quvurlar, kanallar va novlarning devorlari ma’lum darajada g’adir-budurlikka ega bo’ladi. Bu g’adir-budurlik kanday materiallardan tayyorlanganligi va qay darajada silliqlanganligi qiymatlariga qarab suyuqlik harakati qarshilikka uchraydi. G’adir-budurlik qiymatini (1.69-rasmida) Δ bilan belgilanadi, bu absolyut g’adir-budir bo’ladi.



1.69-rasm. Quvurlar uchun nisbiy va absolyut g’adir-budurlikni tushitirishga doyir chizma

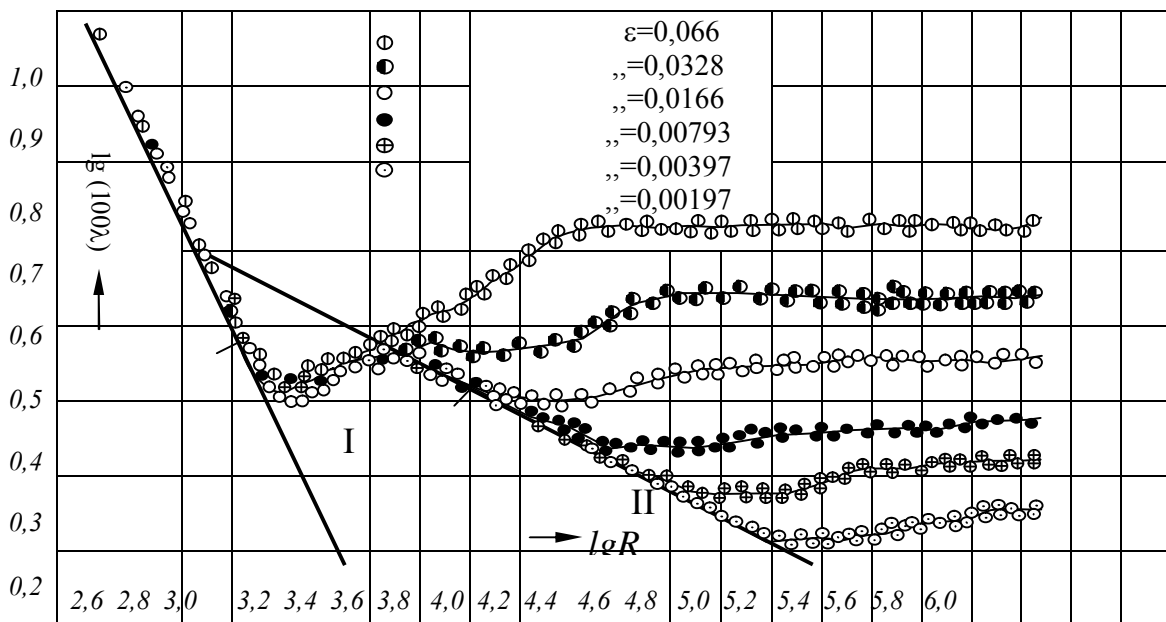
Agar laminar chegara qatlam - δ laminar chegara qalinligi, Δ - g'adir-budirlikdan katta bo'lsa, u holda bunday quvurlar gidravlik silliq quvur deyiladi. Agar laminar qatlam chegara qatlam - δ laminar chegara qalinligi Δ dan kichik bo'lsa, u holda quvur g'adir-budir deyiladi.

1.12 - jadval

Quvurlar uchun absolyut g'adir-budirlik qiymatlari

Quvurlar	Δ , mm
Yangi metall va sopol quvurlar	0,01 ÷ 0,15
Yaxshi holatda ishlab turgan suv o'tkazgich quvurlar va juda yaxshi holatdagi beton quvurlar	0,2 ÷ 0,3
Ozroq ifloslangan vodoprovod quvurlari yoki yaxshi holatdagi beton quvurlar	0,3 ÷ 0,5
Ifloslangan va kam zanglagan suv quvurlari	0,05 ÷ 2,0
Yangi cho'yan quvurlar	0,3 ÷ 0,5
Eski cho'yan quvurlar	1,0 ÷ 3,0

Ishqalanish koeffitsienti λ ning laminar va turbulent harakatdagi o'zgarishlarini (1.70-rasmda) Nikuradze grafigi orqali ko'rish mumkin.



1.70-rasm. Nikuradze tajribasi va grafigi

Bu grafikni taxminan 3 zonaga bo'lish mumkin.

I. Re soni < 2320 , ya'ni laminar harakatda λ - Re ga bog'liqligi to'g'ri chiziqli bo'ladi. Yo'qolgan energiya – N, g'adir-budirlikka bog'liq emas.

λ ni bu oraliqda Puazeyl formulasidan topish mumkin

$$\lambda = \frac{64}{Re} = \frac{64 \cdot \nu}{g \cdot d}; \quad (1.96)$$

II. Bu zonani o'tkinchi zona deb yuritiladi. $Re \approx 2320 \div 10000$ gacha bo'lgan qiymatlarda turbulent harakat hisoblanadi. $\delta_{\text{...u.k.}} > \Delta e$ bo'lgan holatda esa quvur gidravlik silliq deyiladi.

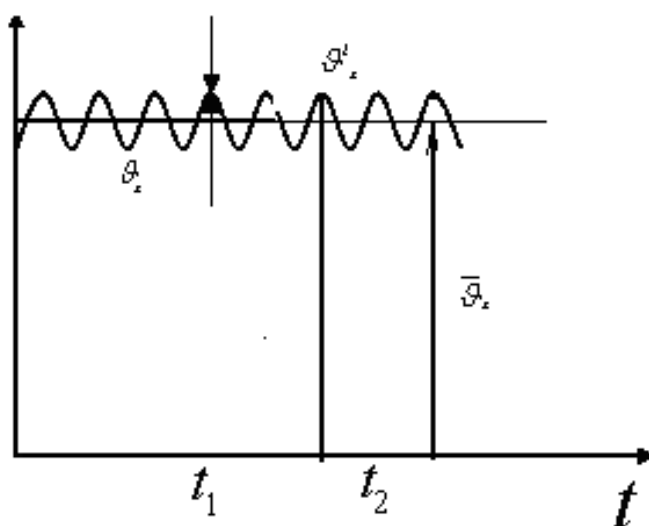
III. Zonada harakat tezligi juda kata bo'lgani uchun laminar chegara qatlam $\delta_{\text{l.ch.q}}$ - juda kichik, ba'zan 0 ga teng bo'lgani uchun truba g'adir-budir bo'ladi. Harakat tartibi turbulent $Re \approx 1000 \div 100 000$ gacha o'zgaradi. Bu erda ishqalanish faqat g'adir-budirlikka bog'liq bo'ladi.

II-zona uchun gidravlik ishqalanish koeffitsienti $\lambda = \frac{0,3164}{Re^{0,25}}$ ga teng bo'ladi va ushbu formula Blazius formulasi deb yuritiladi.

III-zona uchun formulalar $\lambda = 0,11 \left(\frac{82}{d} + \frac{68}{Re^{0,25}} \right)^{0,25}$ Altshul va juda katta tezliklarda $\lambda = 0,11 \left(\frac{82}{d} \right)^{0,25}$ - Kanovalov formulasi orqali ushbu koeffitsient hisoblab topiladi. Altshul formulasi $\lambda = 0,11 \left(\frac{82}{d} + \frac{68}{Re} \right)^{0,25}$ - ni universal formula deb olingan, ya'ni bu formulani barcha zonalarga, barcha g'adir-budirliklarga va suyuqlikning barcha tezliklarida qo'llash mumkin bo'ladi.

1.10.4. TEZLIK VA BOSIM PUL'SATSIYALARI

Turbulent harakat qilayotgan suyuqlik biror nuqtadagi teziligining koordinata o'qlaridagi proektsiyalarini tekshiramiz. Tezlikning oqim yo'nalishidagi proektsiyasini ϑ_x deb olaylik. U holda $\bar{\vartheta}_x$ ning miqdori vaqt davomida ortib va kamayib boradi. Bu o'zgarishni grafik yordamida ifodallasak, 1.71- rasmida tasvirlangan grafikka o'xshaydi va tezlik ϑ_x^t proektsiyasining pulsatsiyasi deb ataladi.



1.71-rasm. O'rtacha tezlikning $\bar{\vartheta}_x$ - tenglashtirilgan tezlik farqi

Tezlikning oniy miqdori doimo o'zgarib turgani uchun gidrodinamikada tenglashtirilgan tezlik tushunchasi kiritiladi va u ancha uzoq vaqt davomida tezlik qabul qilgan qiymatlarning o'rtachasi bo'ladi.

1.71.-rasmdan ko'rini turibdiki, tenglashtirilgan o'rtacha tezlik oniy tezlikdan farq qiladi, bu farqni quyidagi ifoda bilan yozamiz

$$\vartheta_x = \bar{\vartheta}_x + \vartheta^i_x \quad (1.97)$$

Oniy va tenglashtirilgan tezlik orasidagi farqlar manfiy yoki musbat bo'lishi mumkin va tezlik pul'satsiyasi deb yuritiladi.

Tezlik miqdori o'zgarib turgani sababli, bosim ham o'zgarib turadi yoki boshqacha qilib aytganda bosim ham pulsatsiyaga ega bo'ladi.

1.10. 5. IDEAL SUYUQLIK ELEMENTAR OQIMCHASIGA BERNULLI TENGLAMASI

Leonid Eyler tomonidan kiritilgan formulani D.Bernulli amaliyotga qo'llaydigan qilib tenglama yaratdi.

$$\left. \begin{array}{l} \rho X + \frac{\ddot{a}\delta}{\ddot{a}\delta} + \frac{\ddot{a}\dot{e}_x}{\ddot{a}t} = 0 \\ \rho Y + \frac{dp}{dy} + \frac{d\vartheta_y}{dt} = 0 \\ \rho Z + \frac{dp}{dz} + \frac{d\vartheta_z}{dt} = 0 \end{array} \right\}; \text{Eyler tenglamasi} \quad (1.98)$$

bu erda, $\rho X, \rho Y, \rho Z, x, y, z$, o'qlariga tushirilgan og'irlilikning proektsiyalari

$\frac{\partial p}{\partial x}, \frac{\partial p}{\partial y}, \frac{\partial p}{\partial z} - x, y, z$, o'qlariga bosim proektsiyalari $\frac{\ddot{a}\vartheta_\delta}{\ddot{a}t}, \frac{\ddot{a}\vartheta_\delta}{\ddot{a}t}, \frac{\ddot{a}\vartheta_z}{\ddot{a}t} - x, y, z$,

o'qlariga tushirilgan inertsiya kuchlari proektsiyalari.

Ushbu qiymatlarni umumlashtirib $Z + \frac{P}{\gamma} + \frac{\vartheta^2}{2g} = 0$ const deb xulosaga

kelindi. Bu hosil bo'lgan tenglama Bernulli tenglamasidir. Bu erda $Z-z$ o'qi bo'yicha trubalarining erdan qancha balandlikda joylashganligini ko'rsatuvchi geometrik balandlik - [m], $\frac{P}{\gamma}$ - idish devoriga ulangan p'ezometrlardagi suyuqlikning balandligi

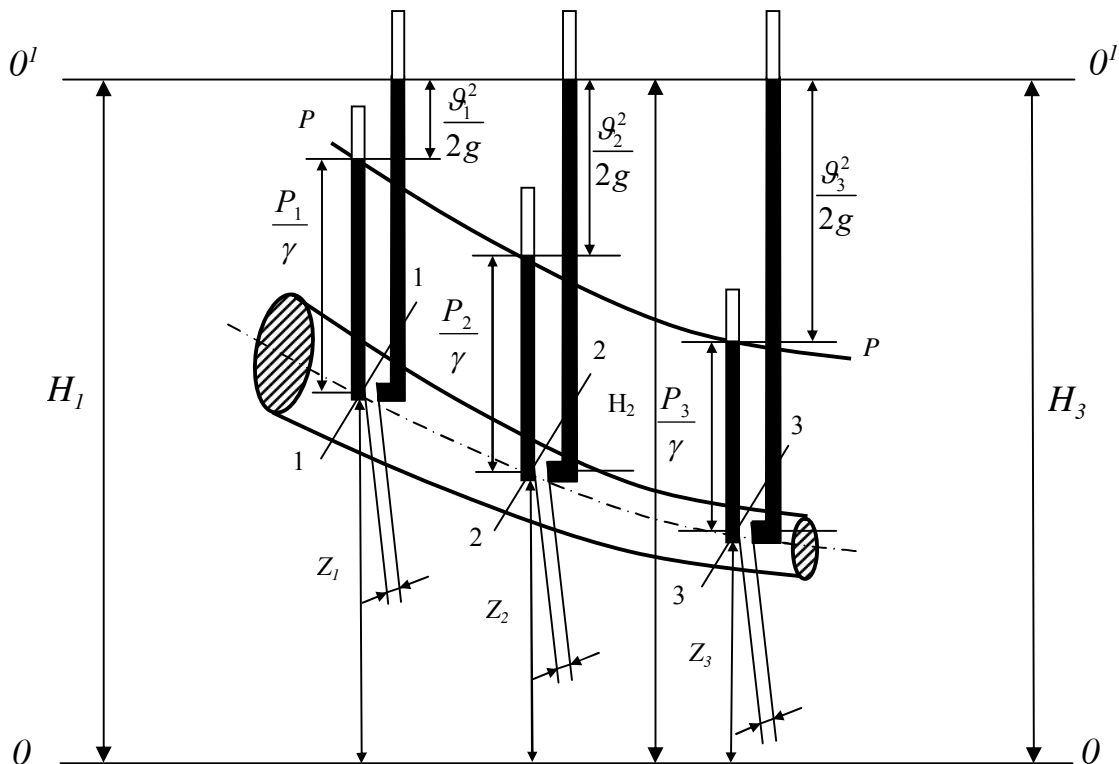
[m], $\frac{g^2}{2g}$ - qaralayotgan nuqtadagi suyuqlik tezligini harakterlovchi tezlik naporı balandlığı [m].

Bu qiymatlarning yig'indisi trubaning uzunligi bo'yicha har bir nuqtada bir xil bo'ladi. Trubaning bir necha nuqtasi uchun ushbu tenglamani yozadigan bo'lsak, quyidagicha bo'ladi, ya'ni

$$Z_1 + \frac{P_1}{\gamma} + \frac{g_1^2}{2g} = Z_2 + \frac{P_2}{\gamma} + \frac{g_2^2}{2g} = Z_3 + \frac{P_3}{\gamma} + \frac{g_3^2}{2g} = \dots = Z_n + \frac{P_n}{\gamma} + \frac{g_n^2}{2g} = \text{const} \quad (1.99)$$

hosil bo'ladi. Ushbu hosil bo'lgan tenglama ideal suyuqlik elementar oqimchasi uchun Bernulli tenglamasıdır.

Bernulli tenglamasini grafikda ifodalasak, (1.72-rasm) quyidagi ko'rinishda bo'ladi.



1.72-rasm. Bernulli tenglamasini geometrik va energetik mazmunlarining grafik tasviri.

Suv kuvurlarida barqaror oqqanda quvur uzunligi bo'ylab istalgan nuqtalardagi balandliklar yig'indisi (Z -geometrik balandlik, $\frac{P}{\rho g}$ -p'ezometrik balandlik va $-\frac{g^2}{2g}$ -tezlik naporı balanliklari) bir-biriga tengdir. Bu balandliklar qanday joylashgan?

Shaklda 0-0 tekislik-taqqoslash tekisligi bo'lib, u trubaning erdan qanday balandlikda yotishini ko'rsatish uchun chiziladi.

Z - balandligi taqqoslash tekisligi 0-0 - dan p'ezometr ulangan nuqtalargacha bo'lgan balandlik, [m].

$\frac{P}{\gamma}$ - p'ezometrlar ichidagi suyuqlik balandligi, [m].

$\frac{g^2}{2g}$ - tezlik napori balandligi, [m].

$\frac{P}{\gamma}$ - p'ezometrlardagi suyuqliklarning ko'rsatkichlarini bir-biri bilan ulasak, $R-R$

chizig'i paydo bo'ladi. Hosil bo'lgan chiziqni p'ezometr chizig'i deb ataladi.

Barcha balandliklarni bir-biriga ulasak, u holda $N-N$ - napor chizig'i paydo bo'ladi. Agar ideal suyuqlik bo'lsa, u holda $N-N$ - barcha p'ezometrlar uchun teng va shuning uchun u gorizontal yoki taqqoslash tekisligiga parallel bo'ladi.

Agar real suyuqlik uchun Bernulli tenglamasini yozsak, $N-N$ - napor chizig'i suyuqlik tezligiga qarab, uning nishabi sari orta boradi. Agar quvur diametri

$d=const$ bo'lsa, $\frac{g_1^2}{2g} = \frac{g_2^2}{2g} = \frac{g_3^2}{2g}$ va hokazo bo'ladi.

Agar quvur gorizontal joylashgan bo'lsa, $Z_1 = Z_2 = Z_3$, quvur qiya joylashgan bo'lsa, $Z_1 \neq Z_2 \neq Z_3$; bo'ladi.

Bernulli tenglamasining energetik mazmuni; suv quvurlarda barqaror harakatda bo'lsa, quvur uzunligi bo'ylab barcha nuqtalardagi energiyalar yig'indisi (Z - solishtirma holat yoki potentsial energiyasi, $\frac{P}{\gamma}$ - solishtirma bosim potentsial energiyasi,

$\frac{g^2}{2g}$ - solishtirma kinetik energiya) bir biriga teng bo'ladi.

$$Z_1 + \frac{P_1}{\gamma} + \frac{g_1^2}{2g} = Z_2 + \frac{P_2}{\gamma} + \frac{g_2^2}{2g} = \dots = Z_n + \frac{P_n}{\gamma} + \frac{g_n^2}{2g} = const ; \quad (1.100)$$

Suyuqlik harakati davomida solishtirma kinetik va solishtirma potentsial energiyalar harakat davomida o'zgarib boradi, lekin to'liq solishtirma energiya o'zgarmas bo'ladi. $Z + \frac{P}{\gamma} + \frac{g^2}{2g} = H$ - to'liq gidrodinamik napor deyiladi. To'liq gidrodinamik bosimda $N_1=N_2=N_3$ bo'lsa, suyuqlik oqayotgan, ya'ni harakatlanayotgan bo'ladi (ideal).

Real suyuqlikda esa $n_1 > n_2 > n_3 > n_4$ - va hokazo, ya'ni energiya yo'qolishi tufayli tuliq energiya kamayib boradi.

To'liq gidrodinamik bosimning boshlang'ich nuqtasidan chizilgan chiziq real suyuqliklar uchun boshlang'ich energiya chizig'i deb atalib, $n^l - n^l$ bilan belgilanadi.

1.10.6. REAL SUYUQLIK ELEMENTAR OQIMCHASI UCHUN BERNULLI TENGLAMASI

Tabiatda ideal suyuqliklar uchramaydi, balki faqat real suyuqliklar mavjud. Real suyuqliklar yopishqoqlik xossasiga ega. Yopishqoqlik ortgan sari u suyuqliknii siljitim, yani suyuqlik harakati qiyin bo'ladi. Suyuqliknii siljitim uchun nasos orqali yuqori naporda suyuqliknii oqizish kerak yoki naporli baklarning balandligi evaziga naporni ko'paytirish mumkin.

Napor yo'qola borgani uchun $n_1 > n_2 > n_3 >$ ni va hokazo bo'ladi. Bu naporlar orasidagi farq yo'qolgan energiyani yoki yo'qolgan naporni bildiradi.

$$n_1 - n_2 = h\omega \quad (1-2)$$

$$n_2 - n_3 = h\omega \quad (2-3)$$

$$n_1 - n_6 = h\omega \quad (1-6)$$

$$n_3 - n_8 = h\omega \quad (3-8) \text{ va hokazo bo'ladi.}$$

$$Z_1 + \frac{P_1}{\gamma} + \frac{g_1^2}{2g} = Z_2 + \frac{P_2}{\gamma} + \frac{g_2^2}{2g} - h\omega(1-2); \quad (1.101)$$

$$h\omega(1-2) = \left(Z_1 + \frac{P_1}{\gamma} + \frac{g_1^2}{2g} \right) - \left(Z_2 + \frac{P_2}{\gamma} + \frac{g_2^2}{2g} \right) \quad (1.102)$$

Bernulli tenglamasining geometrik va energetik ma'nolariga yo'qolgan napor yoki yo'qolgan energiya so'zlarini kiritamiz.

Bernulli tenglamasining **geometrik mazmuni**. Quvurlardagi suyuqlik barqaror harakat qilganida, uning uzunligi buylab har bir nuqtasidagi balandliklar yig'indisi ikkinchi nuqta uchun yo'qolgan naporni qo'shib hisoblaganda bir - biriga teng hisoblanadi.

$$Z_1 + \frac{P_1}{\gamma} + \frac{g_1^2}{2g} = Z_2 + \frac{P_2}{\gamma} + \frac{g_2^2}{2g} - h\omega(1-2); \quad (1.103)$$

Bu erda g_1 , g_2 , g_3 va hokazo tezliklar elementar tezlikka nisbatan olingan Bernulli tenglamasi real suyuqlik, uchun bo'lsa elementar oqimchasi uchun deb yoziladi.

REAL SUYUQLIK TO'LA OQIMI UCHUN BERNULLI TENGLAMASI

Elementar oqimchalardan to'liq oqimga o'tish uchun bu tenglamalar integrallanadi.

$$\int_{\omega_1} Z_1 d\omega + \int_{\omega_1} \frac{P_1}{\gamma} d\omega + \int_{\omega_1} \frac{g_1^2}{2g} d\omega = \int_{\omega_2} Z_2 d\omega + \int_{\omega_2} \frac{P_2}{\gamma} d\omega + \int_{\omega_2} \frac{g_2^2}{2g} d\omega + \int_{\omega_2} h\omega(1-2); \quad (1.104)$$

Elementar oqimchalar tezligidan to'liq oqimiga o'tishda

$$\vartheta^2 = \frac{\vartheta_1^2 + \vartheta_2^2 + \vartheta_3^2 + \vartheta_4^2 + \dots + \vartheta_n^2}{h}; \quad (1.105)$$

o'rtacha tezlikni $\vartheta = \frac{\vartheta_1 + \vartheta_2 + \vartheta_3 + \vartheta_4 + \dots + \vartheta_n}{h};$

orqali olganda bular bir-biridan oz bo'lsa ham farq qiladi.

1.13 - jadval
Bernulli tenglamasining geometrik va energetik mazmunlari

Kattaliklar	Geometrik mazmuni	Energetik mazmuni
$Z_1; Z_2$	Holat balanligi, Geometrik napor	Solishtirma holat potentsial energiyasi.
$P_1/\gamma; R_2/\gamma; R/\rho \cdot g$	P'ezometrik balandlik	Solishtirma bosim potentsial energiyasi.
$Z+P_1/\gamma; Z_2+P_2/\gamma$	P'ezometrik napor	Solishtirma potentsial energiya.
$\alpha_1 \vartheta_1^2/2g; \alpha_2 \vartheta_2^2/2g$	Tezlik naporlari balandligi, tezlik naporlari.	Solishtirma kinetik energiya.
$h\omega(1-2)$	1-2-oralikda yo'qolgan energiya	Solishtirma energiyaning yo'qolishi

Ya'ni $\vartheta = \frac{\vartheta_1 + \vartheta_2 + \vartheta_3 + \vartheta_4 + \dots + \vartheta_n}{h} = 10i / \tilde{n}$

$$\vartheta^2 = \frac{\vartheta_1^2 + \vartheta_2^2 + \vartheta_3^2 + \vartheta_4^2 + \dots + \vartheta_n^2}{h} \quad (1.106)$$

bo'lganda sal ko'proq $\alpha=102$, $\vartheta=10,2$ bu kinetik energiyalar farqini Koriolis aniqlay olgan.

$$\alpha = \frac{\int \frac{\vartheta^2}{2g} \cdot d\omega}{\frac{\vartheta^2}{2g} \cdot \omega} - \text{tezliklarni tuzatuvchi Koriolis koeffitsienti deyiladi.}$$

Demak tenglama qo'yidagicha yoziladi:

$$Z_1 + \frac{P_1}{\gamma} + \frac{\alpha_1 g^2}{2g} = Z_2 + \frac{P_2}{\gamma} + \frac{\alpha_2 g^2}{2g} + h\omega(1-2); \quad (1.107)$$

1.10.7. GIDRAVLIK VA P'EZOMETRIK QIYALIKLAR

Gidravlikada hisoblash ishlarida J -gidravlik qiyalik va J_P - p'ezometrik qiyalikdan foydalaniladi. To'liq napor chizig'i $N-N$ -ning masofa bo'yicha kamayishi (1.73-rasmda) gidravlik qiyalik deb ataladi.

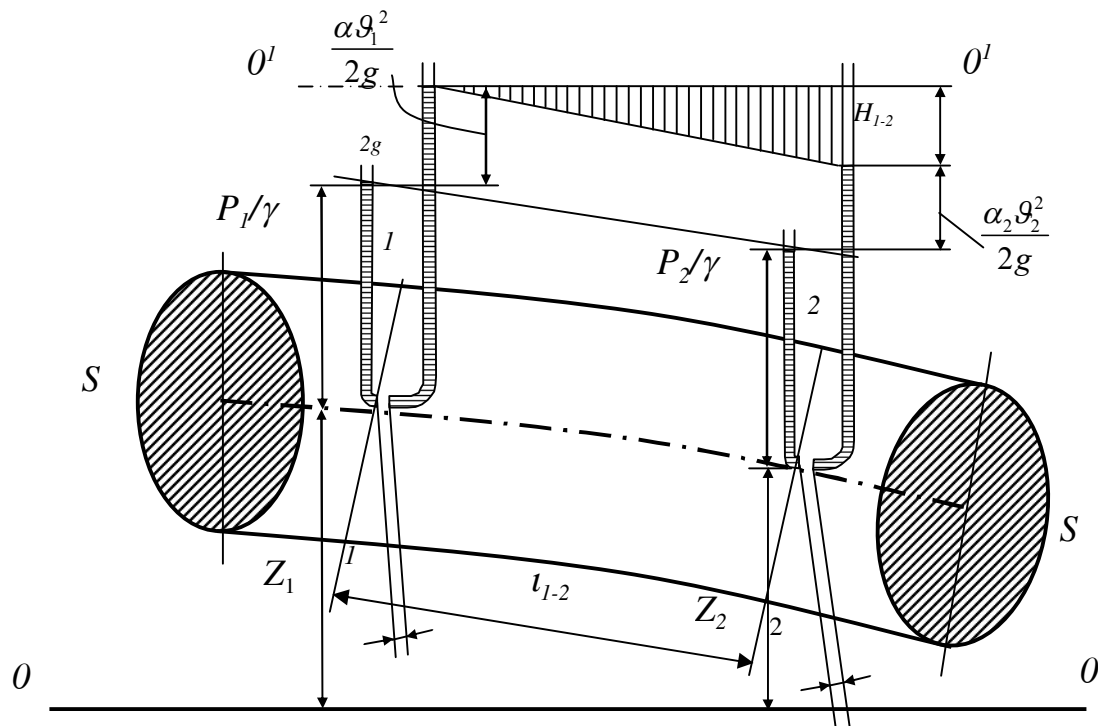
Bunda, L_{1-2} -birinchi va ikkinchi p'ezometrlar orasidagi masofa;

$h\omega(1-2)$ - energiyaning (napor) yo'qolishi.

Pe'zometrik chiziq ($R-R$) ning uzunlik bo'yicha o'zgarishi.

$$J_{P(1-2)} = \pm \frac{\left(z_1 + \frac{P_1}{\gamma}\right) - \left(z_2 + \frac{P_2}{\gamma}\right)}{L_{1-2}}; \text{ Bu formulada } \pm - \text{ degani, quvur tizimlarida pastga}$$

yoki yuqoriga ko'tarilgani bo'lishi mumkin yoki quvur kengaygan va toraygan bo'lishini anglatadi.



1.73-rasm. Gidravlik, geometrik, p'ezometrik, to'liq napor qiyalik chizig'i

Geometrik qiyaliklar esa quvurning gorizontga nisbatan joylashishiga qarab quyidagicha bo'ladi.

$$J_{G(1-2)} = \pm \frac{Z_1 - Z_2}{L_{1-2}} \quad (1.108)$$

1.10.8. GIDRAVLIK YO'QOTISH TURLARI

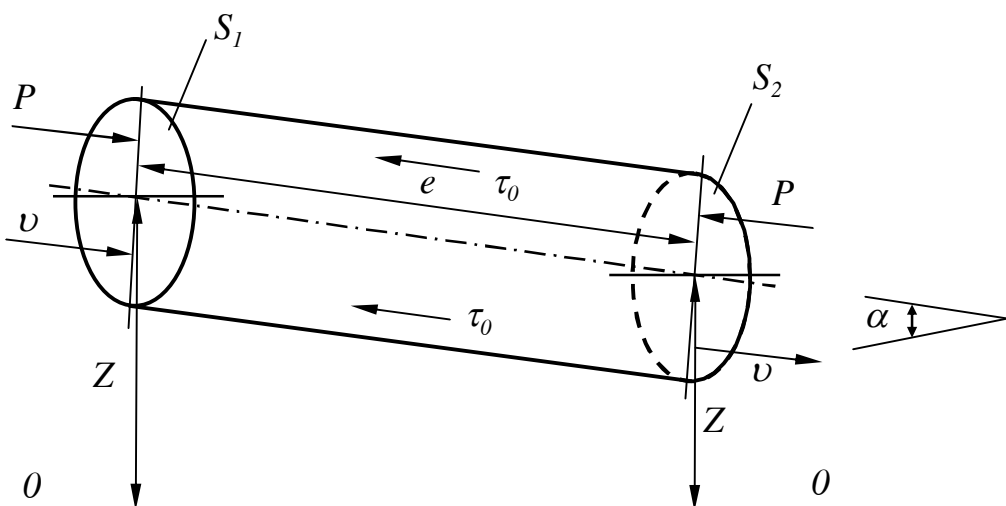
Real suyuqliklarda ikki kesim orasidagi energiya yo'qolishini $h\omega_{(1-2)}$ - deb belgilanadi. Bu yo'qotish suyuqliklardagi yopishqoqlik kuchi hisobiga sodir bo'ladi, ya'ni u shu kuchni engish uchun sarf bo'ladi.

Quvur tizimlaridagi harakatni tekshirilganda masala asosan ishqalanish kuchini engish uchun sarf bo'lgan yo'qotishni hisoblashga keladi.

Quvur ichidagi tekis harakat holatida suyuqlikka ta'sir etayotgan kuchlarining yig'indisi (1.74-rasmida) 0-ga teng ekanligini hisobga olsak, $p_1 - p_2 + G \cdot \sin \alpha - T = 0$ deb yozish mumkin.

- 1) $p_1 - p_2$ - boshlang'ich va oxirgi nuqtalar uchun bosim kuchlari;
- 2) Og'irlik kuchi $G = \gamma \omega L$;
- 3) Ishqalanish kuchi $T = \tau \pi D L$ ga teng

$$p_1 \omega - p_2 \omega + \gamma \omega L \cdot \frac{Z_1 - Z_2}{L} - \tau \pi D L = 0; \text{ bundan tekis harakat uchun}$$



1.74-rasm. Gidravlik yo'qotish tushunchasi.

Bernulli tenglamasi kelib chiqadi, ya'ni.

$$\frac{p_1}{\gamma} + Z_1 = \frac{p_2}{\gamma} + Z_2 + \frac{\tau}{\gamma} \frac{\pi D L}{\omega}; \quad (1.109)$$

tekis harakatda $v_1 = v_2$ bo'lgani uchun $h\omega_{(1-2)} = \frac{\tau}{\gamma} \frac{\pi D L}{\omega}$ - birinchi va

ikkinchi kesimlarda yo'qolgan energiyaga tengdir.

Bu formuladan xulosa qilsak, $h\omega_{(1-2)}$ - quvurning diametri, uzunligi qancha katta bo'lsa, u holda bosim yo'qolishi ham shuncha katta bo'lar ekan. Ishqalanish kuchi $T -$

yoki kuchlanish qancha ko'p bo'lsa, shuncha energiya ko'p yo'qoladi. Lekin quvurning ko'ndalang kesimi oshishi bilan energiya yo'qolishi kamayadi. Gidravlik yo'qotish 2 turga bo'linadi.

- 1) Uzunlik bo'yicha energiya yo'qolishi.
- 2) Mahalliy qarshiliklarda energiya yo'qolishi.

Uzunlik bo'yicha energiya yo'qolishi oqim uzunligi bo'yicha harakat hisobiga vujudga keladi va quvur yoki suv oqimi yo'li uzunligiga bog'liq bo'ladi va quyidagi formula orqali ifodalanadi.

$$h_l = h\omega_{(1-2)} = \frac{\tau}{\gamma} \cdot \frac{\pi D L}{\omega}; \quad (1.110)$$

Mahalliy qarshiliklarda energiya yo'qolishi oqimning ayrim joylarida notejis harakat hisobiga vujudga keladi. Notejis harakatni vujudga keltiruvchilar quvur va o'zakning kesim shakllari o'zgargan joylari (tirsak, to'siqlar, keskin kengayish, keskin torayish, kranlar va hokazo) bo'lib, bu erdag'i gidravlik yo'qotish yoki energiya yo'qolishi uzunlikka bog'liq bo'lmaydi.

Umumiy yo'qotish qiymati, ikki tur yo'qotishlar yig'indisiga teng, ya'ni $n=n_L+n_M$. Bu erda $n=h\omega_{(1-2)}$ - uzunlik bo'yicha energiya yo'qolishi, n_M =mahalliy qarshiliklarda energiya yo'qolishi.

Gidravlik yo'qotishga oid masalalar

1-masala. Nasos yordamida quvur orqali IS-30 markali moyning gidrotsilindrga uzatiladi. Agar quvur diametri $d=24$ mm, moyning harorati $t=20^{\circ}\text{S}$ bo'lib, nasosning sarfi $Q=20 \text{ m}^3/\text{s}$ bo'lsa, suyuqlikning harakat rejimini va qaysi haroratda turbulent rejimga o'tishini aniqlang.

Echimi: Suyuqlikning harakat rejimi Reynol'ds soni orqali ifodalanadi. Umumiy ko'rinishda Reynol'ds soni quyidagi ko'rinishga ega:

$$\text{Re} = \frac{\varrho \cdot R}{\nu}, \text{ Bu erda: } \varrho - \text{o'rtacha tezlik; } R - \text{gidravlik radius.}$$

Naporli harakatda Reynol'ds soni quyidagicha aniqlanadi:

$$\text{Re} = \frac{\varrho \cdot D}{\nu}, \text{ Bu erda } D - \text{quvurning diametri;}$$

Agar Reynol'ds soni qandaydir kritik Reynol'ds sonidan yuqori bo'lsa ($\text{Re} > \text{Re}_{kr}$), harakat rejimi turbulent deyiladi. Agar Reynol'ds soni kritik Reynol'ds sonidan kichik bo'lsa ($\text{Re} < \text{Re}_{kr}$), harakat rejimi laminar deyiladi.

Aylana shaklidagi naporli quvurlar uchun kritik Reynol'ds soni ($Re > Re_{kr}$) = 2000÷3000 va naporsiz oqimlar harakati uchun $Re_{kr} = 300 \div 580$ gacha qabul qilingan. Quvurdagi oqim harakat tezligi

$$g = \frac{4Q}{\pi d^2} = \frac{4 \cdot 20}{3,14 \cdot 2,4^2} = 4,42 \text{ sm/s.} \quad (1.111)$$

$t=20^{\circ}\text{S}$ da IS-30 markali moyning kinematik yopishqoqlik koeffitsienti $\nu=150$ $\text{mm}^2/\text{s}=1,5 \cdot 10^{-10} \text{ m}^2/\text{s}$.

$$Re = \frac{g \cdot d}{\nu} = \frac{4,42 \cdot 2,4 \cdot 10^2}{1,5} = 700; \quad (1.112)$$

$Re_{kr} = 2000$; $Re < Re_{kr}$ demak, suyuqlik harakat rejimi laminar tartibda.

Laminar harakatdagi turbulent harakatga o'tish uchun $Re > Re_{kr}$ qoniqtirilishi kerak, demak

$$Re_{kr} = 2000, \text{ u holda: } Re_{kr} = \frac{g \cdot d}{\nu}; \quad \nu = 0,53 \frac{\text{sm}^2}{\text{s}} = \frac{\text{mm}^2}{\text{s}}.$$

ν va t^0 – ning bog'liqlik grafigi (jadval) dan IS-30 markali industrial moy uchun, $\nu=53 \text{ mm}^2/\text{s}$ ga mos keladigan t^0 harorat miqdori $t=50^{\circ}\text{S}$.

Demak, suyuqlik harorati yuqoridagi 50°S miqdorda suyuqlik laminar harakat rejimidan turbulent harakat rejimiga o'ta boshlaydi.

2. Qon tomirida ($r = 1,0 \text{ sm}$) (aorta) qonining o'rtacha tezligi $v = 30 \text{ sm/s}$, qonning harakat rejimini aniqlang.

3. Ketma – ket ulangan quvurlar orqali harorati $t = 180^{\circ}\text{S}$ bo'lgan neft oqmoqda. Birinchi quvurning diametri $d_1 = 50 \text{ mm}$ va ikkinchi quvurning diametri $d_2 = 15 \text{ mm}$ bo'lib, quvurlardan o'tayotgan neft $Q = 70 \text{ sm}^2/\text{s}$ bo'lsa, quvurlargi suyuqlik harakat rejimini aniqlang.

4. Ko'ndalang kesimi trapetsiya shakldagi kanalning eni $v = 3,0 \text{ m}$ chuqurligi $h = 0,8 \text{ m}$ kanal qiyaligi $m = 1,5$ bo'lib, kanaldan o'tayotgan suv sarfi $Q = 3 \text{ m}^3/\text{s}$ va harorati $t = 200^{\circ}\text{S}$. Kanaldagi suv harakat rejimini aniqlang.

1.11. MAHALLIY QARSHILIKLAR. MAHALLIY QARSHILIK KOEFFITSIENTINI ANIQLASH

Suyuqlik quvur tizimlarda harakat qilganda suyuqlik quvurda turli to'siqlarni aylanib o'tishiga energiya sarflaydi. Shu sarflangan energiya suyuqlik bosimini pasayishiga sabab bo'ladi.

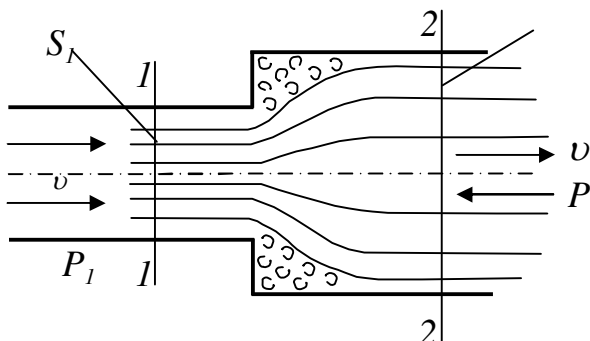
Mahalliy qarshilik turlari.

Mahalliy qarshiliklarning juda ko'p turlari mavjud bo'lib, ularning har biri uchun bosim pasayishi turlichadir. Buni Veysbax formulasida ko'rish mumkin.

$$h_m = \xi \frac{g^2}{2g}; \quad (1.113)$$

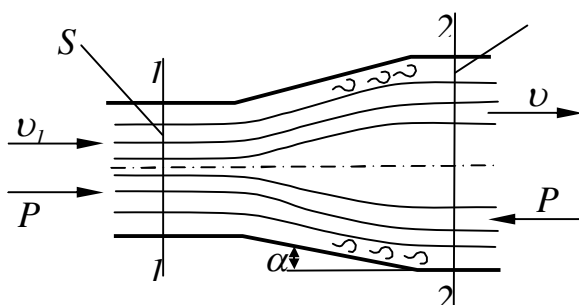
Bu erda ξ - mahalliy qarshilik koeffitsienti, $\frac{g^2}{2g}$ - solishtirma kinetik energiya.

Mahalliy qarshilik asosiy turlari qo'yidagilar

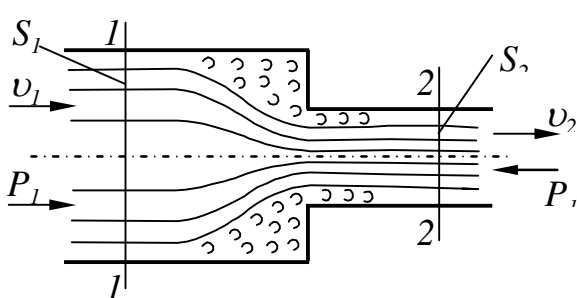


1). Keskin kengayish. Bu holda energiya yo'qolishi yuzalar nisbatiga bog'liq bo'ladi.

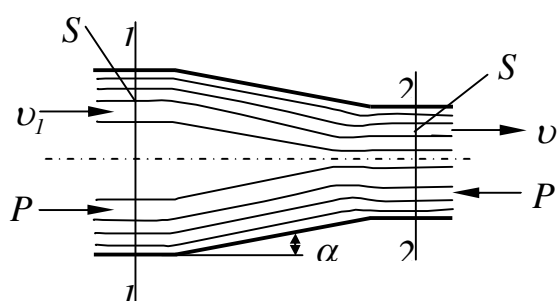
$\frac{\omega_1}{\omega_2}$ - kancha kichik bo'lsa, shuncha ko'p energiya yo'qotadi.



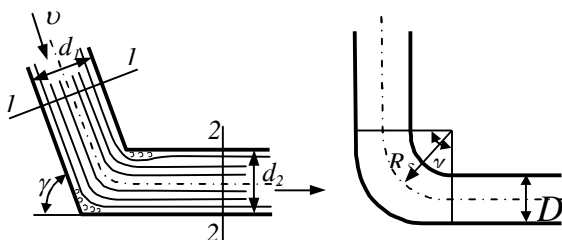
2). Tekis kengayish. Kesimlarda $R_1 < R_2$ $v_1 > v_2$ bo'ladi. Tekis kengayishda ham $\frac{\omega_1}{\omega_2}$ - yuzalar nisbatiga va qiyalik burchagiga bog'liq bo'ladi.



3). Keskin torayish, mahalliy qarshilik koeffitsienti kesimlar o'zgarishiga bog'liq bo'lib, ularning nisbati ortishi bilan qarshilik ortadi.

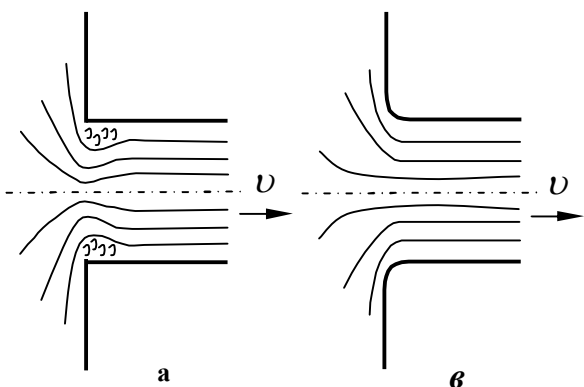


4). Tekis torayish. Mahalliy qarshilik koeffitsienti kesimlar nisbati $\frac{\omega_1}{\omega_2}$ - ga va konuslar burchagini ortishi bilan ortadi. Keskin torayishda ham tekis torayishda ham $R_1 > R_2$; $v_1 < v_2$ ga teng bo'ladi.

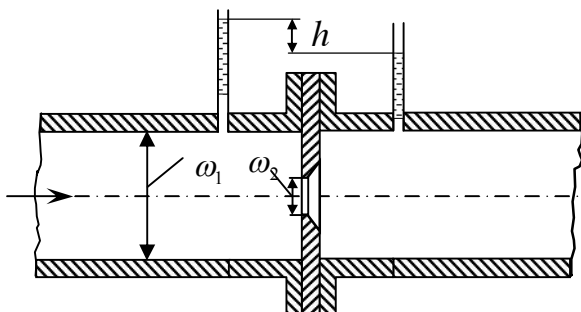


5). Tirsak. Mahalliy qarshilik koeffitsienti ikki quvurning bog'lanish burchagiga bog'liq. Bu burchak ortsa ortadi.

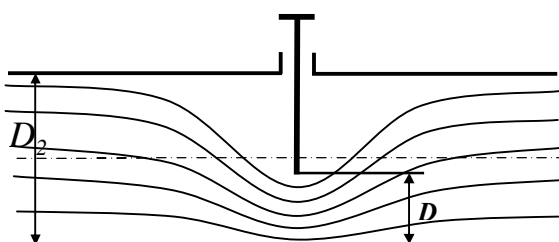
6). Burilish burchagi R_b burilish radusigi bog'liq bo'ladi.



7). Quvurga kirish. Idishga quvur ulansa, u holda quvurga kirishdagi o'tkir burchaklarni suyuqlilikning aylanib o'tish uchun energiya sarf bo'ladi. Quvurga kirishdagi burchaklar silliqlansa suyuqlilik energiyasi ham kam sarf bo'ladi. ξ_{kupuu} – ning qiymati 0,5 ga teng deb qabul qilinadi $\xi_{\text{kit}} = 0,5$ silliqlangach $\xi = 0,04 \div 0,1$ oralig'ida kamayadi.



8). Diafragma. Quvurlarga o'rnatilgan va suyuqlik sarfini o'lchaydigan o'rtasi teshik diskga diafragma deyiladi. Bu holda mahalliy qarshilik koeffitsienti quvur kesim yuzasi ω_1 va teshik yuzasi ω_2 lar nisbatiga bog'liq.



8) Berkitgich. Mahalliy qarshilik koeffitsienti eshikchaning ochilish darajasiga bog'liq. Uning o'rtacha qiymati $\xi_{berk} = 2$.

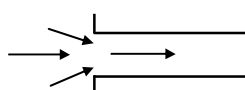
Mahalliy qarshiliklar koeffitsientlari

Mahalliy qarshiliklar nomi

Shakli

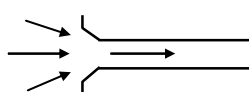
Mahalliy qarshilik koeffitsienti

Kirish (o'tkir qirrali quvurga)



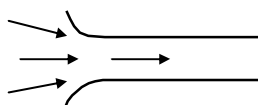
$$\xi_{kup} = 0,5$$

Kirish (siniq qirrali quvurga)



$$\xi_{kup} = 0,2 \div 0,25$$

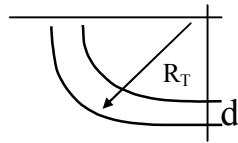
Tirsak (silliqlangan quvurga)



$$\xi_{kup} = 0,05 \div 0,1$$

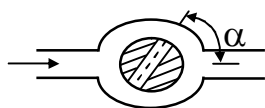
Tirsak (doiraviy quvurda)

$$R_T \geq 2D$$



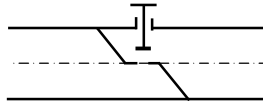
$$\xi = 0,5$$

Jo'mrak ($\alpha=30^\circ$)



$$\xi = 5,0 \div 7,0$$

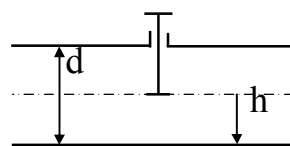
Jo'mrak (ventil)



$$\xi = 1 \div 3$$

Jo'mrak (zadvijka)

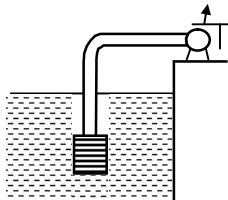
$$h=D, h=D/2$$



$$\xi = 1$$

$$\xi = 2$$

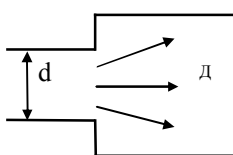
So'ruvchi quvurdagi sim to'r



$$\xi = 5 \div 7$$

Birdan kengayish

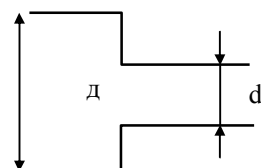
$$h_{B,T} = \xi_{B,T} \frac{v^2}{2g}$$



$$\xi_{BK} = \left(\frac{D^2}{d^2} - 1 \right)^2$$

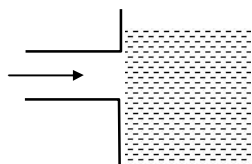
Birdan torayish

$$h_{B,T} = \xi_{B,T} \frac{v^2}{2g}$$



$$\xi_{BT} = \left(1 - \frac{d}{D} \right)^2$$

Chiqish (quvurdan kanalga)



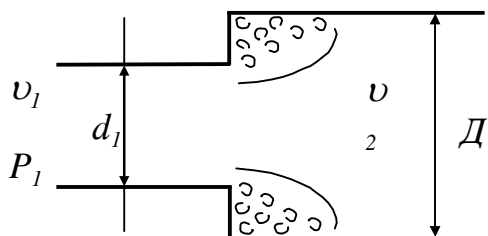
$$\xi_{\text{uchuu}} = 1$$

Drossel klapan va jo'mraklarda mahalliy qarshilik koeffitsienti klapanning va jo'mrakning ochilish darajasiga bog'liq. $\xi_{\text{drossel klapan}} = 2 \div 53$.

Tiqin jo'mraklar uchun esa mahalliy qarshilik koeffitsienti $\xi = 2 \div 33$.

Jo'mraklar ham mahalliy qarshiliklar hosil qiladi, ko'p energiya yo'qolishiga sabab bo'ladi. Suyuqlik tezliklarining oshishi mahalliy qarshiliklarning barchasida energiyaning ko'proq yo'qolishiga sabab bo'ladi.

Quvurning keskin kengayishi (borda qoidasi)



1.34-rasmda tor kesimdan keng kesimga o'tishda burchaklarda suyuqlik quvur sirtidan ajraladi. Natijada oqim keskin kengayadi va oqim sirti bilan truba devori orasidagi qalqasimon oraliqda aylanma harakat vujudga keladi.

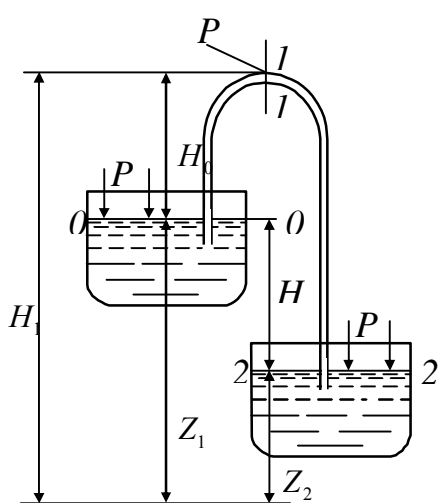
1.75-rasm.

Mahalliy qarshilik koeffitsientini nazariy usulda echilgan $h_{kenk} = \frac{(\vartheta_1 - \vartheta_2)^2}{2g}$ formulasidan topish mumkin. Bu Borda formulasidir. Bu formulaga asosan keskin kengayishidagi bosimning pasayishi tezlik kamayishi kvadratining ikkilangan erkin tushishi tezlanishiga nisbatiga teng. Uzlucksizlik tenglamasi $\vartheta_1 \omega_1 = \vartheta_2 \omega_2$ dan $\vartheta_2 = \frac{\vartheta_1 \omega_1}{\omega_2}$ ni aniqlab Borda formulasiga qo'ysak, quyidagi hosil bo'ladi

$$h_{keng} = \frac{\vartheta_1^2}{2g} \left(1 - \left(\frac{\omega_1}{\omega_2} \right) \right)^2 \quad (1.114)$$

Mahalliy qarshilik koeffitsienti $\xi_{m.q} = \left(1 - \frac{\omega_1}{\omega_2} \right)^2$ ga teng ekan.

1.12. QUVURLARDA SUYUQLIK HARAKATI. QUVURLARNING VAZIFASI VA TUZILISHI. QUVURLARNI HISOBLASH



1.76-rasm. Sifon quvur

Bir qismi suyuqlik bilan ta'minlovchi idishdan yuqorida joylashgan sodda quvur sifon quvur deyiladi. 1.76-rasmida. Sifon quvurni soddalashtirib (ta'minlovchi va qabul qiluvchi) idishlarni tutashtiruvchi V-simon quvur deyish mumkin. Ikki idishdagi suyuqliklar balandligi farqi N hisobiga oqib turadi. Sifon ishlay boshlashi uchun u avval to'ldirilishi kerak, sifon sifatida oddiy rezina shlanglar ishlatish mumkin. Agar sifon mustahkamlangan metal quvurdan iborat bo'lsa, uning yuqori nuqtasida havoni so'rib olish uchun maxsus jo'mrak o'rnatiladi.

Sifonni hisoblashda rasmida ko'rsatilishiga 0-0 va 2-2 kesim uchun Bernulli tenglamasini yozamiz, ya'ni,

$$Z_1 + \frac{P_0}{\gamma} + \frac{\vartheta_0^2}{2g} = Z_2 + \frac{P_2}{\gamma} + \frac{\vartheta_2^2}{2g} + h\omega_{(0-2)}; \quad (1.115)$$

$$Z_1 = Z_2 + h\omega_{(0-2)}; \quad (1.116)$$

$P_0 = P_2 = P_{amm}$; $\vartheta_1 = \vartheta_2 = 0$; deb hisoblasak, $h\omega_{(0-2)}$ ni hisoblash uchun ishqalanish va maqalliy qarshiliklar formulasidan $H = aQ^2$ ga teng bo'ladi. Sifonning eng yuqori nuqtasi H_0 -oshib borishi bilan I-I-kesimda bosim kamaya boshlaydi, P_1 -nuqtadagi bosimni topish uchun 0-0 va I-I kesimlariga Bernulli tenglamasi yoziladi.

$$\frac{P_0}{\gamma} + \frac{\vartheta_0^2}{2g} = I_1 + \frac{P_1}{\gamma} + \frac{\vartheta_1^2}{2g} + h\omega_{(0-1)}; \quad \vartheta_1 = \vartheta_0 - \text{ligini hisobga olsak},$$

$$\frac{P_1}{\gamma} = \frac{P_0}{\gamma} - H_1 - h\omega_{(0-1)} \text{ hosil bo'ladi.} \quad (1.117)$$

Bu tnglamadan N , ni aniqlanadi.

1.12.1. QUVURLARNI VA SODDA QUVURLARNI GIDRAVLIK HISOBBLASH

Quvurlarni diametri, uzunligini ma'lum sarfga moslab hisoblash va berilgan bosimda quvurning o'lchamlarini hisob-kitobi quvurlarni gidravlik hisoblash deyiladi. Quvurlarning gidravlik hisobini bajarishda quvurlarning uzun va qisqaligiga ahamiyat beriladi.

Qisqa quvurlar deb, mahalliy qarshiliklari sezilarlik bo'lib, uncha uzun bo'limgan, umumiyligi qarshilikning 5-10% ni tashkil etadigan quvurlarga aytildi. Bunday quvurlarga mashina mexanizmlarda ishlatalinadigan quvurchalar kiradi. Benzin bakdan karbyuratorga benzin keltiruvchi quvur, traktor hamda transport vositalaridagi dvigatellarining moy o'tkazuvchi quvurlarini, gidroyuritmalardagi tutashtiruvchi quvurlar, nasoslarning so'rish quvurlarini misol tariqasida keltirish mumkin.

Uzun quvurlar deb, ancha uzoq masofaga cho'zilgan va gidravlik qarshiliklar hisobida asosiy o'rinni egallagan ishqalanish qarshiligi bo'lgan quvurlar majmuasiga aytildi. Bunday quvurlarda mahalliy qarshilik ahamiyatga olinmaydi. Bunday quvurlarda suv o'tkazgich quvurlar, neft va gazlarni transportirovka qiluvchi quvurlar kiradi.

Quvurlar rejimiga qarab **sodda** va **murakkab** quvurlar turkumiga bo'linadilar.

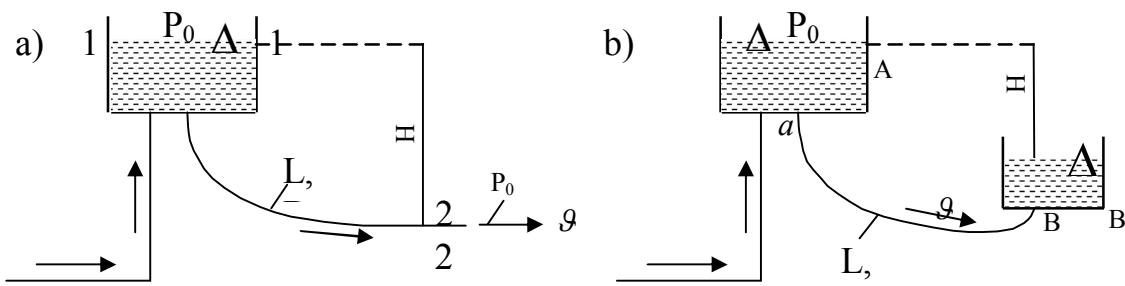
Sodda quvurlar tarmoqlanmagan quvurlar turkumiga kiradi.

Murakkab quvurlar turkumiga tarmoqlangan quvurlar kiradi. Bulardan tashqari *berk* quvurlar va *yopiq* quvurlarga bo'linadilar. Bir yo'nalishda suyuqlik oqizadigan quvurlar berk quvurlar turkumiga kiradi. Yopiq quvurlarda esa suyuqlik iste'molchilarga ikki va undan ortiq yo'nalish bo'yicha uzatuvchi quvurlar turkumidir.

Tranzit sarfli turkum quvurular ham mavjud bo'lib, ularda suyuqlik sarfi yo'l bo'yicha o'zgarmay qoladi yoki tekis tarqalgan bo'lishi mumkin.

Quyida eng sodda quvurlar turkumi berilgan bo'lib, uzunlik bo'yicha quvurlar diametri o'zgarmas hamda qisilmaydigan suyuqlikdan iborat. (1.77, a-b-rasmida)

Ushbu sodda quvurlarni hisoblashni quyidagi uch xil masalani hal qilish bilan amalgalash oshiriladi.



1.77 - rasm. Sodda quvurlarni hisoblashga oyid chizma

1. Berilgan diametrli va uzunlikdagi quvurlarda suyuqlik damini yo'qolishi N va qanday sarfni o'tkazilishini aniqlash.
2. Agar damni o'zgarishi N berilgan bo'lsa, suyuqlik sarfini aniqlash.
3. Quvurni berilgan sarfda, uzunlikda va bosimlar farqi berilganda quvur diametri – d ni aniqlash.

Quyida shu uchta masalani qanday xal qilishni ko'rib chiqamiz.

1- masala. Quvur o'zgarmas d li. Ushbu holda, atmosferaga oqib chiquvchi hamda bosim ostida oquvchi suyuqlik bo'lishi mumkin. (1.77-rasm. a, b)

Bernulli tenglamasini havzadagi suyuqlik yuzasidan olingan 1-1 kesim hamda 2-2 suyuqlik chiqishidagi kesimlar uchun yozamiz.

$$Z_0 + \frac{p_0}{\lambda} + \frac{g_0^2}{2g} = Z + \frac{p_0}{\lambda} + \frac{g^2}{2g} + \lambda \frac{l}{d} \cdot \frac{g^2}{2g} + \sum \xi \frac{g^2}{2g}. \quad (1.118)$$

Boshqa hadlarga qaraganda $\frac{g_0^2}{2g}$ kichik miqdordir va $Z_0 - Z = H$ deb olib (1.118)

tenglamani quyidagicha yozamiz:

$$\dot{I} = \frac{g^2}{2g} \left(1 + \lambda \frac{l}{d} + \sum \xi \right) \quad (1.119)$$

Agar suyuqlik bosim ostida chiqayotgan bo'lsa, (1.36-b-rasm) Bernulli tenglamasi quyidagicha yoziladi:

$$Z_A + \frac{p_0}{\lambda} + \frac{v_A^2}{2g} Z_B + \frac{p_0}{\lambda} + \frac{g_B^2}{2g} + \lambda \frac{l}{d} \cdot \frac{g^2}{2g} + \sum \xi \frac{g^2}{2g} + \frac{(g - g_B)^2}{2g} \quad (1.120)$$

(1.120) tenglamada oldingilardagi maxalliy qarshiliklarga nisbatan $\sum \xi \frac{g^2}{2g}$ va $\frac{(g - g_B)^2}{2g}$ hadlar bilan farqlanadi va ulardan birinchisi bor uzunlikdagi mahalliy qarshilikni ifodalaydi, bunda A havzaning α nuqtasidan V havzaning v nuqtasigacha bo'lgan maxalliy qarshiliklar yig'indisidan iborat. Ikkinchisi V havzaga kirishda bo'lgan keskin kengayishdagi maxalliy qarshilikdan iboratligini ko'rsatadi. g_A , hamda g_A tezliklar suyuqlik sathlari o'zgarmaganligi uchun nolga teng deb olamiz, u holda (1.120) quyidagicha ifodalanadi:

$$Z_A - Z_B = H = \frac{g^2}{2g} \left(\lambda \frac{l}{d} + \sum \xi + 1 \right) \quad (1.121)$$

Ushbu formulani ko'rinishi (1.121) bilan bir xil bo'lib, gidravlik hisobi ikki hol uchun o'xshashdir. Ammo (1.121) formulada o'ng tamonidagi qavs ichidagi bir qiymat bosim ostida chiqayotgandagi mahalliy qarshilik V havzaga kirayotgan suyuqlik kinetik energiyasini hisobga olingan holda yozilgan.

Shunday qilib, bosim ostida chiqayotgan suyuqlik bosimi o'zgarishi N barcha mahalliy qarshiliklar yig'indisidan iborat bo'ladi, ya'ni

$$H = \sum h\omega \quad (1.122)$$

Atmosferaga chiqayotganda N ikki qismdan iborat bo'lib, ular solishtirma kinetik energiyadan (quvurdan chiqayotgan kinetik energiya) va mahalliy qarshiliklarda yo'qolgan napolarning yig'indisidan iborat.

$$H = \frac{g^2}{2g} + \sum h\omega \quad (1.123)$$

Yuqorida keltirilgan formulalardan foydalanib, birinchi masalani quyidagicha aniqlaymiz:

$$\vartheta = \frac{Q}{\omega} = \frac{4Q}{\pi d^2} \quad (1.124)$$

Ushbuni (1.124) ga qo'yib, N napor o'zgarshini aniqlaymiz:

$$H = \frac{16Q^2}{2g\pi^2 \cdot d^4} \left(1 + \lambda \frac{l}{d} + \sum \xi \right) \quad (1.125)$$

2- masala. Quvur uzunligi l , diametri d hamda N ma'lum, quvurning suyuqlik o'tkazish qobiliyatini yoki uning sarfi Q ni quyidagi formula yordamida (1.125) ga asosan aniqlanadi.

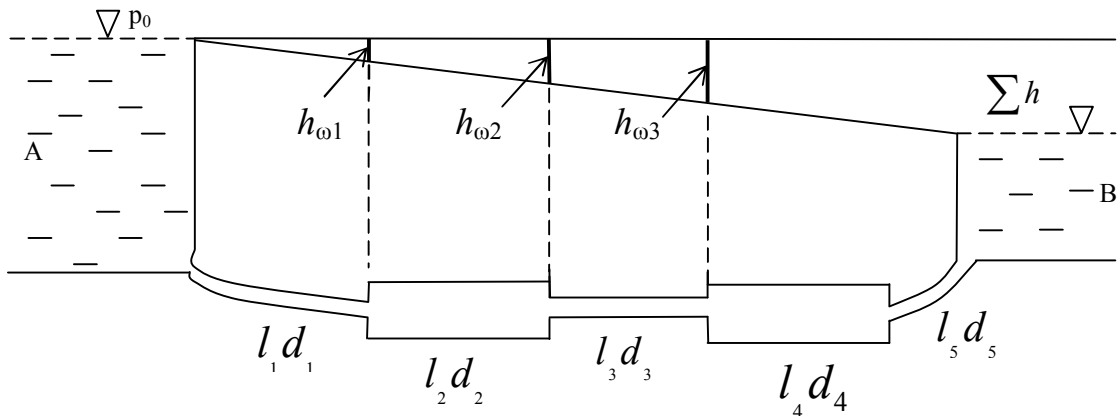
$$Q = \frac{\pi d^2}{4} \sqrt{\frac{2gH}{1 + \lambda \frac{l}{d} + \sum \zeta}}, \quad (1.126)$$

bu erda Q va λ , ξ lar Reynol'ds soniga bog'liq va ularga mos kelgan formulalar hisob-kitobi bilan qo'shib olib boriladi.

Masalan kvadratik qarshilik zonada koeffitsient λ diametr d ga va g'adir-budirlikka bog'liq bo'ladi. Bu hollarda Q diametrga bog'liq bo'lgan $Q = F(d)$ shaklidagi funksiya ko'rinishida bo'ladi, uni grafik usulda topiladi.

Bu holda $d_1, d_2 \dots d_n$ diametrler uchun $Q_1, Q_2, \dots Q_n$ sarflar mos keladi.

Endi yuqoridagi yozilgan ma'lumotlarga asoslanib, har xil diametrli ketma-ket ulangan quvurlar tizimini hisobini keltiramiz. (1.78-rasmida)



1.78- rasm. Ketma-ket ulangan quvurlar tizimini hisoblashga oyid chizma

Bernulli tenglamasi ushbu hol uchun quyidagicha ifodalananadi:

$$Z_A - Z_B = H = h_{\omega_1} + h_{\omega_2} + \dots + h_{\omega_n} \quad (1.127)$$

bu erda $h_{\omega_1}, h_{\omega_2}, \dots, h_{\omega_n}$ - tegishlicha kesimdag'i damni yo'qolishlarini ifodalaydi. Birinchi quvurdan oqib o'tganda suyuqlik damni yo'qolishini quyidagicha ifodalaymiz, ma'lumki birinchi quvur diametri d_1 .

$$h_{\omega_1} = \lambda_1 \frac{l_1}{d_1} \cdot \frac{g^2}{2g} + \sum \zeta \frac{g^2}{2g} = \lambda_1 \frac{16 l_1 Q^2}{2g \pi^2 d_1^5} + \sum \zeta \frac{16 Q^2}{2g \pi^2 d_1^4} = \frac{8Q^2}{g\pi^2} \left(\lambda_1 \frac{l_1}{d_1^5} + \frac{\sum \zeta}{d_1^4} \right) = \\ = \frac{8Q^2}{g\pi^2} \cdot \frac{1}{d_1^4} \left(\lambda_1, \frac{l_1}{d_1} + \sum \zeta \right) \quad (1.128)$$

keyingi quvurlar uchun ham shunday ifodalarni yozamiz:

$$\left. \begin{aligned} h_{\omega_1} &= \frac{8Q^2}{g\pi^2} \cdot \frac{1}{d_1^4} \left(\lambda_2 \frac{l_2}{d_2} + \sum \zeta \right) \\ h_{\omega_n} &= \frac{8Q^2}{g\pi^2} \cdot \frac{1}{d_n^4} \left(\lambda_2 \frac{l_n}{d_n} + \sum \zeta + 1 \right) \end{aligned} \right\} \quad (1.129)$$

(1.129) dagi ohirgi tenglamada qavs ichidagi bir soni oxirgi quvurdan chiqayotgan suyuqlikning damini yo'qolishini ifodalaydi. Shunday qilib, ketma-ket ulangan quvurlar tizimini hisoblash formulasi quyidagicha bo'ladi:

$$H = \frac{8Q^2}{g\pi^2} \left[\frac{1}{d_1^4} \left(\lambda_1 \frac{l_1}{d_1} + \sum \zeta \right) + \frac{1}{d_2^4} \left(\lambda_2 \frac{l_2}{d_2} + \sum \zeta \right) + \dots + \frac{1}{d_n^4} \left(\lambda_n \frac{l_n}{d_n} + \sum \zeta + 1 \right) \right] \quad (1.130)$$

Ushbu hisoblash formulasi birinchi va ikkinchi masalalarini hal qilishda o'zgarmas diametrli quvurlar uchun ham o'rinni.

3– masala. Buni hal qilishda, ya'ni har bir quvur diametrini aniqlashda (10.13) tenglamada n ta aniqmaslik hosil bo'lib qoladi.

Shuning uchun ham ko'pgina hisoblarda aniq diametrli quvurlar uchun hisob-kitob ishlari bajariladi.

4-masala. Quvurdan o'tayotgan gaz tezligini aniqlang, agar $h_l=15$ mm suv ustuniga teng bo'lsa. Gazning zichligi $\rho=0,9 \text{ kg/m}^3$ teng.

5-masala. Ketma – ket ulangan quvurlar orqali suv atmosferaga oqib chiqmoqda. Rezervuarga o'rnatilgan manometr ko'rsatayotgan bosim $R_M=2,0 \text{ kPa}$. Rezervuardagi suv sathi $N=2,0 \text{ m}$; $d_1=200 \text{ mm}$; $d_2=300 \text{ mm}$. Quvurlardagi suv harakati tezligini aniqlang. P'ezometr va dam (napor) chiziqlarini quring

6-masala. Quvurdan ($d=200 \text{ mm}$) $g=5 \text{ m/s}$ tezlikda tushayotgan suv, pastda ikkita parallel doira plastinkalar orasida radius bo'ylab tarqaladi. Agar doiraning diametri $D=600 \text{ mm}$ bo'lib, plastinkalar orasidagi $a=20 \text{ mm}$ bo'lsa, markazdan (A) -300 mm uzoqlikda joylashgan nuqtadagi (V) bosimni aniqlang

7-masala. Suyuqlik ketma – ket ulangan har xil diametrli quvurlar orqali atmosferaga chiqmoqda. Agar ikkinchi quvurdagi tezlik $g_2=2 \text{ m/s}$ bo'lsa, birinchi quvurdagi tezlik $g_1=0,8 \text{ m/s}$ bo'lishi uchun, birinchi quvurdagi bosim qanday bo'lishi kerak (2.2-rasm)

8-masala. Gidrotsilindr quvurida $Q=15 \text{ m}^3/\text{s}$ sarfda (harorati 10^0S , $v=0,3 \text{ sm}^2/\text{s}$) oqayotgan motor moyi harakati laminar rejimida bo'lishi uchun, quvurning diametri qancha bo'lishi mumkin?

9-masala. Uzunligi $l=1,5$ km va diametri $d=250$ mm li quvurda benzin oqib o'tmoqda. Benzinning harorati $t=20^{\circ}\text{S}$, sarfi $Q=0,026 \text{ m}^3/\text{s}$. Quvurda yo'qolgan dam (napor) ni aniqlang. Agar quvurning diametrini 20% kamaytirsak yo'qolgan dam (napor) miqdori qancha o'zgaradi? Quvurning g'adir – budurligi $\Delta=0,2$ mm.

Echimi: Quvurdagi oqim tezligi:

$$\vartheta = \frac{4Q}{\pi d^2} = 0,53 \text{ m/s.}$$

Suyuqlikning harakat rejimini aniqlaymiz: jadvaldan $t=20^{\circ}\text{S}$ haroratdagi benzning kinematik yopishqoqlik koeffitsienti $\vartheta=0,75 \text{ mm}^2/\text{s}$. Reynol'ds soni:

$$\text{Re} = \frac{\vartheta d}{\nu} = 177 \cdot 10^3$$

Demak harakat rejimi turbulent.

U holda gidravlik ishqalanish koeffitsientni Al'tshul' formulasi yordamida aniqlaymiz:

$$\lambda = 0,11 \left(\frac{\Delta}{d} + \frac{68}{\text{Re}} \right)^{0,25} = 0,02.$$

Bosimning yo'qolishi:

$$\Delta P = \frac{\lambda \cdot l}{d} \cdot \frac{\rho \vartheta^2}{2} = 11,8 \cdot 10^3 \text{ Pa.}$$

II. Quvur dimetrini 20% ga kamaytirsak: $d_l=0,8d=200$ mm.

Yo'qolgan bosim miqdori: $\Delta R = 38 \cdot 10^3 \text{ Pa}$.

Demak quvur diametrini 20% ga kamaytirsak, bosimning kamayishi (yo'qolgan napor) 3,2 martda oshar ekan.

1.12.2. MURAKKAB QUVURLAR HISOBI

Murakkab quvurlar turkumiga tarqoq yoki yopiq quvurlar tizimlari kirib, ko'pincha havzalar bilan chegaralangan bo'ladi.

Bunday tizimlarda sarf vaqt bo'yicha o'zgaruvchi bo'lishi mumkin, shuningdek ayrim korxonadagi quvurlar tizimini hisoblashda, masalan suv bilan ta'minlashda, isitgich quvurlarni hisobini bajarishda ancha murakkab masalani hal qilishga olib keladi. Bunday murakkab masalani xal qilish uchun maxsus kurslarda o'qitiladi. Ushbu darsimizda quvurlarni parallel ularish holini ko'rib chiqamiz.

Parallel ularash (1.79-rasmida).

Ushbu holda quvurlar tizimi A (\cdot) da tarqatilib, V nuqtada birlashtiriladi. Bunday quvurlar isitgich quvurlarida ko'plab Q tarqatishdan oldin va undan keyin ham bir xil qiymatga ega.

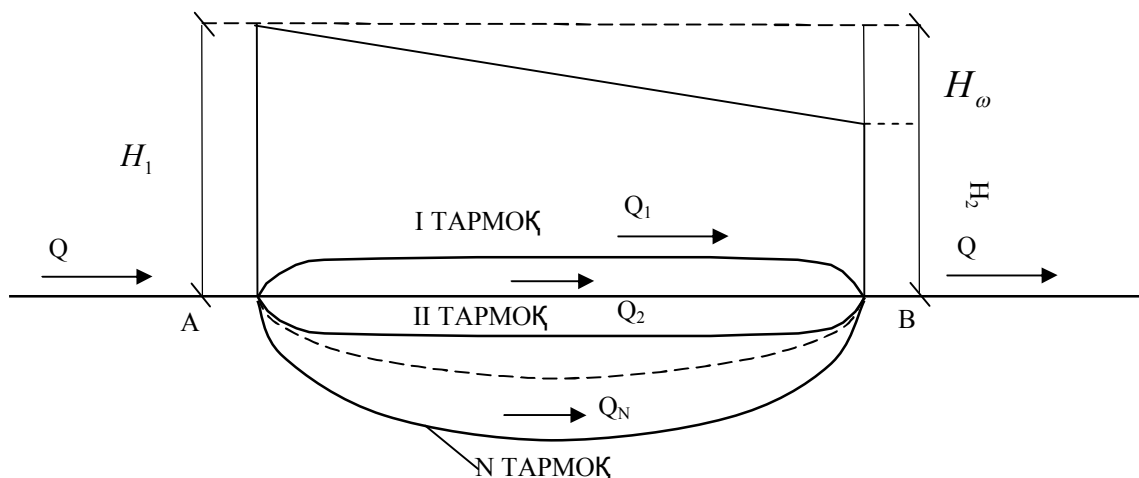
Bu holl uchun asosiy masalalardanbiri har bir tarmoqdagi Q , Q_2 , Q_n larni, A va V nuqtalardagi damniyo'qolishi N ni va umumiyligida Q sarf ma'lum bo'lganda quvur diametrlari (d_1 , d_2 , d_3) va ularning uzunliklari l_1 , l_2 , ..., l_n aniqlashdan iborat.

Bu holda $h_\omega = \dot{I}_1 - \dot{I}_2 = \text{const}$ bo'lgani uchun birinchi tarmoq uchun quyidagi ifodani yozishimiz mumkin:

$$h_\omega = \lambda_1 \frac{l_1 g^2}{d_1 2g} + \sum \xi_1 \frac{g^2}{2g} = Q_1^2 \left[\lambda_1 \frac{l_1}{d_1 2g \omega_1^2} + \sum \xi_1 \frac{1}{2g \omega_1^2} \right] \quad (1.131)$$

ushbu ifodadan

$$\left[\lambda_1 \frac{l_1}{d_1 2g \omega_1^2} + \sum \xi_1 \frac{1}{2g \omega_1^2} \right] = B_1 \quad (1.132)$$



1.79- rasm. Parallel, tamoqlangan quvurlar tizimiga oyid chizma

deb belgilash kiritsak, unda (1.132) ni quyidagicha yozamiz:

$$h_\omega = B_1 Q^2 \quad (1.133)$$

va boshqa tarmoqlar uchun

$$\left. \begin{aligned} h_\omega &= B_2 Q_2^2 \\ h_\omega &= B_3 Q_3^2 \\ h_\omega &= B_n Q_n^2 \end{aligned} \right\} \quad (1.134)$$

(1.133) va (1.134) tenglamalarda $(n + 1)$ noma'lumlar bo'lib (1.134) ga yana bitta etishmagan tenglamani qo'shib yozamiz u quyidagicha:

$$Q = Q_1 + Q_2 + \dots + Q_n \quad (1.135)$$

Tenglamalar echimlarini quyidagicha olinadi:

$$\left. \begin{array}{l} Q_2 = Q_I \sqrt{\frac{B_I}{B_2}} \\ Q_3 = Q_I \sqrt{\frac{B_I}{B_3}} \\ Q_n = Q_I \sqrt{\frac{B_I}{B_n}} \end{array} \right\} \quad (1.136)$$

Umumiylar uchun (1.135) va (1.136) lardan quyidagini olamiz:

$$Q = Q_I + Q_I \sqrt{\frac{B_I}{B_2}} + \dots + Q_I \sqrt{\frac{B_I}{B_n}} \quad (1.137)$$

Bundan birinchi tarmoqdagi sarf quyidagicha bo'ladi:

$$Q_I = \frac{Q}{1 + \sum_{i=2}^n \sqrt{\frac{B_I}{B_i}}} \quad (1.138)$$

Bundan keyin keyingi tarmoqlardagi sarflarni ham aniqlash mumkin:

$$Q_2 = Q_I \sqrt{\frac{B_I}{B_2}}, \quad Q_3, \dots, Q_n \quad (1.139)$$

Ushbu formulalar kvadratik zonadagi qarshiliklar uchun o'rinnlidir. Har bir tarmoqdagi Reynol'ds sonini quyidagi formula yordamida aniqlaymiz:

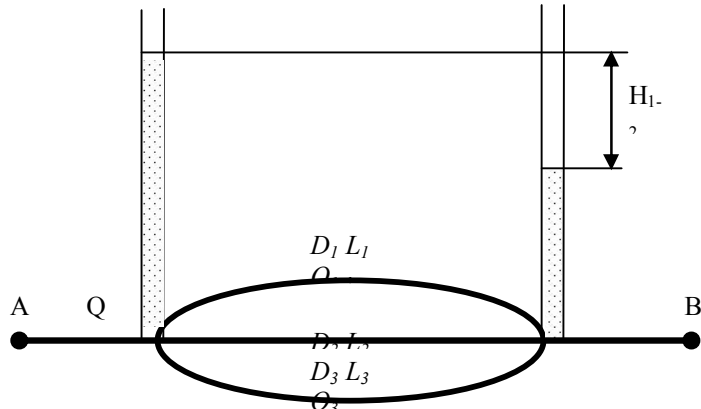
$$Re_1 = \frac{g_1 d_1}{\nu} = \frac{Q_I d_1 \cdot 4}{\pi d_1^2 \cdot \nu} = \frac{4Q_I}{\pi d_1 \nu}; \quad (1.140)$$

ikkinci tarmoq uchun

$$Re_2 = \frac{4Q_2}{\pi d_2 g} \quad \text{va x.k.} \quad (1.141)$$

formulalarni ishlatalishda qulaylik bo'lishi uchun quyidagi masalalarni echimlari bilan keltiramiz.

1-masala. Umumiy sarfi Q bo'lganda parallel ulangan uchta tarmoqlardagi sarfni (1.80-rasmida) aniqlang.



1.80- rasm. Parallel tarmoqlar oyid chizma

Ma'lumki damni, yo'qolishi h_{l-2} hamma parallel tarmoqlar uchun o'zgarmas, shuning uchun quydagisi tenglamani yozamiz:

$$Dh_1 = Dh_2 = Dh_3 = Dh_{l-2}; \quad (1.142)$$

$$Q_1 = k_1 \sqrt{\frac{h_{l-2}}{l_1}}, \quad Q_2 = k_2 \sqrt{\frac{h_{l-2}}{l_2}}, \quad Q_3 = k_3 \sqrt{\frac{h_{l-2}}{l_3}}, \quad (1.143)$$

$$Q = Q_1 + Q_2 + Q_3 \quad (1.144)$$

bu erda $k = \omega N \sqrt{R}$ - sarf moduli.

S – Shezi koeffitsienti.

R – gidravlik radiusi.

Gidravlik hisobni soddalashtirish maqsadida sarfni quyidagicha yozamiz:

$$\frac{h_{l-2}}{l} = Q^2 \frac{l}{k_i^2} \quad (i = 1, 2, \dots, n) \quad (1.145)$$

Yuqoridagilarni e'tiborga olib, Q ni aniqlaymiz:

$$Q = \left(\frac{k_1}{\sqrt{l_1}} + \frac{k_2}{\sqrt{l_2}} + \frac{k_3}{\sqrt{l_3}} \right) \sqrt{h_{l-2}} \quad (1.146)$$

bundan

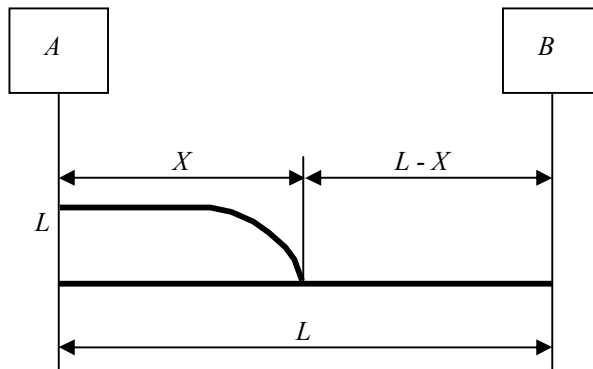
$$h_{I-2} = \frac{Q^2}{\left(\frac{k_1}{\sqrt{l_1}} + \frac{k_2}{\sqrt{l_2}} + \frac{k_3}{\sqrt{l_3}} \right)^2} \quad (1.147)$$

Har bir tarmoqdagi parallel quvurlardagi sarflarni (1.47) dan topamiz:

$$Q_i = k_i \sqrt{\frac{h_{I-2}}{l_i}} \quad (i = 1, 2, \dots, n) \quad (1.148)$$

2 – masala. Amaliyotda neft quvurlardan foydalanishda nasos quvvatini o'zgartirmay, neft quvurini transport xususiyatini oshirish zarrur bo'ladi. Bunda N_{I-2} o'zgarmaganda, Q oshirilgan sarfni olishda qanday masofada quvurni parallel ulash kerak bo'ladi (1.81-rasm) 1-2 kesim oralig'i x masofada bo'lsa, quvurni parallel ulashdagi napor yo'qolishi quyidagi formula yordamida aniqlanadi:

$$h_{I-2} = \frac{Q^2}{\left(\frac{k_1}{\sqrt{x}} + \frac{k_2}{\sqrt{x}} \right)^2} = \frac{\tilde{Q}^2}{(k_1 + k_2)^2} \quad (1.149)$$



1.81 - rasm. Parallel ulashdagi napor yo'qolishga oyid chizma

Quvurning $l - x$ qismi uchun esa,

$$h = Q^2 \frac{l - x}{k_3^2} \quad (1.150)$$

Quvurning butun uzunligi bo'ylab, napor yo'qolishi quyidagicha ifodalanadi:

$$H_{I-2} = h_{I-2} + h = Q^2 \left[\frac{x}{(k_1 + k_2)^2} + \frac{l - x}{k_3^2} \right] \quad (1.151)$$

(10.32) ifodadan N va Q lar berilganda x ni aniqlanadi. Agar quvurlar ketma-ket va parallel ulangan bo'lsa (1.81-rasmida) oldin parallel ulangan qismidagi napor yo'qolishini va undan keyin (1.82-rasmida) ketma-ket ulanganda sodda quvurlar tizimini hisobi bajariladi:

$$\sum h = h_{1-2} + h_{2-3} + h_{3-4} \quad (1.152)$$



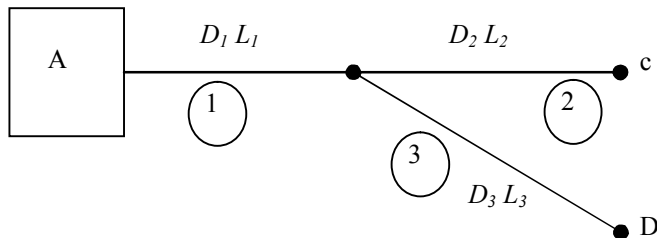
1.82 – rasm. Sodda quvurlar tizimiga oyid chizma

Yana eslatib o'tamizki parallel ulashda napor yo'qolishi hamma parallel quvurlar uchun o'zgarmas, sarfi esa parallel quvurlardagi sarflar yig'indisidan iborat bo'ladi. Ketma-ket ularishda sarf o'zgarmas bo'lib, naporlar esa quvurlardagi naporlar yig'indisidan iborat bo'ladi. Tarmoqlangan quvurlar majmuasi (1.83-rasmda) berilgan S va D nuqtalardagi bosimlar atmosfera bosimiga teng, u holda naporni yo'qolishi quyidagi formuladan aniqlanadi:

$$H = h_1 + h_2, \quad H = h_1 + h_3, \quad Q_I = Q_2 + Q_3 \quad (1.153)$$

ulardan ma'lumki

$$h = Q^2 \frac{l}{k^2} \quad (1.154)$$



1.83 – rasm. Ketma-ket ularishda naporni o'zgarishini tushintirishga oyid chizma

$$\left. \begin{aligned} H &= Q_I^2 \frac{l}{k_I^2} + Q_2^2 \frac{l_2}{k_2^2} \\ H &= Q_I^2 \frac{l}{k_I^2} + Q_3^2 \frac{l_3}{k_3^2} \end{aligned} \right\} \quad (1.155)$$

$$Q_I = Q_2 + Q_3 \quad (1.156)$$

ushbu tenglamalardan Q_I , Q_2 , Q_3 lar aniqlanadi. Quvurlar turli balandliklarda joylashgan bo'lsa Z ham e'tiborga olinadi.

1.13. SUYUQLIKLARNI TESHIK VA KICHIK TESHIKLARDAN (NASADKALARDAN) OQIB CHIQISHI

Suyuqliklarning teshikdan oqishi suyuqlik harakatining qisqa masofalarda oqishi, mahalliy qarshiliklarni hisobga olgan holda qaraladi.

Ushbu nazariya qo'yidagi asosiy vazifalarni bajarishga qaratilgan.

- 1) Suyuqlik sarfiini aniqlashga;
- 2) Idishlarning to'lish va bo'shash vaqtini aniqlashga va boshqa hollarda ishlataladi.

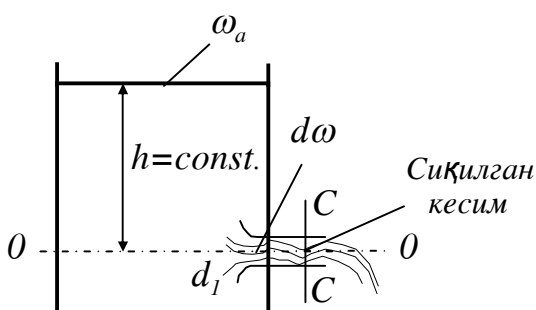
Teshiklardan suyuqlik oqishini ham 2 turga bo'linadi.

- 1) Barqaror harakatda ($N=const$);
- 2) Beqaror harakatda (o'zgaruvchan naporda).

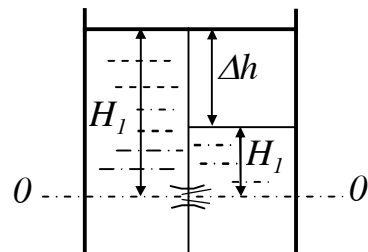
Teshiklarning katta kichikligiga qarab kichik teshik tushunchasini kiritamiz. Kichik teshik deb - teshik diametri d – naporli bakdagi suyuqlikning balandligidan 10 va undan ko'p marta kichikligiga qarab aytamiz. Cho'ktirilmagan teshik deb, shunday teshikka aytildiki, unda suyuqlik teshikdan ochiq boshqa idishga havo orqali oqib chiqadigan teshiklarga aytildi.

1.84, a-b-rasmida. Yupqa devor deb – idish devori qalinligi teshik diametridan 5 marta kichik bo'lган devorga aytildi. $\delta = 0,2d$, S-S – siqilgan kesim N – qancha katta bo'lsa, siqilgan kesim shuncha kichiklashadi. $\varepsilon = \frac{\omega_{sig}}{\omega_{tesh}} < 1$; ε – siqilish koeffitsienti.

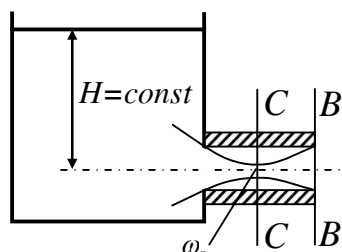
a).



b).



1.84, a-b-rasmalar.



1.85-rasm

Suyuqliklar oqimini tezlashtirish, 1.85-rasmida sarfini oshirish uchun teshikka qo'ndirgichlar qo'yiladi. Qo'ndirgichlar deb – teshikchaga ulagan qisqa quvurlarga aytamizki, uning uzunligi qo'ndirgich diametridan $3 \div 4$ barobar katta bo'lsin, ya'ni $l = (3 \div 4)d$.

U holda siqilgan kesimda vakuum paydo bo'ladi. Suyuqlikning oqimi tezligi vakuum hisobiga va sarf hisobiga ham oshar ekan.

1.13.1. SUYUQLIKNING TSILINDRIK NAYCHADAN OQISHI

Naporli baklardagi teshiklarga qisqa quvurlar ulanadi. Bu qisqa quvurlarni naychalar deb ataymiz. Naychalarning uzunligi teshik diametriga bog'liq bo'ladi, ya'ni $l = (3 \div 4)d$ ga teng.

Idish usti ochiq bo'lsa, u holda suyuqlik teshikdan atmosferaga chiqadi va $P_2 - P_1 = 0$ bo'ladi. $P_1 = P_2$ tenglikdan ϑ_2 ni topsak,

$$\vartheta_2 = \sqrt{\frac{2g \left[\frac{(D_2 - D_1)}{\gamma} + I \right]}{l - \left(\frac{\omega_2}{\omega_1} \right)^2}} \text{ hosil bo'lad. } P_2 - P_1 \text{ desak u holda}$$

$$\vartheta_2 = \sqrt{\frac{2gI}{l - \left(\frac{\omega_2}{\omega_1} \right)^2}} \text{ ga teng bo'lad. Bu erda } \sqrt{\frac{1}{l - \left(\frac{\omega_2}{\omega_1} \right)}} = \varphi \text{ ni -}$$

tezlik koeffitsiienti deb belgilaydigan bo'lsak va $\varphi = 1$ bo'lsa, $\vartheta_i = \vartheta_2 = \sqrt{2gH}$ hosil bo'ladi. Demak, teshikdan chiqishdagi tezlik v_2 , asosan $H = \text{const}$ balandligiga bog'liq bo'lib, bu formula Torichelli formulasi deyiladi.

Tezlik ma'lum bo'lsa, u holda sarfni topish mumkin bo'ladi, ya'ni $Q = \vartheta_n \cdot \omega_2$; $\vartheta_{2\text{amal}} = \vartheta_{n\text{az}} \cdot \varphi = \varphi \sqrt{2gH}$; Bu formuladan $\mu = \frac{\vartheta_{\text{amal}}}{\vartheta_{n\text{az}}}$; tezlik koeffitsientini hisoblash uchun $\varphi = \frac{1}{\sqrt{\alpha + \xi_{m,q}}}$. Jadvallarda ξ_{suv} - uchun $\xi_{\text{suv}}=0,06$ bo'lsa, $\varphi=0,97 \div 0,98$ bo'ladi.

$Q = \vartheta_{ei} \omega_2$ dan, $\vartheta_{ei} = \varphi \sqrt{2gH}$ deb olamiz. ω_2 esa siqilgan joydagi tezlik $\Sigma = \frac{\omega_2}{\omega_1}$ dan foydalaniib $\omega_2 = \omega_1 \cdot \Sigma$ deb qabul qilamiz.

Suyuqlikni sarfini oshirish yoki ixcham oqimchalar hosil qilish uchun naychalardan foydalaniлади. Naychalardagi suyuqlik oqishini hisoblashda yuqorida keltirilgan koeffitsientlardan foydalaniлади. Naychalarning bir nechta turlari mavjud:

1. TSilindrik naycha, ya'ni naychaning ulanishiga qarab ichki tsilindrik naycha va tashqi tsilindrik naychalarga bo'linadi.
2. Konussimon torayuvchi naycha.
3. Konussimon kengayuvchi naycha.
4. Konoidal naycha. 10-jadvalga qarab μ – sarf koeffitsienti eng katta bo'lган naycha eng ko'п suyuqlik o'tkazishi kuzatiladi.

Oddiy teshiklarga nisbatan bu naychalar 30 % gacha sarfni oshirishi mumkin.

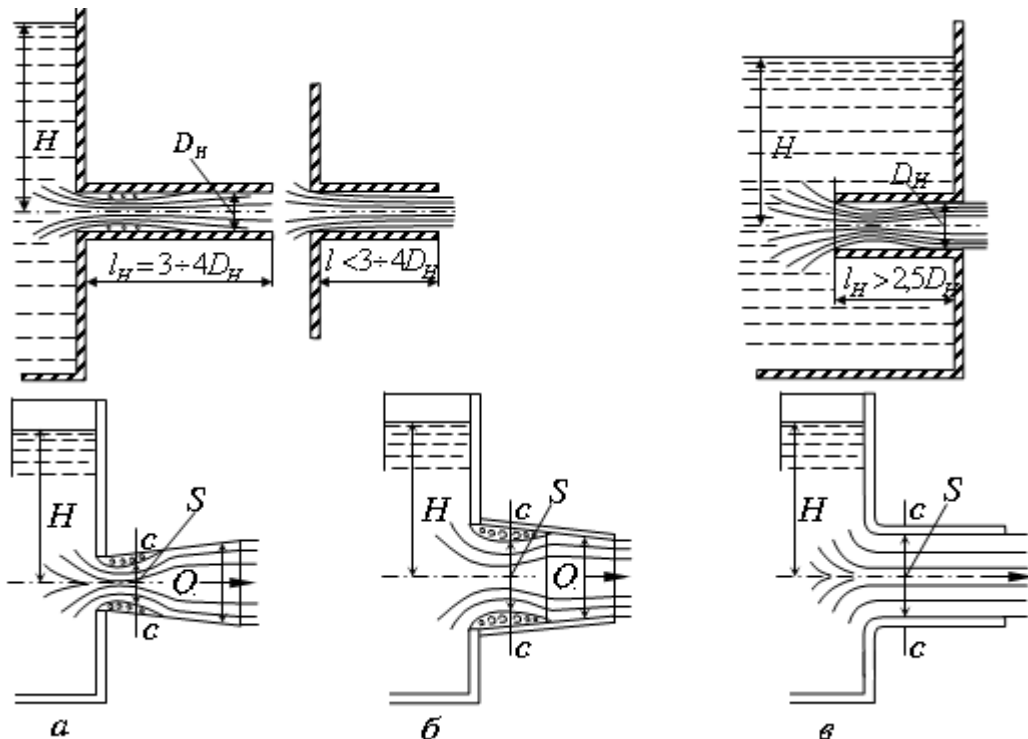
Tsilindrik naychadan foydalanganda, suyuqlik naychaga kirib undan ajraladi va torayadi. So'ng yana torayishi yo'qolib naychada suv to'lib oqadi.

Naycha ichida suyuqlikning toraygan qisimlarida vakuum paydo bo'ladi. Suyuqlik tezligi oshgan sayin vakuum ko'payib boradi. Vakuum natijasida teshikchadan suyuqlik oqishi tezlashadi va sarf ham oshadi. $\varphi = \mu = 0,8$; $\xi = 0,55$. Ichki tsilindrik naychada esa $\Sigma = 1$ va $\mu = \varphi = 0,7$ bo'lib, suyuqlik sarfi kamroq bo'ladi.

Konussimon kengayuvchan naychada konuslik burchagi $d=8^\circ$ dan oshmasligi kerak. Agar $d>10$ bo'lsa, teshikdan chiqayotgan suyuqlik konus devorlariga urilmay, oddiy teshikdan suyuqlik oqayotgandek bo'lib qoladi.

Naycha yo'naliш bo'yicha kengayganligi uchun tezlik naychadan chiqishda sekinlashib boradi. Sarf kamayadi $\mu = \varphi = 0,45$, bu holatda eng kam sarf kuzatiladi. Konussimon torayuvchan naychalarda esa suyuqlik sarfi α burchakka bog'liq. Bu erda $\alpha = 13^\circ$. Cuyuqlik naycha bo'ylab tezligini oshira borgani uchun, teshikdan chiqqan suyuqlik qarshilikka kam uchrab, tez harakat qiladi, sarf esa oshadi $\varphi = \mu = 0,946$, $\Sigma = 0,982$.

Konoidal naychalarining (1.86-rasmning) 1,2,3-shakillari, shakli yupqa devordagi teshikdan oqayotgan suyuqlik shakliga o'xshash bo'ladi. Ichki torayish kam bo'lib, qarshilik ham kam bo'ladi. Demak Σ, φ va μ -lar ham eng katta bo'ladi, ya'ni $\Sigma = 1$, $\varphi = \mu = 0,97$. Quvur devori sillig'langanda $\varphi = \mu = 0,995$ gacha ortadi. Konoidal naychalar eng katta tezlik va sarfni beradi.



1.86-rasmning 1,2,3-shakillari.

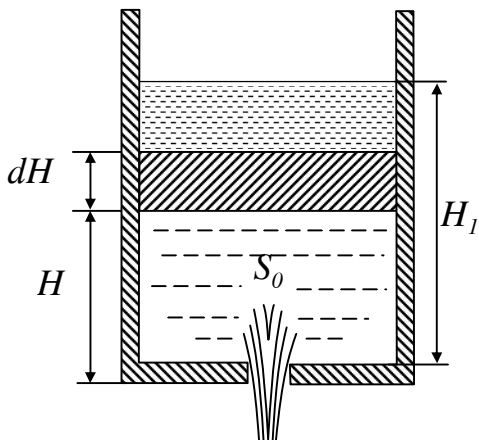
Bunday naychalar aktiv turbinalarda, reaktiv turbinalarda fontanlarning soplasida, gidromonotyorlarda, turli suyuqliklarni so'ruvchi va sochuvchi qurilmalarda ishlataladi.

Dumaloq quvurlarga tegili $N=const$ ga bog'liqlik qiymatlari

$\frac{N \cdot m}{d, mm}$	10	20	30	60	180
0,5	0,622	0,609	0,605	0,600	0,597
1,0	0,615	0,605	0,603	0,599	0,598
1,5	0,613	0,604	0,601	0,598	0,597
2,0	0,610	0,603	0,600	0,598	0,597
3,0	0,605	0,600	0,598	0,596	0,596
5,0	0,600	0,597	0,596	0,596	0,596
15	0,596	0,595	0,594	0,594	0,594
30	0,593	0,592	0,592	0,592	0,592

1.13.2. O'ZGARUVCHAN BOSIMDA SUYUQLIKLARNING TESHIKDAN OQISHI

O'zgaruvchan bosimda oqish yoki idishlarning (1.87-rasmida) teshikdan yoki naychalardan oqishi hisobiga bo'shashini ko'ramiz. Idish tubiga teshik yoki naycha o'rnatilgan bo'lib, undan suyuqlikning oqishi hisobiga bosim kamayib boradi. Natijada oqim tezligi kamayadi, natijada sarf ham kamayadi. Bu masala beqaror harakatga misol bo'ladi.



Ma'lum bir vaqtida suyuqlikning oqimini ushbu tenglik bilan ifodalaymiz,
 $\omega dH = -qdt$.

(-) - suyuqlik kamayganligi sabab
 $\omega \cdot dH = -\mu \omega_l \cdot \sqrt{2gH} \cdot dt$ ga teng
 bo'ladi. Bu tenglamadan idishni bo'shatish

$$\text{uchun ketgan vaqt} dt = -\frac{\omega dH}{\mu \omega_{Teu} \cdot \sqrt{2gH}}.$$

1.87-rasm. Idish tubidagi kichik teshikdan oqishi

Idishning bo'shash vaqtini $t = -\frac{I}{\mu \omega_0 \sqrt{2g}} \int_H^0 \omega \cdot \frac{dH}{\sqrt{H}}$, ya'ni

$$t = \frac{\omega}{\mu \omega_{nesh} \sqrt{2g}} \int_0^I \frac{di}{\sqrt{H}} = \frac{2\omega I}{\mu \omega_0 \cdot \sqrt{2gH}}; t = \frac{2W}{Q} \text{ ya'ni, shuncha suyuqlik}$$

$H=const$ da oqsa, ikki barobar vaqt sarf bo'lar ekan.

Idishning ma'lum balandligidan, bror-bir balandlikka oqishida qancha vaqt ketishini hisoblasak, $t = \frac{2\omega}{\mu\omega_{\text{Osh}}\sqrt{2g}} (\sqrt{I_1} - \sqrt{I_2})$ hosil bo'ladi.

1.13.3. TIRQISHDAN NAYCHALAR OQALI SUYUQLIKNI OQISHI

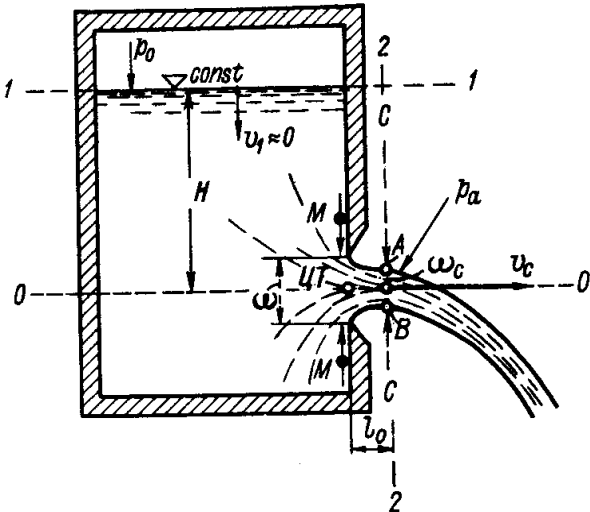
Ingichka devorli tekis to'siqlardagi teshiklardan doimiy naporli suyuqlikning oqishi oqimning kichik tirqishdan atmosferaga oqib chiqishi tadqiqotchilar tomonidan o'tkazilgan tajribalarga asoslanib, oqimning kichik tirqishdan atmosferaga oqib chiqishini 1.88-rasmdagi ko'rinishda ko'rsatish mumkin.

Bunda r_o - suyuqlik erkin sirtiga ta'sir etuvchi tashqi bosim, bu kattalik r_a - atmosfera bosimidan farq qiladi; ω - tirqish yuzasi; ω_c - oqimchaning S-S kesimdagagi yuzasi. N - tirqishning og'irlik markazigacha bo'lgan chuqurlik.

Agar l_o masofada oqimning pastlashishini hisobga olsak, u holda ω_c yuzanining og'irlik markazigacha bo'lgan chuqurlik deb qabul qilishimiz mumkin. Oqimcha S-S kesimgacha keskin siqilib boradi. Bunday holat - suyuqlik zarrachalarining inertsiyasi hisobiga bo'ladi deb qabul qilish mumkin. Bunga misol tariqasida M zarrachaning harakatini ko'rishimiz mumkin. (1.88-rasm).

Agar harakatlanayotgan oqimga havoning aralashishi – aeratsiyani va havo qarshiligini hisobga olmasak, pastlashayotgan zarrachaning tezligi oshganligi sababli, oqimning siqilishi davom etishi kerak.

Agar tirqishdan chiqayotgan suyuqlik oqimchasining tezligi yuqori bo'lsa, oqimning tashqi qobig'ida o'rinda kuchlanishlarning ta'siri kuchayadi. Havo qarshiligi oqimcha tezligini kamaytirib, uning havo bilan aralashish jarayoninini jadallashtiradi va S-S kesimdan keyin oqimcha kengaya boshlaydi. Oqimcha o'z harakatida S-S kesimgacha tez o'zgaruvchan harakatda bo'lib, keyin tekis o'zgaruvchan harakatlana boshlaydi. S-S kesim esa **siqilgan kesim** deb ataladi.



1.88-rasm. Oqimning kichik tirqishdan atmosferaga chiqishi

Xuddi mana shu S-S kesimdan boshlab, oqimcha uchun Bernulli tenglamasini qo'llash mumkin, chunki bu kesimgacha oqimning harakati tez o'zgaruvchadir. AV yo'nalishdagi oqimning tezligi u epyurali to'g'ri to'rtburchakdir. Agar tirqish aylana shaklida bo'lsa, bu siqilgan kesimgacha masofa quyidagicha aniqlanadi:

$$l_0 \approx 0,5D \quad (1.157)$$

bunda, D – tirqish diametri.

Siqilish koeffitsientini quyidagicha aniqlaymiz:

$$\frac{\omega_{\tilde{n}}}{\omega} = \varepsilon \quad (1.158)$$

bunda, ε - siqilish koeffitsienti.

Endi o'rganiladigan muammo sifatida siqilgan kesimdag'i oqimning o'rtacha tezligi v_c va idishdan chiqayotgan oqim sarfini (Q) aniqlaymiz. Buning uchun idishdagi suyuqlik sirtidan 1-1 va siqilgan kesimdan 2-2 kesimni o'tkazib, siqilgan kesim og'irlilik markazidan 00 taqqoslash tekisligini o'tkazamiz. Bu tekislikka nisbatan 1-1 va 2-2 kesimlar uchun Bernulli tenglamasini yozamiz:

$$z_1 + \frac{p_1}{\gamma} + \frac{\alpha g_1^2}{2g} = z_2 + \frac{p_2}{\gamma} + \frac{\alpha g_2^2}{2g} + h_f \quad (1.159)$$

Tenglamaning har bir hadini tahlil qilamiz.

$$\left. \begin{array}{l} z_1 = H; \quad \frac{p_1}{\gamma} = \frac{p_o}{\gamma}; \quad \frac{\alpha g_1^2}{2g} \approx 0 \\ z_2 = 0; \quad \frac{p_2}{\gamma} = \frac{p_a}{\gamma}; \quad \frac{\alpha g_2^2}{2g} \approx \frac{g_2^2}{2g} = \frac{g_c^2}{2g} \end{array} \right\} \quad (1.160)$$

Oqimning idishdagi tezligini hisobga olmasdan, S-S kesimdag'i bosimni atmosfera bosimiga teng deb qabul qilamiz. 1-1 kesimdan 2-2 kesimgacha napor yo'qolishini quyidagicha aniqlaymiz:

$$h_f = \zeta \frac{g_{\tilde{n}}^2}{2g} \quad (1.161)$$

bunda, ζ - qarshilik koeffitsienti.

Demak, (1.160) va (1.161) ifodalarni inobatga olsak, (1.162) tenglamani quyidagicha yozishi mumkin.

$$H + \frac{p_0}{\gamma} = \frac{p_a}{\gamma} + \frac{g_c^2}{2g} + \zeta \frac{g_c^2}{2g} \quad (1.162)$$

Bu holda,

$$H + \left(\frac{p_o}{\gamma} - \frac{p_a}{\gamma} \right) = H_{napor} \quad (1.163)$$

bu erda, N_{kl} - **keltirilgan yoki jamlangan napor** deyiladi. U holda:

$$H_{napor} = (1 + \zeta) \frac{g_s^2}{2g} \quad (1.164)$$

Bundan,

$$g_s = \sqrt{\frac{1}{1+\zeta}} \sqrt{2gH_{napor}} \quad (1.165)$$

yoki

$$g_s = \varphi \sqrt{2gH_{nap}} \quad (1.166)$$

buholda,

$$\varphi = \sqrt{\frac{1}{1+\zeta}} \quad (1.167)$$

deb belgilanib, **tezlik koeffitsienti** deb ataladi.

Agar $r_o = r_a$ bo'lsa, (1.163) ifodani quyidagicha ifodalash mumkin:

$$g_c = \varphi \sqrt{2gH} \quad (1.168)$$

Ideal holatdagi suyuqliklar uchun

$$h_f = \zeta \frac{g_s^2}{2g} = 0 \quad (1.169)$$

va

$$\zeta = 0; \quad \varphi = 1,0 \quad (1.170)$$

ekanligini hisobga olsak,

$$g_s = \sqrt{2gH} \quad (1.171)$$

Bu ifoda **Torrichelli ifodasi** deyiladi. Bu bog'liklikni 1643 yilda Torrichelli aniqlab, $\varphi \approx 1,0$ ekanligini ta'kidlagan. Siqilgan kesimdag'i oqimning o'rtaga tezligini bilgan holda, bu kesimdag'i oqim sarfini aniqlaymiz:

$$Q = \omega_c v_c = \omega_c \varphi \sqrt{2gH} = \omega \frac{\omega_c}{\omega} \varphi \sqrt{2gH} \quad (1.172)$$

Bundan,

$$Q = \varepsilon \varphi \omega \sqrt{2gH} \quad (1.173)$$

yoki

$$Q = \mu_0 \omega \sqrt{2gH} \quad (1.174)$$

$$\mu_0 = \varepsilon \varphi \quad (1.175)$$

μ_0 - tirkishning **sarf koeffitsienti** deb ataladi.

Demak, bu hodisani o'rganishda quyidagi to'rtta yangi koeffitsientlar bilan tanishdik:

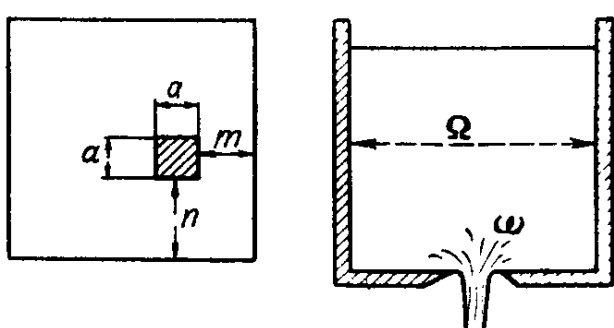
ε - siqilish; ζ - qarshilik; φ - tezlik; μ_0 - tirkishning sarf koeffitsientlari.

1.13.4. OQIMCHALAR TURLARI

Oqimchaning siqilish darajasiga suyuqlik joylashgan muhitning yon devorlari va idish tubi ta'sir ko'rsatishi mumkin. Shu sababli tirkishni yon devorlar va idish tubida joylashgan vaziyatiga bog'liq holatda oqimchaning siqilishi turlicha ko'rinishda bo'lishi mumkin:

To'liq siqilish. Tirkishdan otilib chiqayotgan oqimning siqilishiga suyuqlik joylashgan idishning yon devorlari va tubining ta'siri bo'lmasa bunday siqilish **to'liq amalga oshgan siqilish** deyiladi (1.89-rasm). Bunday siqilish quyidagi shart bajarilganda amalgा oshadi:

$$m > 3a, \quad n > 3a \quad (1.176)$$



1.89-rasm. Oqimning to'liq amalga oshgan va chala siqilishiga doir

Bunda, a – tomonlari uzunligi bir xil bo'lgan tirkish kattaligi, m – tirkishdan yon devorgacha bo'lgan masofa, n – tirkishdan idish tubigacha bo'lgan masofa. (1.5.20) shart bajarilganda tajribalar natijasiga asoslanib, yuqorida sanab o'tilgan koeffitsient-

$$\varepsilon = 0,63 \div 0,64; \quad \zeta = 0,06; \quad \varphi = 0,97; \quad \mu_0 = 0,62 \quad (1.177)$$

To'liq amalga oshmagan siqilish. Tirkishdan otilib chiqayotgan oqimchaning bunday siqilishi (1.177) shart bajarilmagan holatlarda ro'y berishi mumkin.

Ta'kidlash kerakki, tirkishlarning shakli va o'lchamlari bir xil bo'lsada, to'liq amalga oshgan siqilish harakatdagi kesim yuzasi ω_s to'liq amalga oshmagan siqilish kesim yuzasidan kichik bo'ladi.

$$\omega_c > \omega'_c \quad (1.178)$$

To'liq amalga oshmagan siqilishda, sarf koeffitsientini quyidagi ifoda asosida hisoblash mumkin (1.89-rasm):

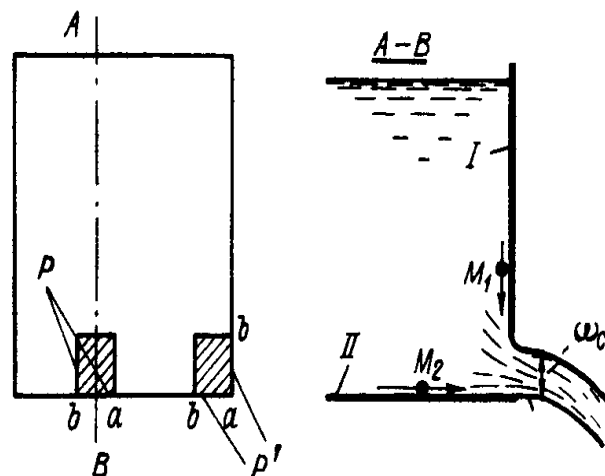
$$\mu_0 \approx \mu'_0 \left(1 + \frac{\tau}{100} \right) \quad \text{bunda,} \quad \tau = f \left(\frac{\omega}{\Omega} \right) \quad (1.179)$$

bo'lib, Ω - idishning gorizontal kesim yuzasi.

Agar, a) $\omega : \Omega = 0,1$ bo'lsa, $\tau \approx 1,5$

b) $\omega : \Omega = 0,2$ bo'lsa, $\tau \approx 3,5$.

Noto'liq siqilish. Noto'liq siqilish m va n kattaliklardan biri yoki har ikkalasi nolga teng bo'lган holatda ro'y berishi mumkin (1.89-rasm). M_1 suyuqlik zarrachasi I yon devor bo'ylab pastga harakatlanib, o'z energiyasi hisobiga tirkishdan chiqib, yuqoriga harakatlana boshlaydi. M_2 zarracha esa II dedevor bo'ylab harakatlanib, tirkishdan chiqqandan keyin ham o'z harakatini davom ettiradi.



1.89-rasm. To'liq siqilmagan oqimcha

Bunday siqilishda ω_c kattalik qiymati ancha katta bo'ladi, shuning hisobiga μ_0 sarf koeffitsienti ancha katta bo'lib, quyidagicha aniqlanadi:

$$\mu_0 \approx \mu_0' \left(1 + 0,4 \frac{P'}{P} \right) \quad (1.180)$$

bunda: P - tirkish perimetri;

P' - tirkishning oqim siqilmagan sohasi perimetri.

Xulosalar:

Demak, tezlik koeffitsienti qiymati $\varphi \approx 1,0$ bo'lsa, siqilish va sarf koeffitsientilari qiymatlari $0,6 \div 1,0$ oralig'ida bo'ladi.

Boshqa hamma sharoitlar bir xil bo'lganda, noto'liq va to'liq amalga oshmagan siqilishdagi oqimcha sarfi (Q), to'liq amalga oshgan siqilishidagi oqimcha sarfidan katta bo'ladi.

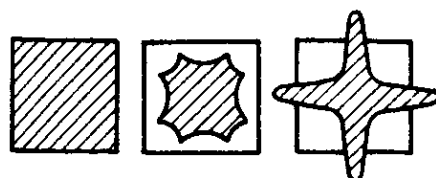
Sarf koeffitsientining yuqorida keltirilgan kattaliklari oqimning turbulent harakati uchun ta'lulqi bo'lib, bunda Reynol'ds soni yuqori bo'ladi va Reynol'ds sonining kichik qiymatlari uchun esa sarf koeffitsienti unga funktional bog'liqdir.

Oqimcha harakati davomida kesim bo'yicha o'z shaklini o'zgartiradi. Bunday o'zgarishlar

Oqimcha traektoriyasi deb, tirkishdan otilib chiqib, og'irligi hisobiga erkin pastlashayotgan oqimcha chizig'iga aytildi. Bu chiziqchaning harakat tenglamasini yozish uchun quyidagicha fikr yuritamiz:

Oqimchaning traektoriyasi

Tik holatda turgan devorda o'rnatilgan tirkishdan otilib chiqayotgan oqimcha harakati bilan tanishamiz. 1.90-rasmida ifodalangan.



1.90-rasm. Oqimcha kesimi
shaklining o'zgarishi

Devordan l_0 masofada joylashgan S-S siqilish ro'y berayotgan kesimni belgilab olamiz. Siqilgan kesim markazida O nuqta belgilab, undan x va z koordinatalarni belgilaymiz. Havo qarshiligini hisobga olmasdan, bu kesimda ϑ_s tezlikka ega bo'lgan zarrachani tanlab olamiz va bu zarracha uchun nazariy mexanika kursidan bizga ma'lum bo'lgan harakat tenglamasini yozamiz:

$$\tilde{\delta} = \vartheta_s t ; \quad z = \frac{gt^2}{2} \quad (1.181)$$

bunda, t - vaqt.

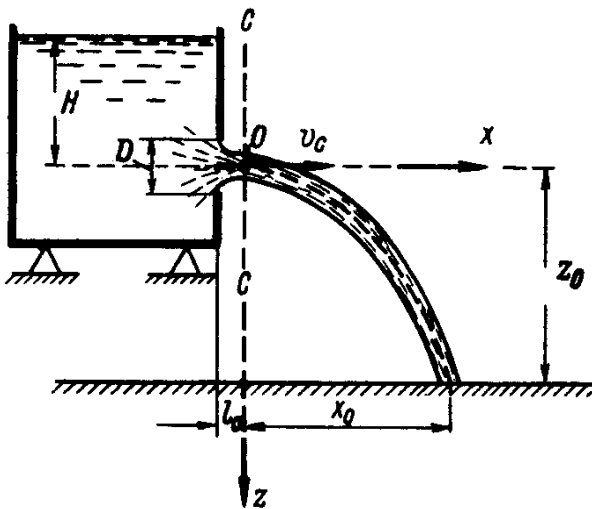
Traektoriya tenglamasini quyidagicha yozishimiz mumkin:

$$z = \frac{gx^2}{2\vartheta_s^2} \quad (1.182)$$

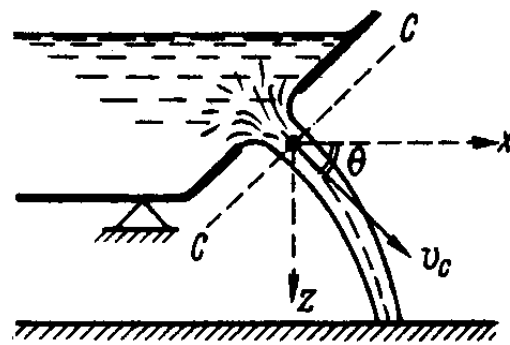
bu erdan:

$$\vartheta_s = \varphi \sqrt{2gH} \quad (1.183)$$

Bu (1.183) tenglama oqimcha traektoriyasi chizig'ini parabola ko'rinishda bo'lishini ko'rsatadi (1.91-rasm).



1.91-rasm. Oqimchaning traektoriyasi (tirqish tik devorda bo'lgan holatda)



1.92-rasm. Oqimcha traektoriyasi (tirqish qiya devorda joylashgan holat uchun)

Unga z_0 qiymatni qo'ysak oqimchaning uzoqlashish masofasi (x_0) ni topishimiz mumkin. Tirqish idish devoriga qiya qilib o'rnatilgan bo'lsa (1.92-rasm), oqim o'qi tenglamasi yuqorida berilgan ko'rinishda bo'ladi, faqat bunda zarrachaning boshlang'ich tezligi (ϑ_s) gorizontga nisbatan θ burchak ostida qiya bo'ladi.

1.13.5. KICHIK VA KATTA TIRQISHDAN OQIMCHANING SUV SATHI OSTIGA CHIQISHI (TIRQISHNING KO'MILGANLIK HOLATI)

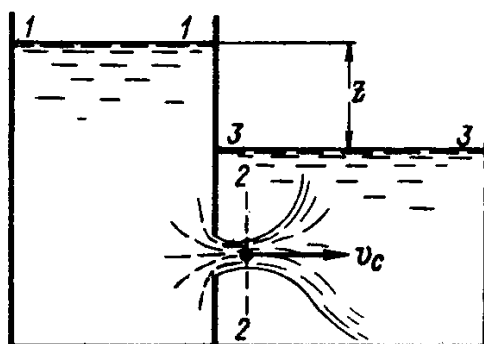
Bunday qo'shilgan tirqish 1.93-rasmida ko'rsatilgan. Bunda z – idishlardagi sathlar farqi. Endi 1-1 va 3-3 kesimlar uchun Bernulli tenglamarini energiya yo'qolishi orqali yozamiz:

$$h_f = Z = \zeta \frac{v_c^2}{2g} = (\zeta_{1-2} + \zeta_{2-3}) \frac{v_c^2}{2g} = (\zeta_{1-2} + 1) \frac{v_c^2}{2g} \quad (1.184)$$

bunda, ζ – kesimlar orasidagi energiyaning yo'qolish koeffitsienti.

Natijada, quyidagi tenglamani olishimiz mumkin:

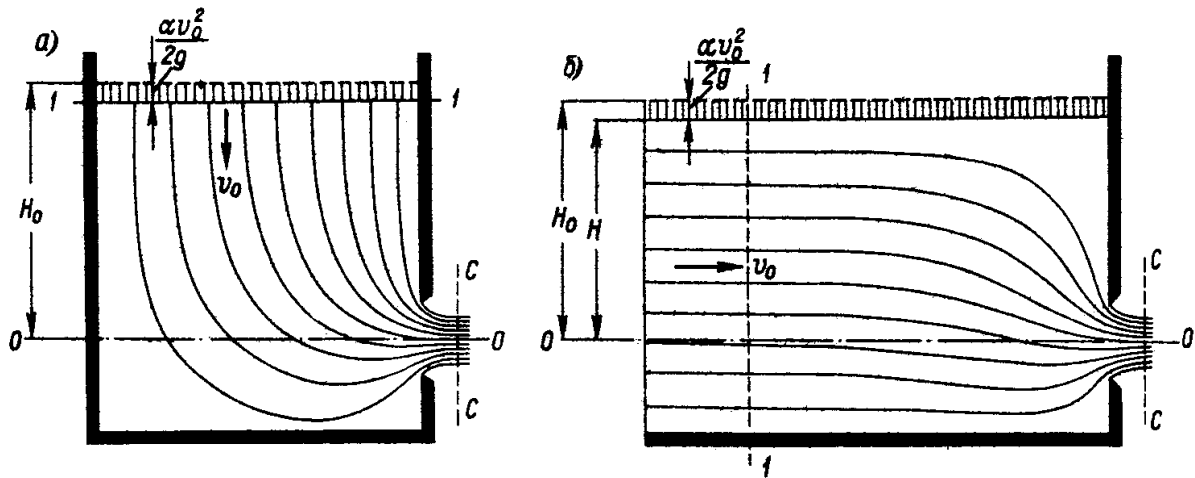
$$Q = \mu_0 \omega \sqrt{2gZ} \quad (1.185)$$



1.93-rasm. Suv ostida joylashgan kichik tirqishdan oqimchaning chiqishi

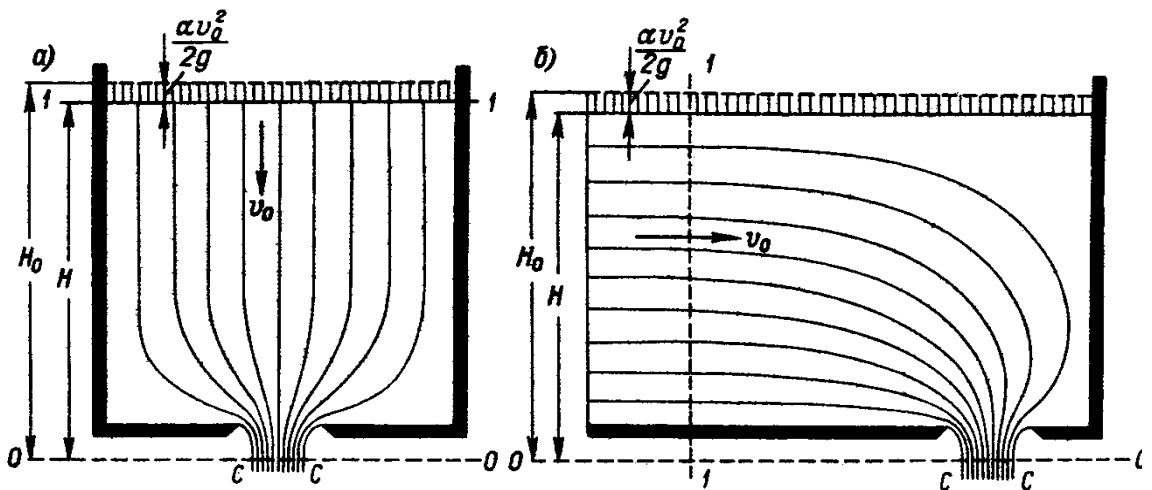
Bu tenglama oqimchaning *tirqishdan suv sati ostiga chiqishini hisoblash tenglamasi* deyiladi.

Tirqish orqali suyuqlik oqimining otilib chiqishi natijasida, idishda joylashgan butun suyuqik massasi harakatga keladi. Suyuqlikning idishga kirib kelishi va tezlik kattaligiga qarab, idishda suyuqlik har xil harakatlanishi mumkin.



1.94, a-b-rasm. Suyuqlikning idishdagi tezligi

- a) suyuqlik ilgarilanma potentsial harakat qilishi mumkin;
- b) aylanma harakat, ya'ni harakatlanayotgan suyuqlikda aylanma harakatlanayotgan sohalar bo'lishi mumkin.



1.95,a-b-rasmlar. Suyuqlikning idishdagi tezligi

1.94, a-b va 1.95. a-b-rasmlarda oqimning ilgarilanma potentsial harakatiga oid harakatidagi harakat chiziqchalari ifodalangan 1.94, b va 1.95, b-rasmlarda I-I kesim tik holatda bo'lib, yaqinlashishi tezligini ϑ_0 deb belgilab olsak, to'liq naporni quyidagicha aniqlashimiz mumkin:

$$H_{I_i} = H + \frac{2\vartheta_0^2}{2g} = H_0 \quad (\text{belgi}) \quad (1.186)$$

I-I va S-S kesimlar orasida energiyaning yo'qolishi φ - tezlik koeffitsienti bilan baholanadi.

Oldingi bilimlarimizga asoslanib aytishimiz mumkinki, 1.94, a va 1.95, b-rasmlardagi idishda harakatlanayotgan suyuqliklar uchun tezlik koeffitsienti 1.94, b- va 1.95, a-rasmlarga nisbatan kichik bo'lishi kerak, lekin tezlik unda uncha katta emasligi va napor yo'qolishi asosan tirkish yaqinida ro'y berganligi uchun koeffitsientning kattaligi deyarli teng deb qabul qilish mumkin.

Agar tirkish kichik bo'lsa, φ koeffitsient kattaligi oqimning harakatiga bog'liq emas. Bunday idishlarda harakatlanayotgan oqim sarfini quyidagi ifoda yordamida hisoblash mumkin:

$$Q = \mu_0 \omega \sqrt{2gH_0} \quad (1.187)$$

Agar I-I kesimdagi oqimning harakatdagi kesim yuzasi ω deb belgilasak,

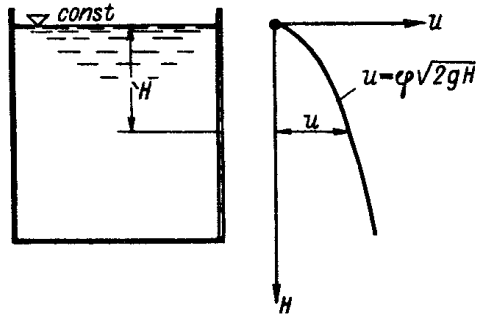
$$\omega > 4,0 \quad (1.188)$$

bo'lganda

$$N_o = N \quad (1.189)$$

deb qabul qilinishi mumkin.

N – napor; ϑ_s - siqilgan kesimdagи oqimning o'rtacha tezligi oshishi bilan oshadi, shu sababli $\vartheta = f(H)$ grafigi 1.96-rasmdagi ko'rinishda bo'lishi tabiiydir. 1.96-rasmdan ko'rinishib turibdiki, A va V nuqtalarning chuqurligi har xildir. Shu sababli, ϑ_A va ϑ_B tezliklar miqdori har xildir.



1.96-rasm. Suyuqlik oqish tezligining cho'kish tezligiga bog'liqlik grafigi

$$\vartheta_A = \varphi \sqrt{2gH_A} \neq \vartheta_B = \varphi \sqrt{2gH_B} \quad (1.190)$$

bunda, N_A va N_V - A va V nuqtalarning 1-1 kesimga nisbatan chuqurligi.

Agar

$$N' \geq 10D \quad (1.191)$$

bunda, N' - tirkishning yuqori qirrasi chuqurligi;

D - tirkish diametri bo'lsa, ϑ_A va ϑ_B kattaliklari orasidagi farq - 5% dan kichik bo'ladi.

Endi kichik va katta tirkishlar deb atalaувчи tushunchalar bilan tanishamiz. Quyidagi ikki shartni bir vaqtida kanoatlantiruvchi tirkishlar *kichik tirkishlar* deyiladi.

1-shart. ϑ_0 - yaqinlashish tezligi nihoyatda kichik, ya'ni (1.187) tengsizlik o'rini;

2-shart. ϑ_A va ϑ_B tezliklar deyarli bir - biriga teng. $\vartheta_A \approx \vartheta_B$, ya'ni (1.190) tengsizlik o'rini bo'ladi.

Bu ikkala shartni inobatga olib, kichik tirkish quyidagi vaziyatlarda mavjud bo'ladi:

Demak, xulosa qilib aytish mumkinki, kichik tirkishlarda $\vartheta_0 = 0$ va $N_o = N$ shart bajarilar ekan.

Katta tirkish deganda esa yuqoridagi ikki shartga bir vaqtida javob bermaydigan tirkishlar tushuniladi. Umuman aytganda, bunday tirkishlar uchun ўшам yuqorida ko'rilgan ifodalar o'rini, lekin sarf koeffitsienti kattaligi har xil bo'ladi. Buning qiymatini aniqlash uchun ko'pgina hollarda maxsus tadqiqotlar o'tkaziladi. Shularning ayrimlari natijalarini keltirishimiz mumkin:

Har tomonidan oqim siqiladigan tirkishlarda, $\mu_0 = 0,65$;

To'liq siqilmagan oqimlar mavjud tirkishlar uchun, $\mu_0 = 0,70$;

Loyqa yotqiziqlarini chiqarishga mo'ljallanadigan tirkishlar uchun:

a) yondan siqilish bo'lsa, $\mu_0 = 0,65 \div 0,70$;

b) yon tomonidan siqilish kam bo'lsa, $\mu_0 = 0,70 \div 0,75$;

v) siqilish bo'limganda, $\mu_0 = 0,80 \div 0,85$;

1.13.6. NAYCHALARING SHAKLLARIGA UMUMIY KO'RSATMALAR

Biz, yuqorida uzun va qisqa quvurlar tushunchalari bilan tanishgan edik. Bunda, biz ta'kidlagan edikki, uzun quvurlarda naporning faqat uzunlik bo'yicha yo'qolishi hisobga olinadi, qisqa quvurlarda esa har ikkala naporning yo'qolishi hisobga olinadi.

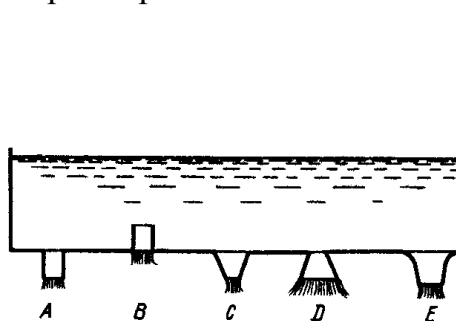
Naychaning quyidagi ko'rinishlari mavjud (1.97-rasm):

- 1) Tashqi tsilindrsimon naycha - Venturi naychasi (1.97, A-rasm);
- 2) Kichik tsilindrsimon naycha - Borda naychasi (1.97, V-rasm);
- 3) Konussimon naychalar: torayuvchi (1.97, S-rasm) va kengayuvchi (1.97, D-rasm) naychalar;
- 4) Tomonlari tekis egiluvchan naycha (1.97, E-rasm).

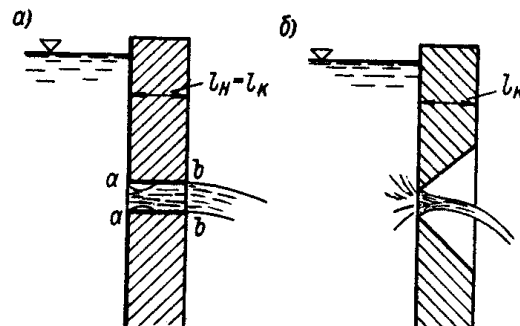
Endi oqimni qalin devordagi tirqishdan chiqishi bilan tanishamiz (1.98, a-rasm). Gidravlika nuqtai nazardan *ab* Venturi naychani ko'rishimiz mumkin.

a-a kesimni «kirish» va *b-b* kesimni «chiqish» kesimlari deb ataymiz. Ular orasidagi masofani l_H deb belgilab, uni «naycha uzunligi» yoki «devorning gidravlik qalinligi» deb belgilab olishimiz mumkin.

1.98, b-rasmdagi amaliy nuqtai nazardan «kirish» va «chiqish» kesimlar o'zaro ustma ust tushib, $l_H \approx 0$ bo'ladi. Tuzilishi qalin bo'lsada, gidravlikada bu devorni yupqa devor deb qabul qilamiz.



1.97-rasm. Tirqish turlari

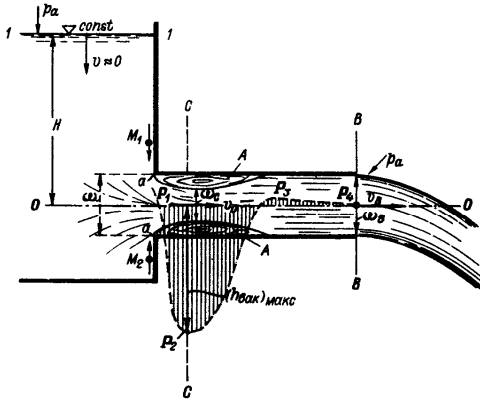


1.98-rasm. Ingichka (a) va qalin (b) devordagi tirqishlardan suyuqlikning chiqishiga doir

Bundan tashqari shuni ta'kidlashimiz kerakki, naychalar bilan tanishganimizda kvadrat qarshiliklar sohasiga mos keluvchi oqimning turbulent harakatini ko'rish bilan chegaralanamiz.

TASHQI TSILINDRSIMON NAYCHA. (VENTURI NAYCHASI)

Suyuqlikning atmosferaga chiqishidagi harakati (1.56-rasm). Suyuqlik oqimchasi o'zining og'irligi hisobiga paydo bo'ladigan inertsiya kuchi hisobiga, dastlab ω_s kesim kattaligigacha siqiladi, keyin kengayib, butun naychani egalaydi. (1.99-rasmda M zarrachaning harakati fikrimizga dalil bo'lishi mumkin). Bunda aylanma harakatga ega bo'lgan *A* sohani kuzatish mumkin.



1.99-rasm. Venturi naychasi

A aylanma soha va bu soha bilan o'tayotgan oqimchani ajratib turuvchi sir haqida naporning mahalliy yo'qolishining umumiyl tavsifi haqida aytilgan barcha fikrlar o'rinnlidir.

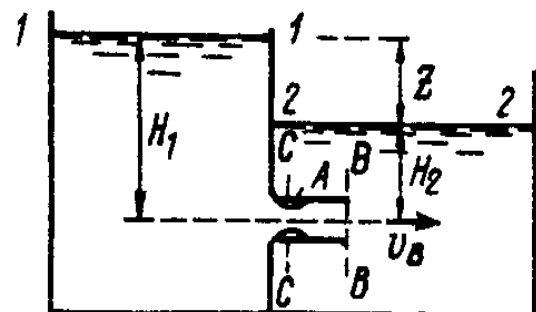
Bu soha va soha maydonida o'tuvchi oqimcha ham vakuum – bo'shliqqa ega. Bo'shliqning eng katta qiymati $S-S$ kesimda mavjud bo'ladi, shuning hisobiga tezlik va kinetik energiyasi eng katta qiymatiga ega bo'ladi.

Bizga ma'lumki, kinetik energiyaning oshishi, potentsial energiyaning kamayishiga olib keladi.

Agar $\vartheta - \vartheta$ kesimda bosim atmosfera bosimiga teng bo'lsa, $S-S$ kesimda esa siqilish hisobiga tezlikning os'i-si sababli, bosimni kamayganligini ko'ramiz.

Yuqoridagi mulohazalarimizga asosan, bu sohada p'ezometrik chiziq – R_1 R_2 R_3 R_4 ko'rinishida bo'ladi (1.57-rasm).

Oqimning naychadan chiqish tezligi (ω_B) va *sarfni* (Q) hisoblash ifodalari. Bu ifodalarni olish uchun 1.56 va 1.57-rasmlardagi 1-1 va $\vartheta - \vartheta$ kesimlar yoki 1-1 va 2-2 kesimlar uchun Bernulli tenglamasini yozib, quyidagilarni olamiz:



1.100-rasm. Venturi naychasiidan oqimchaning suv sathiga oqib chiqishi

Oqimchaning atmosferaga chiqishi (1.100-rasm).

$$\vartheta_e = \varphi \sqrt{2gH} \quad (1.193)$$

bunda, ϑ_B – oqimchaning $\vartheta - \vartheta$ kesimdagagi chiqish tezligi; N – naychaning og'irlilik markazidan idishdagi suyuqlik sathigacha bo'lgan balandligi; φ – tezlik koeffitsienti bo'lib, quyidagicha aniqlanadi:

$$\varphi = \sqrt{\frac{1}{1 + (\zeta_{nay})}} \quad (1.194)$$

bunda, (ζ_{nay}) - qarshilik koeffitsienti.

$$h_{n.y} = (\zeta_{nay}) \frac{g_B^2}{2g} \quad (1.195)$$

bunda, $h_{n.y}$ - naychadagi naporning yo'qolishi.

Sarf quyidagicha aniqlanadi:

$$Q = \mu_n \omega \sqrt{2gH} \quad (1.196)$$

bunda, μ_n - naychaning sarf koeffitsienti. Naychada siqilish yo'q deb qabul qilganimiz sababli:

$$\mu_n = \varepsilon_A \varphi = \varphi \quad (1.197)$$

$$\text{Shuning uchun } \varepsilon_a = \frac{\omega \hat{a}}{\omega} = 1,0$$

(1.198)

deb qabul qilishimiz mumkin.

Oqimchaning suv sathi ostiga chiqishi (1.100-rasm). Bunday holda (1.196) ifodalar o'rniqa quyidagilarni yozishimiz mumkin:

$$g_A = \varphi \sqrt{2gZ} \quad (1.199)$$

$$Q = \mu_n \omega \sqrt{2gZ} \quad (1.200)$$

bunda, Z - satqlar orasidagi farq; φ - tezlik koeffitsienti bo'lib, quyidagicha aniqlanadi:

$$\varphi = \sqrt{\frac{1}{(\zeta_{nay})_{k.o}}} = \sqrt{\frac{1}{\zeta_{nay} + 1}} \quad (1.201)$$

bunda, μ_n - sarf koeffitsienti bo'lib, $\mu_n = \varphi$ deb qabul qilishimiz mumkin.

ε , ζ , φ , μ_n koeffitsientlar kattaliklari. V-V kesimda $\varepsilon_B = 1,0$ deb qabul qilishimiz mumkin. S-S kesimda ε_C - siqilish koeffitsienti eng katta qiymatga ega bo'lib, quyidagiga teng:

$$\varepsilon_C = (0,63 \div 0,64)$$

Naychadan oqimchaning atmosferaga chiqish koeffitsienti esa, quvurga kirish koeffitsientiga teng deb qabul qilinadi, ya'ni:

$$\zeta_{nay} = \zeta_{kir} = 0,5$$

Sath ostiga chiqishda esa

$$(\zeta_{nay})_{k.i} = \zeta_{kir} + \zeta_{chig} = 0,5 + 1,0 = 1,5$$

φ - sarf koeffitsienti har ikkala holat uchun tengdir.

$$\varphi = \mu_n = \sqrt{\frac{1}{1+\zeta_{nay}}} = \sqrt{\frac{1}{(\zeta_{nay})_{k,i}}} = \sqrt{\frac{1}{1+0,5}} = 0,82 \quad (1.202)$$

Suyuqlikning ingichka devordagi tirkishdan va Venturi naychasidan chiqishini taqqoslash. Buning uchun ikkala holatda sarf va tezlikni taqqoslasmiz. Venturi naychasida (atmosferaga chiqishi):

$$Q_{nay} = 0,82\omega\sqrt{2gH}; (\vartheta_{\hat{A}})_{nay} = 0,82\sqrt{2gH} \quad (1.203)$$

Ingichka devordagi tirkishdan (atmosferaga) chiqishi:

$$Q_T = 0,62\omega\sqrt{2gH}; (\vartheta_s)_{\hat{O}} = 0,97\sqrt{2gH} \quad (1.204)$$

Demak,

$$\frac{Q_{nay}}{Q_{\hat{O}}} = \frac{0,82}{0,62} \approx 1,34 \quad (1.205)$$

$$\frac{(\vartheta_{\hat{A}})_{nay}}{(\vartheta_s)_{\hat{O}}} = \frac{0,82}{0,97} \approx 0,85 \quad (1.206)$$

Naychaning ancha effektivligi ko'rinib turibdi. Sarf 34% oshib, tezlik 15% kamaymoqda. Bunda sarfnинг oshishini kesimning chiqishda kengayishi va o'z navbatida tezlikni kamayishi bilan tushuntirish mumkin.

S-S kesimdagagi vakuum kattaligi.

Oqimning atmosferaga chiqishi. Bu kattalikni aniqlash uchun og'irlik markazidan o'tuvchi 00 tekislikka nisbatan $S-S$ va $V-V$ kesimlar uchun Bernulli tenglamasini yozamiz. (1.100-rasm).

$$\frac{\delta_{\hat{N}}}{\gamma} + \frac{\vartheta_{\hat{N}}^2}{2g} = \frac{p_a}{\gamma} + \frac{\vartheta_{\hat{A}}^2}{2g} + h_{j_{\hat{N}-\hat{A}}} \quad (1.207)$$

bunda, δ_C va ϑ_C kattaliklar $S-S$ kesimga ta'lulqlidir.

$$h_{j_{C-B}} = \zeta_{C-B} \frac{\vartheta_{\hat{A}}^2}{2g} \quad (1.208)$$

$$\vartheta_{\hat{N}} = \frac{\vartheta_{\hat{A}}}{\varepsilon_{\hat{N}}} \quad (1.209)$$

(1.208) va (1.209) ifodalarni (1.207) ifodaga qo'yamiz.

$$\frac{\vartheta_{\hat{A}}^2}{\varepsilon_{\hat{N}}^2 2g} - \frac{\vartheta_{\hat{A}}^2}{2g} - \zeta_{C-B} \frac{\vartheta_{\hat{A}}^2}{2g} = \frac{\delta_a}{\gamma} - \frac{\delta_{\hat{N}}}{\gamma} = (h_{vak})_{maks} \quad (1.210)$$

yoki

$$(h_{vak})_{maks} = \left(\frac{1}{\varepsilon_{\hat{N}}^2} - \zeta_{C-B} - 1 \right) \frac{\vartheta_{\hat{A}}^2}{2g} \quad (1.211)$$

bunda, $(h_{vak})_{max}$ - $S-S$ kesimdagagi vakuum kattalik.

Bunda (1.204) ifodani (1.211) ga quyib, quyidagiga ega bo'lamiz:

$$(h_{vak})_{maks} = kN \quad (1.212)$$

bunda,

$$k = \varphi^2 \left(\frac{1}{\varepsilon_C^2} - \zeta_{C-B} - 1 \right) \quad (1.213)$$

Agar (1.213) ifodaga φ , ε_C va ζ_{C-B} koeffitsientlarning son qiymatlarini qo'ysak, quyidagiga ega bo'lamiz:

$$k = 0,82^2 \left(\frac{1}{0,63} - 0,35 - 1 \right) = 0,77 \quad (1.214)$$

Demak,

$$(h_{vak})_{maks} = (0,75 \div 0,80)H$$

(1.215)

Sath ostiga oqish. 1.100-rasmdagi S-S va 2-2 kesimlar uchun Bernulli tengamasini yozib, yuqoridagidek fikr yuritsak, quyidagiga ega bo'lamiz:

$$(h_{vak})_{maks} = (0,75 \div 0,80)Z - H_2 \quad (1.216)$$

bunda, Z va N_2 kattaliklar rasmida ko'rsatilgan.

Agar N_2 katta qiymatga ega bo'lsa, ifodada $(h_{vak})_{maks}$ manfiy qiymatga ega bo'ladi, demak vakuum bo'lmaydi.

Tsilindirsimon qisqa quvurning Venturi naychasidek ishlashi uchun mavjud bo'lishi kerak bo'lgan asosiy shartlar. Hamma qisqa quvurlar ham Venturi naychasidek ishlashi mumkin emas. Masalan 1.58-rasmdagi vaziyatlar ham bo'lishi mumkin.

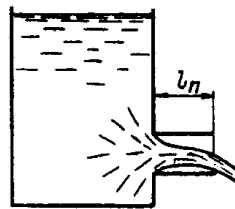
Qisqa quvurning naychadek ishlashi uchun quyidagi ikkita shart bajarilishi kerak.

1-shart. Quvurchaning uzunligi l_n quyidagicha bo'lishi kerak.

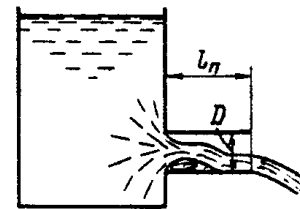
$$(3,5 \div 4,0)D \leq l_n \leq (6 \div 7)D$$

(1.217)

bunda, D - quvurcha diametri.



a).



b).

1.101, a-b-rasmlar. Venturi naychasida vakuumning hosil bo'lishi (quvur uzunligi qisqa bo'lganda)

Agar $l_n < (3,5 \div 4,0)D$ bo'lsa, 1.101, a-b-rasmlardagi vaziyat yuzaga keladi. quvurcha uzunligi qisqa bo'lganligi sababli oqimcha sharakatlanib kengayishga ulgurmaydi;

Agar $l_n > (6 \div 7)D$ bo'lsa, bunda «qisqa quvur» paydo bo'lib, bunda naporning uzunlik bo'yicha yo'qolishini hisobga olishga to'g'ri keladi.

shart. Maksimal vakuumda quyidagi shart bajarilishi kerak:

a) atmosferaga chiqishda (1.101-rasm):

$$(h_{vak})_{maks} \leq (h_{vak})_{=o'sh}$$

b) sath ostiga chiqishda (1.101-rasm):

$$(h_{vak})_{maks} \leq (h_{vak})_{=o'sh} - N_2 \quad (1.218)$$

bunda, $(h_{vak})_{=o'sh} \approx 8$ m. suv ustuniga tengdir.

II. NASOSLAR

2.1. UMUMIY TUSHUNCHALAR. PORSHENLI NASOSLAR

Nasoslar. Suyuqlikning bosimi va energiyasini oshirish evaziga suyuqlikni haydaydigan gidravlik mashinalarga **nasoslar deb ataladi**.

Nasoslar elektr dvigatel (ED) lari yordamida harakatga keltiriladi va elektr dvigatelining mexaniq enegiyasini suyuqlik energiyasiga aylantirib beradi. Suyuqlikning energiyasi esa holat va bosim energiyasidan tashqil topgan potentsial hamda kinetik energiyalardan tashqil topgan bo'ladi. Shuningdek, havo va gaz hisobiga suyuqlikni haydaydigan mashina va apparatlarga ham **nasoslar deb yuritiladi**.

Ishlash qoidasi va konstruktiv tuzilishga ko'ra nasoslarni uch guruhga bo'lish mumkin:

Parrakli (dinamik), hajmiy va oqimchali nasoslar.

Parrakli nasoslarning ishlash qoidasi hamda parrak bilan suyuqlikning o'zaro ta'sirlanishi evaziga suyuqlikni haydashga mo'ljallangan bo'ladi. Hajmiy nasoslarning ishlash qoidasi esa nasos ishchi kamerasidagi hajm va bosimning o'zgarishi evaziga haydashga muljallangan bo'ladi.

Hajmiy nasoslar ikkita katta guruhga **porshenli** va **rotorli nasoslarga** bo'linadi. Bu nasoslar o'z navbatida bir qancha kichik guruhchalarga bo'linadi.

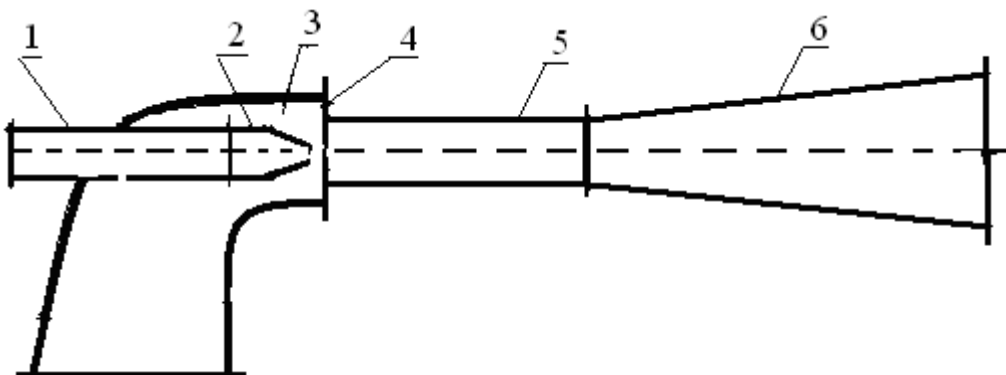
1. Hajmiy nasos (ob'emniy nasos) deb – suyuqlik egallagan kamerasi galma-gal kirish va chiqish yo'llari bilan tutashib, hajm davri o'zgarishi natijasida suyuqlik harakatlanadigan nasoslarga aytiladi. Hajmiy nasosning suyuqlik o'tadigan asosiy qismlari - suyuqlik so'rish kanali, kamera va uning berkitgtchlari hamda siqb chiqargichlari, suyuqlikning haydash kanallaridan iborat bo'ladi. Hosil qiladigan bosimning maksimal qiymati, odatda, nasos qismlarini mustahkamligi shartiga va dvigatelning quvvatiga ko'ra erishiladigan maksimal bosim qiymati, maxsus klapan yordamida cheklanadi. Hajmiy rotorli nasoslarning ilgarilanma-qaytarmali va boshqa turlari bor.

2. Parrakli nasos (krilchatiy nasos)lar – bu ish qismlari qaytma-burilma harakatlanadigan hajmiy nasoslardir. Bu nasos asosan toza suyuqliklarni uzatishda ishlatiladi. Nasosning kirishdagi klapanlari korpusiga qo'zg'almas qilib o'rnatilgan. Haydash klapanlari esa, qo'zg'aluvchan parrakka joylashtirilgan. Haydash klapanlari dastak yordamida tebranma harakat qiladi va porshenli nasosning porsheniga o'xshab ishlaydi. Parrakli nasos 10-20 naporda 2-12 m³ suyuqlik uzatib beradi.

3. Oqimchali nasos (struyyali) – suyuqlik yoki gazni tashqi suyuqlik yoki gazsimon muxit oqimi bilan ergashtirib haydaydigan ishqalanish kuchiga asoslangan nasos sxemasi quyidagi rasmda keltirilgan.

Oqim turiga ko'ra suyuqlik, gaz va bug' oqimli nasoslarga bo'linadi. Oqimchali nasosda harakatlanuvchi qism bo'lmaydi. Bunday nasoslarning tuzilishi soda, kavitatsiya darajasi kam va FIK 40% gacha bo'ladi. Bu nasoslar ko'pincha uchish

apparatlarining yonilg'i bilan ta'minlash tizimlarida, payvandlash gorelkalarida va boshqa tizimlarda keng qo'llaniladi.



2.1-rasm. Oqimchali nasos sxemasi;

1 - muhitning tashqi oqimini keltirib beruvchi quvur; 2 – soplo; 3 – haydalayotgan muhitga havo berish sohasi; 4 – aralashish kamerasiga kirish; 5 – aralashish kamerasi; 6 – oqim qismini statik bosimga aylantiruvchi duffuzor.

Nasoslarning tuzilishi, parametrlari, suyuqlikka energiya berish usuli va boshqa ko'rsatkichlariga qarab turlicha klassifikatsiyalash usullari mavjud.

Eng ko'p tarqalgan usul, ularni ishslash printsipiga qarab klassifikatsiyalashdir. Bunda nasoslar asosan ikkita katta guruhga, dinamik ya'ni, kurakli va hajmiy nasoslarga bo'linadi.

Bu ikki guruh nasoslar deyarli barcha nasoslarni o'z ichiga oladi, lekin bir qancha boshqacha printsipda ishlaydigan nasoslar bu ikki klassga kirmaydi. Bularga oqimchali nasoslar (uchinchı klass sifatida ajratish mumkin) va boshqa ko'targichlar kiradi. Kurakli nasoslar yana markazdan qochma, o'qiy, propellerli va uyurma nasoslarga bo'linadi. Tuzilishi va ishslash printsipi bir xil bo'lgani uchun ventilyatorlarni ham kurakli nasoslar klassiga kiritish mumkin. Ventilyatorlarning ham markazdan qochma, o'qiy va propellerli turlari mavjud. Kurakli nasoslar ularning bir valida bitta yoki bir nechta ish g'ildiragi o'rnatilishiga qarab bir pog'onali va ko'p pog'onali nasoslarga ajratish mumkin. Markazdan qochma nasoslar so'rish usuliga qarab bir tomonlama so'ruvchi va ikki tomonlama so'ruvchi nasoslarga bo'linadi.

Hajmiy nasoslar ikki gruppaga, porshenli va rotorli nasoslarga bo'linadi. Bu nasoslar o'z navbatida yana bir qancha kichik gruxlarga bo'linadi. Oqimchali nasoslar esa ejektor, injektor va gidroelektorlarni o'z ichiga oladi. Nasoslarni bunday klassifikatsiyalashga ishlab chiqarishda eng ko'p tarqalgan ikki tur (markazdan qochma va porshenli) nasoslar atrofida barcha nasoslarni gruppalashga intilish asos bo'lgan bo'lsa kerak.

Nasoslarni suyuqlikka bergen bosimining miqdoriga qarab, past bosimli (bosimi 20 m suv ust. gacha), o'rtacha bosimli (bosimi 20 ... 60 m suv ust. ga teng), yuqori bosimli (bosimi 60 m suv ust. yuqori) nasoslarga ajratish mumkin. Ularning sarfiga qarab past, o'rtacha va yuqori sarfli nasoslarga bo'lish mumkin.

Energiyaning nasosga qanday berilishiga qarab, nasoslarni klassifikatsiyalashga intilish ham bo'lgan. Bu qayd etilgan oxirgi uch tur klassifikatsiyalashning har biriga

ham barcha mavjud nasoslarni kiritish mumkin bo'lgani bilan, bu uch usul juda katta kamchilikka ega, chunki bu usullarda bir gruppaga porshenli, markazdan qochma, rotorli, propellerli va ishslash printsipi tamoman bir – biridan farqlanuvchi boshqa nasoslarni kirishi mumkin. Suyuqlikka berilgan energiya turiga qarab klassifikatsiyalash ancha qulaydir. Nasosdan o'tayotgan suyuqlikka berilgan energiya uch xil bo'lishi mumkin: holat energiyasi (Z); bosim energiyasi $\left(\frac{P}{\gamma}\right)$ va kinetik energiya $\left(\frac{v^2}{2g}\right)$.

Faqat holat energiyasi beruvchi mashinalarga suv ko'targichlar deyiladi. Agar ko'tarilayotgan suyuqlik faqat suv emas, balki neft, turli moylar va boshqa xil suyuqliklar ham bo'lishi mumkinligini hisobga olsak, bu mashinalarni suyuqlik ko'targichlari deyish kerak bo'ladi. Bu gruppaga suv ko'tarish uchun ishlatilgan barcha qadimgi qurilmalar: charxpalak, chig'ir, Arximed vinti va boshqalar kiradi. Zamonaviy qurilmalardan bu gruppaga kiradiganlari qatoriga kam debitli quduqlardan neft chiqaruvchi tortuv qurilmalari, chuqur quduqlardan gaz va havo yordamida suyuqlik (suv, neft) ko'taruvchi ko'targichlar kiradi.

Ikkinchchi gruppaga suyuqlikka bosimni orttirish yo'li bilan energiya beruvchi nasoslarni kiradi. Suyuqlikni porshenli bosimi (porshenli nasoslarni), aylanuvchi jismlar (rotorli nasoslarni), siqilgan havo, gaz yoki bug' (pnevmatik suv ko'targichlar, Gemfri nasosi va h.k.) yordamida siqib chiqarish mumkin. Bular suyuqlikka gidravlik zarb orqali impuls beruvchi mexanizmlar (gidravlik taran) ham kiradi.

Uchinchi grupperda nasoslarda suyuqlikkakinetic energiya berilib, so'ngra u bosim energiyasiga aylantiriladi. Bular birinchi galda kurakli (markazdan qochma, parrakli, ukiy) nasoslarni kiradi (ularda ish qismi valda aylanuvchi kurakli g'ildiraklardir), ikkinchidan oqimchali nasoslarni (ejektorlar, injektorlar, gidravlik elevatorlar) kiradi (ularda suyuqlikka energiya beruvchi boshqa suyuqlik, gaz yoki bug'dir). Nasoslarni va suv ko'targichlarni yuqorida zikr etilganlar bo'yicha gruppashni quyidagi sxemada tasvirlash mumkin.

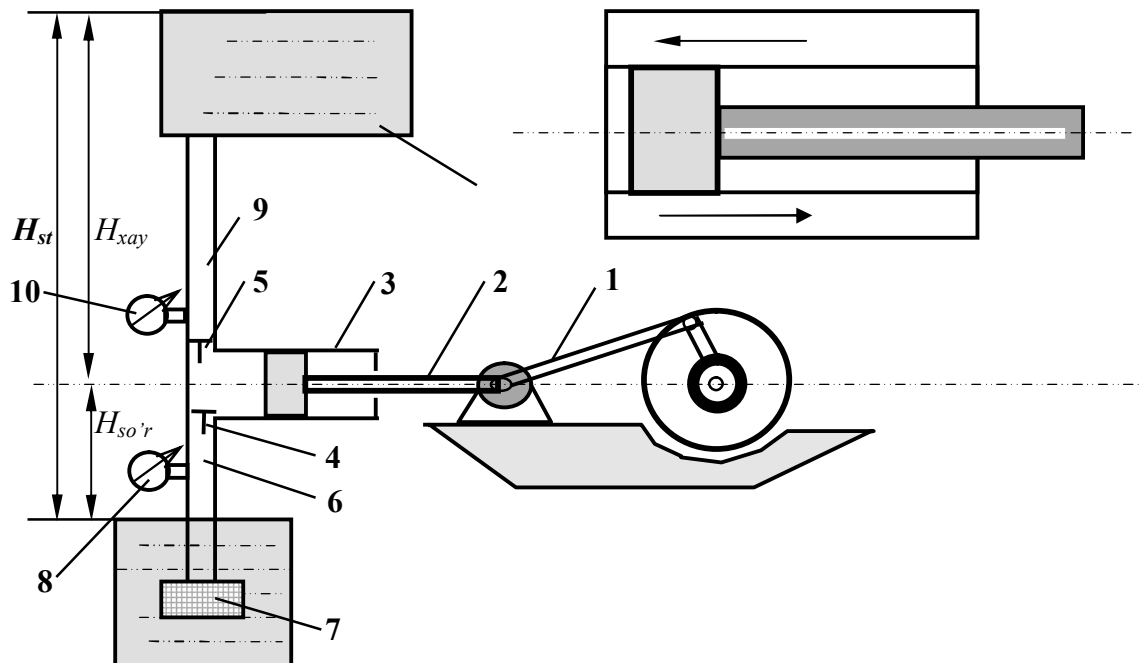
2.2. PORSHENLI NASOSLARNI TURLARI VA HARAKAT PRINTSIPI

Yuqorida ko'rib o'tilganidek, hajmiy gidravlik mashinalar - gidravlik nasoslarga va gidrosvigatellarga bo'linadi. Hajmiy gidravlik nasoslarning ishslash jarayonlari asosan so'rish jarayonida hajm kengayishi va haydash jarayonida hajm qisqarish ko'rinishida sodir bo'ladi. Hajmiy gidravlik mashinalarga porshenli - plunjeringli nasoslarning va gidrosvigatellarning barcha turlari kirib, ulardan tashqari tishli g'ildirakli, plastinkali, diafragmali va vintsimon gidronasoslarni va gidrosvigatellar ham kiradi. Hajmiy gidravlik mashinalarning tuzilishi, ishslash printsipi, hisob tenglamalari va asosiy harakteriskalarini o'rganamiz.

Porshenli va plunjeringli nasoslarning tuzilishi va ishslash printsipi. Porshenli nasos qurilmasining eng sodda sxemasi 2.2-rasmda keltirilgan. Bu nasoslarda suyuqlikning so'riliishi va haydalishi porshen yoki plunjerning tsilindrida ilgarilanma - qaytma harakatiga asoslangan. Bunda porshen plunjering (3) (2.2-rasm) tarkibida shtok (2) bo'lgan krivoship -shatunli mexanizm (1) yordamida harakat qiladi. Porshen (plunjering) tsilindr ichida chapdan o'nga qarab harakatlanganda ish kamerasidagi suyuqlik porshen (plunjering 3) orqasidan ergashib tsilindr ichiga kiradi va hajm kengayishi sodir bo'ladi. Bu

o'z navbatida ish kamerasida vakuum hosil qiladi. Bu vakuum ma'lum bir chegaraga etganda ish bo'lmasidagi bosim bilan tirkak yopqich (7) ostida bo'lgan bosim orasidagi farq so'rish yopqichi (4)ni ochadi va suyuqlik so'rish quvuri (6) orqali ish bo'lmasiga kiradi. So'rish jarayoni porshen (plunjer) o'zining oxirgi so'rish nuqtasiga etguncha davom etadi. Bunda so'rish quvurida hosil bo'lgan vakuumni vakuummetr (8) yordamida o'lchanadi. Ta'minlovchi idishdagi suyuqlik sathidan nasos tsilindirining eng yuqori sathigacha bo'lgan balandlik so'rish balandligi N_s deyiladi.

Porshen (plunjer) o'ngdan chapga qarab harakatini davom ettirganda ish bo'lmasidagi bosim ortib, so'rish yopqichi yopiladi. Bo'lmadagi bosim ortishida davom etib, tsilindr ichidagi bosimning qiymati haydash yopqichi (5) ning prujinasini elastiklik kuchidan ortganda haydash yopqichi (5) ochilib, manometr (10) orqali suyuqlik haydash quvuri (9) iste'molchiga etkaziladi. Shu bilan nasosning so'rish - haydash jarayonining tsikli tugaydi.



2.2-rasm. Bir porshenli (plunjjerli) nasosning sxematik chizmasi.

So'rish balandligi bilan haydash balandligining yig'indisi $H_{cm} = H_c + H_x$ nasosning tortish balandligi yoki to'liq statik bosimi deb ataladi.

Nasosning asosiy ko'rsatkichlari, nasosning so'rish balandligi, nazariy sarfi, FIK lari va quvvatidir.

a) Nasosning so'rish balandligi quydagi tenglama yordamida aniqlanadi:

$$I_s = (D_0 / \gamma) - b, \quad [m] \quad (2.1)$$

Bu erda: R_o - so'rileyotgan suyuqlikning sirtiga ta'sir etuvchi bosim (ochiq idishlarda atmosfera bosimiga teng, yopiq idishlarda idish ichidagi bosimga teng); γ_s - suyuqlikning solishtirma og'irligi $[H/m^3]$; b - suyuqlik bug'inining elastikligi $[m]$.

b) Nasosning nazariy sarfi quydagи tenglama yordamida aniqlanadi:

Tsilindrдagi yuqori sath bilan suyuqlik ko'tarilgan eng yuqori sathlarning farqi haydash balandligi N_x deyiladi.

$$Q_n = \frac{F_{st} L \cdot i \cdot n}{60} \left[\frac{\text{m}^3}{\text{min}} \right]. \quad (2.2)$$

Bu erda: $F_{st} = \frac{\pi D^2}{4} [m^2]$ - tsilindrning ko'ndalang kesimi yuzasi;

L -

porshenning tsilindr ichida bosib o'tgan yo'li [m]; i - tsilindrlar soni; n - krivoshish-shatunli mexanizmning bir minut ichida aylanishlar soni [$ayl./min$].

v) Nasosning o'qidagi indikator (nazariy) quvvati quyidagi tenglama yordamida aniqlanadi:

$$N_i = \frac{P_i \cdot F_{st} \cdot L \cdot i \cdot n}{60} \left[\frac{\text{Hm}}{\text{sek}} \right]. \quad (2.3)$$

Bu erda: R_i - to'liq indiqator (nazariy) bosim, [N/m^2].

g) Nasos ishlaganda uning haqiqiy sarfi nazariy sarfidan har doim kichik bo'ladi.

Bunga asosiy sabab, nasosda sodir bo'layotgan hajmiy yo'qotilishlardir. Hajmiy yo'qotilishlarga quyidagilar kiradi: So'rish hamda haydash yopqichlarining o'z vaqtida yopilmasligi (inertsiyasi) natijasida ma'lum bir miqdordagi suyuqlik haydash quvuriga uzatilmaydi, ya'ni so'rish quvuriga qaytib tushadi. Bundan tashqari so'rish jarayonida tsilindr suyuqlik bilan to'liq to'lmay qolishi mumkin va haydash jarayonida porshen va tsilindr orasidagi tirkishlardan ma'lum miqdordagi suyuqlik porshenning orqasiga o'tib ketishi mumkin. Bular o'z navbatida hajmiy yo'qotilishlarga olib keladi. Uning qiymati hajmiy FIK yordamida aniqlanadi, ya'ni:

$$h_\delta = \frac{Q_{xay}}{Q_n} \quad (2.4)$$

Bu erda: Q_x - nasosning haqiqiy sarfi.

Hajmiy yo'qotilishdan tashqari mexaniq yo'qotilish ham sodir bo'ladi.

Bu asosan nasosning ishqalanadigan qismlari (porshen va tsilindr orasidagi, podshipniklarda, tirsakli o'qlarda va h.k.larda) da mexaniq energiyaning issiqlik energiyasiga aylanishi ko'rinishida sodir bo'ladi va shuning natijasida nasosni aylantirish uchun ketgan haqiqiy quvvat N_x har doim nazariy quvvat, ya'ni indikator quvvat N_i dan katta bo'ladi.

Mexanik yo'qotilishlar mexaniq FIK yordamida aniqlanadi, ya'ni:

$$h_m = \frac{N_i}{N_x} \quad (2.5)$$

Bu turdagи nasoslarning asosiy kamchiliklaridan biri, suyuqliknинг haydash quvuriga uzib - uzib berishidir. Bu kamchilikni kamaytirish asosan tsilindrlar sonini ko'paytirish yo'li bilan amalga oshiriladi. Asosiy kamchiligi bo'lib, porshenning tsilindr ichidagi yurish tezligining chegaralanganligidir. Bunga asosiy sabab so'rvuchи hamda haydovchi yopqichlarning inertsiyasidir. Bu kamchilikni kamaytirish maqsadida radial

rotorli va aktsial rotorli porshenli (plunjjerli) nasoslar ishlab chiqilgan. Bu nasoslarda yopqichlar o'rniga zolotniksimon taqsimlagichlar qo'llilanilgan bo'lib, bular odatda ikkita tsilindrsimon teshiklarning bir-biriga to'g'ri kelishi shaklida ishlovchi taqsimlagichlar ko'rinishida tuzilgan. Bu erda yopqichlar inertsiyasi umuman bartaraf qilingan. Shuning uchun bu turdag'i nasoslarda porshenning tsilindr ichida yurish tezligi chegaralanmaydi, ya'ni so'rish jarayonida tsilindrning to'liq to'lmaslik holati sodir bo'lmaydi, o'z navbatida hajmiy FIK qiymatini orttiradi.

2.2.1. RADIAL ROTORLI PORSHENLI (PLUNJERLI) NASOSLARNI VA GIDRODVIGATELLARNI TUZILISHI VA ISHLASH PRINTSIPI

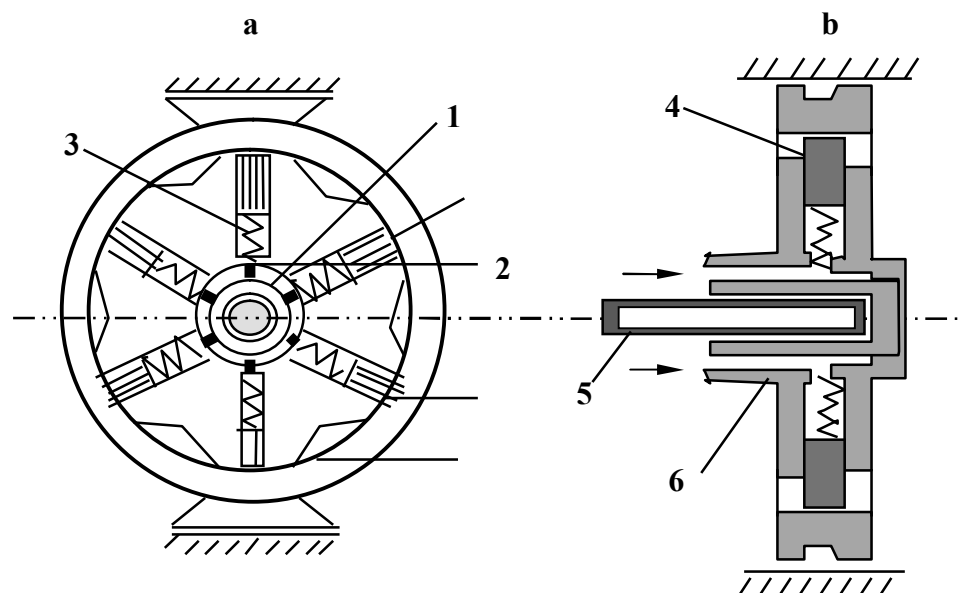
Radial rotorli porshenli (plunjjerli) nasos rotor (2), doiraviy yo'naltirgichli (4) stator (1) va porshencha (plunjjercha) lar (3) dan iborat (2.3-rasm): Rotor qo'zg'almas o'q (5) atrofida aylanadi. Porshenchalar ilgarilanma-qaytma harakat qilib, o'z tsilindrлaridan chiqib purjina yordamida yo'naltiruvchi (4) ga tomon qattiq itariladi. Rasmdagi shtrixlangan qism teshik (6) dan suyuqlik bilan to'ldiriladi, tsilindrning ish hajmi qisqargan paytda teshikdan suyuqlik haydab chiqariladi. Bu nasosning ikkinchi turi ekstsentrifik-plunjjerli nasos bo'lib, ularda aylanayotgan ekstsentrifikning yuzasiga porshenchalarining shtoki tashqaridan tegib o'tadi.

Bu nasosda plunjer ilgarilanma - qaytma harakatni ekstsentriskdan oladi.

Nasosning nazariy sarfi quyidagi tenglama yordamida aniqlanadi:

$$Q_n = \frac{\pi \cdot D^2 \cdot \ddot{a}Zn}{\gamma} \quad [m^3/sek]. \quad (2.6)$$

Bu erda: D - tsilindr ko'ngdalang kesimining yuzasi, $[m^2]$; Z - tsilindrlar soni, $[dona]$; n - tsilindr blokining vaqt birligi ichida aylanish soni, e - ekstsentrrotitit, ya'ni tsilindr bloki va stator markazi orasidagi masofa.



2.3-rasm. Radial rotorli porshenli nasos.

Nasosning sarf tenglamasidan ko'rinadiki, agarda $e = 0$ bo'lsa, ya'ni rotor hamda statorlarning markazlari bir-birining ustiga tushsa, nasos sarfining qiymati 0 ga teng bo'lar ekan. Bundan ko'rinadiki, ekstsentrrotititning, ya'ni e - ning qiymatini o'zgartirish natijasida nasosning ma'lum bir aylanish tezligidagi beradigan sarfini o'zgartirish imkoniga ega bo'lamiz. Buning uchun bu turdag'i nasoslarga maxsus qurilma ko'zda tutilgan. Bu turdag'i nasoslarning krivoship-shatunli mexanizmli nasoslardan afzalligi, bir qobiq (stator) ichida bir necha tsilindrлarni o'rnatish imkoniyati mavjud. Bu o'z navbatida nasosning o'lchamlarini kichiklashtirib sarfini ko'paytirish imkonini hosil qiladi. Undan tashqari nasos sarfini o'zgartirish imkoniga ham paydo bo'ladi.

Bu turdag'i nasoslар гидравликател ко'ринишда ham ishlashi mumkin. Buning uchun nasosning so'rish yoki haydash quvuri orqali boshqa nasos tomonidan bosim orqali suyuqlik berilsa, shu suyuqlik bosimining porshenlar yuzasiga ta'siri natijasida porshenni tsilindr ichidagi harakat qilishga majbur etadi. Bu o'z navbatida rotorni aylanma harakat qildiradi, ya'ni nasos гидравликател ко'ринишда ishlay boshlaydi. Uning aylanishlar soni quydagi tenglama yordamida aniqlanadi:

$$n = \frac{Q_{kab}}{q_{ish}} \left[\frac{\text{ayl}}{\text{min}} \right] \quad (2.7)$$

Bu erda: Q_{kab} - boshqa nasos tomonidan beriladigan, ya'ni гидравликател qabul qiladigan suyuqlik sarfi [m^3/min]; q_{ish} - гидравликателning ish hajmi, [m^3].

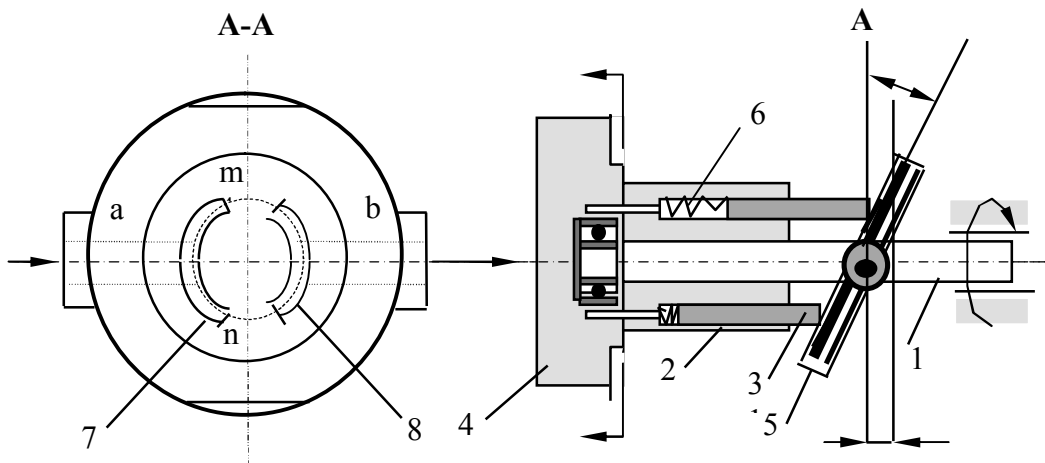
2.2.2. AKSIAL-ROTORLI PORSHENLI (PLUNJERLI) NASOSLARNING VA GIDRODVIGATELLARNING ISHLASH PRINTSIPI

Akisal-rotorli porshenli (plunjерli) nasoslarda tsilindrлar aylanish o'qiga paralel joylashgan bo'ladi. (2.4-rasm).

Nasosda rotor vazifasini tsilindrлardan iborat blok (4) o'taydi va o'q (1) yordamida aylantiriladi. Taqsimlash disk (5) va yotiқ disk (2) nasos ishlagan paytida qimirlamasdan turadi. Porshenchalar (3) yotiқ diskga tegib turadi. Porshenchalar yuqorida prujina (6) bilan oldinga itariladi, pastda esa yotiқ disk (2) ning ta'sirida orqaga qaytadi. Suyuqlik tsilindrлarda kanal (a) dan taqsimlanadi va kanal (b) dan haydaladi. Porshenchalarning (n) holatidan (m) holatga o'tishi so'rishning (m) holatidan (n) ga o'tishi haydashni bildiradi. Porshenning yo'li disk (2) ning gorizontal bilan hosil qilgan burchagi γ bilan aniqlanadi. Odatda, tsilindrлar bloki aylanadi, taqsimlash qurilmasi esa qo'zg'almasdir. Blok (4) aylanayotganda, yotiқ disk (2) va o'q yoki prujina (6) yordamida porshenlar (3) tsilindr ichida ilgarilanma-qaytma harakatlanadi. Taqsimlash disk (5) dan uzoqlashgan porshenlar suyuqlikni so'radi, unga yaqinlashganda esa suyuqlikni haydaydi. TSilindrлarga suyuqlikni keltirish va chiqarish tsilindrлar bloki chetidagi teshiklar orqali bajariladi. Teshikchalar taqsimlagich (5) da joylashgan o'roqsimon taqsimlash tuynukchalar (7, 8) bilan ketma-ket ulanadi. Porshenlar chekka nuqtalariga etganda tsilindr teshiklari (7, 8) tuynukchalar orasiga to'g'ri kelib, so'rish va haydash yo'llarini bir-biridan ajratib qo'yadi.

Nasosni hisoblashni soddalashtirish maqsadida quyidagi shartlarni qabul qilamiz: shatunlar va porshenlarning o'qlari bir-biriga to'g'ri keladi va shatunlar bir-biriga

nisbatan parallel harakat qiladi. Ularning tashqi sharnirlari markazlari blok o'qi atrofida aylana chizadi.



2.4-rasm. Aksial-rotori porshenli (plunjjerli) nasosning sxematik ko'rinishi

Yuqorida qabul qiligan shartlar asosida nasosning nazariy unumdarligini quyidagicha yozish mumkin:

$$q = \pi \cdot d^2 z h \quad q = \pi \cdot d^2 \quad (2.8)$$

Agar $h = D \sin \gamma$ teng bo'lsa, nasosning vaqt birligi ichidagi nazariy sarfi Q_n quyidagi tenglama yordamida aniqlanadi:

$$Q_n = \frac{\pi \cdot d^2 z \cdot n \cdot D \sin \gamma}{4}, \quad \left[\frac{sm^3}{sek} \right] \quad (2.9)$$

Bu erda: d - tsilindrning diametri, [cm]; z - tsilindrler soni; n - o'qning vaqt birligi ichidagi aylanish soni, [ayl./min]; D - qiyshiq diskdagagi porshenlar harakati traektoriyasining diametri, [cm]; $\sin \gamma$ - qiyshiq diskning o'qqa nisbatan burchagi.

Bu turdagи nasoslar ham gidrodvigatel ko'rinishida ishlash imkoniga egadir. Buning uchun uning so'rish yoki haydash quvuri orqali bosim ostidagi suyuqlik berilsa, bu suyuqlikning porshenlar yuziga ta'siri natijasida hosil bo'lgan kuch asosida porshen tsilindr ichida ilgarilanma-qaytma harakat qiladi. Bu esa o'z navbatida tsilindr blokini, ya'ni gidrodvigatels o'qini aylanma harakatga olib keladi. O'qning aylanishlar soni quyidagi tenglama yordamida aniqlanadi:

$$n = \frac{Q_{kab}}{q_{ish}} \quad \left[\frac{ayl}{min} \right] \quad (2.10)$$

O'qda hosil bo'lувчи moment kuchi quyidagi tenglama yordamida aniqlanadi:

$$\dot{I} = F \cdot r \cdot \sin \gamma. \quad [H \cdot m] \quad (2.11)$$

Bu erda: $F = \frac{p \cdot d^2 P}{4}$. [H] r - elkaning radiusi.

Bu turdag'i nasoslarning beradigan sarfini yoki gidrovvigatellarning o'qining aylanish sonini o'zgartirish uchun qiyshiq diskning o'qqa nisbatan burchagini o'zgartirish natijasida hosil qilinadi. Bu o'z navbatida porshenning tsilindr ichidagi yurish yo'lini o'zgartiradi. Ya'ni, sarf yo ko'payadi, yo kamayadi (nasoslarda) yoki gidrovvigatelning ish hajmi (q_{ish}) ni o'zgartirishga olib keladi. Bu esa uning o'qining aylanishlar sonini o'zgartiradi.

Umuman olganda, radial-rotorli va aksial-rotorli porshenli (plunjерli) nasoslar katta bosim hosil qilganliklari uchun gidrotizmlarda asosiy gidravlik energiya manbasi shaklida keng qo'llaniladi. Gidrovvigatellar to'g'risida ham shunday xulosaga kelishimiz mumkin, chunki bu turdag'i gidrovvigatellarning 1 kg og'irligiga 8 ot kuchi to'g'ri keladi. Bu juda katta ko'rsatkich bo'lib, boshqa turdag'i dvigatellarning ko'rsatkichlari bunga nisbatan juda ham pastdir. Bu turdag'i nasoslar va gidrovvigatellarning umumiy FIK ham nihoyatda yuqoridir (0.9:-0.95) gacha borishi mumkin.

Porshenli nasoslarga masalalar

1-masala. Porshenli nasos yordamida suv $h=0,5$ m, chuqurlikdan ko'tarilmoqda. Agar quvur diametri $d=100$ mm, 1-1 kesimdag'i bosim $R_m=40$ kPa, suv tezligi $\vartheta_1=1,12$ m/s bo'lsa, hadash quvur diametrini – d_2 aniqlang.

Echimi: 1-1 va 2-2 kesimlar uchun Bernulli tenglamasini yozamiz. Taqqoslash tekisligini quvur o'qi bo'ylab o'tkazamiz.

$$\frac{P_1}{\gamma} + \frac{P_{Ag}}{\gamma} + \frac{\vartheta_1^2}{2g} = \frac{D_2}{\gamma} + \frac{\vartheta_2^2}{2g};$$

2-2 kesimdag'i tezlik damini aniqlaymiz:

$$\frac{V_2^2}{2g} = \frac{P_1}{\gamma} + \frac{P_{Ag} - P_2}{\gamma} + \frac{V_1^2}{2g},$$

$$\frac{P_{Ag} - D}{\gamma} - 2-2 \text{ kesimdag'i vakuum miqdori}, \quad D_2 + \gamma h = P_{Ag}; \quad h = \frac{P_{Ag} - P_2}{\gamma} = 0,55 \text{ m}$$

$$1-1 \text{ kesimdag'i tezlik napori}, \quad \frac{\vartheta_1^2}{2g} = \frac{1,12^2}{19,62} = 0,064 \text{ m.}$$

Bernulli tenglamasiga qo'yib, V_2 – ni aniqlaymiz:

$$\frac{\vartheta_2^2}{2g} = 0,4 + 0,55 + 0,0644 = 1,014 \text{ m},$$

$$g_2 = \sqrt{19,62 \cdot 1,014} = 4,46 \text{ m/s.}$$

u holda d_2 - quyidagicha aniqlanadi:

$$d_2 = \sqrt{\frac{4Q}{\pi g_2}} = 0,05 \text{ m.}$$

2-masala. Rezervuarga neftni porshenli nasos yordamida uzatiladi. Nasosni 2ng chiqish qismiga o'rnatilgan manometr ko'rsatishi $R_1=0,2 \text{ mPa}$, nasosdan rezervuargagi suyuqlik sathigacha bo'lган balandligi $N=2,0 \text{ m}$, rezervuarga o'rnatilgan manometr ko'rsatishi $R_2=0,1 \text{ mPa}$, quvur diametri $d=50 \text{ mm}$ va quvurning qarshilik koeffitsienti $\xi=0,5$ bo'lsa, nasos uzatayotgan sarf miqdorini aniqlang.

3-masala. Porshenli nasos yordamida $N=2 \text{ m}$ chuqurlikdan suv ko'tariladi. Agar porshen $g=0,5 \text{ m/s}$ tezlikda harakat qilsa, porshen hosil qilgan bosimni aniqlang.

4-masala. Nasosning so'rovchi quvurida yo'qolgan damni (napor)ni aniqlang. Nasos kamerasi hosil bo'lган vakuumetrik bosim $R_U=0,4 \text{ at}$, quvur uzunligi $l=3,0 \text{ m}$, gidravlik ishqalanish koeffitsienti $\lambda=0,03$ va nasos sarfi $Q=10 \text{ l/s}$ va diametri $d=150 \text{ mm}$ bo'lsin.

5-masala. Porshenli nasosning so'rish quvurining diametri $d=60 \text{ mm}$ bo'lган neft quvuriga p'ezometr $h=60 \text{ sm}$ va Pito naychasi $N=70 \text{ sm}$ o'rnatilgan. Quvurdan o'tayotgan neft sarfi va p'ezometr ulangan kesimdagagi bosimni aniqlang.

2.2.3. PORSHENLI NASOSLAR KLASSIFIKATSIYASI

Porshenli nasoslar dvigatelni mexanik energiyasi hisobiga ishlaydi va suyuqlikka mexanik energiya berib, uni yuqoriga uzatadi. Nasoslar quvurlar sistemasiga qo'shimcha energiya berishi bilan birga o'zida va sistemada quvur uzunligi bo'y lab qarshilik kuchlaridagi oqim kesimini o'zgartirishida va harakat yo'nalishini o'zgarishida hamda statik balandlikni yonishi uchun ya'ni suyuqliknini kerakli balandlikka uzatishdagi energiya kuchi va shu balandlikni o'tishdagi qarshiliklarni engishda qo'shimcha energiya hosil qiladi.

Porshenli nasoslar quyidagi tartibda klassifikatsiyalarini.

1. Harakat keltiruvchi ta'sir uslubiga qarab:

- A) Nasosdan tashqarida joylashgan qo'rg'oshin-shatun mexanizmi dvigatelb orqali porshenni shu mexanizm orqali ishga tushurish;
- B) Nasos bilan bir umumiaggregatga ega bo'lган ilgarilanma va qaytarma harakat qilib, porshenni yuqoriga yurgizuvchi shtok orqali ishga tushurish;
- V) Qo'l kuchi bilan ishga tushurish.

2. Suyuqliknini siqib chiqaruvchi a'zosining jinsiga qarab:

- A) Disk shaklidagi porshen bo'lган porshenli;
- B) Plunjjerli porshen uzun tsilindr shaklidagi;
- V) Diafragmali haydalayotgan yoki tortilayotgan suyuqlik plunjjer yoki porshenden diafragma orqali ajratilgan, tsilindir esa ishchi suyuqlik-yog' yoki emulsia bilan to'latilgan (1.3-rasm);

- G) Bu nasoslar ishida qattiq zarrachalar bo'lган suyuqliknini so'rishga moslangan.

3. Ta'sir usuliga qarab:

- A) Birtomonlama ta'sirli (1.2-rasm);
- B) Ikkijoqlama ta'sirli (1.3-rasm);
- V) Differentsiali (1.1-rasm).

4. TSlindirning joylashuviga qarab:

- A) Gorizontalli; B) Vertikalli.

5. TSlindir soniga qarab:

- A) Bir tsilindrli;
- B) ikki tsilindrli;
- V). uch tsilindrli;
- G). ko'p tsilindrli.

6. Tortib olinuvchi suyuqlik jinsiga qarab:

- A). Oddiy (sovuj suvni so'ruvchi);
- B). Issiqli (issiq suyuqlik uchun);
- V). Kislotali;
- G). Bug'lovchi (loyqa aralashmani so'ruvchi) va boshqalar.

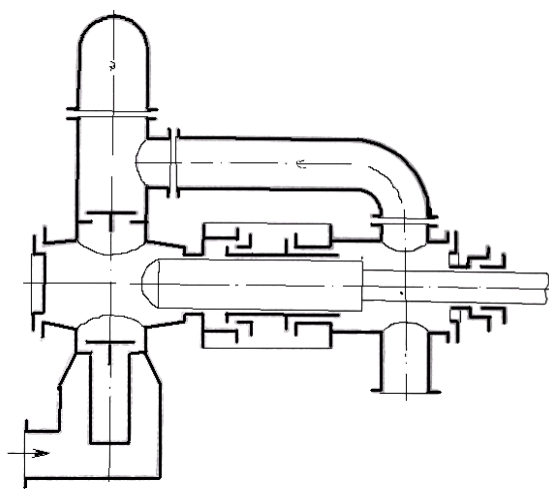
7. Ishchi a'zoli tezlashishiga qarab:

- A). Sekin yuruvchi porshenning (plunjер) ikki yoqlik sonni minutiga 40-80;
- B). O'rtacha tezlashuvchi valni aylanish tezligi 80-50 ayl/min.
- V). Tezligi katta bo'lgan, porshening ikki yoqli soni minutiga 150-350.

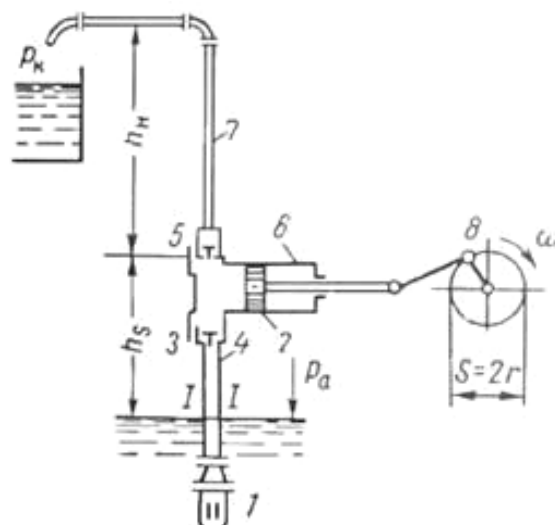
Bulardan tashqari nasoslar suyuqlik uzatilish miqdoriga qarab, kichik (porshen diametri $D \leq 50 \text{ mm}$), o'rtacha ($D = 50 \div 150 \text{ mm}$) va katta ($D > 150 \text{ mm}$) turlarga bo'linadi.

Bosim o'zgarishiga qarab, nasoslar kichik, o'rta va yuqori bosimli nasoslarga bo'linadi.

Porshenli nasoslarning qurilmasi va ta'sir printsiplari



2.5-rasm. Differentsiali nasos



2.6-rasm. Bir yoqlamali porshen nasosining sxemasi

2.5 va 2.6-rasmlarda gorizontal porshenli bir yoqlamali ta'sirga ega bo'lgan nasosning sxemasi berilgan. U tsilindr (6), porshen ikki tsilindr ichida zich joylashgan

holda ilgarilanma-qaytarma harakat qiladi. Ular boshqaruvchi klapanlar so'rvuchi (3) va haydovchi (5) lar bilan ta'minlangan. Nasosning pastki korpusiga so'rvuchi quvur (4) va qabul qiluvchi to'r (setka, panjara) (1) mahkamlangan. To'r esa ayrim predmetlar va nasos harakatiga to'sqinlik qiluvchi nasoslarni ulab qo'yishga mo'ljalangan.

Kravaship 80° dan 180° oralig'ida o'zgarishi bilan porshen (2) o'zining harakati davomida tsilindr hajmi kattalashadi va siyraklashgan fazalar hosil bo'ladi. So'rvuchi klapan (3) ochiladi va suyuqlik so'rvuchi quvur (4) ga atmosfera bosimi ostida tsilindr hajmini to'latadi. Porshen teskari harakat qilishi natijasida qo'rg'oshin 180° dna 360° gacha o'zgarib so'rvuchi klapani yopadi va haydovchi klapanini ochadi. Haydovchi klapan (5) ochilishi natijasida (7) quvurga tsilindr ichidagi suyuqlikn haydaydi.

Porshen nasosida etaklovchi valning birgina aylanishida so'rish boshlanadi. Unda pastki havzadan nasos tsilindriga suyuqlik ko'tariladi, tsilindr ichida suyuqlik siqilib haydash quvuriga uzatilishida barcha qarshiliklarni engish jarayoni sarf qiluvchi energiyani hosil qiladi.

Porshen nasosining yuqtuqlari va kamchiliklari

Porshen nasoslari klapan konstruksiyasiga qarab faqat toza suyuqlikn so'rishga asoslangan. Turli ifloslanishlar turli nasos klapanlarini tez ishdan chiqaradi. Ilgarilanma qaytarma harakat natijasida inerttsiya kuchi katta qiyomatga ega bo'lganligi uchun porshen tezligi chegaralangan bo'lib uning qiymati $0.5\text{-}1\text{ ms}$ ni tashkil qiladi. Porshen nasoslar suyuqlikn uzib-uzib haydaydi. Markazdan qochmi nasosga qaraganda kurinishi katta bo'lib, uning konstruksiyasini murakkab holga olib keladi. Ammo porshen nasoslar yuqori bosimli naporni hosil qiladi. Porshen nasosining FIK markazdan qochma nasosga nisbatan ancha yuqori.

2.3. PORSHENLI NASOSLAR ISH UNIMDORLIGI VA ULARDAN FOYDALANISH

Porshenli nasos qurilmasining eng sodda sxemasi 2.6 – rasmida keltirilgan. Bu nasoslarda suyuqlikning so'rishi va haydalishi porshenning tsilindrda ilgarilanma – qaytma harakat qilishiga asoslangan. Bunda porshen 3 (2.6 – rasm) tarkibida shtok 2 bo'lgan krivoship – shatunli mexanizmi 1 yordamida harakatga keladi. Porshen tsilindr ichida qaytma (orqaga) harakat qilganida uning oldidagi ish bo'shlig'ining hajmi ortib, siyraklanish hosil bo'ladi. Bu siyraklanish ma'lum bir chegaraga etganida ish bo'shlig'idagi bosim r_s bilan tovonli klapan 7 ostidagi bo'lgan bosim orasidagi farq so'rish klapani 4 ni ochadi va suyuqlik so'rish quvuri 6 orqali ish bo'shlig'iga kiradi. Nasoslarda suyuqlik qaysi tipdagi kuchlardan (dinamik kuchlar yoki statik kuchlar) foydalanib so'riliishiga qarab, ular dinamik yoki hajmiy nasoslarga bo'linadi. Bunda yuqoridagi klasifikatsiyaga kirgan nasoslarning porshenli va rotorli turlari hajmi nasoslarga, qolganlari esa dinamik nasoslarga kiradi.

So'riliish jarayoni porshen o'zining eng chekka so'riliish chegarasiga etguncha davom etadi. Bunda so'riliish trubasidagi siyraklanishni so'rish klapani oldiga joylashtirilgan vakuummetr yordamida o'lchash mumkin. Ta'minlovchi idishdagi suyuqlik sathidan nasos tsilindrining eng yuqori sathigacha bo'lgan balandlikka so'rish balandligi N_s deyiladi. So'rish balandligi chegaraviy so'rish balandligi $N_s < N_{chs}$ dan katta bo'lmasligi kerak.

Porshen (plunjер) ilgarilanma (oldinga) harakat qilganda esa ish bo'shlig'idagi bosim ortib, so'rish klapani yopiladi.

Bo'shliqdagi bosim ortishda davom etib, uning miqdori suyuqlikni haydash bosimi r_x ga etganida haydash klapani ochilib, suyuqlik haydash trubasi 9ga o'ta boshlaydi. Suyuqlikni haydash porshenining eng chekka haydash chegarasiga etguncha davom etadi.

Nasosni ishga tushirganimizda, u avval so'rish trubasidagi havoni tortadi va suyuqlik hosil bo'lgan bosimlar farqi ta'sirida so'rish trubasiga ko'tariladi. Nasos bir oz vaqt ishlagandan so'ng so'rish trubasi va tsilindrini havo haydab chiqarilib, suyuqlik tsilindrni to'ldiradi. Shundan keyin nasos moslangan tartibda ishlay boshlaydi. Natijada ta'minlovchi idishdagi suyuqlik qabul qiluvchi idishga o'tadi. TSilindrini yuqori sath bilan suyuqlik ko'tarilgan eng yuqori sathning farqiga haydash balandligi N_x deyiladi.

So'rish balandligi bilan haydash balandligining yig'indisi $N_s + N_x$ nasosning tortish balandligi yoki to'liq statik bosimni beradi. Porshenli nasoslarning turli loyihalari bilan ko'rilgan turlari ishlab chiqarishning ko'p sohalarida qo'llaniladi.

Yuqorida aytganimizdek, porshenli nasoslardan yuqori bosim kerak bo'lganda ishlatiladi. Amalda ko'p hollarda porshenli nasoslardan markazdan qochma nasoslardan o'rnida foydalaniladi. Hajmiy gidrouzatmalar tarkibida ishlayotgan nasoslardan asosan porshenli nasoslardan turiga kiradi. Bu aytgilgandandan tashqari, porshenli nasoslarning yana bir ustunligi ularning foydali ish koeffitsientining yuqoriligidir. Porshenli nasoslarning markazdan qochma nasoslardan yana bir farqi shundaki, uning so'rishini haydash trubasiga o'rnatilgan zadvijka yordamida o'zgartirib bo'lmaydi. Lekin haydash trubasining kesimi kichrayib borishi bilan suyuqlik tezligi va zadvijka oldidagi bosim orta boradi. Agar zadvijka butunlay bekitib qo'yilsa, bosim juda kattalashib ketishi natijasida yo nasos buziladi yoki truba yoriladi, yoxud zo'riqishning ortib ketishi natijasida dvigateb to'xtab qoladi. Shuning uchun porshenli nasoslardan yuqori bosimda o'zgarmas so'rish miqdori zarur bo'lgan hollarda foydalaniladi.

Porshenli nasoslarning markazdan qochma nasoslarga taqqoslangandagi asosiy kamchiligi ularning qo'polligi, qimmat turishi, ishlatish murakkabligidir. Bu nasoslarni markazdan qochma nasoslarga nisbatan ko'proq kuzatib turish talab qilinadi, chunki porshenli nasoslarning klapanlari tez-tez ifloslanib turadi. Ifloslanish nasosning boshqa qismlarida ham sodir bo'ladi.

2.3.1. NASOSNING BOSIMI, UNUMDORLIGI (SO'RISH MIQDORI)

Nasosning bosimi - N deb, nasosdan o'tayotgan suyuqlikning birlik og'irligiga berilgan energiya (boshqacha aytganda nasosdan o'tayotgan suyuqlik oqimining solishtirma energiyasi)ga aytildi. N suyuqlik ustunining metrlarida o'lchanadi.

Bosim ikki usulda aniqlanadi:

- 1) nasos qurilmasining o'lchov asboblari ko'rsatishidan (nasos ishlab turganda);

2) nasos qurilmasi qismlarida suyuqlikka berilgan solishtirma energiyalar yig'indisidan.

Birinchi usulda bosim quyidagicha hisoblanadi. Avval nasosga kirishdagi energiya hisoblanadi:

$$e_1 = H_s + \frac{P_s}{\gamma} + \frac{\vartheta_s^2}{2g} \quad (2.12)$$

Bu erda, N_s , r_s , ϑ_s — tegishlicha so'rish balandligi, bosimi va tezligi. So'ngra nasosdan chiqishdagi energiya hisoblanadi:

$$e_2 = H_s + H_0 + \frac{P_x}{\gamma} + \frac{\vartheta_x^2}{2g} \quad (2.13)$$

Bu erda, N_0 - kirishdagi vakuummetr bilan chiqishdagi manometrlarda qaror topgan sathlar farqi; R_x , ϑ_x - haydash bosimi va tezligi.

Nihoyat chiqish va kirishdagi solishtirma energiyalar farqini hisoblab, nasosdan o'tayotganda suyuqlik olgan energiya topiladi. Bu faqat nasosning bosimiga teng bo'ladi:

$$\dot{I} = \dot{a}_2 - \dot{a}_1 = (\dot{I}_s + \dot{I}_i + \frac{P_{\delta}}{\gamma} + \frac{\vartheta_{\delta}^2}{2g}) - (\dot{I}_s + \frac{\delta_s}{\gamma} + \frac{\vartheta_s^2}{2g}) = \dot{I}_i + \frac{\delta_{\delta} - \delta_s}{\gamma} + \frac{\vartheta_{\delta}^2 - \vartheta_s^2}{2g} \quad (2.14)$$

So'rish bosimini vakuummetrning ko'rsatishi bo'yicha topish mumkin:

$$R_s = R_a - R_{vak} \quad (2.15)$$

Haydash bosimi esa manometrning ko'rsatishidan aniqlanadi:

$$\delta_{\delta} = \delta_a + \delta_{man} \quad (2.16)$$

Bu munosabatlardan foydalanib, vakuummetrik hamda manometrik bosimlarni tegishli bosim miqdorlari orqali ifodalab:

$$\dot{I}_{vak} = \frac{\delta_{vak}}{\gamma} \quad \dot{I}_{man} = \frac{\delta_{man}}{\gamma} \quad (2.17)$$

nasosning bosimi uchun quyidagi munosabatni olamiz:

$$\dot{I} = \dot{I}_{man} + \dot{I}_{vak} + \dot{I}_i + \frac{\vartheta_{\delta}^2 - \vartheta_s^2}{2g} \quad (2.18)$$

Ko'pincha, tezlik bosimlarining ayirmasi kichik miqdor bo'lgani uchun ular hisobga olinmaydi.

Ikkinci usul bilan bosimni hisoblash uchun avval ta'minlovchi idishdagi suyuqlik sathiga tegishli kesim (1 - 1) va nasosga kirishdagi kesim (2 - 2) uchun Bernulli tenglamasi yoziladi:

$$Z_1 + \frac{p_1}{\gamma} + \frac{\vartheta_1^2}{2g} = Z_2 + \frac{p_s}{\gamma} + \frac{\vartheta_s^2}{2g} + h_s \quad (2.19)$$

So'ogra nasosdan chiqishdagi (3 — 3) kesim va suyuqlikning eng yuqori ko'tarilgan sathidagi (4 — 4) kesim uchun Bernulli tenglamasi yoziladi:

$$Z_3 + \frac{p_x}{\gamma} + \frac{g_x^2}{2g} = Z_4 + \frac{p_4}{\gamma} + \frac{g_4^2}{2g} + h_x \quad (2.20)$$

Bu tengliklarda Z_1, Z_2, Z_3, Z_4 - tegishli kesimlarning geometrik balandligi: $h_s; h_x$ - so'rish va haydash trubalaridagi gidravlik qarshiliklar.

Eng yuqoridagi (4 - 4) kesim qabul qiluvchi idishdagi suyuqlik sathida deb olinsa, idishlarning kesimi quvurlar kesimidan katta bo'lgani uchun ϑ_t va ϑ_t larni ϑ_x va ϑ_x larga nisbatan kichik miqdor deb olib, ularni hisobga olmaymiz. Oxirgi ikki tenglamaga $Z_2 - Z_1 = H_1$; $Z_4 - Z_3 = H_2$ belgilashlarni kiritib, so'rish va haydash bosimlarini topamiz:

$$\frac{P_s}{\gamma} = \frac{P_1}{\gamma} - H_1 - \frac{g_s^2}{2g} - h_s \quad (2.21)$$

Olingan miqdorlarni (4.1) tenglamaga qo'yib, ushbu tenglikni

$$H = \frac{P_4 - P_1}{\gamma} + H_0 + H_2 + H_1 + h_c + h_x \text{ quyidagicha yozish mumkin.}$$

Nasos qurilmasidan (4.2-rasmlar) ko'rindiki, $H_0 + H_2 = H_x$; $H_1 = H$ va

$$H_{ct} = H_x + H_c = H_0 + H_2 + H_1 \text{ ga teng.}$$

Bunga asosan $N = N_{st} + h_s + h_x$.

Ta'minlovchi va qabul qiluvchi idishlarda bosim, odatda, atmosfera bosimiga teng bo'ladi ($p_1 = p_a, p_4 = p_a$). Shunday qilib, bosim uchun yozilgan oxirgi tenglama quyidagi ko'rinishga ega bo'ladi:

$$H = H_{st} + h_s + h_x \quad (2.22)$$

Bu tenglikdan ko'rindiki, ochiq idishlarda nasosning bosimi (4.3) suyuqlikni ko'tarish hamda so'rish va haydash trubalaridagi qarshilikni engishga sarflanadi.

|Nasosning unumdorligi (so'rishi) yoki sarfi deb, uning vaqt birligida so'rgan suyuqlik hajmi - Q ga aytildi. So'rish $m^3/soat$, l/s va boshqa birliklarda o'lchanadi.

Sodda porshenli na $Q = F \cdot L \frac{n}{60}$ sosning sarfi quyidagiga teng:

$$N = \frac{GHt}{t}, Q = F \cdot L \frac{n}{60} \quad (2.23)$$

Bu erda, F - porshen ko'ndalang kesimining yuzasi; L - porshenning yurishi (yo'li); n - porshenning bir minutda borib-kelish soni (yoki krivoship -shatunli mexanizmning aylanishlar soni).

Ko'p amaliy porshenli nasosning sarfi:

$$Q = F \cdot L \frac{n}{60} \cdot i \quad (2.24)$$

Bu erda, i - nasos tsilindrлarining soni.

Ikki amaliy bir porshenli nasosning sarfi:

$$Q = (2F - f)L \frac{n}{60} \quad (2.25)$$

Bu erda, f - shtok ko'ndalang kesimining yuzi.

2.3.2. SO'RISH BALANDLIGI

Porshenning qaytma harakati vaqtida so'rish kamerasida bosim kamayib, so'rish klapani ochiladi va so'rish trubasidagi suyuqlik kameraga kira boshlaydi. So'rish trubasidan kameraga suyuqlikning o'tib turishi natijasida so'rish trubasida siyraklanish (vakuum) hosil bo'ladi. Bu o'z navbatida suv manbaidan suvning so'rish trubasiga oqib kirishiga sabab bo'ladi. Nasos suv sathiga nisbatan yuqorirok joylashgan bo'lsa, u holda so'rish trubasidagi absolyut bosim suyuqlikning to'yingan bug'lari bosimidan kamayib ketishi mumkin. Bunda suyuqlikda erigan gazlar va suyuqlik bug'i ajralib chiqib pufakchalar hosil qiladi. Bosim yana ortganda pufakchalar ichidagi gaz va bug' yana erib ketib, ularning o'rniga suyuqlik intiladi. Natijada gidravlik zarb hosil bo'ladi (yuqorida kavitatsiya hodisasi deb atalgan). Kavitatsiyaning asosiy zararlaridan biri uning kuchayib ketishi natijasida nasosning moslashgan ish tartibining buzilishidir. Ikkinci zarari kavitatsiya kuchaygan joylarda metall emiriladi. Shuning uchun ham so'rish trubasidan nasosga kirishda havo qalpog'i o'rnatiladi.

Ba'zan havo qalpog'i gidravlik zARBni susaytirish bilan birga, so'rishni tekislash maqsadida haydash trubasining boshlanishiga ham o'rnatiladi. So'rish trubasida bosim aylanish sonining va so'rish balandligining ortishi natijasida kamayishi mumkin.

Aylanish sonining ortishi porshenning tezligini oshirib, so'rish trubasida bosimning kamayib ketishiga olib keladi. So'rish balandligining ortishi ham so'rish trubasida bosimning kamayishiga ta'sir qilib, kavitatsiya hodisasini vujudga keltiradi. So'rish balandligi ma'lum chegaradan o'tganda kavitatsiya kuchayib suv so'rishining to'xtashigacha olib kelishi mumkin.

Ana shu chegara qiymati chegara so'rish balandligi deyiladi. Chegara so'rish balandligini aniqlash uchun foydalanamiz. Ta'minlovchi idishdagи sathni birinchi kesim, nasosga kirishdagi sathni ikkinchi kesim deb, bu ikki kesimga Bernulli tenglamasini qo'llaymiz. Birinchi kesimda bosim p_1 , tezlik ϑ_1 ikkinchi kesimda bosim p_s (so'rish bosimi) tezlik ϑ_s (so'rish tezligi), kesimlar sathining farqi N_s (so'rish balandligi) deb hisoblab, quyidagi tenglamani hosil qilamiz:

$$\frac{p_1}{\gamma} + \frac{\vartheta_1^2}{2g} = \frac{p_s}{\gamma} + \frac{\vartheta_s^2}{2g} + H_s + h_{12} \quad (2.26)$$

Bun tenglamadan so'rish balandligini topamiz:

$$H_s = \frac{p_1}{\gamma} - \left(\frac{p_s}{\gamma} + \frac{\vartheta_s^2 - \vartheta_1^2}{2g} + h_{12} \right) \quad (2.27)$$

Albatta h_{12} gidravlika qismida ko'rildandek, so'rish trubasidagi gidravlik yo'qotishlarning yig'indisidan iborat, ya'ni

$$h_s = h_{12} = \lambda \frac{l_s}{d_s} \frac{g^2}{2g} + \sum_{i=l}^n \xi \frac{g^2}{2g} \quad (2.28)$$

Bu erda birinchi had ishqalanish qarshiligi bo'lib, so'rish trubasining uzunligi l_s va diametri d_s ga bog'liq; ikkinchi had mahalliy qarshiliklar yig'indisidir.

Tenglamadan ko'rinaladi, so'rish balandligi ta'minlovchi idishdagi bosimning ortishi bilan ortib, so'rish bosimi esa so'rish tezligi va so'rish trubasidagi qarshilikning ortishi bilan kamayadi. Agar ta'minlovchi idishdagi bosim atmosfera bosimiga teng ($p_1 = p_a$), tezlik nolga teng ($\vartheta = 0$) (ochiq idish), so'rish bosimi esa suyuqlikning bug' bosimiga teng bo'lsa, u holda (4.7) tenglama quyidagicha yoziladi:

$$H_s \leq \frac{p_a}{\gamma} - \left(\frac{p_t}{\gamma} + \frac{g^2}{2g} + h_s \right) \quad (2.29)$$

Bunda tenglik belgisi N_s ning chegara so'rish balandligiga teng bo'lган holatini ko'rsatadi. Chegara so'rish balandligi N_s so'rish tezligi ϑ_c , so'rish trubasining qarshiligi h_s va to'yingan bug' bosimi p_t ni hisobga olmagan holda ham dengiz sathidan $20^\circ S$ temperaturada, 10 m. dan oshmaydi. Amaliy tekshirishda chegara so'rish balandligi 6 ... 8 m, so'rish tezligi esa $\vartheta_s = 1 \dots 1,5$ m/s ga teng bo'ladi.

2.3.3. NASOSLARDA ENERGIYA BALANSI, UNING FIK VA BOSHQA PARAMETRLARI

Nasos so'rileyotgan suyuqlikka ma'lum miqdorda energiya beradi. Lekin bu energiya nasosga dvigatelъ tomonidan berilgan energiya miqdoriga teng emas, ya'ni dvigatelъ bergen energiyaning bir qismi to suyuqlikka beriladigan energiya darajasiga etguncha sarf bo'ladi. Bu sarfni nasosning quvvati va foydali ish koeffitsientini tekshirish davomida aniqlanadi.

Nasosning quvvati deb, uning vaqt birligida bajargan ishiga aytildi. Quvvat kgm/s , (ot kuchi) o-k. , kVt va boshqa birliklarda o'lchanadi. Nasosning biror t vaqtida ko'targan, ya'ni haydagan suyuqligi G kg, bosimi N bo'lsa, uning bajargan ishi quyidagiga teng bo'ladi:

$$A = G_s H \quad (2.30)$$

Yuqorida ta'kidlanganlarga asosan:

$$N = \frac{G_s H}{t} \quad (2.31)$$

lekin

$$G_s = \gamma \cdot Q \quad (2.32)$$

Sho'nga asosan quvvat quyidagicha topiladi:

$$N_f = \gamma \cdot Q \cdot H \left[\frac{\text{kg} \cdot \text{m}}{\text{s}} \right] \quad (2.33)$$

Quvvatni kVt -larda ifodalasak:

$$N_{\Phi} = \frac{\gamma \cdot QH}{\eta \cdot 102}, \quad (2.34)$$

o.k. da ifodalasak:

$$N_{\Phi} = \frac{\gamma \cdot Q \cdot H}{\eta \cdot 75}. \quad (2.35)$$

Olingen quvvat formulalari nasosning suyuqlikka bergan energiyasini ifodalovchi foydali quvvatni ifodalaydi. Amalda esa dvigatelning valni aylantirishga sarflagan quvvati bu formulalar bo'yicha hisoblangan miqdordan ancha ko'p bo'ladi. Dvigatelning valga bergan quvvati bilan foydali quvvatning farqi suyuqlikni ko'tarishda turli qarshiliklarni engishga sarf bo'ladi.

Nasosning foydali ish koeffitsienti (FIK) deb, foydali quvvatning valga berilgan quvvatga nisbatiga aytildi:

$$\eta = \frac{N_{\Phi}}{N}. \quad (2.36)$$

Buni nazarga olganda, suyuqlikni so'rish uchun sarf bo'lgan umumiyl quvvat dvigatel sarflagan quvvatga teng ekanligini bilamiz. O'lchov birliklarini inobatga olib, umumiyl quvvat quyidagi formulalar yordamida hisoblanadi:

$$\left. \begin{array}{l} N = \frac{\gamma Q \cdot H}{\eta} \\ N = \frac{\gamma Q \cdot H}{75\eta} \\ N = \frac{\gamma \cdot Q \cdot H}{102\eta} \end{array} \right\} \begin{array}{l} \left[\frac{kg \cdot m}{sek} \right] \\ o.k \\ [kVt] \end{array} \quad (2.37)$$

Yuqoridagilarga asosan aytish mumkinki, FIK - η , suyuqlikni ko'tarishdagi barcha energiya yo'qotishlarini ifodalovchi miqdordir. Bu yo'qotishlar asosan uch turga bo'linadi, ya'ni gidravlik, mexaniq va hajmiy.

1. Gidravlik yo'qotishlar — nasosdagagi gidravlik qarshiliklar, ya'ni nasosga kirish va chiqishda, uyurmalar hosil bo'lishida va hakozalarda gidravlik ishqalanishni engishga sarflanadigan energiyadir. Bu yo'qotishlar gidravlik FIK orqali hisobga olinadi:

2. Mexaniq yo'qotishlar — nasosning podshipniklaridagi ishqalanishga, krivoship-shatunli mexanizmlar ishqalanishlariga va o'z ehtiyojlariga sarflangan quvvat yo'qotishlari bo'lib, mexaniq FIK bilan hisobga olinadi:

$$\eta = \frac{N_i}{Nb}, \quad (2.38)$$

$$\eta_x = \frac{Q}{Q + \Delta Q}, \quad (2.39)$$

Bu erda, ΔQ — nasosdagi suyuqlikning hajmiy yo'qotishlari. Hajmiy FIK nasosning germetiklik darajasini va ishslash sharoitini xarakterlaydi.

Shunday qilib, nasosning assosiy parametrlaridan biri bo'lgan to'liq FIK yuqorida keltirilgan uchta FIK ning ko'paytmasidan iborat:

$$\eta = \eta_r \cdot \eta_m \cdot \eta_x \quad (2.409)$$

Hajmiy FIK - η , quyidagicha ifodalanadi:

$$\eta_x = \frac{Q}{Q + \Delta Q} \quad (2.41)$$

Bu erda, ΔQ — nasosdagi suyuqlikning hajmiy yo'qotishlari. Hajmiy FIK nasosning germetiklik darajasini va ishslash sharoitini harakterlaydi.

Shunday qilib, nasosning assosiy parametrlaridan biri bo'lgan to'liq FIK yuqoridagi uchta FIK ning ko'paytmasidan iborat:

$$\eta = \eta_r \cdot \eta_m \cdot \eta_x \quad (2.42)$$

Porshenli nasoslarda FIK $\eta = 0,7 \dots 0,9$ ga, markazdan qochma nasoslarda esa $0,6 \dots 0,8$ ga teng. Nasos dvigateliga kerakli quvvat N_{DV} ushbu formula bilan aniqlanadi:

$$N_{div} = \frac{N_b}{\eta_{uzat}} \cdot a \quad (2.43)$$

Bu erda, η_{uzat} - uzatish FIK; a — dvigatelning tasodifiy o'ta zo'riqishiga qarshi zapas koeffitsienti bo'lib, dvigatels quvvatiga mos ravishda $1.1; 1.1 \dots 1.5$ ga teng.

2.3.4. PORSHENLI NASOSLARNI TUZILISHI BILAN TANISHISH

Porshenli nasoslar qo'llanish sharoitiga qarab turlicha konstruktsiyalaridan. Hozirgi vaqtida mavjud nasoslar konstruktsiya tuzilishiga qarab turlicha bo'ladi:

a) yuritgichlariga qarab, yuritgichi krivoship-shatunli, yuritgichi kriioship-shatunsiz, bevosita ishlaydigan va qo'l nasoslari;

b) o'kning joylanishiga qarab, gorizontal va vertikal o'qli nasoslari;

v) tortadigan suyuqligiga qarab, suv, issiq va aggressiv suyuqliklar, loyiqa va hokazolar tortuvchi nasoslari;

g) aylanish soniga qarab, tezyurar va sekinyurar nasoslari;

d) suyuqlikni tortishda to'liq aylanish davrida necha marta so'rish yoki haydash protsessi bo'lishiga qarab, bir, ikki, uch, to'rt va ko'p tomonlama ishlaydigan nasoslarga va hatto porsheni hamda klapanlarning joylashtirilishiga qarab klassifikatsiyalaridagi. Bir tomonlama ishlaydigan krivoship-shatun mexanizmli nasos keltirilgan. Bunda plunjер - vertikal yoki gorizontal joylashgan bo'lishi mumkin. Agar plunjerning o'rniga porshen ishlatilsa, porshen yo'li uzunligi bilan barobar, ichi va sirti silliq pardozlangan-gilbzalangan tsilindr kerak bo'ladi.

Vertikal joylashgan tsilindr va porshen ishlatilgan hollarda haydash klapanini porshenga o'rnatib, o'tuvchi porshenli nasos ko'rinishida qulayroqdir.

Ikki tomonlama ishlaydigan nasoslarda so'rish va haydash porshen (plunjer)ning ikki tomonida ham amalga oshiriladi; Natijada nasosning so'rishi ikki baravar ortadi va to'liq aylanish davrida tekisroq ishlaydi. Ikki tomonlama ishlaydigan porshenli va plunjерli nasoslarning sxemasi keltirilgan. Uch, to'rt va ko'p tomonlama ishlaydigan nasoslar kamroq qo'llanilib, so'rish bir tekis bo'lisi bir aylanishda tekisrok ishlashi bilan farqlanadi. Tuzilishi bo'yicha yuqoridagi keltirilgan turlardan kam farq qiladi. Uch tomonlama ishlaydigan nasosda uchta bir tomonlama ishlaydigan nasos, to'rt tomonlama ishlaydigan nasosda ikki tomonlama ishlaydigan ikkita nasos baravariga ishlaydi.

Differentsial nasoslar yuqorida aytilgan nasoslardan anchagina farq qiladi. Bu nasoslarda plunjер chapdan o'ngga harakat qilganda so'rish kamerasida so'rish klapani ochilib, haydash klapani yopiladi va suyuqlik so'rildi. Plunjerning o'ng tomonidagi yordamchi kamerada esa siqilish protsessi natijasida bosim ortib suyuqlik haydash trubasiga oqa boshlaydi. Plunjер o'ngdan chapga harakat qilganda, so'rish kamerasida bosim ortib, so'rish klapani yopiladi, haydash klapani esa ochiladi. Natijada suyuqlik so'rish kamerasidan chiqib, uning bir qismi haydash trubasiga suyuqlik okadi, qolgan qismi yordamchi kameraga so'rildi. Shunday qilib, haydash trubasiga (iste'molchiga) suyuqlik bir tekis etkazib berilishi ta'minlanadi.

Differentsial nasoslar ikki tomonlama ishlaydigan nasosdek ishlasa ham, ulardan to'rt klapan o'rniga faqat ikki klapandan foydalanishi bilan farqlanadi. Shu bilan birga differentsial nasosning hajmi bir tomonlama ishlaydigan nasos hajmidan uncha katta bulmaydi.

Ba'zan so'rish trubasida suyuqlik bilan bir tekis ta'minlash zarur bo'lganda, yuqorida aytilgan usulni so'rish trubasi tomoniga qo'llash mumkin.

Nasoslarning ishlash sharoitiga qarab turli klapanlar tanlab olinadi. Klapanlarning ishlashida ularning o'z vaqtida ochilib yopilishi muhim rol o'ynaydi. Suyuqlikning faqat dinamik kuchi ta'sirida yoki klapanning ikki tomonidagi bosimlar farqi ta'sirida ochilib - yopiladigan va boshqa yordamchi mexanizmlari bo'lмаган klapanlarga mustaqil klapanlar deyiladi. Biror mexanizm ishtirokida ochilib - yopiladigan klapanlar nomustaqlil klapanlardir.

Klapan qurilmasining harakteriga qarab ular ko'tarma, tashlama va zolotniksimon klapanlarga bo'linadi. Ko'tarma va tashlama klapanlar mustaqil va nomustaqlil emas bo'lisi mumkin, zolotniksimon klapanlar esa faqat nomustaqlil bo'ladi.

Klapanlarga qo'yilgan asosiy talab ularning klapan kanalining zinch yopilishini ta'minlashidir. Bu talab bajarilmasa, klapan ostiga nasos ishini buzishi mumkin bo'lgan biror narsa (qum, cho'p, qurum, latta va h.k.) lar kirib qolishi mumkin.

Klapanlar turlari, turli konstruktiv shakkarga ega bo'ladi: tarelkasimon, konussimon, sharsimon klapanlar. Sharsimon klapanlar toza bo'lмаган suyuqliklarni so'rishda qo'llaniladi. Boshqa tur hajmiy nasoslar: shersternyali, kolovorotli, vintli, plunjерli, diafragmali nasoslar.

Hajmiy rotorli nasoslar shesternali, vintli, plastinkali (shiberli) va aylanma porshenli turlarga bo'linadi. Ular o'zgaruvchan sarfli yoki boshqariladigan va o'zgarmas sarfli yoki boshqarilmaydigan bo'lisi mumkin.

Bu turdag'i nasoslarning sarfi ish bo'shlig'i kattaligiga va rotorning aylanishlar soniga bog'liq; nasos elementlarining puxtaligi bosim tarmog'idagi qarshilikka mos bo'lisi kerak. Agar bosim tarmog'idagi zadvijka tasodifan yopiq bo'lib qolsa va nasos

muxofaza apparatlari bilan ta'minlanmagan bo'lsa, bu holda nasos sinadi yoki nasos dvigateli ishdan chiqadi.

Rotorli nasoslar har xil bir jinsli suyuqliklarni uzatishda avtonom qurilma sifatida, shuningdek, gidroprivodlar tarkibida suyuqlikni harakatlantiruvchi yoki suyuqlikka kerakli energiya (bosim) beruvchi nasos holida va o'zi harakatlanayotgan suyuqlik yordamida harakat olib, energiyasini boshqa mashinalarga, qurilmalarga uzatuvchi gidrodvigatellar holida ishlatalishi mumkin. Rotorli uzatuvchi gidrodvigatellar holida ishlatalishi mumkin. Rotorli nasoslarning hajmiy FIKi 0,7...0,95 atrofida bo'lib, nasosning ishqalanuvchi qismlarining yoyilishiga mos o'zgaradi. Nasos aniq ishlangani uchun mexanik FIK yuqori – 0,95...0,98 atrofida bo'ladi. Bularga shesternali, kolovorotli, vintli, plunjерli va diafragmali nasoslar kiradi.

1. Shesternali nasoslarning tuzilishi juda sodda. Oddiy shesternali nasoslarning asosiy ish detallari ikkita bir xil shesterna 1 bo'lib, ular o'zaro ishlashgan va korpus 2 ichiga joylashgan bo'ladi. Etaklovchi shesterna harakatni dvigateldan oladi. Nasosda ikkita qopqoq bo'lib, ularda etaklovchi va etaklanuvchi valiklar podshipnik va sal'niklar bilan ta'minlangan. Nasos korpusida ikkita teshik bo'lib, bittasi S – so'rish teshigi, shesterna tishchalar o'zaro ajralayotgan tomonda, ikkinchisi teskari, ya'ni tishchalar ishlayotgan tomonda bo'lib, haydash teshigi - x deyiladi. Nasosning ishlash printsipi quyidagicha: Etaklovchi val o'zida o'rnatilgan shesternasi bilan dvigatel yordamida harakatga keltiriladi, etaklanuvchi shesterna esa undan aylanma harakat oladi. Shesternalar aylanayotganda tishlar so'rish bo'shlig'ida (S) bir – biridan uzoqlashadi. Natijada tishlar orasidagi chuqurchada suyuqlikning katta tezlikda oqib ketishi sababli so'rish bo'shlig'ida siyraklanish vujudga keladi va so'rish teshigiga suyuqlik kela boshlaydi. Tishlar orasidagi chuqurchalardagi suyuqlik tishlar o'zaro ilashish paytida haydash bo'shlig'i (x) ga sikib chiqariladi, natijada haydash bo'shlig'ida bosim ortib, suyuqlik tarmoqqa uzatiladi. Shesternali nasoslar ishlayotganda tishlar orasidagi chuqurchalarda katta bosim vujudga kelib, u valik va nasos tayanchiga beriladi. Bu kuchlarni kamaytirish uchun tishlar orasidagi teshikchalarda suyuqlikning qolib ketishiga yo'l qo'ymaslik kerak. Shu maqsadda yuqori bosimli nasoslardagi chuqurchalarga radial ariqchalar qilinadi. Bu ariqchalardagi qoldiq suyuqlik chiqarib yuboriladi, natijada nasos tayanchi va valiklardagi yuk kamayadi. Shesternali nasoslar tashqi va ichki ilashuvchi qilib yasaladi. Tashqi ilashuvchi nasoslar ko'p ishlataladi. Ichki ilashuvchi kompakt nasoslar kichik qurilmalarda ishlataladi. Shesternali nasoslar hosil qilgan bosimga qarab past (10 kg/sm²gacha), o'rtacha (30 kg/sm²gacha) va yuqori (100 kg/sm²) bosimli bo'ladi. Past bosimli nasoslar stanok va mashinalar, ichki yonuv dvigatellarining sistemalarida qo'llaniladi. O'rtacha bosimli nasoslar kuch organlariga harakatni tez uzatish kerak bo'ladigan stanoklarning gidrouzatmalarida (masalan, parmalash, pardozlash stanoklarida) ishlataladi. Yuqori bosimli nasoslar stanokning ichki organiga katta kuch uzatish lozim bo'lgan gidrouzatmalarda qo'llaniladi. Shesternali nasos 2, 3, 4 va hatto 5 shesternali bo'lishi mumkin, ammo 3 dan yuqori shesternalar qo'llanilganda FIK kamayib ketadi. 3 shesternali nasos 2 shesternaliga nisbatan katta ish unumiga ega, lekin hajmiy FIK kichik. Keyingi vaqtarda hajmiy FIK ni oshirish maqsadida gidravlik kompensatorli shesternali nasoslar ishlab chiqarila boshlaydi. Yon chetdagি tirqishlarni gidravlik kompensatsiyalash uchun vtulka kuchli ishqalanish va edirilish hosil

qilmaydigan qilib shesternaga mahkam siqib qo'yiladi. Bundan tashqari, yon qistirmalardan foydalaniib, yon chetdagি tirqishlarni kichraytirish usulidan ham foydalilaniladi. Bu qistirmalar elastik devorli katakchalarga ega bo'lib, shayba tarzida shesterna bilan nasos korpusi orasiga qo'yiladi. Nasos ishlayotganda devordagi tirqishlardan qistirma katakchalari moyga to'latiladi. Bosim ostida katakcha to'siqlari deformatsiyalanadi va tirqishlardagi moy shesterna yonlariga siqiladi. Xususiy holda nasoslarning shesternasi ikki tishli qilib yasaladi. Bunday nasoslarga kolovorotli nasoslar deyiladi. Bir vintli nasoslarda tortish bir tekis bo'lgani uchun inertsiya ta'siri bulmaydi, natijada so'rish yaxshilanadi. Bu nasoslar ixcham, engil, sodda tuzilgandir. Bir vintli nasoslar ko'mir shaxtalaridan ifloslangan suvlarni tortib olishda, xavzalardan neftni so'rishda, quduqlardan suv tortishda va achitqilarni transportirovka qilishda ishlatiladi.

2. Vintli nasoslар. Vintli nasoslар suyuqlikni bir tekis tortishi bilan farq qiladi. Ular yuqori FIKiga ega, ixcham, ishga qulay, yuqori bosimda va katta aylanishlar sonida shovqinsiz ishlay oladi. Vintli nasoslар bir, ikki, uch va hokazo vintli bo'ladi. Bir vintli nasoslар hajmiy nasoslarning hamma afzalliklarini mujassamlashtirgan bo'lib, ular yuqori bosimda uzatilayotgan suyuqlikni juda kam aralashtiradi va katta so'rish balandligiga ega. Undan tashqari, plunjерli va porshenli nasoslardan harakatlanadigan detallarning kamligi (1 ta vint), klapanlarning va murakkab o'tish joylarining yo'qligi bilan farqlanib, ular gidravlik qarshilikni kamaytiradi.

Bir vintli nasoslarning ishlash printsipi quyidagicha: Ichki tomoni vint shaklida profillangan tsilindrda vint aylanadi. TSilindr o'ziga xos profilli bo'lgani va vint aylanishi sababli suyuqlikning cheksiz harakati vujudga keladi. TSilindrning ichki vintsimon yuzasi va vint yuzasi orasida yopiq bo'shliqlar yoki hajm hosil bo'ladi. Bu bo'shliqlarning vaqt birligi ichidagi umumiy hajmiga mos ravishda nasosning sarfi oshadi. So'rish tomonidagi bo'shliq hajmi kattalashganda nasosning kirish qismida bosimlar ayirmasi hosil bo'ladi va bu bo'shliq suyuqlikka to'ladi. Biror vaqtda bo'shliq yopiladi va bu tsilindrning haydash tomoniga harakatlana boshlaydi: har bir bo'shliq ma'lum hajmdagi suyuqlikni olib chikadi. Vintning bir to'liq aylanishidagi suyuqlik tsilindr bo'yicha bir qadam uzunlikka siljiydi va o'zgarmas kesimdan to'kiladi. Yopiq bo'shliqlarning siljishi natijasida bosim so'rish bosimi r_s dan haydash bosimi r_x gacha oshadi.

Eng ko'p tarqalgan vintli nasoslarga uch vintli nasoslар kiradi. Vintli nasoslarda asosiy ish organi vintlar bo'lib, ular aylanma harakat qiladi. Ish vinti vazifasini faqat etaklovchi vint bajaradi. Etaklanuvchi vintlar uzatilayotgan suyuqlikning bosimi ta'sirida aylanadi, shuning uchun ekspluatatsiya davrida vintlar tez ishdan chikmaydi, eyilmaydi va ishonchli bo'ladi. Etaklanuvchi vintlar zichlagich rolini o'tab, uzatish kamerasidan so'rish kamerasinga suyuqlikning qaytib tushishiga to'sqinlik qiladi. Etaklovchi vintning ichki diametri va etaklanuvchi vintning tashqi diametri o'zaro tengdir. Uchta vintning kesimlari ish vaqtida o'zaro tegib, cheksiz yuza bo'limi hosil qiladi va suyuqlikni so'rish kamerasidan uzatish kamerasinga so'rvuchi porshen rolini bajaradi. Bo'lim yuzasi vintning har bir qadamida takrorlanadi, qadamlar soni ish uzunligida ko'paygan sari bo'shliqlar soni oshib boradi. Vint qadami chegarasidagi har bir bo'shliq ko'p pog'onali nasoslardagi ayrim pog'ona o'rnida bo'lib, vint uzunligi ko'payishi bilan yuqori hajmiy FIKli katta bosim hosil qiladi. Vintli nasos uchta asosiy

qismidan iborat: stator, nasos korpusi va rotor (etaklovchi vint). Leningrad metall zavodida MVN-10 markali vintli nasosning printsipial sxemasi yaratilgan. Bu nasosda to'rtta vint bor: o'rtadagi ikkitasi etaklovchi va ikkitasi etaklanuvchi. Vintlarning kesik joylari stator ichida jips joylashgan bo'lib, podshipnikka o'xshab aylanadi. Statorni boshqacha qilib, rubashka ham deyishadi. Undagi vintlar uzunligi esa ish uzunligi deyiladi. Rubashka oxiriga so'rish va haydash kameralari kelib birlashgan. Etaklovchi valning oxiri korpusdan chiqib turadi va mufta yordamida dvigatelga ulanadi. O'qiy bosimni muvozanatlash maqsadida nasos vintlarida yoki korpusda suyuqlik haydash kamerasi tomondan so'rish kamerasi orqasidagi vint tagiga suyuqlik okib tushadigan ariqchalar yasaladi.

Nasosni buzilishlardan saqlash uchun saqlagich klapanlar o'rnatilgan. Uch vintli nasoslarning ishlash printsipi quyidagicha: Etaklovchi vint dvigateldan aylanma harakatga keltiriladi, bunday vintlarning ajratish tekisligi so'rish kamerasining chuqurchalarida joylashgan bir hajm suyuqlikni kesib ajratib oladi. Keyin suyuqlik vint bo'ylab haydash kamerasiga, undan haydash trubasiga qarab harakatlanadi. Shu paytda so'rish kamerasida siyraklanish bo'ladi, natijada so'rish trubasidagi suyuqlik so'rish kamerasiga tushib, vint chuqurchasini to'ldiradi. Bu jarayon cheksiz davom etadi va nasos ishining uzluksizligini ta'minlaydi.

Suyuqlik kesimi yuzasi tomonidan ajratib olinmasdan oldin $r = r_a - r$ bosimi ostida harakatlanayotgan bo'lsa, uning keyingi harakati vintlarning kesimi yuzalarining bosimi ostida sodir bo'ladi (porshenga o'xshab). Suyuqlik nasosga uzluksiz berilgani sababli bir tekis so'rish ro'y beradi. Vintli nasoslar $4 - 7 \text{ kg/sm}^2$ dan 20 kg/sm^2 gacha bosimlar uchun tayyorlanadi. Chegara so'rish balandligi $8 \dots 9 \text{ m}$ suv ustuniga teng. Vint ish uzunligidagi o'ramlar soni, asosan, past bosimli nasoslar uchun $z = 5 \text{ h}$, o'rta bosimlar uchun $z = 3 \text{ h}$ va yuqori bosimlar uchun $z = 5 \text{ h}$ deb qabul qilingan (bunda h – vint qadami).

2.4. MARKAZDAN QOCHMA TURDAGI NASOSLARNING HARAKAT PRINTSIPI VA KЛАSSIFIKATSIVASI

Nasoslar gidravlik mashinalarning eng taraqqiy etgan turlaridan biridir. Suyuqlik oqimini hosil qiluvchi mashina nasos deyiladi. Ularni ko'pgina shakili, turlari mavjudki, ularni klassifikatsiyaga ajratish ancha qiyin.

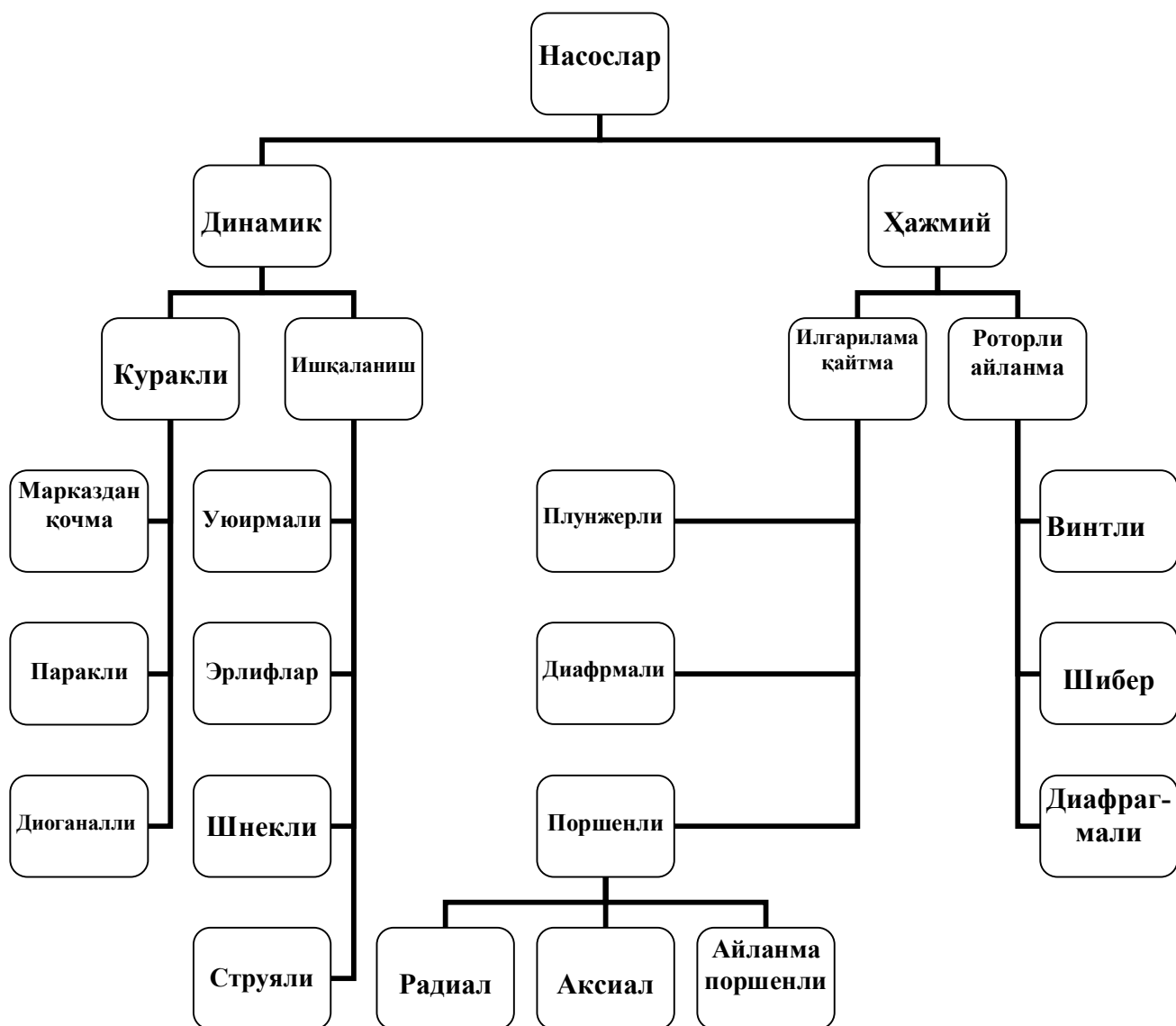
Nasosning ishchi kamerasida yoki haydash kamerasida suyuqlikka qo'shimcha kuch tasiri orqali suyuqlik oqimi hosil qiladi. Ishchi kamera ko'rinishi yoki tuzilishiga hamda suyuqlikni ko'rishda va chiqishdagi holatiga qarab dinamik va hajmiy nasoslar turlari mavjud.

Dinamik nasoslar uchun quyidagi klassifikatsiyadagi sifatlari avjud:

- suyuqlikka berilayotgan kuch ko'rinishi;
- suyuqlik muhitining harakat yo'nalishiga qarab;
- taqsimot ko'rinishiga qarab;
- ishchi g'ildirakning konstruksiyasiga qarab;

Hajmiy nasoslar uchun esa:

-ishchi organing harakatiga qarab;
 -nasos qismining harakat yo'nalishi xarakteriga qarab;
 -suyuqlik ko'chishining yo'nalishiga qarab;



Nasoslar klassifikatsiyasiga ajraladi.

Dinamik nasoslardan deb, uning kamerasida kuch orqali suyuq muhit ko'chishini hosil qiluvchi hamda nasosga kirish va chiqishini dimiy taminlovchi nasos turiga aytiladi.

Dinamik nasoslarga quyidagilarni kiritish mumkin;

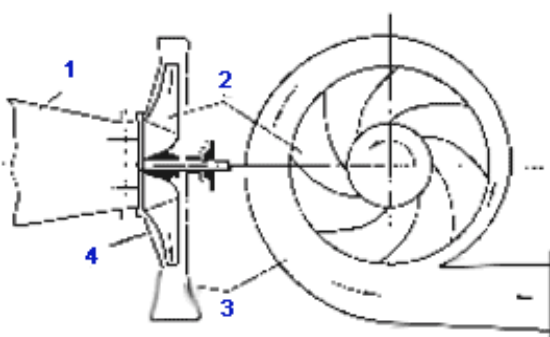
- 1) Kurakli - markazdan qochma va o'qiy;
- 2) Elektromagnitli - induksion va kanduktsionli;
- 3) Ishqalanuvchi - uyurmali, struyali shnekli, tebranmali va boshqalar.

Ishchi g'ildirakdan o'tgan suyuqlik taqsimlash quvuri (3) ga quyiladi. Nasosda kirish va chiqishdagi suyuqlik hamma vaqt bog'liq bo'ladi.

2.4.1. MARKAZDAN QOCHMA NASOSNING TUZILISHI

Makazdan qochma nasoslar, suyuqliknin haydash quvurida ma'lum miqdordagi tezlik bilan oqishini ta'minlashi uchun o'tkazuvchi kamera, yo'naltiruvchi apparat va diffuzor kabi bir qancha maxsus moslamalardan foydalilaniladi. Nasosdagi so'rilib, qabul qiluvchi idishdagi suyuqlik sathiga ta'sir qiluvchi, bosim bilan so'rish quvuridagi siyraklanish bosimi, orasidagi farq hisobiga amalga oshadi. Bunda aytilgan bosimlar farqi so'rish balandligini, so'rish quvuridagi qarshiliklarni engishga va suyuqlikka tezlik berishga sarf bo'ladi.

Bu tezlik suyuqliknin kameraga va so'ngra parraklar orasidagi kanalga kirishiga yordam beradi. Tabiiyki, bunda ta'minlovchi idish bilan so'rish quvuridagi bosimlar farqi so'riliayotgan suyuqlik bosimidan kam bo'lmasligi kerak. Haydash balandligi markazdan qochma nasos engishi mumkin bo'lgan eng yuqori balandlik bo'lib, g'ildirakning tashqi aylanmasidagi tezlik qancha katta bo'lsa, haydash balandligi ham shuncha katta bo'ladi.



2.7-rasm. Markazdan qochma nasos:
1 - kirish; 2 - ishchi g'ildirak; 3 – taqsimlovchi quvur; 4 - korpus

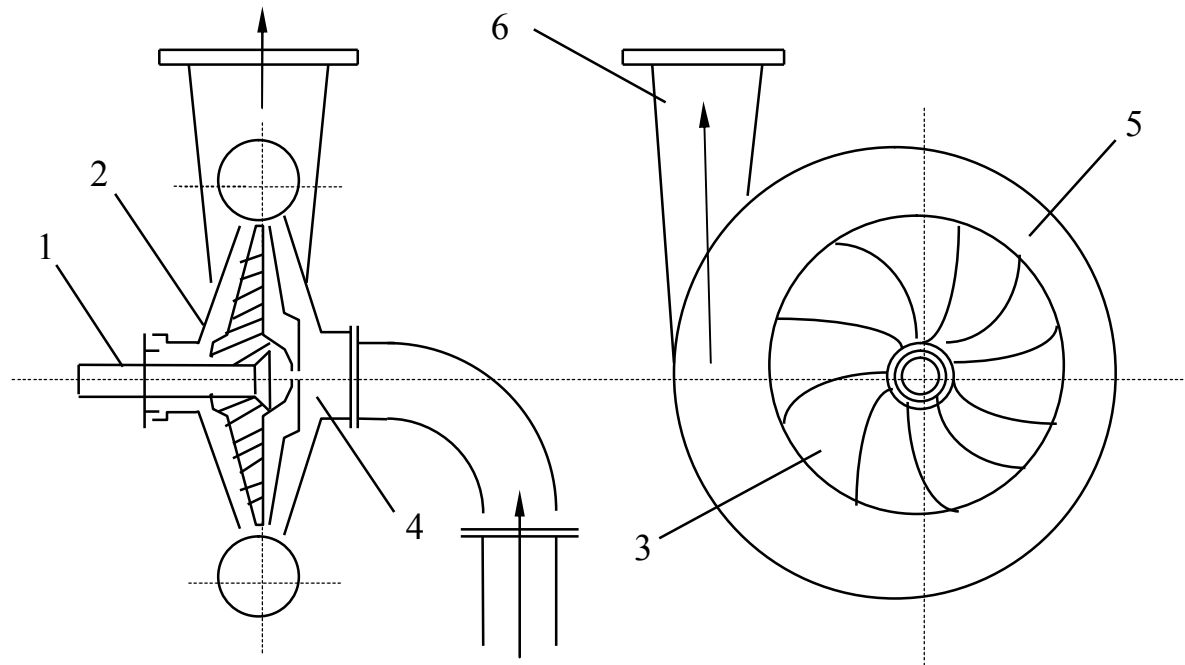
Rasmda markazdan qochma nasosning sxematičko'rinishi berilgan. Suyuqlik oqimining so'ruchchi qismi (1)ga o'q yo'nalishiga kiradi, (2) ishchi g'ildirak kanallarida harakat yo'nalishi radial hollarga o'zgartiradi. Kuraklarda hosil qilingan kuch orqali suyuqlik oqimini harakat tezligi oshadi va ishchi g'ildirakda bosim ortadi.

Markazdan qochma nasosning sxemasi 2.8-rasmida keltirilgan bo'lib, nasosning ishslash printsipini shartli ravishda ko'rsatadi.

Bunda so'rish quvuri orqali idishdan ko'tarilgan suyuqlik kameraning o'rta qismiga kiradi, so'ngra val (1) orqali harakatga keltiruvchi ish g'ildiragi (2) ning kuraklari (3) orasidan o'tib, nasos kamerasi (4) ga tushadi. Bu erda markazdan qochma kuch ta'sirida hosil bo'lgan bosim suyuqliknin haydash quvuriga siqib chiqaradi. Suyuqliknin haydash quvurida ma'lum miqdordagi tezlik bilan ta'minlanishi uchun o'tkazuvchi kamera, yo'naltiruvchi apparat (5) va diffuzor (6) kabi bir qancha maxsus moslamalardan foydalilaniladi.

Nasos korpusining tuzilishi ham haydash balandligining yuqori bo'lishiga katta ta'sir qiladi. Shuning uchun nasosning korpusida so'rilib yo'li, spiral yo'li va yo'naltiruvchi apparatlar moslangan bo'ladi.

So'riliш yo'li – korpusning so'rish quvurchasidan ish g'ildiragiga o'tishdagi kanalidir. Suyuqlikning nasosga so'rilaдigan yo'lining eng yaxshi shakli o'q yo'naliшidagi konus ko'rinishida bo'ladi.



2.8-расм. Марказдан қочма насоснинг схемаси чизмаси

Tezyurarligi о'rtacha va kichik bo'lган насослар учун насосга so'riliш yo'li spiral шаклида bo'lishi mumkin. Tezyurarligiyuqori bo'lган насосларда esa o'q bo'yicha so'riliш tezlikni 15 ... 20 % oshiruvchi konfuzor orqali amalga oshiriladi. Spiral ko'rinishdagi so'riliш kameralarini hisoblashda so'rish tezligi S_{sur} g'ildirakka kirish tezligi s_1 ga qaraganda ancha kichik qilib olinadi: $S_{sur} = (0,85 \dots 0,70) s_1$.

Spiral yo'l. Suyuqlikning насосдан chiqish kanali – spiral kamera tuzilishi sodda bo'lgani учун yo'naltiruvchi apparatga qaraganda qarshiligi kam bo'ladi (FIK katta). Lekin spiral kameraning kanallarini mexaniq usulda silliqlab bo'lmaydi. So'nggi vaqtarda metall quyish ancha aniq va toza bajarilgani учун spiral kameralar ko'proq qo'llanila boshladi (hatto ko'p pog'onali насослarda ham qo'llanilmokda).

Ish g'ildiragidan chiqqan suyuqlik zarrachasi spiral kameraning biror qismiga kirganda so'ng radius bo'yicha harakatlanishda davom etishi bilan birga aylanma harakat ham qilib, chiqish tomonga intiladi va o'zidan keyin kelayotgan zarrachaga o'z o'rmini bo'shatib beradi. Spiral kameralari hisoblashda aylanma tezlikning tegishli radius – vektorga ko'paytmasi o'zgarmas deb qabul kilinadi. Natijada spiral kameralarda suyuqlik tezligi chiqishga qarab kamayib boradi. Bu hol насоснинг ishlashiga yaxshi ta'sir qiladi va tezlikning kamayishi potentsial energiyaning ortishiga olib keladi. Bunda tabiiyki, tezlikning kamayib borishiga kesimning a ko'rinishi b ko'rinishiga qaraganda ko'prok ta'sir qiladi.

Odatda spiral kameralarda tezlik quyidagicha formula bilan hisoblanadi:

$$c_c = k_c \sqrt{2g \cdot H}, \quad (2.44)$$

Bu erda, K_s – tezyurarlik koeffitsientiga bog'liq bo'lib, uning qiymati 0,45 dan 0,2 gacha o'zgaradi.

Eslatib o'tish kerakki, har qanday spiral kamera faqat tegishli hisoblangan sarf uchun to'liq samara berib, sarfni o'zgartirganda uning qarshiligi hisoblangan harakat buziladi. Bu esa FIK ga ta'sir qiladi. Tezlikni kamaytirib, yuqori bosim olish uchun chiqish oldida diffuzordan foydalanish yaxshi natija beradi.

Yo'naltiruvchi apparat. Yo'naltiruvchi apparat ish g'ildiragidan chiqqan suyuqlikning radius bo'yicha kengayib borishi davomida suyuqlik kesimini aylana bo'yicha ham ortib borishga majbur qiladi. Natijada apparatdan o'tish davomida tezlik kamayib boradi. Yo'naltiruvchi apparatda suyuqlik zarrachalari to'g'ri chiziqli yo'nalishda og'ib, apparat parraklariga bosadi va uni ish g'ildiragi o'qi atrofida aylanishga majbur qiladi. Kuraksiz yo'naltiruvchi apparatlarda suyuqlikka radial yo'nalishga yaqin tezlik berib bo'lmaydi. Shuning uchun bunday aparatlar kam qo'llaniladi. Parrakli yo'naltiruvchi apparatlarda esa suyuqlik zarrachalariga ish g'ildiragidan chiqqandagi tezlikdan tamoman farqli tezlik beriladi. Bundan tashqari, kesimi o'zgarmaydigan kuraksiz yo'naltiruvchi apparat kurakli yo'naltiruvchi apparatga nisbatan tezlikni ko'proq kamaytirib, kinetik energiyani potentsial energiyaga ko'proq aylantirish mumkin. Yo'naltiruvchi aparatning tuzilishi ish g'ildiragidan chiqqan suyuqlikning haydash trubasiga kirishini osonlashtiradi.

2.4.2. NASOSNING ISH G'ILDIRAGI NAZARIYASI ASOSLARI

Ish g'ildiragi markazdan qochma nasosning asosiy qismini tashqil qiladi. Yuqorida aytganimizdek, bunday tur nasoslarda suyuqlikka markazdan qochma kuch yordamida kinetik energiyaning mumkin kadar ko'proq qismi potentsial energiyaga aylantiriladi. Turbinalarda ham asosiy qism ish g'ildiragi bo'lib, u suyuqlik energiyasi yordamida harakatga keladi. Bunda turbinadan o'tayotgan suyuqlik uning kuraklariga ma'lum kuch bilan bosim uni aylanma harakatga keltiradi. Bu harakat esa generator rotorini aylantiradi. Gidravlika bo'limidagi kabi nasos va turbinadagi harakatni ham bir o'lchovli harakatga keltirib, ish g'ildiragidagi suyuqlik massasining harakati elementar oqimcha harakati kabi qaraladi. Aytilgan usul bilan markazdan qochma nasos uchun tenglama 1755 yilda L.Eyler tomonidan yaratilgan bo'lib, keyinchalik kurakli mashinalar nazariyasida asosiy tenglama deb yuritiladigan bo'ldi va turbinalar hamda boshqa turdag'i kurakli mashinalarda ham qo'llanila boshladi. Eyler tenglamasi ish g'ildiragining geometrik va kinematik harakteristikalarini nasos hosil qilgan bosim bilan bog'laydi. Bu tenglama quyidagi ikkita masalani xal qilishga yordam beradi:

- 1) berilgan sarf va hosil qilinishi kerak bo'lgan bosim bo'yicha ish g'ildiraklari soni va uning o'lchamlarini aniqlash;
- 2) berilgan ish g'ildiragi va valning aylanishlar soni bo'yicha sarf va hosil bo'ladigan bosimni hisoblash.

Tenglamani yaratishda:

- 1) kuraklarning chekliligi hisobga olinmaydi;

2) kuraklar orasidagi kanallardan o'tayotgan suyuqliklar bir xil sharoitida oqadi deb qaraladi. Ana shunday yo'l qo'yishlar bilan hisoblanishiga qaramay hisoblash natijasi to'g'ri chiqadi.

Endi, markazdan qochma nasos ish g'ildiragini hosil qiladigan bosimni hisoblaymiz. Buning uchun g'ildirak kanallaridan birini ko'rib chiqamiz. Suyuqlik so'rish trubasidan kanalga S_1 tezlik bilan keladi. Nazariy hisobga yo'qotish kirmasligi uchun suyuqliknin kanalga «gidravlik zarbsiz» kiradi deymiz. Bu degan so'z, kirishdagi tezlik S_1 ning kattaligi va yo'nalishi bo'yicha kanalning boshlanishidagi absolyut tezlikka, ya'ni aylanma tezlik ϑ_1 va kurakka nisbatan nisbiy tezlik S_1 ning kattaligi va yo'nalish bo'yicha kanalning boshlanishidagi absolyut tezlikka, ya'ni aylanma tezlik ϑ_1 va kurakka nisbatan nisbiy tezlik ϑ_1 lardan tuzilgan parallelogrammning diagonaliga teng. Kanaldan chiqishda suyuqlikning absolyut tezligi s_2 aylanma tezligi ϑ_2 , nisbiy tezligi ϑ_2 bo'ladi. Kirishda bosim r_1 , chiqishda r_2 bo'lsa, u holda kanalning kirish va chiqish kesimlari uchun Bernulli tenglamasi quyidagicha yoziladi:

$$Z_1 + \frac{\vartheta_1}{\gamma} + \frac{g_1^2}{2g} = Z_2 + \frac{g_2^2}{2g} - H_k + h_{12}, \quad (2.45)$$

Bu erda:

h_{12} – ikki kesim orasidagi gidravlik yo'qotish;

H_k – kanaldagi harakat vaqtida markazdan qochma kuch hisobiga bosimning ortishi.

Ish g'ildiragi kanaliga kirishdagi bosim:

$$\dot{I}_1 = z_1 + \frac{p_1}{\gamma} + \frac{c_1^2}{2g} \quad (2.46)$$

g'ildirakdan chiqishdagi bosim:

$$H_2 = z_2 + \frac{p_2}{\gamma} + \frac{c_2^2}{2g} + h_{12} \quad (2.47)$$

U holda kirish va chiqishdagi bosimlar farqi quyidagicha hisoblanadi:

$$H = H_2 - H_1 = z_2 + \frac{p_2}{\gamma} + \frac{c_2^2}{2g} + h_{12} - (z_1 + \frac{p_1}{\gamma} + \frac{c_1^2}{2g}) \quad (2.48)$$

Bir xil indeksli hadlarni tenglikning ikki tomoniga gruhlasak, u holda quyidagi tenglama hosil bo'ladi:

$$z_1 + \frac{p_1}{\gamma} + \frac{c_1^2}{2g} = z_2 + \frac{p_2}{\gamma} + \frac{c_2^2}{2g} + h_{12} - H \quad (2.49)$$

Ish g'ildiragi kanaliga kirish va undan chiqishdagi tezlik paralleogrammalaridan foydalansak: yuqorida 2.8-rasmda ko'rsatiganidek.

$$\omega_1^2 = \vartheta_1^2 + c_1^2 + 2\rho_1 c_1 \cos \alpha_1 \quad (2.50)$$

$$\omega_2^2 = \vartheta_2^2 + c_2^2 + 2\vartheta_2 c_2 \cos \alpha_2 \quad (2.51)$$

Bularni (2.51) ga qo'yib, ba'zi soddalashtirishlardan keyin quyidagini olamiz:

$$H = \frac{\vartheta_2 c_2 \cos \alpha_2 - \vartheta_1 c_1 \cos \alpha_1}{g} \quad (2.52)$$

Shunday qilib, kirish va chiqishdagi bosimlar farqi yoki boshqacha aytganda suyuqlikning ish g'ildiragidan olgan bosimi (2.52) munosabat orqali aniqlanadi va unga markazdan qochma mashinalarning asosiy tenglamasi yoki Eyler tenglamasi deyiladi. Bu tenglama harakat miqdori momentlari teoremasidan foydalanib ham keltirib chiqarilishi mumkin.

Yuqorida keltirilgan Eyler tenglamasi barcha kurakli mashinalar uchun umumiy bo'lib, bir qancha soddalashtirishlar kiritilgandan keyin hosil bo'lган. Haqiqatda esa, ish g'ildiragi kuraklari orasidagi harakat ancha murakkabdir. Shuning uchun (2.52) tenglama yordamida hisoblangan bosimga nazariy bosim deyiladi. Bu tenglamani nasosga qo'llaganda $\alpha_1 = 90^\circ$ deb qabul qilish kerak, chunki odatda, suyuqlik so'rish trubasi va so'rish kamerasi orqali o'tib, ish g'ildiragi kanaliga radial yo'nalishda kiradi. Bu esa uning kanalga zarbsiz kirishini ta'minlaydi. Shu sababli Eyler tenglamasi nasoslar uchun quyidagi ko'rinishda qo'llaniladi:

$$\dot{I}_i = \frac{\vartheta_2 c_2 \cdot \cos \alpha_2}{g} \quad (2.53)$$

Bu tenglama nasos ish g'ildiragi suyuqlikka bergan bosimning nazariy tenglamasi yoki markazdan qochma nasoslarning asosiy tenglamasi deb ataladi. Bu tenglamada u_2 aylanma tezlik $c_2 \cos \alpha_2$ esa absolyut tezlikning aylanma tezlik yo'nalishiga proektsiyasi ekanligini nazarda tutish kerak. Tezlik parallelogrammidan ko'rindaniki ϑ_2 bilan c_2 o'rtasidagi quyidagi munosabat mavjud:

$$c_2 \cos \alpha_2 = \vartheta_2 - \omega_2 \cos \beta_2 \quad (2.54)$$

Bu tenglikni (2.54) ga qo'ysak, ushbu ko'rinishga keladi:

$$H_i = \frac{\vartheta_2^2}{g} \left(1 - \frac{\omega_2}{\vartheta_2} \cos \beta_2 \right). \quad (2.55)$$

Oxirgi tenglamadan ko'rindaniki, nasosning nazariy bosimi ish g'ildiragi aylanishlar sonining kvadratiga proportsional (chunki, $\pi d_2 n$) va kuraklar shakliga bog'liq ekan. Bunda uchta holni ko'rish mumkin:

1. Kuraklar ish g'ildiragi aylanishi tomoniga egilgan, ya'ni: $\beta_2 > 90^\circ$ va $\cos \beta_2 < 0$. Bu holda (2.55) tenglamada qavs ichidagi miqdor 1 dan katta:

$$H_n > \frac{u_2^2}{2g} \quad (2.56)$$

2. Kuraklar ish g'ildiragi aylanishiga teskari egilgan, ya'ni $\beta_2 < 90^\circ$ va $\cos \beta_2 < 0$. Bu holda (2.62) da qavs ichidagi miqdor 1 dan kichik:

$$H_n < \frac{u_2^2}{2g} \quad (2.57)$$

3. Kuraklar radial yo'naliishga ega, ya'ni $\beta_2 < 90^\circ$ va $\cos \beta_2 < 0$. Bu holda qavs ichidagi miqdor birga teng:

$$H_m = \frac{u_2^2}{2g} \quad (2.58)$$

Ko'rini turibdiki, nazariy bosimning eng katta qiymati kuraklar ish g'ildiragi aylanishi tomoniga egilganda bo'lib, eng kichik qiymat teskariga egilganda bo'ladi. Lekin β_2 ning qiymati ortgan sari gidravlik yo'qotishlar ortib, nasosning gidravlik FIK kamayib ketadi. Shuning uchun amalda nasoslarda nazariy bosim kam bo'lishiga karamay β_2 ni 90° dan kichik qilib olinadi. Amalda eng ko'p qo'llaniladigan burchaklar 16° dan 40° gacha qiymatlarda qabul kilinadi. Albatta β_2 ning kichrayishi ish g'ildiragining reaktivligini oshiradi. Bu esa turbinalar nazariyasida qo'l keladi va aylanish sonining ortishiga sabab bo'ladi. Nazariy bosimni hisoblashda bir qancha soddalashtirishlar kiritilgan. Ish g'ildiragiga kirish va undan chiqish davomida parraklar orasidagi kanalning kengayib borishidan, kuraklar egriligining ortishi natijasida tsirkulyatsiya hosil bo'ladi. Buning natijasida va boshqa sabablarga ko'ra nazariy bosimning bir qismi sarf bo'ladi. Natijada nasosning amaliy bosimi nazariy bosimga qaraganda kamroq bo'ladi. Nasos ish g'ildiragidan amalda olinadigan ana shu bosimga amaliy bosim deyiladi va N_2 bilan belgilanadi.

Amaliy bosimning nazariy bosimga nisbati nasosning gidravlik foydali ish koeffitsientini beradi:

$$\eta_r = \frac{H_a}{H_i} \quad (2.59)$$

Gidravlik FIK 0,8 bilan 0,95 o'rtasida o'zgardi va yuqorida aytilgan sabablarning ta'siriga qarab turli qiymatlarni qabul qiladi. Shunday qilib:

$$H_a = \eta_2 \cdot H_n = \eta_r \frac{u_2 c_2 \cos \alpha_2}{g} \quad (2.60)$$

yoki gidromashinalar uchun bu tenglamani quyidagi umumiyo ko'rinishda yoziladi:

$$H_a = \eta_r \frac{u_2 c_2 \cos \alpha - u_1 c_1 \cos \alpha_1}{g} \quad (2.61)$$

Yuqorida keltirilgan bosim tenglamalariga ish g'ildiragidagi kuraklar soni kirmaydi. Xaqiqatda esa kuraklar sonining ko'p yoki kam bo'lismiga qarab, ular orasidagi kanal turlicha bo'ladi. Bu esa o'z navbatida bosimga ta'sir qilmay qolmaydi. (2.61) tenglik yordamida hisoblangan bosim kuraklar soni cheksiz ko'p bo'lgan holga to'g'ri keladi, chunki u kanallarda okayotgan suyuqlikning barcha zarralari bir xil traektoriya bo'yicha harakat qilgan holat uchun o'rinnlidir. Kuraklar sonini bosim tenglamasiga kiritish yo'li bilan nasosning foydali bosimi uchun tenglama olish mumkin:

$$H_f = H_n \eta_2 \varepsilon, \quad (2.62)$$

Bu erda: ε - nasos kuraklari soni cheklilagini hisobga oluvchi koeffitsient bo'lib, u 0,6 – 0,8 ga teng.

2.4.3. MARKAZDAN QOCHMA NASOSLARNING SARFI, NAPORI VA NASOSNING ISH XARAKTERISTIKASI

Nasos yordamida oshirilgan bosim nasosning napor deb ataladi. Nasos napori (N) deganda, suyuqlikning nasos yordamida uzatishdagi solishtirma mexanik energiyasi tushuniladi.

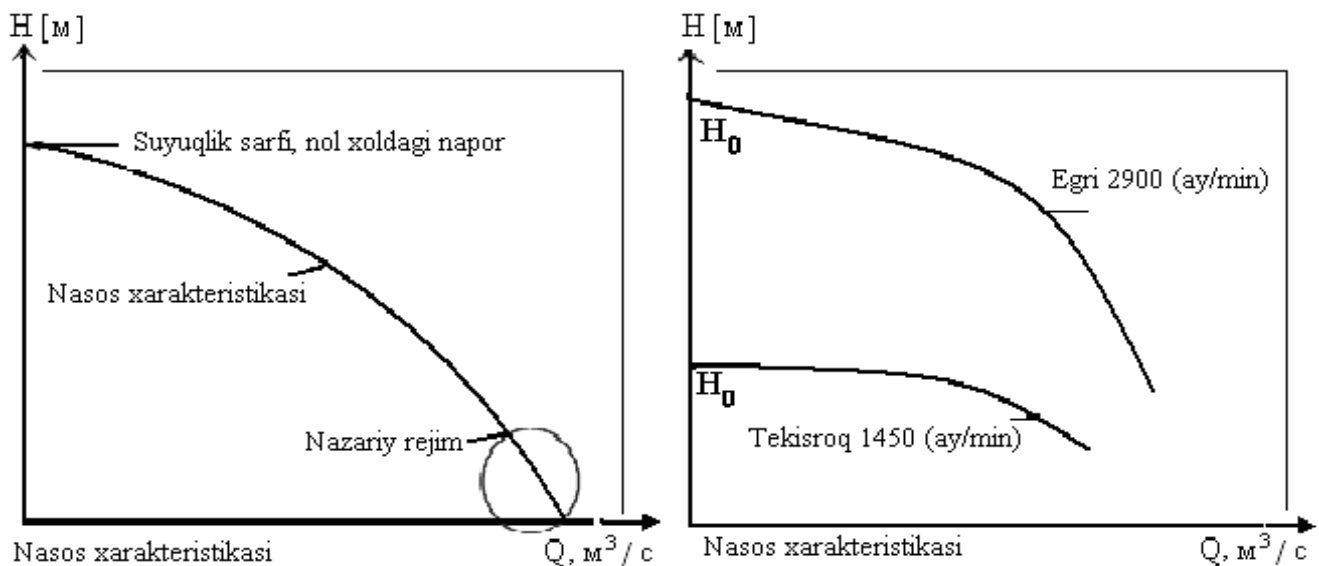
Bunda nasos orqali berilgan napor va suyuqlik sarfi o'zaro bir-biriga bog'liq. Bu bog'liqlik grafik ravishda nasos xarakteristikasini ifodalaydi. Vertikal o'q (ordinata) nasos napori (N) ni, gorizontal o'q [x]da esa nasos sarfi Q [$m^3/soat$] ifodalaniladi. Naporni boshqacha masshtablarda ham olish mumkin. Bunda quydagilar o'rinnli qilib olinadi:

$$10 \text{ m v.st.} = 1 \text{ bar} = 100 \text{ 000 Pa} = 100 \text{ kPa.}$$

Gorizontal o'q (obsissa)da nasos tomonidan uzatilayotgan suyuqlik miqdori (Q) [$m^3/soat$] shkalalarida belgilanadi. Shuningdek, boshqacha masshtablarda, masalan [l/s] ladra ham olinishi mumkin. Harakteristika shakli quyidagi bog'lanishlarda ko'rsatilgan: elektr energiyasi orqali nasosga berilgan (barcha FI Klarni e'tiborga olganda), nasos shunday gidravlik energiya hosil qiladiki, bular suyuqlik bosimi va tezligidir. Nasos ishlaganda jo'mrak yopiq bo'lsa, nasosda maksimal bosim hosil bo'ladi. Bu holda nasosda hosil bo'lgan napor (No) maksimal bo'lib, sarf esa nolga teng bo'ladi.

Agar jo'mrak sekin asta ochilsa, nasosdagi suyuqlik harakatga kela boshlaydi, natijada quvurdagi ma'lum qism energiya kinetik energiyaga aylanadi. Nasos xarakteristikasi chizig'i pasayib boruvchi egri chiziqdan iborat. Bu holatda suyuqlik faqat kinetik energiyaga aylanadi yoki nasosda bosim hosil bo'lmaydi. Ammo quvurlar

majmuasida ichki qarshilik kuchi hosil bo'ladi, haqiqatda sarf o'qidan Nasos xarakteristika chizig'idan yuqorida bo'ladi. Naporni katta miqdorda o'zgarishini qo'yidagi (2.9-rasm) grafiklarda kurish mumkin.



2.9-rasm. Nasos xarakteristika chizig'i

Suyuqlik uzatilishida quvur sistemasidagi jo'mraklar ochilishida va yopilishida tezlik o'zgarishida ham qarshilik yuzaga keladi.

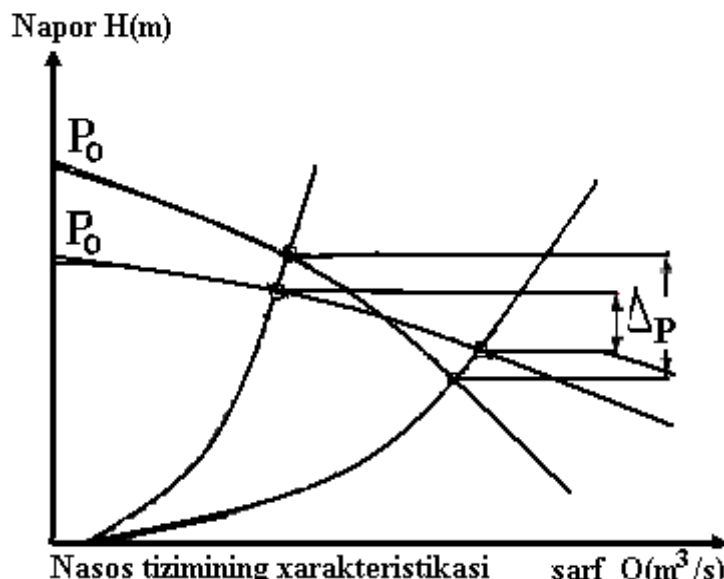
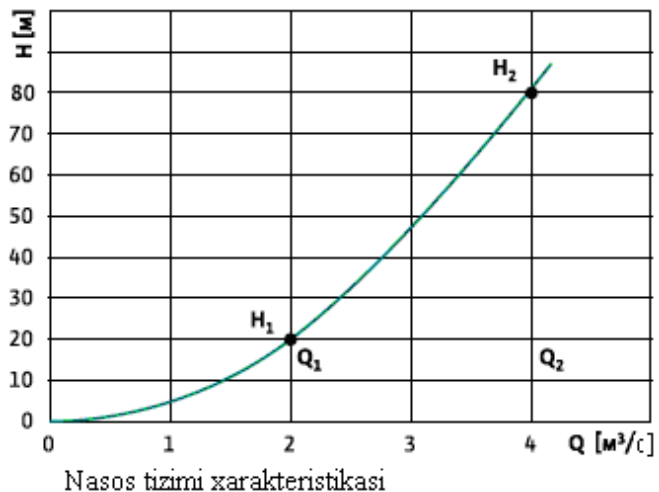
Quvurning ko'ndalang kesimini yarim jonli kesimida qarshilik kvadratik qonun asosida o'zgarishi mumkin. Shuning uchun grafik shakli ko'rinishi parabola ko'rinishida ifodalanishi mumkin. Bu bog'lanish quyidagi tenglama ko'rinishida bo'lishi mumkin:

$$\frac{H_1}{H_2} = \left(\frac{Q_1}{Q_2} \right)^2 \quad (2.63)$$

Agar quvur sistemasiga suyuqlik uzatishni ikki baravar kamaytirsa, napor uch qismga kamayadi. Bosimni yuqolish yana tashqi muhit haroratiga, suyuqlik qovushqoqligiga, oqim tezligiga, quvur turiga, uning g'adir-budurligiga qarab qarshilik kuchi o'zgarishi bilan bosimni yuqotilishi yuzaga keladi.

Gidravlik qarshilik quvur sistemasida suyuqlik zarralarining bir-biri bilan ishqalanishida, suyuqlik oqimining quvur devorlari bilan ta'sirlashishida, quvurning egilgan va buqilgan qismlarida yo'qolish sodir bo'lganda hosil bo'ladi.

Quvur tizimidagi bosimni yuqotilishini grafik ko'rinishida ifodalab, uning harakteristika-sini chizish mumkin. Buning uchun 2.10-rasmda keltirilgan nasos xarakteristikasi grafigidan foydala-nish mumkin bo'ladi. Quvur tizimida uning uzunligi bo'yicha ishqalanish kuchi natijasida bosim yo'li bo'yicha kamayib boradi.



2.11-rasm.Nasos tizimining xarakteristikasi,

Nasos va sistema xarakteristikalari kesishgan nuqtasi nasos va sistemaning ishchi nuqtasi deyiladi. Bu esa nasos quvvat bilan quvurlar sistemasining quvvatini muozanatlash nuqtasi bo'ladi. Nasos napori sistema qarshiligi bilan teng bo'lib, bu nasos quvvatini sistemaning tegishli sarf bilan taminlanishini ko'rsatadi.

Nasos sistemasini xarakteristikasi

Nasos xarakteristikasi chizig'i - pasayib boruvchi egri chiziqdandan iborat. Bu holatda suyuqlik faqat kinetik energiyaga aylanadi yoki nasosda bosim hosil bo'lmaydi. Ammo, quvurlar majmuasida ichki qarshilik kuchi hosil bo'ladi, haqiqiy sarf o'qidan nasos xarakteristika chizig'idan yuqorida bo'ladi.

Nasos yordamida bosimning oshirilishi napor deb ataladi. Nasos napori (N) - deganda nasos yordamida suyuqliknii uzatishdag'i solishtirma mexanik energiya tushuniladi.

Boshlang'ich bosim ikki baravar bo'lganda, nasos napori taxminan 20 metrni tashkil etadi. Bu holda (2.12-rasmda) DN 1/2 rusumli jo'mrakdan $2 m^3/\text{soat}$ suyuqlik sarfi oqadi. Sarfni ikki baravarga oshirish uchun boshlang'ich bosimni 2 dan 8 baravargacha oshirish kerak bo'ladi.

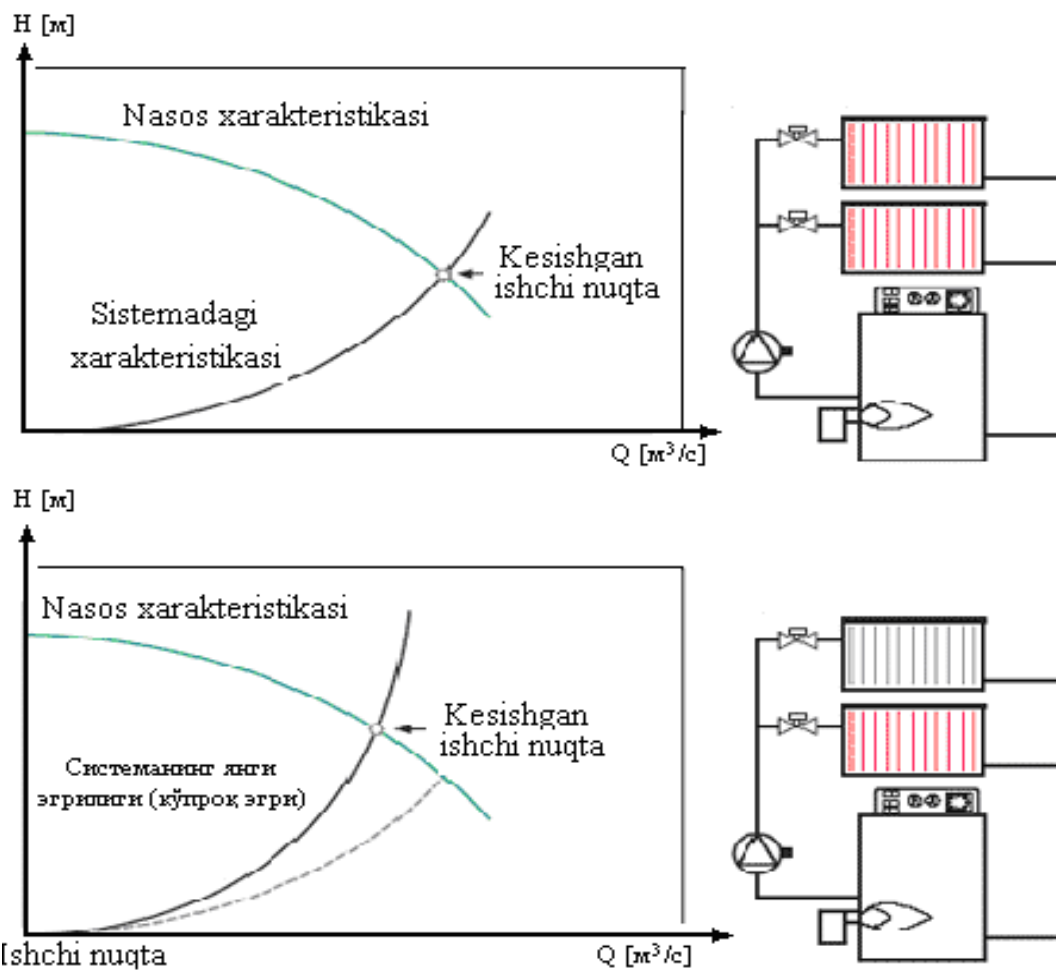
Nasos tizimining xarakteristikasi, turli xil nasos uchun ham mavjud bo'ladi (masalan dvigatelnii aylanish 2.11-rasmda chastotasi o'zgari-shidagi bog'lanishda).

Bu xarakteristika egriligi va ishchi nuqtasi ko'chishi suyuqlik uzatilishi va napor o'zgarishiga olib keladi:

Uzatishning katta o'zgarishi;
Naporing kichik o'zgarishi

Uzatish (sarflarning katta o'zgarishi):

- Eng katta egrilik:



2.12-rasm. Nasos va sistemaning kesishgan ishchi nuqtasidagi xarakteristikasi

Nasosos xarakteristikasi.

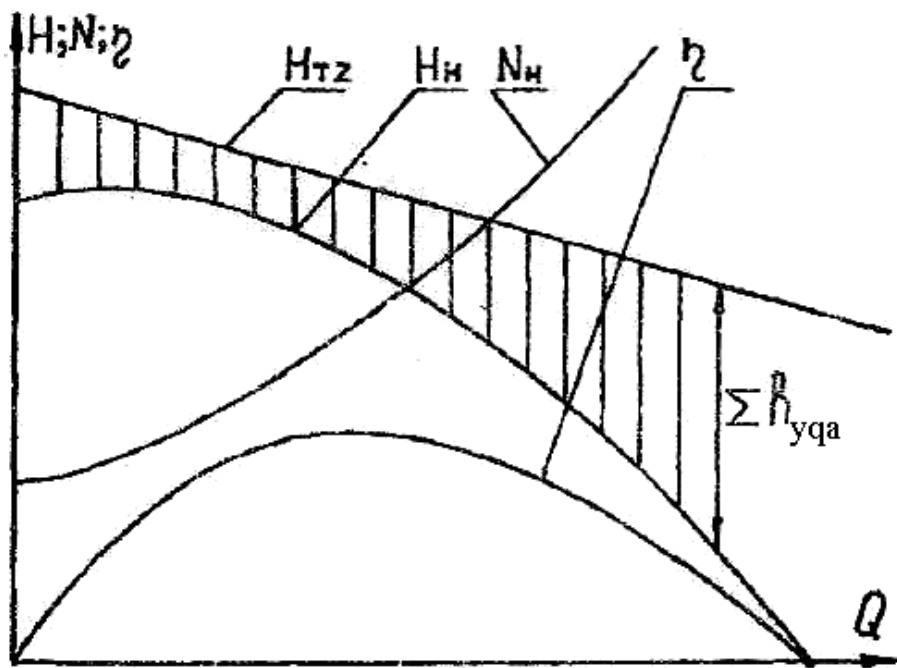
Sarfni ikki baravarga oshirish uchun boshlang'ich bosimni 2 dan 8 baravargacha oshirish zarur bo'ladi.

Suyuqlik uzatilishida quvur sistemasidagi qarshilik jo'mraklar ochilishi va yopilishida tezlik o'zgarishi jarayonida ham o'zgaradi.

- Uzatish (sarfling katta o'zgarishida);
- Uzatishning turli o'zgarishi va bosimi o'zgarishida;

Nasos kamerasiga markazdan qochma kuch ta'sirida suyuqlikning kelishi natijasida bosim ortib, suyuqlik nasos kamerasidan haydash trubasiga ko'tariladi. Markazdan qochma nasoslarning ishlashi shu printsipliga asoslangan bo'ladi. Bu xarakteristikada to'g'ri chiziq napor o'zgarishini (2.13-rasimda) berilgan. Haqiqiy napor H_{hag} nazariy napor H_{naz} dan kichik bo'lib, nasosda yo'qotilgan naporlar qiymati miqdorida undan kam bo'ladi, yani:

$$H_{xak} = H_{naz} - \sum h \quad (2.64)$$



2.13-rasm. Markazdan qochma nasosning ishchi xarakteristikasi

Nasoslardan foydalanishda turli aylanish sonlari uchun umumlashtirilgan va universal xarakteristika deb ataluvchi $Q-H$ xarakteristikadan foydalaniladi.

Bunday xarakteristikani hosil qilishda turli aylanish sonlari ($n_1, n_2, n_3, \dots, n_n$) uchun $Q-H$ xarakteristikani tuziladi. So'ngra bu xarakteristikada biror F.I.Kga tegishli nuqtalar ajratiladi. Bunda bitta F.I.Kning qiymati uchun ikkita bosim qiymati to'g'ri keladi. Bu nuqtalar tutash chiziq bilan birlashtiriladi. Bu jarayonni bir qancha F.I.K ($n_1, n_2, n_3, \dots, n_n$) uchun takrorlab, bir nechta tutash chiziqlari olinadi. Bu chiziqlar bilan chegaralangan sohada F.I.K chiziqlari qiymatidan kichik bo'lmaydi. Bunday usulda F.I.Kni aniqlash ancha murakkab jarayon hisoblanadi. Buning uchun amaliyotda eksperiment usulda ishchi xarakteristika aniqlanadi. Bu shunday usulki, unda valning o'zgarmas chastotali aylanishida nasosga ulangan quvurning o'zgaruvchi qarshiligidiga ega bo'lган holatda sinovdan o'tkaziladi. Quvur qarshiligining o'zgarishini jo'mrakning ochilish darajasiga qarab belgilanadi.

Agar markazdan qochma nasosning ishchi xarakteristikasi ma'lum bo'lgan n_1 chastotali valdan boshqa n_2 chastotada aniqlanadigan bo'lsa, markazdan qochma nasos rejimini o'rganish uchun ishlataladigan o'xshashlik nazariyasiga asoslangan formulalardan foydalaniladi. Bu formula napor, foydali quvvat va sarf orqali ifodalanadi.

$$\frac{Q_1}{Q_2} = \frac{n_1}{n_2}; \quad \frac{H_1}{H_2} = \left(\frac{n_1}{n_2} \right)^2; \quad \frac{N_1}{N_2} = \left(\frac{n_1}{n_2} \right)^3; \quad (2.65)$$

Bu formulalar qo'llanilayotganda F.I.K- η o'zgarmas qiymatda bo'ladi.

Nasoslarni ishlatalishda ularning pasportida keltirilgan shartlarda foydalanish maqsadga muvofiq hisoblanadi. Buning uchun turli sharoitda nasosning ishlashi

to'g'risida bat afsil ma'lumot bo'lishi kerak. Odatda bunday ma'lumot nasoslarning xarakteristikalari ko'rinishida beriladi.

Bosim, quvvat va F.I.K.ning sarfga bog'liqlik grafigi nasosning xarakteristikasi deb ataladi:

$$H = f_1(Q); \quad N = f_2(Q); \quad \eta = f_3(Q); \quad (2.66)$$

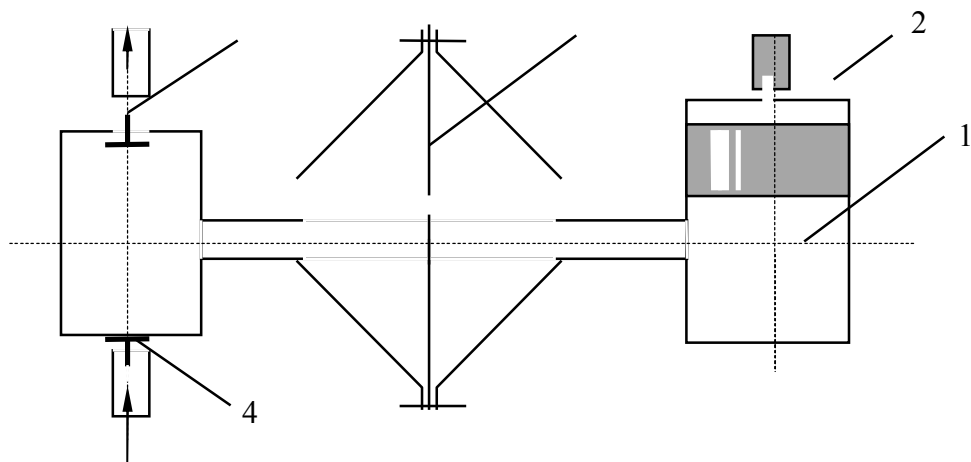
2.5. MAXSUS NASOSLAR

2.5.1. DIAFRAGMALI NASOSLARNING TUZILISHI VA ISHLASH PRINTSIPI

Kimyoviy aktiv suyuqliklarni va qattiq modda zarrachalari aralashgan suyuqliklarni so'rish uchun proshenli nasoslarni maxsus turlari ishlatiladi.

Bunday nasoslarning eng tarqalgan turi diafragmali yoki membranali nasosdir. Bu nasoslarning ishlash printsipi bo'yicha bir porshenli oddiy nasoslarga o'xshaydi va suspenziyalar hamda metall qismlarining emirilishiga katta ta'sir qiluvchi aktiv suyuqliklarni so'rishda ishlatiladi. Ko'pgina ichki yonish dvigatellarining yonilg'i ta'minlash nasoslari ham shu printsipda ishlaydi. 2.14-rasmda keltirilgan nasos chizmasi diafragmali nasoslarning bir ko'rinishdan iborat bo'lib, nasosning tsilindri (1) va plunjeri so'rileyotgan suyuqlikdan elastik to'siq (3) diafragma (membrana) bilan ajratilgan bo'lib, to'siq yumshoq rezina yoki maxsus po'latdan ishlanadi.

Plunjер orqaga yurganda diafragma bo'lmasining o'ng qismida siyraklanish, ya'ni vakuum hosil bo'ladi. Natijada diafragma o'ng tomonga egilib, siyraklanish, ya'ni vakuum diafragmaning chap tomoniga, so'ngra nasosning ish bo'lmasiga beriladi.



2.14-rasm. Diafragmali nasosning sxematik ko'rinishi

Bu esa xuddi porshenli nasoslardagi kabi, so'rish yopqichi ochilib, so'rish jarayoni boshlanishiga sabab bo'ladi. Plunjер pastga qarab harakatlanganda diafragmaning o'ng qismida bosim ortib diafragma chapga egiladi. Shu yo'l bilan bosimning ortishi ish bo'lmasiga berilib, so'rish yopqichi (4) yopiladi, so'ngra haydash yopqichi (5) ochilib, suyuqlikni haydash boshlanadi. Bu turdagи nasoslarning boshqacha ko'rinishlarida diafragma (membrana)ni harakatga keltirish uchun boshqacha usullardan

ham qo'llaniladi. Masalan, maxsus ilgarilanma-qaytma harakat qiluvchi mexanik richaklardan foydalaniladi (masalan avtomobilarda).

Nasosning suyuqlik berish sarfi quyidagi tenglama yordamida aniqlanadi:

$$Q_n = \frac{\pi \cdot D^2 L \cdot n}{4}, \quad \left[\frac{cm^3}{sek} \right]. \quad (2.67)$$

Bu erda: D - diafragma (membrana) ning diametri [cm]; L - diafragmaning yurish yo'li, [sm]; n - vaqt birligi ichida dafragmaning buqilish soni.

Bu nasoslarning indiqator diagrammasi va so'rish grafigi porshenli nasoslarnikiga o'xhash bo'ladi. Nasosga beriladigan quvvatning bir qismi (yuqorida aytilgan sarflardan tashqari) diafragmaning elastiklik kuchini engishga sarf bo'ladi. Shuning uchun FIK ham kamroq bo'ladi. Diafragmani elastikligi maxsus materialdan tayyorlab, bu yo'qotishni kamaytirish mumkin.

Shesternali nasoslar hajmiy nasoslarning bir turiga kiradi.

Barcha hajmiy nasoslarning ishlash printsipi, nasosning ishchi kamerasidagi siqib chiqaruvchi detallar (masalan: porshen, plastinka va boshqalar) orqali suyuqliknini siqib chiqarishga asoslangan.

$$Q_n = g_{nas} n / 60 \quad (2.68)$$

bu erda n -nasos valining aylanish chastotasi;

g_{nas} - nasosga kiradigan suyuqliknin hajmi.

g_{nas} - kattaligini shesetrnali nasoslarda ma'lum darajadagi aniqlikda quyidagi formula bilan topiladi.

$$g_{nas} = \pi D h b \quad (2.69)$$

bu erda D - shesternani diametri

h - shesterna tishlarining balandligi

b - shesternani qalinligi.

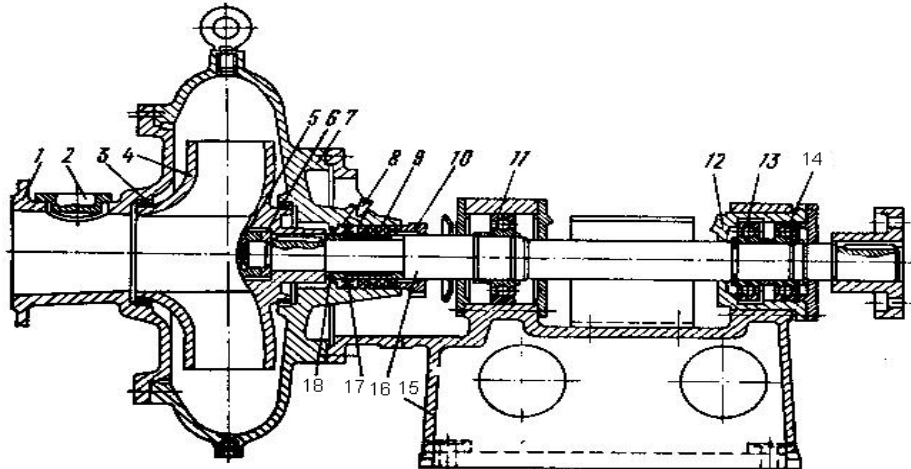
Odatda real holatda nasos sarfi Q_{nas} nazariy olingan sarfdan kichik bo'ladi. Unda nasos tizimidagi qismidan va quvur ulangan qismlaridagi suyuqliknini oqib chiqib ketayotgan sarfi miqdori - q_y ni ayirmasiga teng bo'ladi.

$$Q_{nas} = Q q_{yoq} \quad (2.70)$$

Tirqishlardan chiqayotgan suyuqlik harakati laminar harakatdan iborat bo'lgani uchun sizib chiquvchi sarf bo'luvchi bosimlar farqiga proportsional bo'ladi. Shuning uchun ham haqiqiy ishchi xarakteristika barcha hajmiy nasoslarda to'g'ri chiziqdan iborat bo'lib vertikal yo'nalishga qandaydir burchak ostida qiyalangan bo'ladi.

Shesternali nasos neft xujaligida ishlatilanidigan mexanizimlarni moylashda va mashina mexanizimlarida ishlatiladi.

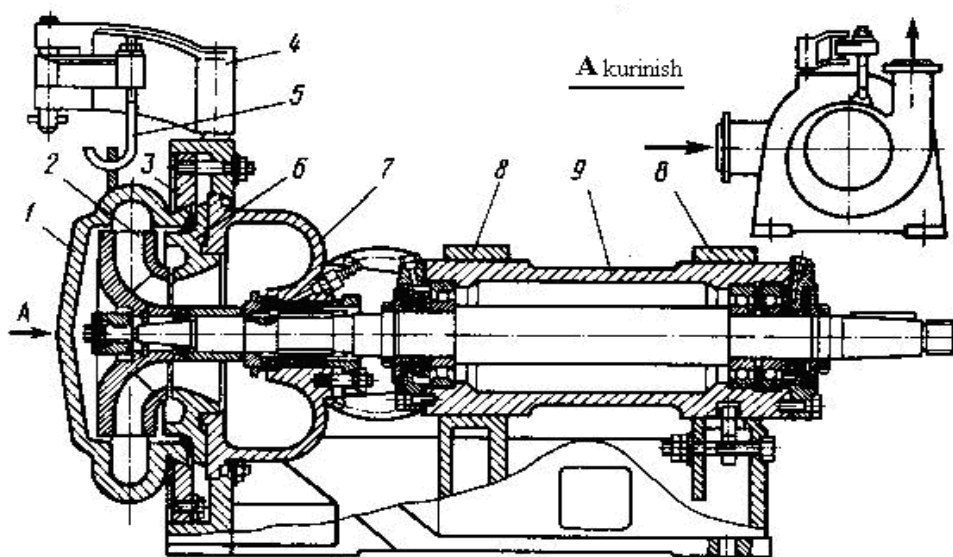
Qum va loyqa so'rvuchi nasoslar. Bir bosqichli, konsolli, gorizontal va vertikal nasoslar, harorati 100°S gacha bo'lgan, 2.15-rasmida ifloslangan quyuq suyuqliklarni haydash uchun ishlataladi. Kirish naychasi diametri 400 mm gacha bo'lgan bunday nasoslarning sarfi – $Q = 2-1000 \text{ l/s}$, bosimi – $H = 8-100 \text{ m}$ atrofida bo'ladi. Kirish naychasi 400 mm dan katta bo'lgan nasoslar, alohida talab b o'yicha tayyorlanadi.



Rasm 2.15. Nasosining konstruktsiyasi

1-s o'rish naychasi, oldingi qopqog'i bilan; 2-tozalash turish tirqish qopqog'i; 3-himoyalash-zichlash halqasi; 4-ish gildiragi; 5-kontur gayka; 6-gayka; 7-olib ketuvchi-korpus; 8-salnikni gidravlik zichlash uchun suv uzatish; 9-salnikli tirqish; 10-salnik kopqog'i; 11, 14-radial tebranish podshipniklari; 12-stakan-podshipniklarni o'rnatish uyasi; 13-radial-tanyach podshipnik; 15-kravaship tayanch; 16-val; 17-gidravlik zichlash xalqasi; 18-vtulka.

Ishchi g'ildiraklari boshqa nasoslarnikiga qaraganda kengroq kanallarga ega. Nasosga kirishda va olib ketishda, kirish qismini va ishchi g'ildirakni tozalab turish uchun germetik qopqoqli lyuk o'rnataladi.

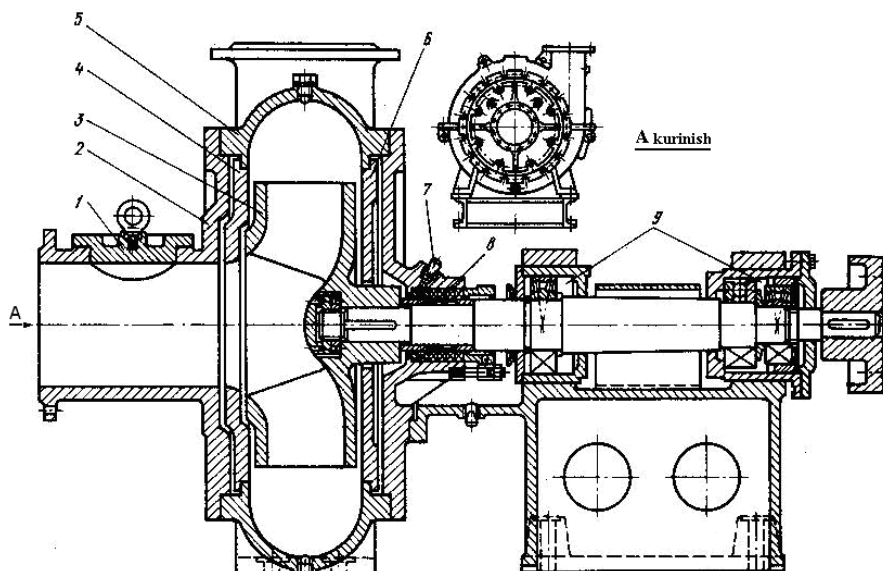


2.16-rasm. Qumli va shag'alli suyuq aralashmani ko'tarib beruvchi nasosning konstruktsiyasi.
1 -spiralsimon olib ketgich; 2 -ish g'ildiragi; 3 -ikkita yarim halqadan iborat siqish xalqasi; 4 -buriladigan kronshteyn; 5 -ilgak; 6 -zirhli disk; 7 -xalqasimon olib kelgich; 8 -tayanch ustunlari (kronshteynlar); 9 -tayanch ustunlarida siljuvchi stakan.

Bir bosqichli, konsolli, gorizontal va vertikal nasoslar harorati, 60° S gacha b o'lgan har xil gidroaralashmalar(qum, sha g'al va boshqalar)ni haydashda ishlataladi. Ularning sarfi $15 - 1800 \text{ m}^3/\text{soatni}$, bosimi $10 - 50 \text{ m}$ ni tashkil qiladi. Suyuqlik oqadigan qismi emirilishga chidamli materialdan tayyorlanadi. 2.16– rasmda, kuyukligi $1,8 \text{ dm}^3$ qumli va shag'alli suyuq aralashmani kutarib beruvchi nasosning konstruktsiyasi keltirilgan.

Ishchi g'ildiraklari boshqa nasoslarnikiga qaraganda kengroq kanallarga ega. Nasosga kirishda va olib ketishda, kirish qismini va ishchi g'ildirakni tozalab turish uchun germetik qopqoq o'rnatiladi. 2.15-rasmida nasosining konstruktsiyasi keltirilgan. Spiralsimon olib ketgich -1, zirhli disk -6, halqasimon olib kelgich -7-larning hammasi, ikkita yarim halqa va tortish shpilkalaridan iborat siqish xalqasi -3 yordamida korpusdagi kronshteynga mahkamlanadi. Buriladigan kronshteyn -4, ilgak -5 bilan birgalikda, spiralsimon olib ketgichni qismlarga ajratishda yoki bosimli patrubkani burishda (230° ga burish mumkin) ularni tutib turish uchun xizmat kiladi.

Loyqa nasoslari (Tuproq so'ruvchilar). Bir bosqichli, konsolli, gorizontal va vertikal nasoslar, gidroaralashmalar(loyqa, qum, torfli, k o'mirli va boshqalar)ni haydash uchun hizmat qiladi (2.17-rasm). Bu nasoslarning sarfi $7-16000 \text{ m}^3/\text{soat}$, bosimi $8-80 \text{ m}$ atrofida buladi.



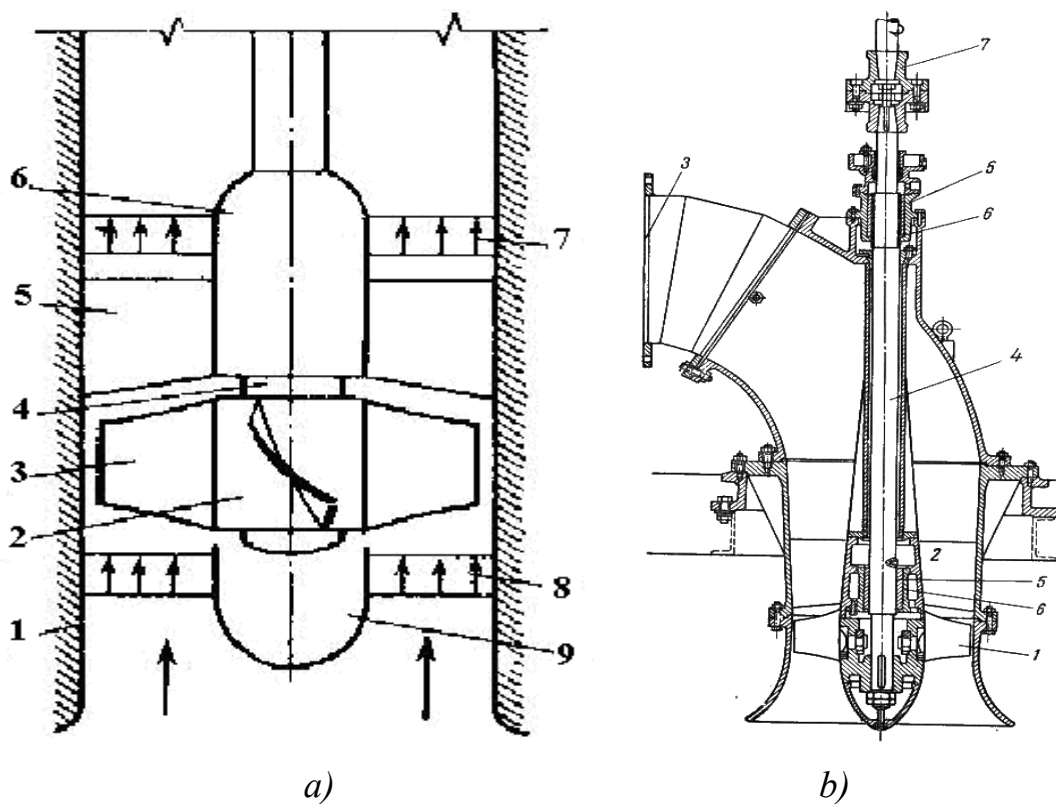
2.17-rasm. Zirxli diskli, tuprok so'ruvchi nasosning konstruktsiyasi.

1 –kirish quvuridagi kuzatish tirqishi; 2 –korpus qopkog'i; 3 –ish gildiragi; 4, 6 –zirxli disklar; 5 –spiralsimon olib ketgichli korpus; 7 –gidrozatvorga toza suv uzatuvchi shtutser; 8 –salnik; 9 – podshipniklar;

Markazdan qochma loyqa nasoslarning quyidagi turlari tayyorlanadi: L – (legkie) engil, bir korpusli; R – engil, rezina bilan qoplangan; T – (tyajyol) og'ir, ikki korpusli, emirilishga chidamli metall bilan himoyalangan. Loyqali nasoslar quyidagicha belgilanadi: 5 Gr L –8; 10 GruTV–8; 5 Gr RV – 8. Bu erda: 5, 10 – kirish quvurchasining 25 marta kichraytirilgan diametri, mm; Gr –(gruntov) loyqa so'ruvchi; Gru – loyqa so'ruvchi, suyuqlik oqadigan qismi kattalashgan qirqimli; L –(lyogkiy) engil, bir korpusli; T – (tyajyol) og'ir, ikki korpusli; R – rezina bilan qoplangan; V –

vali vertikal joylashgan. Fekal, qum shag' al va tuproq so'ruvchi nasoslar markalaridagi belgilar birinchi qismda keltirilgan.

Uqiy nasoslar, parrakli nasoslar sinfiga mansubdir. Suyuqlik, nasosning uqi buylab xarakat qilgani uchun, parrakli nasoslarning bu turi, uqiy nasoslar nomini olgan (2.16-rasm). Ish g'ildiragiga-2 kirishda va tug'rivorchi apparatdan-5 chiqishda, suyuqlik xarakatining yunalishi, val uqining aylanishi yunalishiga mos keladi. Uqiy nasoslarning klassifikatsiyasi 2.18-rasmdagi sxemada keltirilgan.



2.18-rasm. 15. Uqiy nasoslarning sxemasi va konstruktsiyasi.

a) - uqiy nasoslarning sxemasi: 1, 6 –nasos va podshipniklar uzelining korpusi; 2 –ish g'ildiragi; 3 –ish g'ildiragining parragi; 4 –val; 5 –tug'rivorchi apparat; 7, 8 –ish g'ildiragiga kirishda va tug'rivorchi apparatdan chiqishda tezlik epyuralari; 9 –tug'ri shaklidagi oqib o'tuvchi; b)-uqiy nasoslarning konstruktsiyasi: 1-ish g'ildiragi; 2-tug'rivorchi apparat; 3-olib ketuvchi; 4 –val; 5 –podshipnik vkladishlari; 6 –podshipnik; 7 – mufta.

Uqiy nasoslar ikki xil turda ishlab chiqariladi: (uqiy, parraklari ish g'ildiragi quzgolmas qilib mahkamlangan) va (parraklari, ish gildiragi, o'z uqi atrofida aylanib buraladigan qilib mahkamlangan).

III. BULIM. KOMPRESSORLAR

3.1. KOMPRESSORLAR HAQIDA UMUMIY TUSHINCHALAR VA ULARNING TURLARI

Gazlarni qisishga va aralashtirishga ixtisoslangan mashinalarni gaz purkovchi yoki kompressor mashinalar deb ataladi. Keyinchalik bu mashinalarni, “kompressor mashinalari” yoki soda qilib, kompressorlar deb yuritamiz.

Kompressorlarni xususiyatlariga qarab quyidagi klassifikatsiyalarga ajratamiz:

- qisiluvchi muhit turiga qarab: havo kompressorlari, azotli, etilenli, ko'mir vodorodli gazlar uchun, kislorodga, freonga, uglekislotali gazlar uchun kompressorlar.

- tsilindr soniga qarab (porshenli uchun) bir tsilindrli, ko'p tsilindrli;
- so'rvuchi gaz bosimiga qarab:
- so'rvuchi quvuridagi me'yoriy bosim atmosfera bosimiga teng;
- siquvgacha bosim atmosfera bosimidan katta;
- uzatgich turiga qarab;
- mexanik yuritmali transmissiya vallari, o'qi va boshqalar;
- elektr uzatgichli o'zgaruvchi tokka asoslangan;
- bug' kuchiga asoslangan uzatkichli bug' mashinasidan, bug' turbinasidan;
- gaz turbinasidan foydalangan yuritgich;
- ichki yonish dvigatelidan olingan yuritgich;
- gazmotorli, «gaz dvigatelli kompressor» yagona nomga ega;
- siqishning bosqichlar soniga qarab: birbosqichli, ko'pbosqichli;
- kompressor o'rnatilgan joyga qarab;
- statSIONar – qimirlamas asosga mahkamlangan;
- transportli (ko'chib yuruvchi) – o'zining asosiga ega bo'lib, ko'chuvchi (aviatsiyada, kemalarda va b.q.) yoki maxsus aravalarda olib yuriluvchi (qurilish tashkilotlarda, shaxtalarda va h.k.)
- sovutilishi bo'yicha:
- sovutilmaydigan:
- suv yordamida maxsus o'rov ichidagi sovutish va vaqtiga vaqt bilan (bosqichma bosqich) sovutiladigan;
- havo yordamida sovutilish;
- bosim o'zgarishiga qarab:
- vakuum kompressorlar atmosfera bosimidan kichik bo'lган maydonдан gazni so'rish bilan va atmosfera bosimi yoki undan ortiq bosimli maydonga haydovchi;
- ventilyatorlar, haydash bosimi 0,01 MPa gacha gaz puflovchi (havo puflovchi), haydash bosimi 0,01 do 0,35 MPa;
- kompressorlar, haydash bosimi 0,35 MPa dan ortiq;

O'z navbatida bosim berish qobiliyatiga qarab, kompressorlar quyidagi xillarga bo'linadi;

- past bosimli kompressorlar 0,35-1 MPa oralig'ida;
 - yuqori bosimli kompressorlar 1-10 MPa;
 - o'ta kuchli bosimli kompressorlar, bosimi 10-100 MPa dan ortiq;
1. Tsilindrler soniga qarab: bir tsilindrli, ikki tsilindrli va uch tsilindrli;

2. Tsilindrlar joylashuviga qarab: gorizontal, vertikal, *W*-shaklida, *V*- shaklida;
3. Qism bosqich soniga qarab: bir bosqichli va ikki bosqichli;
4. Uzatgich rusumiga qarab: elektrodvigatelda uzatish, dizeldan uzatish.

Kompressorlarning asosiy texnik xarakteristikalari quyidagicha:

- havo qismidagi bosim miqdori(atm, bar);
- so'rish yoki haydash unumdorligi (m^3/min , l/min , l/sek);
- kuch qurilmasi boshlang'ich quvvati (kVt);
- kompressor massasi va o'lchami.

Kompressorlar klassifikatsiyasi:

1. Havo qismi rejimi harakteriga va mashinaga qo'llash xilligi:

- statik - bunda porshenli, rotatsion va vintli sistema ishlataladi;
- dinamik - radial va o'qli rusumdag'i hamda o'ramali turbomashinalar bilan.

2. Konstruktiv qo'llashdagi qo'shimchalar:

- boshlang'ich qurilma kuchi ko'rinishi (elektrodvigatel, korbyuratorli yoki dizelli ichki yonish dvigateli);
- havo qismi bosqichi soni (bir-ikki bosqichli);
- sovutish sistemasini qo'llashdagi ko'rinishi (yog', havo bilan);
- ko'chirish mumkinligi (statsionarli, ko'chishli, bir o'qli va ikki o'qli pritsepli);
- uskuna kuchining montaj qismida, qismlarni joylashtirish o'rni (ramada, resiverda);
- resivering joylashuvi (gorizontal, vertikal);
- apparatning komplektatsiya darajasi (havo tayyorgarligi, nazorat va havfsizlik).

Mashinaning asoyi energiya manbai - bu qisiluvchi havo, uskuna va butlovchi qismlar.

Kompressor orqali ishlov berilgan havoning iqtisodiy samaradorligi uning tozaligiga bog'liq. Havoni boshqarish uchun qo'llash ma'lum qonun-qoidalar va me'yorlar bilan belgilangan.

3.1.1. KOMPRESSORLAR KLASSIFIKATSIYASI VA ULARNI QO'LLANISH SOHALARI

Quyidagi rasmida kompressorlar klassifikatsiyasi keltirilgan bo'lib, ularning konstruktiv xususiyatlari tahlil qilingan.

Og'ir metalli porshenli mashinalar, ularning harakatlanuvchi qismi to'liq muzoqatlanmagan, ularga nisbatan sekin harakatli ammo yuqori bosimli (10 MPa dan oshiq) va (250 —300 MPa) ishlab chiqarishga ta'luqli kompressorlar hamda 2000 MPa gacha — laboratoriya mo'ljallangan kompressorlar) yuqori iqtisodiy ko'rsatkichda ishlovchi, turli gazlarni, hatto xavfli (toksin) gazlarni siquvchi mashinalarga kiradi.

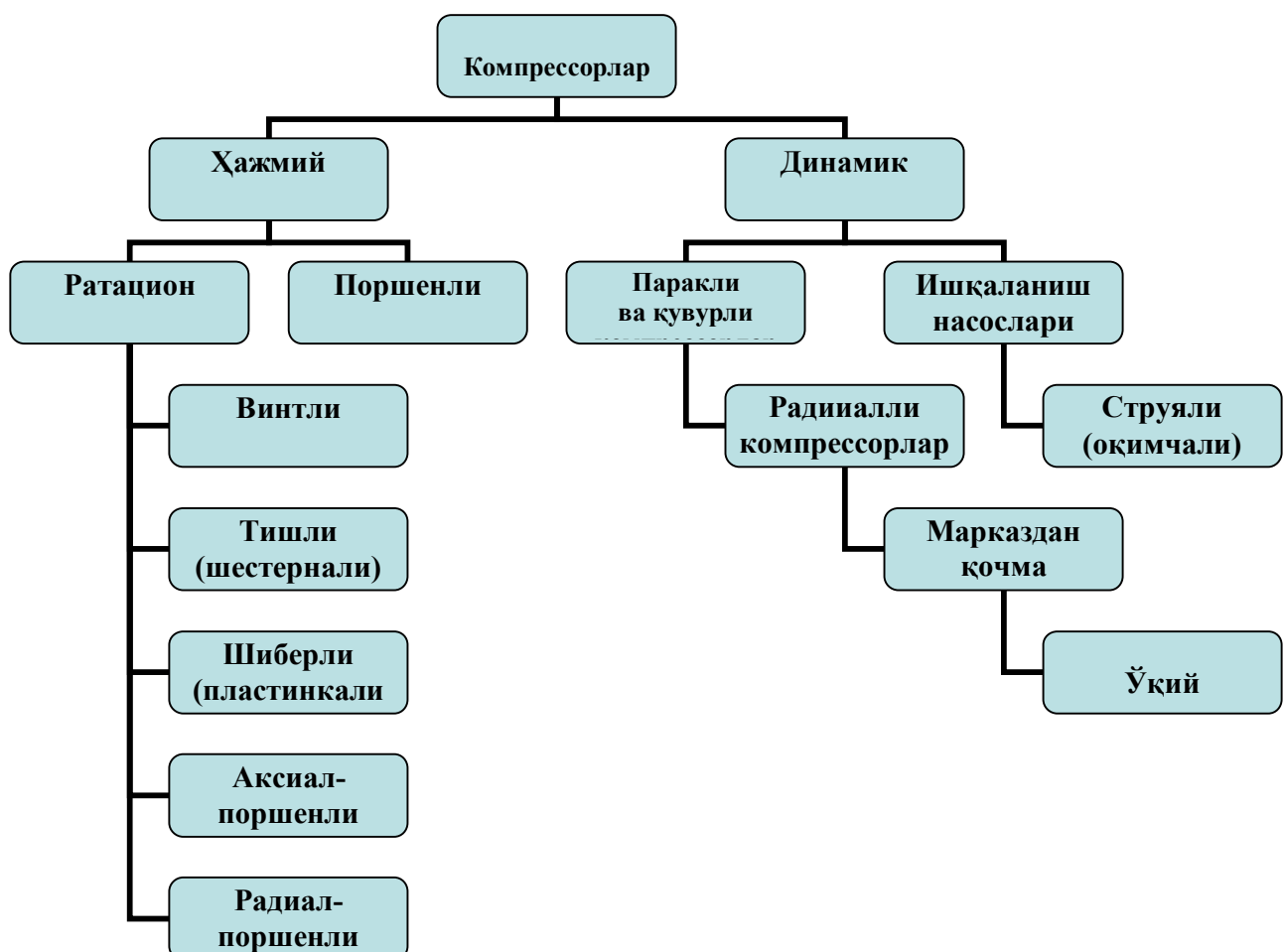
Dinamik ta'fsifli kompressorlar. Bunday kompressorlar katta aylanishga ega, nisbatan engil metalli, yuqori unumdorli porshenliga nisbatan FIK kamroq, lekin harakati tekis muvozanatlashgan. So'rish va haydashda bosimlar farqi yuqori bo'lishi

uchun ko'p bosqichli sxemaga ega bo'lgan kompressorlar yaratilishi maqsadag muvofiq hisoblanadi.

Bu holda mashina haddan tashqari katta va iqtisodiy ko'rsatkichlari bo'yicha maqsadga muvofiq emas. Unumdoorligi (sarfni kamayishi $100 \text{ m}^3/\text{min}$. dan kam) iqtisodiy jihatdan keskin kamayadi.

Rotorli mashinalarning FIK dinamik kompressorlarga nisbatan biroz kamroq bo'ladi. Uning tezlik xarakteristikasi rotor va tsilindrini mehanik bog'liqligi uchun chegaralangan. Shuning uchun dinamik mashinaga nisbatan ishonchsizroq ishlaydi. Dinamik mashinada aylanma tezlik, disk yoki parraklar mustahkamligiga qarab, ma'lum chegaraga ega.

Bunday mashinalar ishonchligi va FIK bo'yicha yuqori nisbiy bosim hosil qilmaydi. Bunday mashinalarda FIK va ishslash jarayonidagi shovqunning kamligiga va rotor aylanish chastatosi nisbiy bosimiga bog'liq emasligi uning asosiy xarakteristikasini ifodalaydi (Dinamik mashinalarda bosim farqi rotorni aylanishiga bog'liqligi).



Membranali kompressorlar ichki jarayon va konstruktsiyasi ko'rinishi xarakter jihatdan porshenli kompressorlarga o'xshash bo'ladi. Ishchi a'zo—membrana, haydash bosimini yuqoriligi ($20-40 \text{ MPa}$) va berilayotgan gazning tozaligi va konstruktsiyasiga qator chegaralanadi. Ular porshenli kompressorlarga nisbatan metallning ko'p

ishlatilinganligi hamda sekin harakatliligi bilan farqlanadi. Membrananing kichik egilishi hisobiga mashinaning unumdorligi juda kam o'zgaradi. Membranalı mashinaning ishlash vaqtı ham chegaralangan. Bu mashinalar gazni siqish va uzatishni eng yaxshi (optimal) holga keltirish uchun ko'p faktorli tahlillar, ma'lum sharoitlardagi mashina ishlatilishida konstruktsiya elementlarini o'zgartirishda quyidagi holatlarga e'tibor qaratish kerak bo'ladi. Boshlang'ich kapital xarajatlar, ishlatish faktorlarni (FIK, ishlatish vaqtı, taklif qilingan vaqtgacha ishlab berishi va h.k.) atrof muhit faktorini (tovush tebranishi, germetiklik va h.k.) har bir faktorning muhimligi iste'molchi tomonidan bohalanadi.

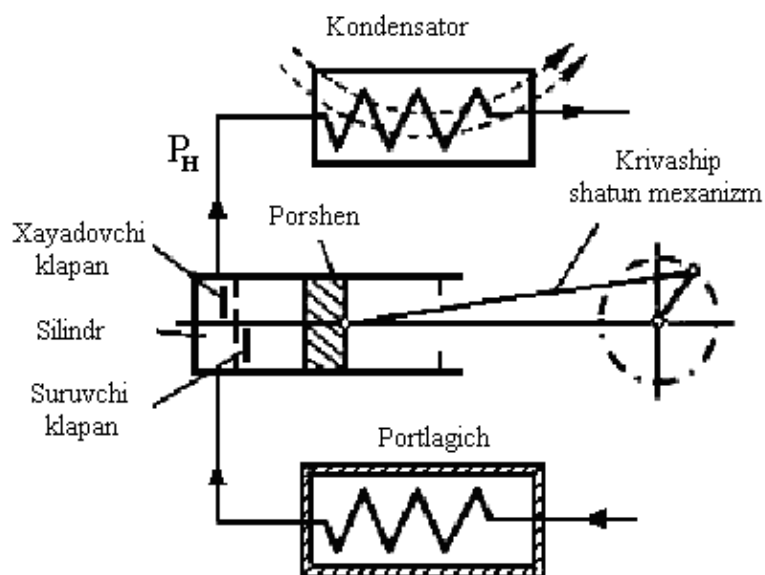
Yuqoridagi faktorlarga asosan joylarda qaysi mashinaga ehtiyoj sezilsa, shunga qarab kompressorlar rusumi tanlanadi.

3.1.2. PORSHENLI KOMPRESSORLAR

Porshenli kompressorlar — eng ko'p ishlatiladigan kompressorlar bo'lib, konstruktiv jihatidan ham turli ko'rinishda bo'ladi. Porshenli kompressorlar to'qimachilik sanoatida, mashina qurulishida kriogenytexnikada, kimyo va sovutgichlar ishlab chiqarishda ko'plab ishlatiladi. Porshenli kompressorlar ko'rinishi, tsilindrler joylashuvi, shatun mexanizmi qurilmasi va bosim hosil qilish darajasiga qarab farqlanadi.

Porshenli kompressoring ishlash printsipi.

Porshenli kompressor —bu shunday kompressorki, unda tsilindr ichida porshen ilgarilanma-qaytarma harakat qiladi. Eng sodda kompressor porshen va tsilindr dan iborat bo'lib, 3.1-rasimda ular orasida kichik oraliq mavjud.



3.1-rasm. Porshenli kompressoring ishlash printsipi.

Porshen dvigetelga ulangan val orqali krivoship-shatun mexanizm orqali harakatga keladi.

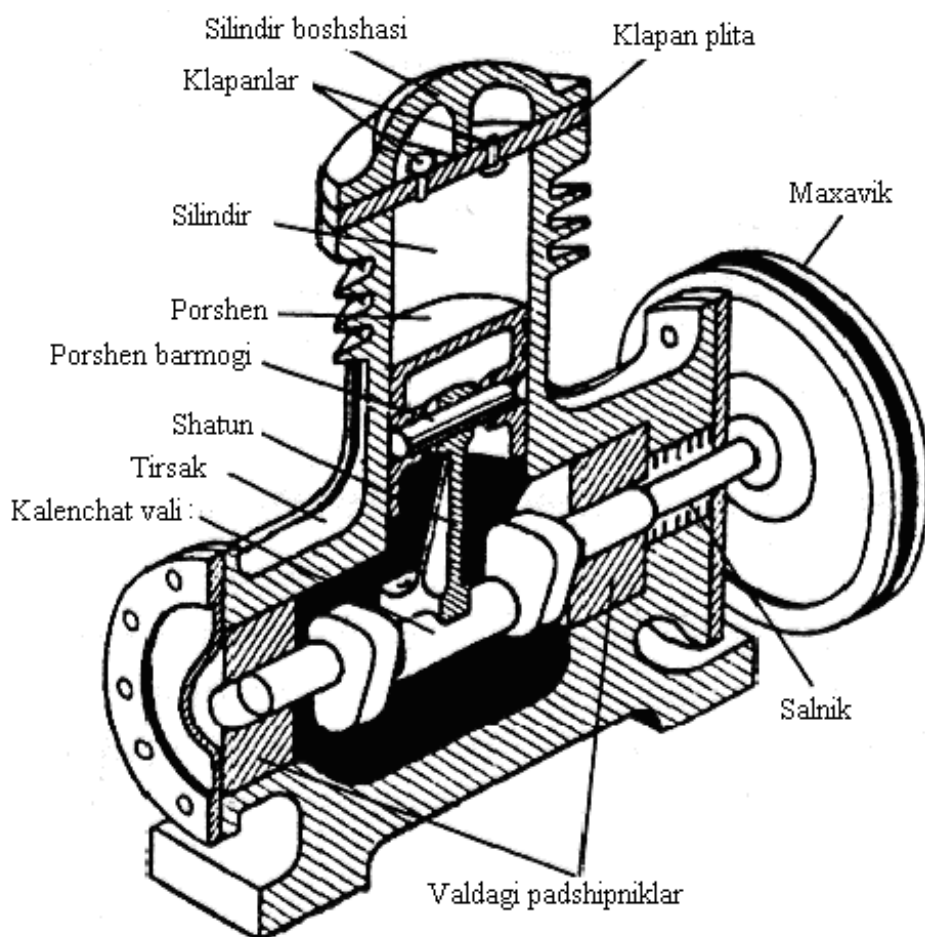
Porshenli kompressorlarda so'rvuchi va haydovchi klapanlar tsilindr qopqog'i (krishka) ichiga joylashtirilgan. Har bir kompressor tsilindri ichida valning bir marta aylanishida yoki porshening ikki yurishida to'liq ish jarayoni namoyon bo'ladi.

Tsilindr ichida porshen harakati natijasida kondensator ichida porshen ust qismida havo siyraklanishi hosil bo'ladi va klapan ochilishi bilan parlatgich orqali parbug' tsilindr ichiga kira boshlaydi. Porshenning teskari harakatida esa bug'lar qisiladi va natijada bosim oshadi.

So'rvuchi klapan bu vaqtda yopiladi, haydovchi klapan orqali siqilgan bug' kondensatorga itariladi. Shundan keyin porshen harakat yo'nalishi o'zgaradi va haydovchi klapan yopiladi, kompressor bug'ini porlatgich orqali so'ra boshlaydi.

Cho'yandan ishlangan kompressorning qismlari tsilindr va kompressordan iborat bo'lib, tirsakli val karter ichiga joylashtirilgan. Karter ichiga moy quyilib, bu moy kompressor qismlarini moylab turadi.

Tirsakli val podshipniklarga quyilgan maxsus bo'yinchalarga o'rnatilingan. Bo'yinchalar sal'niklar bilan zichlangan. Bu esa tirkishlardan moyning oqib ketishiga to'sqinlik qiladi. Valning bo'yinchasiga maxovik presslangan bo'lib, kamarli uzatgich yordamida dvigatelb tirsakli valni aylantiradi.



3.2-rasm.Porshenli kompressorning tuzilish sxemasi

Shatun yuqori boshchasi yordamida porshen barmoqchasiga biriktirilgan. Valning aylanishi bilan tsilindr o'qida porshen bir chetki holatidan ikkinchi chetki holatgacha harakatlanadi. Bu vaqtda krivoship ikki radius qiymatga aylanadi.

Porshenga maxsus xalqacha o'rnatilgan bo'lib, o'zining qayishqoqligi bilan moy idishi (karter) ga bug' qoldiqlarini tushirmay turadi hamda tsilindr ichida zich holda harakatlanadi.

Tsilindirning yuqori qismi maxsus boshcha (golovka) bilan berkitilgan. Tsilindir bosh qismi ikki kameradan iborat: so'rvuchi va haydovchi. Har bir kamerada klapanlar bo'lib, ular so'rvuchi va haydovchi klapanlardir. Klapanlar tsilindrning ikki tomoniga o'rnatiladi.

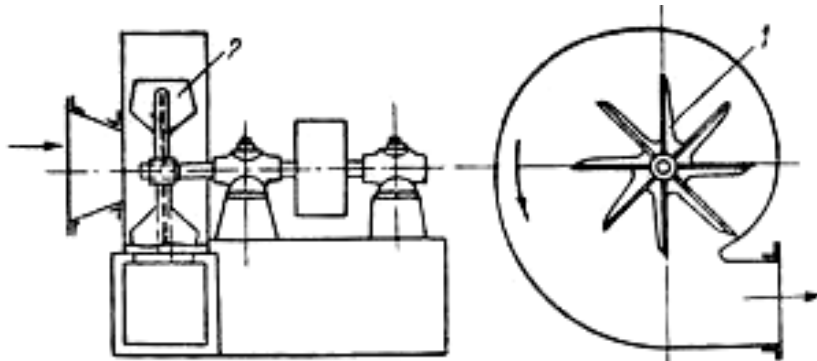
So'rvuchi klapanlarga so'rvuchi quvur o'rnatilib, porlatgich bilan ta'minlangan. Haydovchi kameraga haydovchi quvur esa kondensator orqali ulangan.

3.1.3. XAVO HAYDAGICHLARNING TUZILISHINI O'RGANISH

Ventilyatsiya (shamolatish) tizimlari ham kompressorlar tizimlariga o'xshab, turli tuman uskanali guruhlarga bo'linadi. Bular ventilyatorlar, ventilyator agregatorlari yoki ventilyator qurilmalaridir.

Ventilyatorlar.

Ventilyatorlar - mexanik qurulma bo'lib, xonalarni shamollatishga, havoni tashuvchi tizimlarda havo almashtirib turishga va salqin havo hosil qilishga mo'ljallangan. Shuningdek, 3.3rasmda havoni to'g'ridan-to'g'ri xonalarga uzatib berish, xonadagi havoni so'rish bilan birga ventilyatorga kirishda va chiqishdagi kerakli bosim farqini hosil qilish uchun ham ishlatalidi.



3.3-rasm.Ventilyatorlar konstruktsiyasi va ishlash turi bo'yicha quyidagilar turlarga bo'linadi

O'qiy (aksial); markazdan qochma (radial); diametralli (tangentsial).

Ventilyatorlar havoni uzatishi hamda to'liq bosim miqdoriga bog'liq hamda quyidagilarga bo'linadi: past bosimli (1 kPa) gacha; o'rtacha bosimli (Z kPa) gacha; yuqori bosimli (12 kPa) gacha.

Ventilyatorlarni ishlatalish sharoitiga va muhit tarkibiga qarab quyidagilarga bo'linada:

800°C gacha bo'lган haroratli havo uchun; korroziyalı muhitlar uchun;

issiqqa chidamli 200°S gacha haroratli havo uchun; portlashga xavfsiz, portlashga moyil muhitlar uchun; chang-to'zonli havo uchun (qattiq zarrachalar 100 mg/m^3 dan katta).

Ventilyator parraklarini mahkamlanish usuli va elektrodvigatelъ o'rnatilishiga qarab ventilyatorlar quyidagicha bo'ladi:

elektrodvigatelъ bevosita ulanish bilan; kamarli bog'lanish bilan.

Ventilyatorlarni o'rnatish joyiga qarab ular quyidagilarga bo'linadi:

Oddiy, maxsus tayanchga o'rnatilgan (rama yoki mustahkam asosga);

kanalli, bevosita havoni haydaydigan havo yo'liga o'rnatilgan;

tomga, ya'ni maxsus o'rindiqqa o'rnatilgan.

Radial ventilyatorlar — turli tuman loyihali so'rib olib-uzatuvchi shamolatgich, ishchi bosimi hamda sarfi keng spektorli bo'lган ventilyatorlar. Ushbu ventilyator murakkab mahsulotlarni va portlashga moyil muhitlar uchun qo'llaniladi.

Kanalli ventilyatorlar dumaloq va to'rtburchak kanallar uchun, mahsulotlarni joyni shamollatish tizimini ishga solishga juda qulay bo'lib, o'rnatish va uni ishga tushirish tez va qulay. Bunday ventilyatorlar yuqori sifatli dvigatelъ bilan jihozlangan bo'lib, tashqi rotorga ega hamda kam quvvat talab qiladi va ishlatish uchun juda qulaydir.

O'qiy ventilyatorlar — eng sodda shamollatish usuliga ega. U ishlab chiqarish ob'ektlarida, qishloq xo'jalik va boshqa binolarni shamollatishda keng miqyosda qo'llaniladi.

Asosiy xarakteristikalar

Barcha ventilyatorlar ma'lum texnik xarakteristikalarga ega bo'lib, qo'llanish sohasiga qarab tanlanadi hamda klassifikatsiyalanadi.

Ventilyatorlar quyidagi texnik xarakteristikalarga ega:

aylanish chastota (ayl/min), bosimning to'liq hosil qilinishi (Pa), havo sarfi (m^3/s), tovush bosimi hosil qilinishi (dB), FIK (foyDALI ish koeffitsienti) va kerakli quvvati (Vt).

Ventilyatorlar turlari:

Ventilyatorlar turli rusum va turlarga ega. Ventilyatorlar qurulma konstruktsiyasi, qo'llanish sohasi, ish sharoiti hamda texnik xarakteristikasi va parametrlari orqali farqlanadi.

Ventilyatorlar konstruktsiyasi:

O'qiy (aksial), markazdan qochma (radial), diagonal va tangentsiali (diametrallli).

Ventilyatorlar bosim hosil qilishiga qarab bog'lanish turlari:

Past bosimli (1 kPa gacha), o'rta bosimli (1-3 kPa gacha), yuqori bosimli (3 - 12 kPa gacha):

Ish sharoitiga qarab bog'lanishli ventilyatorlar:

-oddiy ventilyatorlar;

-chang uchun (changli muhitda ishlash uchun);

-portlashlardan himoyalangan (portlashga moyil muhitlarda ishlash uchun) ;

-issiqqa chidamli ventilyatorlar (80°S dan yuqori haroratda ishlash uchun);

-korroziyaga chidamlı (korroziyalı muhitda ishlash uchun) ;
-tutunni yo'qotish uchun ishlaydigan ventilyatorlar.

Ventilyatorlarning elektrodvigatellarga ulanish usuliga ko'ra:
bevosita ulanish bilan, bosqichli ulanish bilan va kamarli uzatgich bilan:

Ventilyatorlarni o'rnatish usuliga ko'ra:

- oddiy ventilyatorlar (tayanchga mustahkamlangan):
- kanalli ventilyatorlar (havo o'tkazish yo'liga o'rnatilgan):
- tomga mo'ljallangan ventilyatorlar (bino tomiga o'rnatilgan):
- ko'p tarmoqli ventilyatorlar (ko'p hajmdagi havo o'tkazishga mo'ljallangan ventilyatorlar):

Ventilyatorlar hosil qiladigan bosimiga qarab quyidagilarga bo'linadi:

- past bosimli ventilyatorlar (markazdan qochma, o'qiy), haydash bosimi 1000 Pa-gacha;
- o'rta bosimli (markazdan qochma), bosimi 3000 Pa gacha;
- yuqori bosimli (markazdan qochma), bosimi 10 kPa va ayrim hollarda 15 kPa gacha;

- Ventilyator qurilmasining ishlash tartibiga asosan:

- Hajmiy, shu jumladan, porshenli ilgarilanma-qaytarma harakatlari porshenli, bir ishchi yoqlama, oddiy yoki ikki yoqlama, rotorli va vintli;
 - parrakli (kurakli), ular o'z navbatida ishchi jism radial yo'nalishdagi harakatlari markazdan qochma radial o'qiy (aksialli) ishchi jism o'qi ko'chiga bo'linadi;
 - kurakli markazdan qochma va o'qiy kompressorlar hamda havopurkagichlar, turbokompressor va turbomashinalar deyiladi;
 - oqimchali (struyali) (ijektorlar, aspiratorlar), past bosimli havo(gaz) ni so'rish va siqishga mo'ljallangan bo'llib, ishchi jismi kengaytirilgan, kinetik energiyadan foydalanishga asoslangan.

Ventilyatorlar turlari

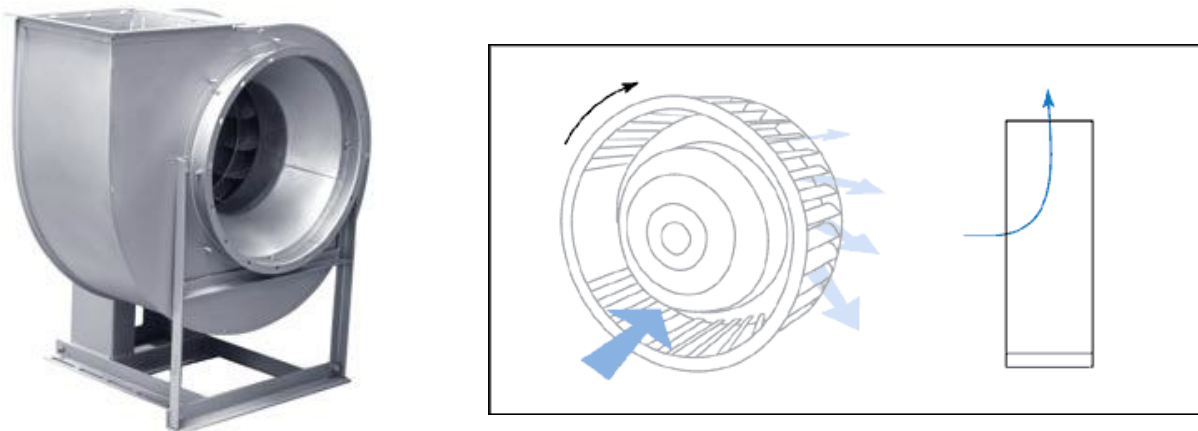
Havo o'tkazgichlar tizimidagi binolarda ishlatiladigan, havoni haydash va so'rishda, shamollatish uchun qo'llanadigan qurilmalarga ventilyatorlar deb yuritiladi. Ventilyatorlarning asosiy vazifasi, havo o'tkazgichdagi qarshilikni va diametrler farqini engish, ventilyatsiya tizimidagi mahalliy qarshiliklarni kamaytirishdan iborat. Havo qarshiligi tizimidagi bosim farqlari mo'tadil bo'lmasligi sababli bosim farqlarini o'zgartirish uchun ventilyatorlar turlari tanlanadi.

Ventilyatorlarning ishlash tartibiga va geometrik ko'rinishiga qarab parrakli, radial, o'qiy, yarim o'qiy hamda diagonal ventilyatorlarga bo'linadi.

Radial ventilyatorlar

Shamollatish tizimida asosan yuqori bosimli ishlash sharoitida radial ventilyatorlar ishlatiladi. Uning asosiy texnik xarakteristikalari ishchi g'ildirak va parraklar orqali aniqlanadi.

Agar kuraklar egilgan bo'lsa, kam shovqunga va 80% samarali ishlashga ega bo'ladi, ammo bunday kuraklar orqali havo miqdorini o'tishi bosimga bevosita bog'liq. Bunday ko'rinishga ega bo'lgan kuraklar changli havoga tavsiya etilmaydi.

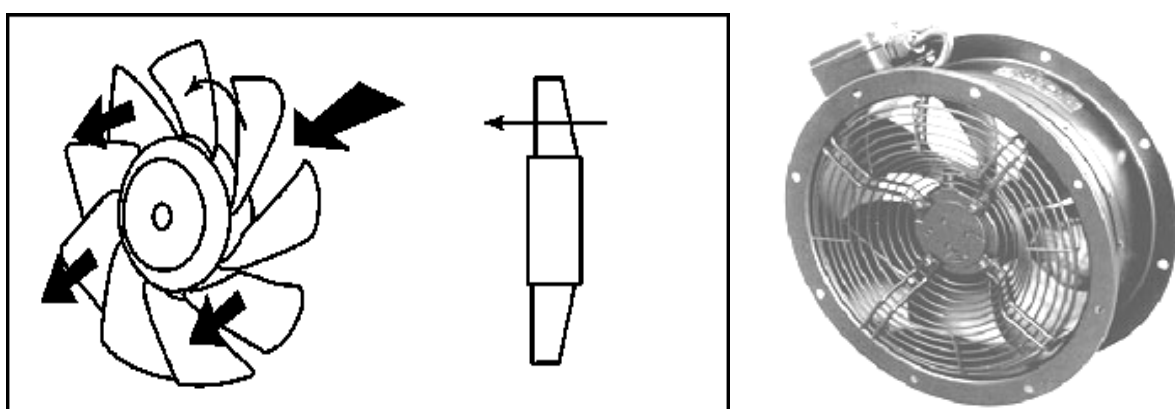


3.4-rasm. Radial ventilyatorlar.

Agar ishchi g'ildirakdagi kuraklar to'g'ri shaklga ega bo'lib, orqa tomonga egilgan bo'lsa, 70% gacha ishlash samaradorligiga ega. Bu rusumdagи ventilyatorlar ifloslangan havo uchun yaxshi ishlaydi. Agar ishchi g'ildirakdagi kuraklar to'g'ri radial holatda bo'lsa, havodagi iflosliklarga kam yopishish koeffitsientiga ega bo'lib, 3.4-rasmida ventilyator ishlashi 50% samaradorlikni tashkil qiladi.

Ventilyator konstruktiv jihatdan oldinga buralgan bo'lsa, ventilyator 60% samaradorlikda ishlaydi va havoning yuqori bosimi uning unimdonligiga kam ta'sir qiladi. Bunday ventilyatorlar gabarit jihatdan kichik miqdorni tashkil qilib, o'rnatishga ham qulay hisoblanadi.

O'qiy ventilyatorlar. Bunday rusumdagи ventilyatorlar samaradorligi jihatidan past bo'ladi. Samaradorligini oshirish yo'li tsilindr shaklidagi tayanchga o'qiy ventilyatorlarni joylashtirishdan hisoblanadi. Ushbu usullar yordamida (3.5-rasmida) o'qiy ventilyatorlarning ishlash samaradorligini 75% ga oshirish mumkin yoki yo'naltiruvchi kuraklar ishlatilsa, u holda ishlash samaradorligi 85% ga oshirish mumkin bo'ladi. Propellerli ventilyatorlar - o'qiy ventilyatorlarning eng sodda turlari qatoriga kiradi.

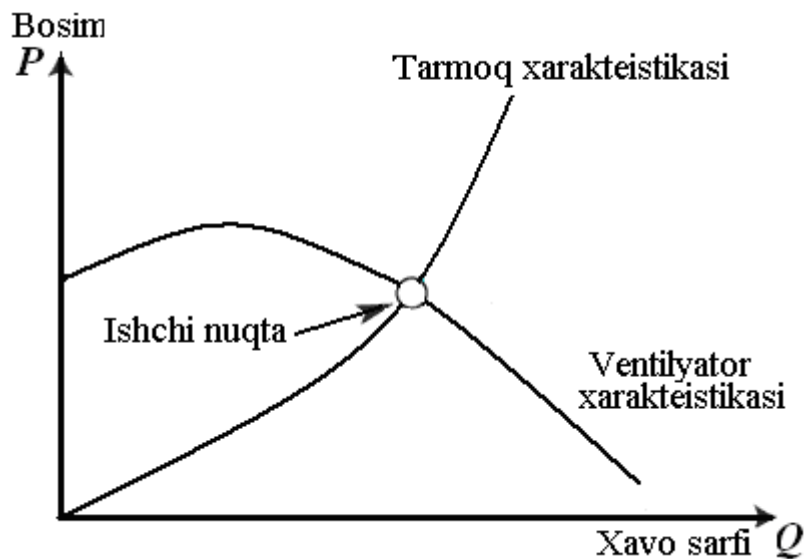


3.5-rasm. Propellerli ventilyatorlar

Ventilyatorlarning aerodinamik xarakteristikasi

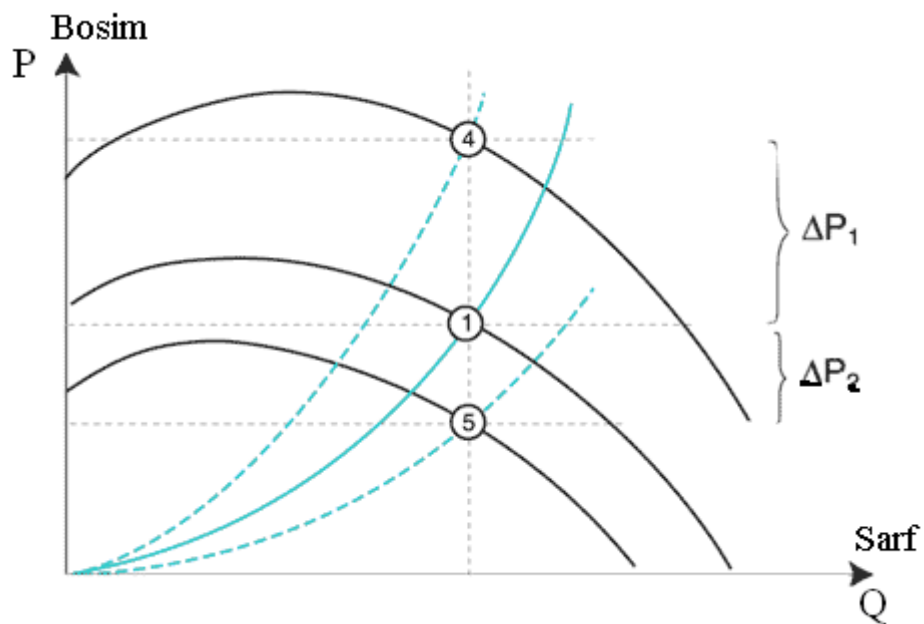
Aerodinamik xarakteristikani aniqlashda ventilyator unudorligining havo bosimiga bog'liqligi tushuniladi. Ma'lum havo bosimi qiymatida, havo massasining

solishtirma sarfiga to'g'ri keladi. Bunday bog'lanish quyidagi (3.6-rasmda) grafik ko'rsatilgan.



3.6-rasm. Bosim o'zgarishining sarfga bog'liqlik grafigi

Bu grafik havo sarfining o'zgarishi tizimidagi qarshilikning o'zgarishini ko'rsatadi. Qarshilik egri chizig'idagi ishchi nuqta yuqoriga va pastga ko'chishi, sarf oshishi va kamayishini ko'rsatadi. Agar bosim farqlarining nazariy qiymatidan chetlashuvchi natijasida, ishchi nuqta joylashuvi va sarf qiymati ham nazariyaga nisbatan farqlanadi.



3.7-rasm. Ventilyator ishchi g'ildiragidagi aylanish tezligining bosm o'zgarishiga bog'liqlik grafigi

Birinchi va ikkinchi holatlarda nazariy hisob ma'lumotlariga qaraganda (3.7-rasmida) bosimning haqiqiy ko'rsatgichidagi chetlashuvi grafikda ΔR_1 va ΔR_2 larda ko'rsatilgan. Bunda ishchi nuqta nazariy jihatdan hisoblashlarda aniqlangan bo'lib,

ventilyatorning eng qulay samaradorligi aniqlangan. Bu holda ventilyatorning ishchi g'ildiragi aylanish sonining o'zgarishi (oshishi va kamayishi) ventilyatorni samaradorligining o'zgarishiga olib keladi.

Ventilyatorning samaradorligi, ya'ni FIK

$$\eta = \frac{\Delta P_t \cdot q}{N}, \quad (3.1)$$

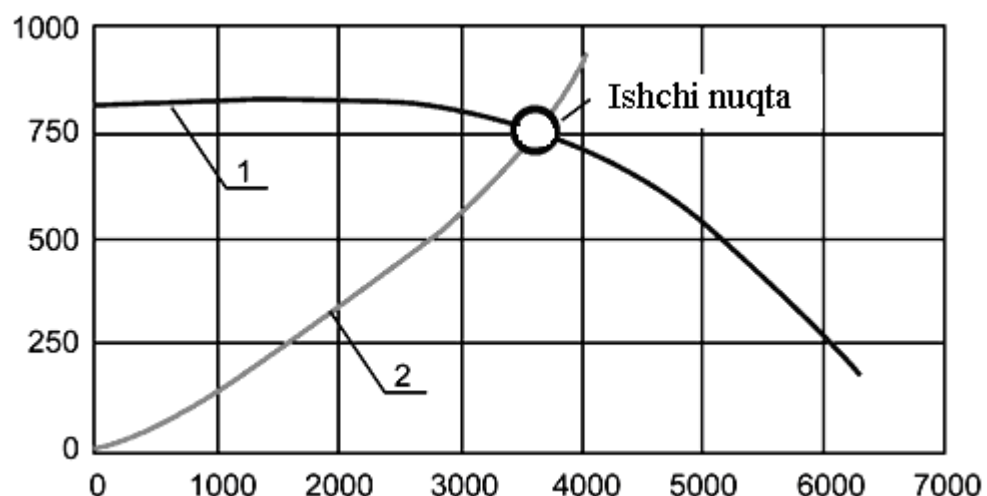
Bu erda: ΔP_t - bosimning umumiy o'zgarishi (Pa);

q - havo sarfi (m^3/soat);

N — quvvati (Vt).

Ventilyatorning ishchi nuqtasi

Har qanday ventilyator uchun uning ma'lum aerodinamik xarakteristikasi (3.7-rasmda) 1-egri chiziq mavjud. Bunda bosimga nisbatan sarf o'zgarishi grafigi ko'rsatilgan.



3.8-rasm. Ventilyatorlarning aerodinamik xarakteristikas

Ishchi nuqta 1-egri chiziq (ventilyatorning aerodinamik xarakteristikasi) va 2-egri chiziqlar kesishgan nuqtada (tarmoqning xarakteristikasi) joylashgan. Ishchi nuqta muayyan (konkret) shamolatish tarmog'ida ventilyatorning haqiqiy ko'rsatgichini aniqlaydi va ventilyatorning optimal ishlash rejimi hisoblanadi.

FOYDALANILADIGAN ASOSIY ADABIYOTLAR

1. Қ.Ш.Латипов, Гидравлика гидромашиналар . -Т. 1994,
2. А.Ю. Умаров Гидравлика. Узбекистон. Т.2002,
3. Д.Р. Бозоров, Р.К. Каримов ва б.қ. Гидравлика. Т. Билим, 2003,
4. Р.Р.Чугаев. Гидравлика. Л. Энергоавтомиздат, 1982.
5. М.Э. Деэч и др. Гидрогазодинамика. - М.: Энергоатоммздат, 1984,
6. Х.К.Ташматов., А.А.Шокиров, А.А.Мукольянц. Гидравлика Т.2009.
7. О.Х.Nizomov., А.А.Mukolyants. Gidrostatika Т.2010.
8. А.А.Мукольянц. Гидравлика, гидравлический машины и гидропневмоприводов. Т.2010
9. Б.А.Алиев., А.А.Мукольянц., А.А. Каримов., С.Ш.Хабибуллаев. Гидрогазодинамика нефти и газо в процессе эксплуатации нефтегазохранилищ. Т.2012.
10. А.Д.Гиргидов. Механика житкости и газо (Гидравлика). - Санкт-Петербург. Издательство СП б ГПУ. 2004,
11. Л.Л.Повх. “Технический гидромеханика”. - Л.: Маш.,1986,
12. A.A.Shokirov, A.A.Karimov, A.E.Parmanov. “Ixcham gidravlika”, - Т. 2010,
- 13.С.А.Абдашитов, А.А.Туршенков. Насоси и компрессори. - М.: Недро, 1984,
- 14.3.С.Шлипченко. Насоси, компрессори и вентелятори. – Киев: Техника, 1989,
- 15.В.М.Черкасий, Т.М.Раманова. Насоси, компрессори и вентилятори. - М.: Энергия, 1978,

QO'SHIMChA ADABIYOTLAR

1. Р.Х.Ubaydullaev, В.Р.Ubaydullaev. Amaliy suyuqlik mexanikasi (Gidravlika) o'quv qo'llanma. - Т.: 2003,
2. А.А.Каримов. Насос, компрессор лойхалаш ва ишлатиш (марузга матни). – ТошДТУ, 1999,

ELEKTRON RESURSLAR:

1. <http://www.uzbekistan.uz>
2. <http://www.bilim.uz>

M U N D A R I J A

1.	SO'Z BOSHI	4
2.	I. GIDRAVLIKA	6
3.	1.KIRISH	6
4.	1.1.1. ASOSIY TUSHUNCHALAR VA QOIDALAR	8
5.	1.2. SUYUQLIKLARNING ASOSIY FIZIK XOSSALARI	9
6.	1.2.1 ASOSIY O'LCHAMLAR VA ULARNING O'LCHOV BIRLIKHLARI	11
7.	1.3.SUYUQLIKLARDAGI ISHQALANISH UCHUN NYUTON QONUNI	12
8.	1.3.1 MASALALAR	13
9.	1.4. GIDROSTATIK BOSIM, UNING XOSSALARI VA O'LCHASH BIRLIKHLARI	14
10.	1.4.1. GIDROSTATIK BOSIMNING XOSSALARI	14
11.	1.5. BOSIM O'LCHASH ASBOBLARI. PASKAL QONUNI	16
12.	1.5.1. BOSIM TURLARI	18
13.	1.5.2. GIDROSTATIK BOSIM EPYURALARI	21
14.	1.5.3. GIDROSTATIK BOSIM KUCHI	22
15.	1.5.4. GIDROSTATIK BOSIM KUCHI KO'YILADIGAN MASOFA	23
16.	1.6. GIDROSTATIK MASHINALAR. ARXIMED QONUNI	24
17.	1.JISMLARNI SUYUQLIKDA SUZISHI. SUZUVCHANCHANLIK. NISBIY TINCHLIK. ARXIMED QONUNI	25
18.	1.7.1 ARXIMED QONUNI	29
19.	1.8. SUYUQLIKLARNI IDISH DEVORIDAGI BOSIMI	32
20.	1.8.1. YAASSI QIYA SIRTGA TA'SIR ETUVCHI GIDRAVLIK BOSIM KUCHINI ANIQLASH USULLARI	33
21.	1.8.2. EGRI SIRT KO'RINISHIDAGI YUZAGA TA'SIR ETUVCHI GIDROSTATIK BOSIM KUCHI	36
22.	1.8.3. SUYUQLIKARNI IDISH DEVORIDAGI BOSIMIGA DOIR MASALALAR	37
23.	1.8.4. NEFT VA NEFT MAHSULOTLARNI QOVUSHQOQLIGINI ANIQLASH	39
24.	1.9. GIDRODINAMIKA ASOSLARI. SUYUQLIKLARNING HARAKAT TAVSIFI, ASOSIY KATTALIKAR	44
25.	1.9.1. OQIMALI HARAKAT. OQIM CHIZIG'I, OQIM NAYASI VA OQIMCHA	46
26.	1.9.2. OQIMNING GIDRAVLIK ELEMENTLARI.	47
27.	1.9.3. ELEMENTAR OQIMCHA VA TO'LA OQIMCHA UCHUN UZLUKSIZLIK TENGLAMALARI	49
28.	1.9.4. SUYUQLIKNING BARQAROR HARAKATIDA UZLUKSIZLIK TENGLAMASI	50
29.	1.10. SUYUQLIKLARNING HARAKAT REJIMI. REYNOLDS TAJRIBASI	55
30.	1.10.1. SUYUQLIKNING LAMINAR HARAKATI. TEZLIKNING TSILINDRIK QUVUR KESIMI BO'YICHA TAQSIMLANISHI	57
31.	1.10.2. QUVUR UZUNLIGI BO'YICHA BOSIMNING PASAYISHI (PUAZEYL FORMULASI)	58
32.	1.10.3. SUYUQLIKLARNING TURBULENT HARAKATI	59

33.	1.10.4. TEZLIK VA BOSIM PUL'SATSIYALARI	62
34.	1.10.5. IDEAL SUYUQLIK, ELEMENTAR OQIMCHASI UCHUN BERNULLI TENGLAMASI	63
35.	1.10.6. REAL SUYUQLIK ELEMENTAR OQIMCHASI UCHUN BERNULLI TENGLAMASI	66
36.	1.10.7. GIDRAVLIK VA P'EZOMETRIK QIYALIKLAR	68
37.	1.10.8. GIDRAVLIK YO'QOTISH TURLARI	69
38.	1.11. MAHALLIY QARSHILIKLAR. MAHALLIY QARSHILIK KOEFFITSIENTINI ANIQLASH	71
39.	1.11.1. QUVURNING KESKIN KENGAYISHI (BORDA QOIDASI)	74
40.	1.12. QUVURLarda SUYUQLIK HARAKATI. UVURLARNING VAZIFASI VA TUZILISHI. QUVURLARNI HISOBBLASH	75
41.	1.12.1. QUVURLARNI VA SODDA QUVURLARNI GIDRAVLIK HISOBBLASH	76
42.	1.12.2. MURAKKAB QUVURLAR HISABI	81
43.	1.13. SUYUQLIKLARNI TESHIK VA KICHIK TESHIKLARDAN (NASADKALARDAN) OQIB CHIKQSHI	87
44.	1.13.1. SUYUQLIKNING TSILINDRIK NAYCHADAN OQISHI	88
45.	1.13.2. O'ZGARUVCHAN BOSIMDA SUYUQLIKLARNING TESHIKDAN OQISHI	90
46.	1.13.3. TIRQISHDAN NAYCHALAR ORQALI SUYUQLIKNI OQISHI	91
47.	1.13.4. OQIMCHALAR TURLARI	94
48.	1.13.5. KICHIK TIRQISHDAN OQIMCHANING SUV SATHI OSTIGA CHIQISHI (TIRQISHNING KO'MILGANLIK HOLATI)	97
49.	1.13.6. NAYCHALARING SHAKLLARIGA UMUMIY KO'RSATMALAR	100
	II. NASOSLAR	105
50.	2.1. UMUMIY TUSHUNCHALAR. PORSHENLI NASOSLAR	105
51.	2.2. PORSHENLI NASOSLARNI TURLARI VA HARAKAT PRINTSIPI	107
52.	2.2.1. RADIAL ROTORLI PORSHENLI (PLUNJERLI) NASOSLARNI VA GIDRODVIGATELLARNI TUZILISHI VA ISHLASH PRINTSPI	110
53.	2.2.2. AKSIAL-ROTORLI PORSHENLI (PLUNJERLI) NASOSLARNING VA GIDRODVIGATELLARNING ISHLASH PRINTSPI	111
54.	2.2.3. PORSHENLI NASOSLAR KLASSIFIKASIYASI	114
55.	2.3. PORSHENLI NASOSLAR ISH UNIMDORLIGI VA ULARDAN FOYDALANISH	116
56.	2.3.1. NASOSNING BOSIMI, UNUMDORLIGI (SO'RISH MIQDORI)	117
57.	2.3.2. SO'RISH BALANDLIGI	120
58.	2.3.3. NASOSLarda ENERGIYA BALANSI, UNING FIK VA BOSHQA PARAMETRLARI	121
59.	2.3.4. PORSHENLI NASOSLARNI TUZILISHI BILAN TANISHISH	123
60.	2.4. MARKAZDAN QOCHMA TURDAGI NASOSLARNING HARAKAT PRINTSIPI VA KLASSIFIKATSİYASI	127
61.	2.4.1. MARKAZDAN QOCHMA NASOSNING TUZILISHI	129
62.	2.4.2. NASOSNING ISH FILDIRAGI NAZARIYASI ASOSLARI	131
63.	2.4.3. MARKAZDAN QOCHMA NASOSLARNING SARFI, NAPORI VA NASOSNING ISH XARAKTERISTIKASI	135

64.	2.5. MAXSUS NASOSLAR. DIAFRAGMALI NASOSLARNING TUZILISHI VA ISHLASH PRINTSIPI	140
	III. KOMPRESSORLAR	145
65.	3.1. KOMPRESSORLAR HAQIDA UMUMIY TUSHINCHALAR VA ULARNING TURLARI	145
66.	3.1.1. KOMPRESSORLAR KLASSIFIKTSIYASI VA ULARNI QO'LLANISH SOHALARI	146
67.	3.1.2. PORSHENLI KOMPRESSORLAR	148
68.	3.1.3. XAVO HAYDAGISHLARNING TUZILISHINI O'RGANISH	150
69.	FOYDALANILADIGAN ASOSIY ADABIYOTLAR	156

О ГЛАВЛЕНИЕ

1.	ПРЕДИСЛОВИЕ	4
	I. ГИДРАВЛИКА	6
2.	1. ВВЕДЕНИЕ	6
3.	1.1.1. ОСНОВНЫЕ ПОНЯТИЯ И ЗАКОНЫ	8
4.	1.2. ОСНОВНЫЕ ФИЗИЧЕСКИЕ СВОЙСТВА ЖИДКОСТЕЙ	9
5.	1.2.1. ОСНОВНЫЕ СИСТЕМЫ И ИХ ЕДИНИЦЫ ИЗМЕРЕНИЯ	11
6.	1.3. ЗАКОН НЬЮТОНА ДЛЯ ТРЕНИЯ ЖИДКОСТИ	12
7.	1.3.1. ЗАДАЧИ	13
8.	1.4. ГИДРОСТАТИЧЕСКОЕ ДАВЛЕНИЯ, СВОЙСТВА ЖИДКОСТЕЙ И ЕДИНИЦЫ ИЗМЕРЕНИЯ	14
9.	1.4.1. СВОЙСТВА ГИДРОСТАТИЧЕСКОЕ ДАВЛЕНИЯ	14
10.	1.5. ПРИБОРЫ ИЗМЕРЕНИЯ. ЗАКОН ПАСКАЛЯ	16
11.	1.5.1. ВИДЫ ДАВЛЕНИЯ	18
12.	1.5.2. ЭПЮРЫ ГИДРОСТАТИЧЕСКОГО ДАВЛЕНИЯ	21
13.	1.5.3. СИЛА ГИДРОСТАТИЧЕСКОГО ДАВЛЕНИЯ	22
14.	1.5.4. РОСТОЯНИЯ ПРИЛОЖЕНИЯ СИЛА ГИДРОСТАТИЧЕСКОГО ДАВЛЕНИЯ	23
15.	1.6. ГИДРОСТАТИЧЕСКИЕ МАШИНЫ. ЗАКОН АРХИМЕДА	24
16.	1.7. ПЛАВАНИЕ ТЕЛ В ЖИДКОСТИ. ПЛАВАНИЯ ОТНОСИТЕЛЬНЫЙ ПАКОЙ, ЗАКОН АРХИМЕДА	25
17.	1.7.1. ЗАКОН АРХИМЕДА	29
18.	1.8. ДАВЛЕНИЯ ЖИДКОСТИ НА СТЕНКЕ САСУДА	32
19.	1.8.1. ГИДРОСТАТИЧЕСКОГО ДАВЛЕНИЯ НА ПЛОСКУЮ СТЕНКУ	33
20.	1.8.2. ГИДРОСТАТИЧЕСКОЕ ДАВЛЕНИЯ НА КРИВОЛИНЕЙНЫЙ ПОВЕРХНОСТИ	36
21.	1.8.3. ЗАДАЧИ ДЛЯ ДАВЛЕНИЯ НА СТЕНКИ САСУДА	37
22.	1.8.4. ОПРЕДЕЛЕНИЯ ВЯЗКОСТИ НЕФТЬ И НЕФТИ ПРОДУКТОВ	39
23.	1.9. ОСНОВЫ ГИДРОДИНАМИКИ, ХАРАКТЕРИСТИКИ ДВИЖЕНИЯ ЖИДКОСТИ, ОСНОВНЫЙ ЕДИНИЦЫ	44
24.	1.9.1. СТРУЙНЫЙ ТЕЧЕНИЯ ЛИНИЯ СТРУИ. ЭЛМЕНТАРНАЯ СТРУЙКА.	46
25.	1.9.2. ГИДРАВЛИЧЕСКИЕ ЭЛМЕНЫ СТРУИ	47
26.	1.9.3. УРАВНЕНИЕ НЕРАЗРЫВНОСТИ ДЛЯ ЭЛМЕНТАРНАЯ СТРУЙКИ И ПАТОКА ЖИДКОСТИ	49
27.	1.9.4. УРАВНЕНИЕ НЕРАЗРЫВНОСТИ ДЛЯ УСТАНАВИВЩЕЙСЯ ДВИЖЕНИЯ	50
28.	1.10. РЕЖИМЫ ДВИЖЕНИЯ ЖИДКОСТИ. ОПЫТИ РЕЙНОЛЬДСА	55
29.	1.10.1. ЛАМИНАРНОЕ ДВИЖЕНИЯ ЖИДКОСТИ. РАСПРЕДЕЛЕНИЕ СКОРОСТИ ЧАСТИЦЫ ПО СЧЕНИЕ ЦИЛИНДРИЧЕСКОЙ ТРУБЕ	57
30.	1.10.2. УМЕНЬШЕНИЕ ДАВЛЕНИЯ ВДОЛЬ ДЛИНЫ ТУРБОПРОВОДА (ФОРМУЛА ПУАЗЕЙЛЯ)	58
31.	1.10.3. ТУРБУЛЕНТНОЕ ДВИЖЕНИЕ ЖИДКОСТИ	59

32.	1.10.4. ПУЛЬСАЦИЯ СКОРОСТИ И ДАВЛЕНИЕ	62
33.	1.10.5. УРАВНЕНИЕ БЕРНУЛЛИ ДЛЯ ЭЛЕМЕНТАРНОЙ СТРУЙКИ. ИДЕАЛНОЙ ЖИДКОСТИ	63
34.	1.10.6. УРАВНЕНИЕ БЕРНУЛЛИ ДЛЯ ЭЛЕМЕНТАРНОЙ СТРУЙКИ. РЕАЛЬНОЙ ЖИДКОСТИ	66
35.	1.10.7. ГИДРАВЛИЧЕСКИЕ И ПЗОМЕТРИЧЕСКИЕ УКЛОНЫ .	68
36.	1.10.8. ВЫДИ ГИДРАВЛИЧЕСКИЕ ПАТЕРЫ	69
37..	1.11. МЕСТНЫЕ СОПРОТИВЛЕНИЯ. ОПРЕДЕЛЕНИЙ МЕСТНЫЕ СОПРОТИВЛЕНИЯ	71
38.	1.11.1. РЕЗКОЕ РАСШИРЕНИЕ ТРУБЫ(ФОРМУЛА БОРДА)	74
39.	1.12. ДВИЖЕНИЕ ЖИДКОСТЕЙ В ТРУБАХ. ВЫДИ И ЗАДАЧИ ТРУБОПРОВОДОВ РАСЧЁТ ТРУБОПРОВОДОВ	75
40.	1.12.1. ГИДРАВЛИЧЕСКИЕ РАСЧЁТ ТРУБ И ПРОСТЫХ ТРУБ	76
41.	1.12.2. РАСЧЁТ СЛОЖНЫХ ТРУБ	81
42.	1.13. ИСТЕЧЕНИЕ ЖИДКОСТИ ЧЕРЕЗ ОТВЕРСТИЙ И НАСАДКИ	87
43.	1.13.1. ИСТЕЧЕНИЕ ЖИДКОСТИ ЧЕРЕЗ ОТВЕРСТИИ С ПРЕМЕННЫМ ДАВЛЕНИЕМ	88
44.	1.13.2. ИСТЕЧЕНИЕ ЖИДКОСТИ ЧЕРЕЗ ЦИЛИНДРИЧЕСКОЙ НАСАДОК	90
45.	1.13.3. ИСТЕЧЕНИЕ ЖИДКОСТИ ЧЕРЕЗ ЩЕЛИ ПРИ ПОМАЩИ НАСАДОК	91
46.	1.13.4. ВЫДИ СТРУИ	94
47.	1.13.5. ИСТЕЧЕНИЕ ЖИДКОСТИ ЧЕРЕЗ ЩЕЛИ ПОД НАПОРОМ (ЗАТОПЛЕННОГО ОТВЕРСТИЯ)	97
48.	1.13.6.ОБЩИЕ УКАЗАНИЯ ВЫДИ НАСОДОК	100
	II. НАСОСЫ	105
49.	2.1. ОБЩИЕ ПОНЯТИЯ. ПОРШЕНОВЫЕ НАСОСЫ	105
50.	2.2. КЛАССИФИКАЦИЯ ПОРШЕНОВЫЕ НАСОСОВ И ПРИНЦИПЫ ДВИЖЕНИЯ	107
51.	2.2.1. ПРИНЦИПЫ РАБОТЫ И КЛАССИФИКАЦИЯ РАДИАЛ-РТОРНЫХ, ПОРШЕНОВЫХ (ПЛУНЖЕРНЫХ) НАСОСОВ И ГИДРОДВИГАТЕЛЕЙ	110
52.	2.2.2. ПРИНЦИПЫ РАБОТЫ АКСИ-РТОРНЫХ, ПОРШЕНОВЫХ (ПЛУНЖЕР) НАСОСОВ И ГИДРОДВИГАТЕЛЕЙ	111
53.	2.2.3. КЛАССИФИКАЦИЯ ПОРШЕНОВЫХ НАСОСОВ	114
54.	2.3. ПРОИЗВОДИТЕЛЬНОСТЬ РАБОТЫ ПОРШЕНОВЫХ НАСОСОВ И ИХ ИСПОЛЬЗОВАНИЕ	116
55.	2.3.1. ДОВЛЕНИЕ НАСОСОВ, ПРОИЗВОДИТЕЛЬНОСТЬ (КОЛИЧЕСТВО ВСАССИВАНИЯ)	117
56.	2.3.2. ВЫСОТА ВСАССИВАНИЯ	120
57.	2.3.3. ЭНЕРГЕТИЧЕСКИЙ БАЛАНС В НАСОСАХ, ИХ КПД И ДРУГИЕ ПАРАМЕТРЫ	121
58.	2.3.4. ЗНАКОМСТВА РАЗЛИЧНЫМИ ВИДАМЫ ПОРШЕНОВЫХ НАСОСОВ	123
59.	2.4. КЛАССИФИКАЦИЯ И ПРИНЦИПЫ ДВИЖЕНИЯ ЦЕНТРОБЕЖНЫХ НАСОСОВ	127

60.	2.4.1. УСТРОЙСТВО ЦЕНТРОБЕЖНОГО НАСОСА	129
61.	2.4.2. РАБОЧИЕ КОЛЬЦО НАСОСА И ЕГО ТЕОРИИ	131
62.	2.4.3. РАБОЧИЕ ХАРАКТЕРИСТИКИ ЦЕНТРОБЕЖНОГО НАСОСА, ЕГО РАСХОД И НАПОРЫ	135
63.	2.5. СПЕЦИАЛЬНЫЕ НАСОСЫ, ПРИНЦИПЫ РАБОТЫ И УСТРОЙСТВА ДИАФРАГМЕННЫХ НАСОСОВ	140
64.	III. КОМПРЕССОРЫ	145
65.	3.1. ОБЩЕЕ ПОНЯТИЯ О КОМПРЕССОРАХ И КЛАССИФИКАЦИЯ	145
66.	3.1.1. КЛАССИФИКАЦИЯ КОМПРЕССОРОВ И ИХ ОБЛОСТИ ПРИМЕНЕНИЯ	146
67.	3.1.2. ПОРШЕНОВЫЕ КОМПРЕССОРЫ	148
68.	3.1.3. ИЗУЧЕНИЕ УСТРОЙСТВА ВЕНТИЛЯТОРОВ	150
69.	ОСНОВЫЕ ИСПОЛЬЗОВАННЫЕ ЛИТЕРАТУРЫ	156

TABLE OF CONTENTS

1.	PREFACE	4
	I. HYDRAULICS	6
2.	1. INTRODUCTION	6
3.	1.1.1. THE BASIC CONCEPTS AND LAWS	8
4.	1.2. THE BASIC PHYSICAL PROPERTIES OF LIQUIDS	9
5.	.2.1. THE BASIC SYSTEMS AND UNITS OF MEASURE	11
6.	1.1.3. NEWTON'S LAW FOR THE LIQUID FRICTION	12
7.	1.3.1. PROBLEMS	13
8.	1.4. HYDROSTATIC PRESSURE, ITS PROPERTIES AND THE UNIT OF MEASURE	14
9.	1.4.1. PROPERTIES OF HYDROSTATIC PRESSURE	14
10.	1.5. DEVICES OF MEASUREMENT OF PRESSURE. THE LAW OF PASCAL	16
11.	1.5.1. PRESSURE KINDS	18
12.	1.5.2. HYDROSTATIC PRESSURE DISTRIBUTIONS	21
13.	1.5.3. FORCE OF HYDROSTATIC PRESSURE	22
14.	1.5.4. THE POINT OF APPLICATION OF FORCE OF HYDROSTATIC PRESSURE	23
15.	1.6. HYDROSTATIC CARS. ARCHIMEDES LAW	24
16.	1.7. SWIMMING OF BODIES IN THE LIQUID. RELATIVE REST. ARCHIMEDES LAW	25
17.	1.7.1. ARCHIMEDES LAW	29
18.	1.8. PRESSURE OF THE LIQUID UPON THE VESSEL WALL	32
19.	1.8.1. HYDROSTATIC PRESSURE UPON THE FLAT WALL	33
20.	1.8.2. HYDROSTATIC PRESSURE UPON CURVILINEAR SURFACES	36
21.	1.8.3. PROBLEMS BY PRESSURE FORCE DEFINITION ON VESSEL WALLS	37
22.	1.8.4. DEFINITION OF VISCOSITY OF OIL AND OIL PRODUCTS	39
23.	1.9. HYDRODYNAMICS BASES. THE CHARACTERISTIC OF MOVEMENT OF THE LIQUID. UNITS OF MEASURE	44
24.	1.9.1. THE JET CURRENT. THE CURRENT LINE. THE ELEMENTARY STREAM.	46
25.	1.9.2. HYDRAULIC ELEMENTS OF THE STREAM	47
26.	1.9.3. THE EQUATION OF INDISSOLUBILITY FOR THE ELEMENTARY STREAM AND THE LIQUID STREAM	49
27.	1.9.4. THE EQUATION OF INDISSOLUBILITY FOR THE ESTABLISHED MOVEMENT OF THE LIQUID	50
28.	1.10. MODES OF MOVEMENT OF THE LIQUID. REYNOLDS'S EXPERIENCE	55
29.	1.10.1. LAMINAR MOVEMENT OF THE LIQUID. DISTRIBUTION OF SPEEDS OF PARTICLES ON SECTION IN THE CYLINDRICAL PIPE	57
30.	1.10.2. CHANGE OF PRESSURE ALONG LENGTH OF THE PIPELINE (FORMULA ПУАЗЕЙЛЯ)	58
31.	1.10.3. THE LIQUID WHIRL	59
32.	1.10.4. THE PULSATION OF SPEED AND PRESSURE	62
33.	1.10.5. EQUATION БЕРНУЛЛИ FOR THE ELEMENTARY STREAM OF THE IDEAL LIQUID	63

34.	1.10.6. EQUATION BERNOULLI FOR THE ELEMENTARY STREAM OF THE REAL LIQUID	66
35.	1.10.7. HYDRAULIC AND PIEZOMETRIC ELEVATIONS	68
36.	1.10.8. KINDS OF HYDRAULIC LOSSES	69
37..	1.11. LOCAL RESISTANCE. DEFINITION OF LOSSES OF THE PRESSURE ON LOCAL RESISTANCE	71
38.	1.11.1. KINDS OF LOCAL RESISTANCE. SHARP EXPANSION OF THE PIPE	74
39.	1.12. MOVEMENT OF LIQUIDS IN PIPES. KINDS OF PIPELINES AND THEIR CALCULATION	75
40.	1.12.1. HYDRAULIC CALCULATION OF SIMPLE PIPELINES	76
41.	1.12.2. CALCULATION OF DIFFICULT PIPELINES	81
42.	1.13. THE LIQUID EXPIRATION THROUGH APERTURES AND NOZZLES	87
43.	1.13.1. THE LIQUID EXPIRATION THROUGH APERTURES AT THE VARIABLE PRESSURE	88
44.	1.13.2. THE LIQUID EXPIRATION THROUGH CYLINDRICAL NOZZLES	90
45.	1.13.3. THE LIQUID EXPIRATION THROUGH CRACKS THROUGH NOZZLES	91
46.	1.13.4. STREAM KINDS	94
47.	1.13.5. THE LIQUID EXPIRATION THROUGH CRACKS UNDER THE ESSURE (THE FLOODED APERTURE)	97
48.	1.13.6. TYPES OF NOZZLES	100
	II. PUMPS	105
49.	2.1. THE GENERAL CONCEPTS. PISTON PUMPS	105
50.	2.2. CLASSIFICATION OF PISTON PUMPS AND THE PRINCIPLE OF THEIR WORK	107
51.	2.2.1. WORKING PRINCIPLE OF RADIAL ROTARY PISTON (PLUNGER) PUMPS AND HYDRAULIC MOTORS	110
52.	2.2.2. WORKING PRINCIPLE OF AXIAL ROTARY PISTON (PLUNGER) PUMPS AND HYDRAULIC MOTORS	111
53.	2.2.3. CLASSIFICATION OF RECIPROCATING PUMPS	114
54.	2.3. PRODUCTIVITY OF WORK OF PISTON PUMPS AND THEIR USE	116
55.	2.3.1. A PRESSURE DEVELOPED BY THE PUMP. PRODUCTIVITY	117
56.	2.3.2. ABSORPTION HEIGHT	120
57.	2.3.3. POWER BALANCE OF PUMPS, THEIR EFFICIENCY	121
58.	2.3.4. VARIOUS KINDS OF PISTON PUMPS	123
59.	2.4. CLASSIFICATION AND THE PRINCIPLE OF WORK OF CENTRIFUGAL PUMPS	127
60.	2.4.1. THE DEVICE OF THE CENTRIFUGAL PUMP	129
61.	2.4.2. THE THEORY OF THE DRIVING WHEEL OF THE PUMP	131
62.	2.4.3. PERFORMANCE DATA OF THE CENTRIFUGAL PUMP. THE EXPENSE AND THE PRESSURE	135
63.	2.5. SPECIAL PUMPS, THE PRINCIPLE OF WORK AND DEVICE DIAFRAGMENNYH OF PUMPS	140
64.	III. COMPRESSORS	145
65.	3.1. THE GENERAL CONCEPT ABOUT COMPRESSORS AND THEIR CLASSIFICATION	145
66.	3.1.1. CLASSIFICATION OF COMPRESSORS AND AREA OF THEIR APPLICATION	146

67.	3.1.2. PISTON COMPRESSORS	148
68.	3.1.3. THE DEVICE OF FANS	150
69.	THE LIST OF REFERENCES	156